

สมรรถนะทางการทดลองของการส่งสัญญาณแสงที่ 10 กิกะบอตสำหรับการกลั่นสัญญาณแบบโอลิโอด
และดีคิวพีเอสเค

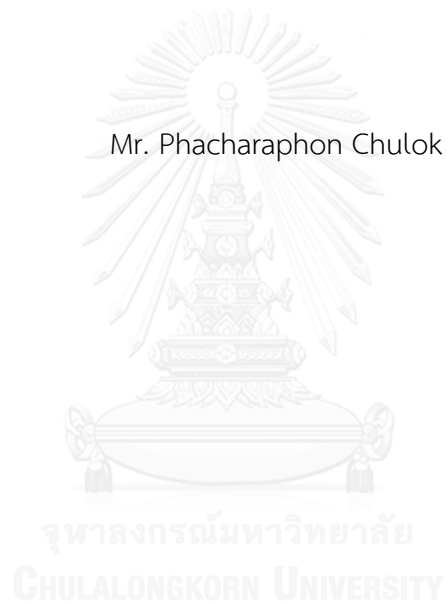


บทคัดย่อและแฟ้มข้อมูลฉบับเต็มของวิทยานิพนธ์ตั้งแต่ปีการศึกษา 2554 ที่ให้บริการในคลังปัญญาจุฬาฯ (CUIR)
เป็นแฟ้มข้อมูลของนิสิตเจ้าของวิทยานิพนธ์ ที่ส่งผ่านทางบันทึกวิทยาลัย

The abstract and full text of theses from the academic year 2011 in Chulalongkorn University Intellectual Repository (CUIR)
are the thesis authors' files submitted through the University Graduate School.

วิทยานิพนธ์นี้เป็นส่วนหนึ่งของการศึกษาตามหลักสูตรปริญญาวิศวกรรมศาสตรมหาบัณฑิต
สาขาวิชาศิวกรรมไฟฟ้า ภาควิชาศิวกรรมไฟฟ้า
คณะศิวกรรมศาสตร์ จุฬาลงกรณ์มหาวิทยาลัย
ปีการศึกษา 2558
ลิขสิทธิ์ของจุฬาลงกรณ์มหาวิทยาลัย

Experimental Performance of 10 Gbaud Optical Transmission for OOK
and DQPSK Modulations



A Thesis Submitted in Partial Fulfillment of the Requirements
for the Degree of Master of Engineering Program in Electrical Engineering
Department of Electrical Engineering
Faculty of Engineering
Chulalongkorn University
Academic Year 2015
Copyright of Chulalongkorn University

หัวข้อวิทยานิพนธ์

สมรรถนะทางการทดลองของการส่งสัญญาณแสงที่ 10 กิ
กกะบอดสำหรับการกล้าสัญญาณแบบโอลูโคและดีคิวพี
เอสเค

โดย

นายพชรพล ชูโภก

สาขาวิชา

วิศวกรรมไฟฟ้า

อาจารย์ที่ปรึกษาวิทยานิพนธ์หลัก

รองศาสตราจารย์ ดร. ดวงฤทธิ์ วรสุชีพ

คณะวิศวกรรมศาสตร์ จุฬาลงกรณ์มหาวิทยาลัย อนุมัติให้นับวิทยานิพนธ์ฉบับนี้เป็นส่วน
หนึ่งของการศึกษาตามหลักสูตรปริญญามหาบัณฑิต

คณะบดีคณะวิศวกรรมศาสตร์

(รองศาสตราจารย์ ดร. สุพจน์ เทชารสินสกุล)

คณะกรรมการสอบวิทยานิพนธ์

ประธานกรรมการ

(ผู้ช่วยศาสตราจารย์ ดร. ทับทิม อ่างแก้ว)

อาจารย์ที่ปรึกษาวิทยานิพนธ์หลัก

(รองศาสตราจารย์ ดร. ดวงฤทธิ์ วรสุชีพ)

กรรมการ

(ผู้ช่วยศาสตราจารย์ ดร. วันเฉลิม ໂປຣາ)

กรรมการ

(ผู้ช่วยศาสตราจารย์ สุวิทย์ นาคพีระยุทธ)

กรรมการภายนอกมหาวิทยาลัย

(ดร. อภิชัย ภัทรนันท์)

พชรพล ชูโลก : สมรรถนะทางการทดลองของการส่งสัญญาณแสงที่ 10 กิกะบอตสำหรับการกล้าสัญญาณแบบโอโอะเคและดีคิวพีเอสเค (Experimental Performance of 10 Gbaud Optical Transmission for OOK and DQPSK Modulations) อ.ที่ปรึกษา วิทยานิพนธ์หลัก: รศ. ดร. ดวงฤทธิ์ วรสุชีพ, 122 หน้า.

วิทยานิพนธ์ฉบับนี้นำเสนอการทดลองสมรรถนะตัวรับส่งสัญญาณแสงที่ก้าวสัญญาณแบบโอโอะเคและดีคิวพีเอสเค ที่อัตราบอต 10 กิกะบอต ที่ความยาวคลื่นแสง 1550 nm โดยส่งผ่านเส้นใยนำแสงโหมดเดียวมาตรฐาน (Standard Single Mode Fiber) ที่ระยะทางต่างๆ เพื่อศึกษาผลกระทบของโครมาติกดิสเพอร์ซัน (Chromatic Dispersion, CD) ด้วยการวิเคราะห์งบเวลาขึ้น (Rise-time Budget) จากแผนภาพรูปตาสำหรับการกล้าสัญญาณแบบโอโอะเค และวิเคราะห์ขนาดเวกเตอร์ผิดพลาด (Error Vector Magnitude) จากแผนภาพกลุ่ม (Constellation Diagram) สำหรับการกล้าสัญญาณแบบดีคิวพีเอสเค จากการวัดวิเคราะห์แผนภาพรูปตาสำหรับการกล้าสัญญาณแบบโอโอะเคพบว่าเมื่อส่งผ่านเส้นใยนำแสงที่ระยะทางเพิ่มมากขึ้น แผนภาพรูปตาลดลงทางเวลาสังเกตจากค่าเวลาขึ้นเพิ่มสูงขึ้น ในกระบวนการคำนวณระยะทางสูงสุดที่ถูกจำกัดด้วยโครมาติกดิสเพอร์ซันอย่างคร่าวๆ พบร่วมกับความสามารถส่งสัญญาณได้สูงสุดประมาณ 64.4 km ดังนั้นวิทยานิพนธ์ฉบับนี้เลือกใช้เส้นใยนำแสงชนิดชดเชยดิสเพอร์ซัน (Dispersion Compensating Fiber, DCF) ร่วมกับเส้นใยนำแสงโหมดเดียวมาตรฐานโดยไม่ชดเชยโครมาติกดิสเพอร์ซัน 2) ส่งผ่านเส้นใยนำแสงโหมดเดียวมาตรฐานและชดเชยโครมาติกดิสเพอร์ซันไม่สมบูรณ์ และ 3) ส่งผ่านเส้นใยนำแสงโหมดเดียวมาตรฐานและชดเชยโครมาติกดิสเพอร์ซันสมบูรณ์ จากผลการทดลองทั้งหมดพบว่าเมื่อส่งผ่านเส้นใยนำแสงโหมดเดียวมาตรฐานและชดเชยดิสเพอร์ซันด้วยเส้นใยนำแสงชนิดชดเชยดิสเพอร์ซัน สามารถลดผลกระทบของโครมาติกดิสเพอร์ซันสะสมได้ เส้นกราฟอัตราบิดผิดพลาดเลื่อนกลับมาใกล้เคียงกับกรณีไม่ส่งผ่านเส้นใยนำแสง ยิ่งไปกว่านั้นสามารถส่งสัญญาณได้ไกลที่สุดเท่ากับ 117 km (เส้นใยนำแสงโหมดเดียวมาตรฐาน 105 km และ เส้นใยนำแสงชนิดชดเชยดิสเพอร์ซัน 12 km) เมื่อชดเชยโครมาติกดิสเพอร์ซันสมบูรณ์

5670525621 : MAJOR ELECTRICAL ENGINEERING

KEYWORDS: OOK OPTICAL MODULATION, DQPSK OPTICAL MODULATION, DISPERSION COMPENSATING FIBER

PHACHARAPHON CHULOK: Experimental Performance of 10 Gbaud Optical Transmission for OOK and DQPSK Modulations. ADVISOR: ASSOC. PROF. DUANG-RUDEE WORASUCHEEP, Ph.D., 122 pp.

This thesis demonstrates the experimental performance of 10 Gbaud OOK (On-Off Keying) and DQPSK (Differential Quadrature Phase Shift Keying) optical modulations at 1550 nm wavelength over different distance of Standard Single Mode Fiber (SSMF). The purpose is to study the effect of Chromatic Dispersion (CD) by considering the rise-time budget equation from eye-diagram for OOK modulation and Error Vector Magnitude (EVM) analysis from constellation diagram for DQPSK modulation. According to the eye diagram of OOK, when signal transmits in a long distance of SSMF, eye diagram will be broaden in time with an increase in rise-time. The maximum distance of SSMF is calculated roughly 64.4 km. Therefore, this thesis applies Dispersion Compensating Fiber (DCF) combining with SSMF to reduce the effect of accumulated CD, and measures Bit Error Rate (BER) in different combinations of SSMF and DCF. Moreover, there are 3 cases to consider the BER curves. The first case is over SSMF without compensated CD. The second case is over SSMF with under-compensated CD. The last case is over SSMF with perfect-compensation CD. According to the experimental results, this research achieves can reduce accumulated CD and the BER curves shift leftwards close to back-to-back case. Moreover, the maximum distance is 117 km consisting of 105-km SSMF and 12-km DCF with perfect-compensation CD.

Department:	Electrical Engineering	Student's Signature
Field of Study:	Electrical Engineering	Advisor's Signature
Academic Year:	2015	

กิตติกรรมประกาศ

วิทยานิพนธ์ฉบับนี้สำเร็จลุล่วงไปได้ด้วยดี ต้องกราบขอบพระคุณสำหรับความช่วยเหลือ และให้คำปรึกษาเป็นอย่างดียิ่งตลอดมาของ รศ.ดร. ดวงฤทธิ์ วรสุชีพ อารย์ที่ปรึกษาวิทยานิพนธ์ หลักที่ให้คำปรึกษา ข้อเสนอแนะ รวมไปถึงแรงกระตุ้นในการทำงานวิจัย อีกทั้งให้ข้อคิดและประสบการณ์ในการดำเนินชีวิต และ พศ. สุวิทย์ นาคพิรษุทธ ผู้เปรียบเสมือนอาจารย์ที่ปรึกษา อีกหนึ่งท่านที่ให้ความช่วยเหลือออกแบบโปรแกรมแพทเทินภาครับ เพื่อใช้ในการวัดอัตราปัตผิดพลาดของสัญญาณดิจิทัลเพื่อให้งานวิจัยดำเนินได้โดยง่าย และเป็นผู้ถ่ายทอดความรู้ต่างๆ ทั้งทางทฤษฎีและปฏิบัติในด้านการสื่อสารดิจิทัลรวมไปถึงให้แนวคิดเพื่อนำไปต่องานวิจัย ทำให้ได้รับการติพิมพ์ในระดับนานาชาติ ขอขอบพระคุณกรรมการสอบวิทยานิพนธ์ทุกท่าน ที่ให้ข้อเสนอแนะรวมถึงความรู้ต่างๆ และอาจารย์ผู้สอนในรายวิชาเรียนทุกวิชาข้าพเจ้าได้ลงทะเบียนเรียน เพื่อนำความรู้ที่ได้มาประยุกต์ใช้ในวิทยานิพนธ์

ขอขอบพระคุณ Dr. Naoya Wada ผู้อำนวยการห้องปฏิบัติการวิจัย Photonic Network Research Institute ของ National Institute of Communication and Information Technology (NICT) ประเทศไทย ผู้ให้ความรู้ ข้อเสนอแนะ คำปรึกษา อีกทั้งสนับสนุนอุปกรณ์เครื่องมือวัดต่างๆ เป็นอย่างดียิ่งตลอดมา จนทำให้วิทยานิพนธ์นี้สำเร็จลุล่วง

และขอขอบคุณ Mr. Hiroyuki Sumimoto จาก NICT ประเทศไทย ผู้ให้ความรู้ ข้อเสนอแนะ คำแนะนำ และให้ความช่วยเหลือในงานวิจัย อีกทั้งสนับสนุนด้านข้อมูลต่างๆ ด้วยดีมายโดยตลอด

ขอขอบพระคุณอาจารย์วิโรจน์ พิราженนชัย และ ดร.วิสิทธิ์ ล้อธรรมจักร มหาวิทยาลัยเทคโนโลยีราชมงคลล้านนา สำหรับการให้ความสนับสนุนยืมเครื่องมือวัด Optical Modulation Analyzer (OMA) และขอขอบคุณ คุณวงศกร ลักษณะวงศ์ Solution Manager บริษัท iRC Technologies สำหรับการสอนใช้งานและให้คำปรึกษาด้านเครื่องมือวัดของ บริษัท Agilent Technologies เป็นอย่างดีตลอดมา

สุดท้ายนี้ขอกราบขอบพระคุณบิดามารดาและครอบครัวของข้าพเจ้า สำหรับการสนับสนุนเงินทุนการศึกษา และคอยให้กำลังใจตลอดระยะเวลาที่ข้าพเจ้าได้ศึกษาเป็นอย่างดีมาโดยตลอด

สารบัญ

หน้า

บทคัดย่อภาษาไทย.....	๑
บทคัดย่อภาษาอังกฤษ.....	๑
กิตติกรรมประกาศ.....	๙
สารบัญ.....	๙
สารบัญรูปภาพ	ภู
สารบัญตาราง.....	๗
บทที่ 1 บทนำ	๑
1.1 ที่มาและความสำคัญ.....	๑
1.2 วัตถุประสงค์.....	๔
1.3 เป้าหมายและขอบเขตงานวิจัย	๔
1.4 ขั้นตอนการดำเนินงาน.....	๕
1.5 ประโยชน์ที่คาดว่าจะได้รับ.....	๖
1.6 ประมวลวิทยานิพนธ์.....	๖
บทที่ 2 หลักการและทฤษฎีที่เกี่ยวข้อง	๘
2.1 ภาคส่งสัญญาณแสง (Optical Transmitter).....	๘
2.1.1 การกลั่นสัญญาณทางความเข้ม (Intensity Modulation).....	๘
2.1.1.1 การกลั่นสัญญาณแบบโอล็อก (On-Off Keying, OOK).....	๑๐
2.1.2 การกลั่นสัญญาณเฟส (Phase Modulation)	๑๑
2.1.2.1 การกลั่นสัญญาณแบบบีพีเอสเค (Binary Phase Shift Keying, BPSK).....	๑๑
2.1.2.2 การกลั่นสัญญาณแบบคิวพีเอสเค (Quadrature Phase Shift Keying, QPSK)	๑๓
2.1.2.3 การเข้ารหัสแบบดิฟเฟอเรนเชียล (Differential Coding).....	๑๔

หน้า

2.1.2.4 การกล้าสัญญาณแบบดิคิวพีอีสเค (Differential Quadrature Phase Shift Keying, DQPSK)	15
2.1.3 การตรวจจับสัญญาณโดยตรง (Direct Detection).....	16
2.1.3.1 ตัวตรวจจับแสงชนิดพีไอเอ็น (Positive Intrinsic Negative, PIN)	17
2.1.3.2 สัญญาณรบกวนจากตัวตรวจจับแสงพีไอเอ็น (PIN Photodetector Noise)	17
2.1.4 รูปแบบการแยกสัญญาณเชิงเฟส (Phase Demodulation Schemes)	19
2.1.4.1 การแยกสัญญาณแบบโคอีเรนท์ (Coherent Demodulation)	19
2.1.4.2 การแยกสัญญาณแบบหน่วงเวลา (Delay Demodulation).....	22
2.2 ผลกระทบจากการส่งสัญญาณแสงผ่านเส้นใยนำแสงโหมดเดียวมาตรฐาน (Standard Single Mode Fiber, SSMF).....	27
2.2.1 การลดthonในเส้นใยนำแสง (Fiber Attenuation).....	27
2.2.2 โครมาติกดิสเพอร์ชัน (Chromatic Dispersion).....	28
2.2.3 การจัดการโครมาติกดิสเพอร์ชัน (Chromatic Dispersion Management).....	30
2.3 เกณฑ์กำหนดสมรรถนะ (Performance Criteria).....	30
2.3.1 งบกำลัง (Power Budget).....	31
2.3.2 งบเวลาขาขึ้น (Rise-time Budget)	31
2.3.3 ขนาดเวกเตอร์มิติพลาด (Error Vector Magnitude)	32
2.3.4 อัตราบิตผิดพลาด (Bit Error Rate, BER).....	33
2.4 ตัวขยายก่อนภาครับ (Pre-receiver Amplifier)	34
2.4.1 ตัวขยายอีดีเอฟเอ (Erbium-Doped Fiber Amplifier, EDFA)	35
2.4.2 สัญญาณรบกวนເອເອສອີ (Amplified Spontaneous Emission-Noise, ASE-N noise)	36
2.4.3 ตัวเลขสัญญาณรบกวน (Noise Figure, NF)	37

	หน้า
บทที่ ๓ อุปกรณ์สำคัญที่ใช้ในโครงข่าย	39
3.1 อุปกรณ์ภาคส่งสัญญาณแสง	39
3.1.1 แหล่งกำเนิดแสงเลเซอร์ (Laser Source)	39
3.1.2 ตัวควบคุมโพลาไรเซชัน (Polarization Controller)	41
3.1.3 ตัวกลั่นสัญญาณแบบบีโอโอดี (OOK Modulator)	42
3.1.4 ตัวกลั่นสัญญาณแบบดิจิวพีเอสเค (DQPSK Modulator)	43
3.2 อุปกรณ์ภาครับสัญญาณแสง	43
3.2.1 ตัวลดthonกำลังแสงแบบปรับค่าได้ (Variable Optical Attenuator, VOA)	44
3.2.2 ตัวขยายอีดีเอฟเอ (Erbium Doped-Fiber Amplifier, EDFA)	45
3.2.3 ตัวกรองสัญญาณเฉพาะย่านความถี่แสงแบบปรับค่าได้ (Tunable Optical Band Pass Filter, TOBPF)	46
3.2.4 ดีเลย์อินเตอร์เฟอร์โรเมตเตอร์(Delay Interferometer, DI)	47
3.2.5 ตัวตรวจจับแสงพีไอเอ็นแบบบาลานซ์ (Balanced PIN Photo Detector)	48
3.3 สายส่งสัญญาณ (Transmission Line)	49
3.3.1 เส้นใยนำแสงโหมดเดียวมาตรฐาน (Standard Single Mode Fiber, SSMF)	49
3.3.2 เส้นใยนำแสงชนิดชาดเชยดิสเพอร์ชัน (Dispersion Compensating Fiber, DCF)	50
บทที่ ๔ การทดลองสมรรถนะตัวรับส่งสัญญาณแสงแบบบีโอโอดี	52
4.1 การติดตั้งภาคส่งและภาครับระบบส่งสัญญาณแสงแบบบีโอโอดี (OOK Experimental Setups)	52
4.1.1 การปรับตั้งภาคส่งสัญญาณแสงแบบบีโอโอดี	54
4.2 การวิเคราะห์เกณฑ์กำหนดสมรรถนะ (Performance Criteria Analysis)	56
4.2.1 การวิเคราะห์งบกำลัง (Power Budget Analysis)	56
4.2.2 การวิเคราะห์งบเวลาขาขึ้น (Rise-time Budget Analysis)	59
4.3 การส่งผ่านสัญญาณในเส้นใยนำแสงโหมดเดียวมาตรฐานที่ระยะทางต่างๆ	61

หน้า

4.3.1 การวิเคราะห์แผนภาพรูปตา (Eye Diagram Analysis)	61
4.3.2 การวิเคราะห์สเปกตรัมแสง (Optical Spectrum Analysis)	64
4.3.3 การวิเคราะห์อัตราบิตผิดพลาด (Bit Error Rate Analysis)	69
บทที่ 5 การทดลองสมรรถนะตัวรับส่งสัญญาณแสงแบบดิจิทัลไฟเบอร์ออฟฟิเบอร์	73
5.1 การติดตั้งภาคส่งและภาครับระบบส่งสัญญาณแสงแบบดิจิทัลไฟเบอร์ออฟฟิเบอร์	73
5.1.1 การปรับตั้งภาคส่งสัญญาณแสงแบบดิจิทัลไฟเบอร์ออฟฟิเบอร์	75
5.2 เกณฑ์กำหนดสมรรถนะ	81
5.2.1 การวิเคราะห์งบกำลัง (Power Budget Analysis)	81
5.3 การทดลองส่งผ่านสัญญาณในเส้นใยนำแสงโดยเดี่ยวมาตรฐานที่ระยะทางต่างๆ	84
5.3.1 การวิเคราะห์แผนภาพกลุ่มและขนาดเวกเตอร์ผิดพลาด (Constellation Diagram and Error Vector Magnitude Analysis)	84
5.3.2 การวิเคราะห์สเปกตรัมแสง (Optical Spectrum Analysis)	88
5.3.3 การวิเคราะห์อัตราบิตผิดพลาด (Bit Error Rate Analysis)	92
บทที่ 6 บทสรุปและข้อเสนอแนะ	97
6.1 สรุปผลการวิจัย	97
6.2 ข้อเสนอแนะ	98
รายการอ้างอิง	100
ภาคผนวก	104
ประวัติผู้เขียนนิพนธ์	122

สารบัญรูปภาพ

รูปที่ 1.1 แผนภาพกลุ่ม [2] (ก) โอลิโอดี (ข) บีพีเอสเค (ค) คิวพีเอสเค หรือ ดีคิวพีเอสเค (ง) คิวพีเอสเคหลายระดับ	2
รูปที่ 2.1 แผนภาพล็อกระบบสื่อสารผ่านเส้นใยนำแสงเบื้องต้น	8
รูปที่ 2.2 โครงสร้างภายในของตัวกล้าสัญญาณมัค-เซนเดอร์	9
รูปที่ 2.3 คุณลักษณะเฉพาะการกล้าสัญญาณของตัวกล้าสัญญาณมัค-เซนเดอร์	10
รูปที่ 2.4 รูปคลื่นการกล้าสัญญาณแบบต่างๆ	10
รูปที่ 2.5 รูปคลื่นการกล้าสัญญาณดิจิทัลในอาร์แบบพีเอสเค	11
รูปที่ 2.6 การปรับตั้งค่าพารามิเตอร์ V_x ของการกล้าสัญญาณรูปแบบต่างๆ	12
รูปที่ 2.7 แผนภาพกลุ่มของสัญญาณบีพีเอสเค	12
รูปที่ 2.8 (ก)แผนภาพบล็อกตัวส่งสัญญาณคิวพีเอสเค (ข) แผนภาพกลุ่มคิวพีเอสเค	13
รูปที่ 2.9 วงจร Pre-Coder	14
รูปที่ 2.10 (ก).แผนภาพบล็อกตัวส่งสัญญาณแสงแบบดีคิวพีเอสเค (ข).แผนภาพกลุ่มดีคิวพีเอสเค ..	16
รูปที่ 2.11 โครงสร้างของตัวตรวจจับแสงชนิดพื้โนเอ็นและวงจรป้อนแรงดันไฟฟ้ากลับข้า	17
รูปที่ 2.12 แผนภาพบล็อกของวงจรการแยกสัญญาณแสงแบบโคงี้เรนท์	20
รูปที่ 2.13 โครงสร้างภายในตัวดีเลย์อินเตอร์ฟีโรมิเตอร์	23
รูปที่ 2.14 แผนภาพบล็อกของค์ประกอบภาครับสัญญาณแบบดีคิวพีเอสเค	24
รูปที่ 2.15 ค่าสัมประสิทธิ์การลดTHONตามความยาวคลื่น	28
รูปที่ 2.16 การถ่างออกของพัลล์แสงตามระยะทาง	29
รูปที่ 2.17 ผลการทดสอบโดยโครงสร้างติกติกดิสเพอร์ชันสะท้อนเมื่อแทรกเส้นใยนำแสงชนิดชุดเซย์ดิสเพอร์ชัน	30
รูปที่ 2.18 แบบจำลองการเกิดกำลังสัญญาณเมื่อทางจากภาคส่งถึงภาครับ	31
รูปที่ 2.19 ขนาดเวกเตอร์ผิดพลาด	33
รูปที่ 2.20 อัตรา比ตผิดพลาดเทียบกับค่าขนาดเวกเตอร์ผิดพลาด	33

รูปที่ 2.21 ความสัมพันธ์ระหว่างอัตราบิตริดพลาดกับคิวแฟคเตอร์	34
รูปที่ 2.22 ตัวขยายก่อนภาครับ	35
รูปที่ 2.23 โครงสร้างภายในตัวขยายอีดีเอฟเอ	35
รูปที่ 2.24 สเปกตรัมแสงของเลเซอร์ปั๊มและสัญญาณรบกวนเออเอสอี	36
รูปที่ 3.1 แผนภาพบล็อกองค์ประกอบหลักภาคส่งสัญญาณแสง	39
รูปที่ 3.2 โครงสร้างของแหล่งกำเนิดแสงเลเซอร์ [2]	40
รูปที่ 3.3 โครงสร้างภายในของดีเอฟบีเลเซอร์	40
รูปที่ 3.4 โครงสร้างภายในของดีบีอาร์เลเซอร์	41
รูปที่ 3.5 แพลตฟอร์มเลเซอร์ปรับค่าได้ของบริษัท Amonics	41
รูปที่ 3.6 ตัวควบคุมโอล่าเรซเซชัน	42
รูปที่ 3.7 ชุดตัวกล้าสัญญาณแบบโอลูโอดิ	42
รูปที่ 3.8 อัตราการขยายของตัวขับขยายของบริษัท Picosecond Lab.[19]	42
รูปที่ 3.9 ชุดตัวกล้าสัญญาณแบบดีคิวพีเอสเค	43
รูปที่ 3.10 โครงสร้างภายในตัวกล้าสัญญาณแบบดีคิวพีเอสเค	43
รูปที่ 3.11 แผนภาพบล็อกอุปกรณ์ภาครับสัญญาณแสง	44
รูปที่ 3.12 ตัวลดTHONกำลังแสงแบบปรับค่าได้	44
รูปที่ 3.13 ตัวขยายอีดีเอฟเอของบริษัท Amonics	45
รูปที่ 3.14 ตัวขยายอีดีเอฟเอของบริษัท JDSU	46
รูปที่ 3.15 ตัวกรองสัญญาณเฉพาะย่านความถี่แสงแบบปรับค่าได้ของบริษัท OPTOQUEST	46
รูปที่ 3.16 สเปกตรัมของตัวกรองสัญญาณเฉพาะย่านความถี่แสงแบบปรับค่าได้	47
รูปที่ 3.17 ดีเลย์อินเตอร์ฟีโรมิเตอร์	47
รูปที่ 3.18 ตัวตรวจจับแสงพีไอเอ็นแบบบาลานซ์	48
รูปที่ 3.19 กราฟคุณลักษณะของตัวขยายจำกัด [26]	49
รูปที่ 3.20 สัญญาณไฟฟ้าจากของตัวตรวจจับแสงพีไอเอ็นแบบบาลานซ์	49

รูปที่ 3.21 ผลการวัดค่าสัมประสิทธิ์การลดTHONของเส้นไนน่าแสงโหมดเดียวมาตรฐาน	50
รูปที่ 3.22 ผลการวัดค่าโครมาติกดิสเพอร์ชันของเส้นไนน่าแสงโหมดเดียวมาตรฐาน	50
รูปที่ 3.23 ผลการวัดค่าสัมประสิทธิ์การลดTHONของเส้นไนน่าแสงชนิดชุดเชยดิสเพอร์ชัน	51
รูปที่ 3.24 ผลการวัดค่าโครมาติกดิสเพอร์ชันของเส้นไนน่าแสงชนิดชุดเชยดิสเพอร์ชัน.....	51
รูปที่ 4.1 แผนภาพบล็อกระบบปรับส่งสัญญาณแสงแบบโอลูโคล	52
รูปที่ 4.2 อุปกรณ์และเครื่องมือวัดที่ใช้ในการทดลองภาครับส่งสัญญาณแสงแบบโอลูโคล	53
รูปที่ 4.3 การวัดสัญญาณ ณ ตำแหน่งต่างๆของภาคส่งสัญญาณแสงแบบโอลูโคล	54
รูปที่ 4.4 สเปกตรัมของเลเซอร์ปรับค่าได้ ณ ตำแหน่ง A	54
รูปที่ 4.5 สัญญาณข้อมูลไฟฟ้าจากเครื่องกำเนิดสัญญาณแพลตเตินที่ตำแหน่ง B	55
รูปที่ 4.6 แผนภาพรูปตาสัญญาณข้าอกของตัวกล้องสัญญาณมัค-เซนเดอร์	55
รูปที่ 4.7 แผนภาพบล็อกการทำหน่งที่ทำการวัดกำลังแสงของระบบส่งสัญญาณแสงแบบโอลูโคล	56
รูปที่ 4.8 มิเตอร์วัดกำลังแสงของบริษัท THORLABS	56
รูปที่ 4.9 ผลการวัดค่าเวลาขีนของภาคส่งและภาครับจากแผนภาพรูปตา	60
รูปที่ 4.10 แผนภาพบล็อกของการวัดค่าแผนภาพรูปตา ณ ตำแหน่งต่างๆของกรณีที่ 1	61
รูปที่ 4.11 แผนภาพบล็อกการทำหน่งการวัดสเปกตรัมแสงของระบบปรับส่งสัญญาณแบบโอลูโคล	65
รูปที่ 4.12 สเปกตรัมของแหล่งกำเนิดแสงเลเซอร์ปรับค่าได้	65
รูปที่ 4.13 สเปกตรัมแสงข้าอกของตัวกล้องสัญญาณแบบโอลูโคล ณ ตำแหน่งที่ 2	66
รูปที่ 4.14 สเปกตรัมแสงเมื่อผ่านตัวขยายอีดีเอฟเอตัวที่ 1 ณ ตำแหน่งที่ 3	66
รูปที่ 4.15 สเปกตรัมของแสงก่อนและหลังผ่านตัวขยายอีดีเอฟเอ ณ ตำแหน่งที่ 3.....	67
รูปที่ 4.16 สเปกตรัมแสงเมื่อผ่านตัวขยายอีดีเอฟเอทั้งสองตัว ณ ตำแหน่งที่ 4	67
รูปที่ 4.17 (ก) และ (ข) สเปกตรัมแสงเมื่อผ่านตัวกรองสัญญาณเฉพาะย่านความถี่แสงแบบปรับค่าได้	68
รูปที่ 4.18 อัตรา比ตผิดพลาดของสัญญาณแสงแบบโอลูโคลกรณีไม่ชดเชยโครมาติกดิสเพอร์ชัน	69

รูปที่ 4.19 อัตราบิตริดพลาดของสัญญาณแสงแบบโอล์โคเกรนนีชดเชยโครมาติกดิสเพอร์ชันไม่สมบูรณ์	70
รูปที่ 4.20 Power Penalty ที่ 10^{-9} เทียบกับระยะทางเหลือจากโครมาติกดิสเพอร์ชัน	71
รูปที่ 4.21 อัตราบิตริดพลาดของระบบส่งสัญญาณแบบโอล์โคเมื่อชดเชยโครมาติกดิสเพอร์ชันสมบูรณ์	71
รูปที่ 4.22 อัตราบิตริดพลาดของระบบส่งสัญญาณแบบโอล์โคเกรนนีต่างๆเมื่อชดเชยโครมาติกดิสเพอร์ชันสมบูรณ์	72
รูปที่ 5.1 แผนภาพบล็อกระบบปรับส่งสัญญาณแสงแบบดีคิวพีเอสเค	74
รูปที่ 5.2 อุปกรณ์และเครื่องมือวัดที่ใช้ในการทดลองภาครับส่งสัญญาณแสงแบบดีคิวพีเอสเค	75
รูปที่ 5.3 ตำแหน่งในการวัดสัญญาณภาคส่งสัญญาณแสงแบบดีคิวพีเอสเค	75
รูปที่ 5.4 สเปกตรัมของเลเซอร์ปรับค่าได้ ณ ตำแหน่ง A	76
รูปที่ 5.5 สัญญาณข้อมูลจากเครื่องกำเนิดสัญญาณแพทเทินพอร์ต Data	76
รูปที่ 5.6 สัญญาณข้อมูลจากเครื่องกำเนิดสัญญาณแพทเทินพอร์ต Invert Data	77
รูปที่ 5.7 ตัวหน่วงเวลาสายสัญญาณข้อมูลไฟฟ้า	78
รูปที่ 5.8 รูปแบบสัญญาณ I เปรียบเทียบกับสัญญาณ Q เมื่อผ่านตัวหน่วงเวลาสาย	78
รูปที่ 5.9 ตัวขับขยายสัญญาณก่อนเข้าตัวกล้ำสัญญาณแบบดีคิวพีเอสเค	79
รูปที่ 5.10 การปรับค่าแรงดันควบคุมอัตราการขยายของตัวขับขยาย	79
รูปที่ 5.11 การปรับตั้งค่าแรงดันไบแอดของตัวกล้ำสัญญาณแบบดีคิวพีเอสเค	80
รูปที่ 5.12 สัญญาณข้อมูลของตัวกล้ำสัญญาณดีคิวพีเอสเค (ก) ป้อนแรงดันไบแอดให้ตัวเลื่อนเฟสไม่สมบูรณ์ และ (ข) ป้อนแรงดันไบแอดให้ตัวเลื่อนเฟสสมบูรณ์	80
รูปที่ 5.13 ผลการวัดแผนภาพกลุ่มการตั้งค่าภาคส่งสัญญาณแสงแบบดีคิวพีเอสเค (ก) ป้อนแรงดันไบแอดให้ตัวเลื่อนเฟสไม่สมบูรณ์ [16] และ (ข) ป้อนแรงดันไบแอดให้ตัวเลื่อนเฟสสมบูรณ์ ..	81
รูปที่ 5.14 แผนภาพบล็อกตำแหน่งต่างๆในการวัดกำลังแสงของระบบปรับส่งสัญญาณแสงดีคิวพีเอสเค	81

รูปที่ 5.15 เครื่องมือวัด Optical Modulation Analyzer	85
รูปที่ 5.16 แผนภาพบล็อกการเชื่อมต่ออุปกรณ์เพื่อวิเคราะห์สัญญาณด้วยเครื่อง OMA.....	85
รูปที่ 5.17 แผนภาพบล็อกดำเนินการวัดスペกตรัมแสงของระบบส่งสัญญาณแสงแบบดิจิทัล皮โอล์เคน	89
รูปที่ 5.18 สเปกตรัมของแหล่งกำเนิดแสงเลเซอร์ปรับค่าได้	89
รูปที่ 5.19 สเปกตรัมแสงขากอกของตัวกล้องสัญญาณแบบดิจิทัล皮โอล์เคน	90
รูปที่ 5.20 สเปกตรัมของแสงก่อนและหลังผ่านตัวขยายอีดีเอฟเอ ณ ตำแหน่งที่ 3.....	90
รูปที่ 5.21 สเปกตรัมแสงเมื่อผ่านตัวขยายอีดีเอฟเอทั้งสองตัว ณ ตำแหน่งที่ 4	91
รูปที่ 5.22 สเปกตรัมแสงเมื่อผ่านตัวกรองสัญญาณเฉพาะย่านความถี่แสงแบบปรับค่าได้	92
รูปที่ 5.23 อัตรา比ตผิดพลาดสัญญาณแสงดิจิทัล皮โอล์เคนกรณีไม่ชดเชยโคลมาติกดิสเพอร์ซัน	93
รูปที่ 5.24 อัตรา比ตผิดพลาดสัญญาณแสงแบบดิจิทัล皮โอล์เคนกรณีชดเชยโคลมาติกดิสเพอร์ซันไม่สมบูรณ์	94
รูปที่ 5.25 Power Penalty ที่ 10^{-9} เทียบกับระยะทางเหลือจากโคลมาติกดิสเพอร์ซัน	95
รูปที่ 5.26 อัตรา比ตผิดพลาดของระบบส่งสัญญาณแบบดิจิทัล皮โอล์เคนกรณีต่างๆเมื่อชดเชยโคลมาติกดิสเพอร์ซันสมบูรณ์	95

สารบัญตาราง

ตาราง 2.1 ผลลัพธ์ของวงจร XOR-gate.....	14
ตารางที่ 2.2 การถอดรหัสข้อมูลเฟสเป็นไบนาเรียของภาครับ.....	27
ตารางที่ 4.1 ผลการวัดค่ากำลังแสง ณ ตำแหน่งต่างๆ	57
ตารางที่ 4.2 กำลังสูญเสียในอุปกรณ์.....	58
ตารางที่ 4.3 ผลการวัดแผนภาพรูปตาตัวส่งสัญญาณแสงแบบโอลิโอลิเครนีที่ 1	61
ตารางที่ 4.4 ผลการวัดแผนภาพรูปตาตัวส่งสัญญาณแสงแบบโอลิโอลิเครนีที่ 2	63
ตารางที่ 4.5 ผลการวัดแผนภาพรูปตาตัวส่งสัญญาณแสงแบบโอลิโอลิเครนีที่ 3	64
ตารางที่ 5.1 ผลการวัดค่ากำลังแสง ณ ตำแหน่งต่างๆ	82
ตารางที่ 5.2 กำลังสูญเสียแทรกในอุปกรณ์ต่างๆ	83
ตารางที่ 5.3 ผลการวัดจากเครื่อง OMA กรณีไม่ชดเชยโครมาติกดิสเพอร์ชัน.....	86
ตารางที่ 5.4 ผลการวัดจากเครื่อง OMA กรณีชดเชยโครมาติกดิสเพอร์ชันไม่สมบูรณ์	87
ตารางที่ 5.5 ผลการวัดจากเครื่อง OMA กรณีชดเชยโครมาติกดิสเพอร์ชันสมบูรณ์	88

บทที่ 1

บทนำ

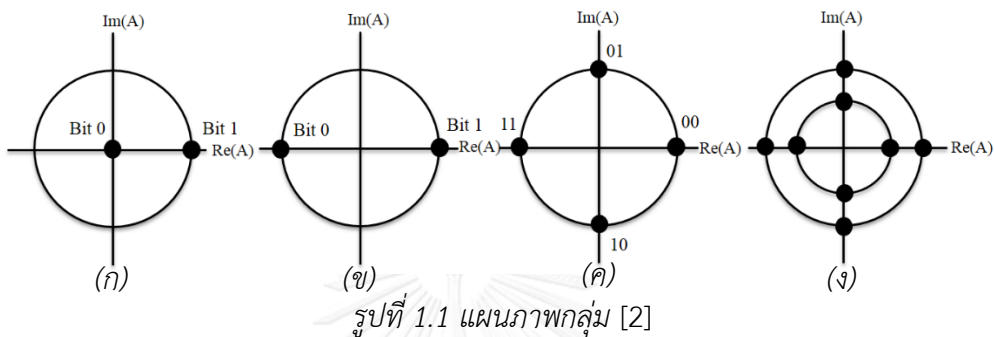
1.1 ที่มาและความสำคัญ

ปัจจุบันการสื่อสารโทรคมนาคมด้วยการรับส่งข้อมูลมีความจำเป็นต่อการใช้ชีวิตประจำวันของมนุษย์ ทั้งในเชิงธุรกิจและการสื่อสารระหว่างมนุษย์ เช่น โทรศัพท์เคลื่อนที่ส่วนบุคคล ตามบ้านเรือนที่อยู่อาศัยและอาคารสำนักงาน ได้มีการติดตั้งอุปกรณ์การรับส่งสัญญาณเชื่อมต่อกับระบบอินเทอร์เน็ต (Internet) หรือโทรศัพท์ระบบดิจิทัล (Digital TV) ที่ต้องการรับชมคุณภาพความชัดสูง (High Definition) ทำให้ปริมาณการใช้งานรับส่งข้อมูลเพิ่มขึ้นอย่างไม่มีสิ้นสุด การสื่อสารด้วยแสงผ่านเส้นใยนำแสง (Optical Fiber Communication) จึงมีบทบาทอย่างมากเพื่อเข้ามารองรับการใช้งาน ด้วยคุณสมบัติที่ดีของการสื่อสารผ่านเส้นใยนำแสงคือสามารถรับส่งได้ท่อตราชีวะสูงเป็นกิกะบิตต่อวินาทีต่อหนึ่งช่องความยาวคลื่นแสง รับส่งได้พร้อมกันหลายร้อยช่องความยาวคลื่น สื่อสารได้ในระยะทางไกลเพราการลดTHONสัญญาณต่ำที่ประมาณ $0.2\text{--}0.4 \text{ dB/km}$ [1] (ขึ้นอยู่กับการเลือกใช้ช่วงความยาวคลื่นแสง) ที่สำคัญไม่ได้รับผลกระทบจากการรบกวนของคลื่นแม่เหล็กไฟฟ้าทำการรับส่งสัญญาณแสงมีคุณภาพสูง

ระบบสื่อสารผ่านเส้นใยนำแสงในปัจจุบันเริ่มถูกนำมาติดตั้งใช้งานมากขึ้นในหลายประเทศรวมถึงประเทศไทย โดยใช้งานเป็นโครงข่ายแกนหลัก (Core Network) หรือ Backbone Network ในโครงข่ายโทรคมนาคม ใช้เชื่อมต่อระหว่างสถานีฐาน (Base Station) ของระบบโทรศัพท์เคลื่อนที่ และการเชื่อมต่อเคเบิลเส้นใยนำแสงใต้ทะเล (Submarine Optical Cables) ระหว่างประเทศ รวมไปถึงโครงข่ายการเข้าถึง (Access Network) เช่นระบบ Fiber-To-The-Home (FTTH) จึงทำให้มีการพัฒนารูปแบบการส่งสัญญาณหลายมาตรฐานในโครงข่ายการเข้าถึง และในโครงข่ายแกนหลักได้พัฒนารูปแบบการกล้าสัญญาณที่แตกต่างกันในหลายวิธี

รูปแบบการกล้าสัญญาณแสงถูกพัฒนามาตั้งแต่อดีตจนถึงปัจจุบัน มีแผนภาพกลุ่ม (Constellation Diagram) แสดงในรูปที่ 1.1 [2] โดยเน้นเรื่องการปรับปรุงประสิทธิภาพสเปกตรัม (Spectral Efficiency) ของระบบการรวมแสงหลายความยาวคลื่น (Wavelength Division Multiplexing, WDM) ทำให้ระบบมีสมรรถนะการส่งสัญญาณสูง และสามารถรองรับอัตราบิตที่สูงขึ้นได้ในอนาคต เริ่มจากอดีตโครงข่ายแกนหลักใช้รูปแบบการกล้าสัญญาณแบบโอ-โอะเค (On-Off Keying, OOK) เป็นการกล้าสัญญาณทางความเข้ม (Intensity Modulation) ซึ่งเป็นรูปแบบการกล้า

สัญญาณที่ง่ายที่สุด ภาครับสามารถตรวจจับสัญญาณได้โดยตรง (Direct Detection) จนกระทั่งหลังปี พ.ศ. 2543 [2] รูปแบบการกล้าสัญญาณอื่นๆ นอกเหนือจากแบบโอลูโคได้รับความสนใจนำมาใช้โดยเปลี่ยนจากเดิมที่กล้าสัญญาณทางความเข้ม มาเป็นรูปแบบการกล้าสัญญาณเฟสขั้นสูง (Advance Phase Modulation Formats) และพัฒนาต่อเนื่องจนสามารถสร้างรูปแบบการกล้าสัญญาณหลายระดับ (Multi-level Modulation) ได้ ดังนั้นรูปแบบการกล้าสัญญาณเฟสจึงกลายมาเป็นทางเลือกหลักที่ใช้ในการพัฒนาระบบสื่อสารผ่านเส้นใยนำแสง



(ก) โอลูโค (ข) บีพีเอสเค (ค) ควีพีเอสเค หรือ ดีควีพีเอสเค (ง) ควีพีเอสเคหลายระดับ

รูปแบบการกล้าสัญญาณเฟสรูปแบบแรกคือ บีพีเอสเค (Binary Phase Shift Keying, BPSK) เป็นรูปแบบการกล้าสัญญาณเฟสในอาร์ โดยอาศัยหลักการเปลี่ยนเฟสของคลื่นพาห์ (Carrier Wave) ระหว่าง 0 กับ 180 องศามาใช้ให้สอดคล้องกับสัญญาณข้อมูลบิต 1 และ 0 ตามลำดับ ทำให้สัญญาณบีพีเอสเคนีร้อยละห่างระหว่างบิตเป็น 2 เท่าเมื่อเทียบกับสัญญาณแบบโอลูโค ดังแสดงในรูปที่ 1.1 (ข) ดังนั้นที่ภาครับค่าอัตราบิตผิดพลาด (Bit Error Rate, BER) ของสัญญาณบีพีเอสเคนีดีกว่าโอลูโคอยู่ 3 dB [3] กล่าวคือบีพีเอสเคจะใช้กำลังแสงน้อยกว่าครึ่งหนึ่งของโอลูโค เพื่อใหม้อัตราบิตผิดพลาดเท่ากัน รายละเอียดการกล้าสัญญาณแบบบีพีเอสเคนีความจุข้อมูล (Data Capacity) ในการส่งเท่ากันกับสัญญาณโอลูโค ดังนั้นจึงมีการพัฒนามาใช้การกล้าสัญญาณเฟสหลายระดับ (Multilevel-Phase Shift Keying, M-PSK) เพื่อเพิ่มความจุข้อมูลที่ต้องการส่ง

การกล้าสัญญาณเฟสหลายระดับรูปแบบแรกคือ ควีพีเอสเค (Quadrature Phase Shift Keying, QPSK) มีแผนภาพกลุ่มแสดงดังรูปที่ 1.1 (ค) รูปแบบการกล้าสัญญาณควีพีเอสเคนีช่วยเพิ่มความจุในการส่งสัญญาณเป็น 2 เท่าจากบีพีเอสเค โดยการสร้างสัญญาณเป็น 2 แกนที่ตั้งฉากกันคือ 1) อินเฟส (In-phase, I) และ 2) ควอตรายอร์เฟส (Quadrature-phase, Q) สามารถสร้างสัญญาณเป็น 4 เฟส และมีอัตราสัญญาณ (Symbol Rate) เท่ากับ 2 bits/symbol ทำให้อัตราบิตที่ใช้ส่งมีค่าเป็น 2 เท่าเมื่อเทียบกับบีพีเอสเค อีกทั้งยังทนต่อผลกระทบของโครมาติกส์เพอร์ชัน (Chromatic Dispersion, CD) และโพลาไรเซชันโมดูลัสเพอร์ชัน (Polarization-Mode Dispersion, PMD) ได้

ดีกว่าโอลูโค [4] รายละเอียดการกล้าสัญญาณแบบคิวพีอีสเคจะอธิบายในหัวข้อที่ 2.1.2.2 อย่างไรก็ตามภาครับสัญญาณคิวพีอีสเคต้องใช้การตรวจจับสัญญาณแบบโค希เรนท์ (Coherent Detection) ซึ่งต้องใช้โลคลอ-ออสซิลเลเตอร์ที่มีเฟสตรงกันกับเฟสสัญญาณที่ต้องการตรวจจับจะทำได้ค่อนข้างยาก รายละเอียดการตรวจจับสัญญาณแบบโค希เรนท์ได้อธิบายในหัวข้อที่ 2.2.2.1 ดังนั้นเพื่อให้ภาครับตรวจจับสัญญาณได้ง่ายขึ้นจึงนำสัญญาณข้อมูลไฟฟ้ามาเข้ารหัสดิฟเฟอเรนเชียล (Differential Coding) ก่อนจะทำการกล้าสัญญาณรวมกับคลื่นพาห์

การเข้ารหัสแบบดิฟเฟอเรนเชียลของสัญญาณคิวพีอีสเคทำให้กลไกเป็นสัญญาณแบบ ดีคิวพีอีสเค (Differential Quadrature Phase Shift Keying, DQPSK) เป็นที่นิยมใช้งานมากที่สุดสำหรับการกล้าสัญญาณเฟสแสง [3] เนื่องด้วยภาครับไม่จำเป็นต้องใช้การตรวจจับแบบโค希เรนท์ แต่ใช้หลักการแยกสัญญาณแบบหน่วงเวลา (Delay Demodulation) ซึ่งในทางปฏิบัติทำได้ง่ายกว่าการตรวจจับแบบโค希เรนท์ อีกทั้งอุปกรณ์ที่ใช้มีความซับซ้อนน้อยกว่า แต่ยังคงมีสมรรถนะในการส่งสัญญาณเหมือนกันกับคิวพีอีสเค ดังแสดงในรูปที่ 1.1 (ค) กล่าวคือสามารถส่งสัญญาณ 2 bits/symbol โดยใช้ 4 เฟสสัญญาณ ทำให้ความจุในการส่งข้อมูลยังคงเป็นสองเท่าเมื่อเทียบกับโอลูโคและบีพีอีสเค [5] ดังนั้นในวิทยานิพนธ์ฉบับนี้จึงเลือกวิธีการส่งสัญญาณแสงที่กล้าสัญญาณแบบดีคิวพีอีสเคมาทำการวิจัย โดยรายละเอียดการเข้ารหัสแบบดิฟเฟอเรนเชียลและการกล้าสัญญาณแบบดีคิวพีอีสเค จะอธิบายในหัวข้อที่ 2.1.2.3 และ 2.1.2.4 ตามลำดับ

อย่างไรก็ตามเมื่ออัตราบิตในการส่งสัญญาณเพิ่มสูงขึ้น ตัวอย่างเช่นจาก 10 Gb/s ไปเป็น 40 Gb/s ผลกระทบจากโครงสร้างไฟเบอร์ชันและโพลาไรซ์เซ็นทรัลเดย์โนมดดิสเพอร์ชันเมื่อส่งสัญญาณผ่านเส้นใยนำแสง荷模เดี่ยวมาตรฐาน (Standard Single Mode Fiber, SSMF) จะทำให้คุณภาพของสัญญาณที่ภาครับลดลง อัตราบิตผิดพลาดสูง ในกรณีที่กล้าสัญญาณแบบดีคิวพีอีสเค เมื่อสังเกตการเปลี่ยนแปลงแผนภาพกลุ่มจะมีลักษณะฟุ้งกระจายออกจากจุดอ้างอิง [6] ทำให้ค่าขนาดเวกเตอร์ผิดพลาด (Error Vector Magnitude, EVM) เพิ่มสูงขึ้น รายละเอียดเรื่องขนาดเวกเตอร์ผิดพลาด อธิบายไว้ในหัวข้อที่ 2.4.3 ดังนั้นระบบสื่อสารผ่านเส้นใยนำแสงที่ต้องการส่งสัญญาณระยะทางไกล ด้วยอัตราบิตสูง จำเป็นต้องลดผลกระทบของโครงสร้างไฟเบอร์ชันและโพลาไรซ์เซ็นทรัลเดย์โนมดดิสเพอร์ชันด้วยวิธีต่างๆ ซึ่งวิธีการที่นิยมใช้คือติดตั้งเส้นใยนำแสงชนิดชดเชยดิสเพอร์ชัน (Dispersion Compensating Fiber, DCF) ร่วมกับเส้นใยนำแสง荷模เดี่ยวมาตรฐาน รายละเอียดจะอธิบายในหัวข้อที่ 2.3.3

ข้อดีของการใช้งานเส้นใยนำแสงแบบชดเชยดิสเพอร์ชันคือสามารถใช้งานร่วมกับเส้นใยนำแสง荷模เดี่ยวมาตรฐานด้วยความยาวเท่ากัน บริษัทที่ทำการติดตั้งใช้เงินลงทุนหลักของ

องค์กร (Capital Expenditure, CPEX) ในการลงทุนติดตั้งเพียงครั้งแรกเท่านั้น เนื่องจากเป็นอุปกรณ์ พาสซีฟ (Passive Device) ทำให้ประหยัดค่าใช้จ่ายประจำขององค์กร (Operational Expenditure, OPEX) เมื่อเปรียบเทียบกับการใช้งานการจัดการดิสเพอร์ชันด้วยชิพกระบวนการสัญญาณดิจิทัล (Digital Signal Processing Chips, DSP-Chips) ที่เป็นอุปกรณ์แอ็คทีฟ (Active Device) ซึ่งต้องใช้ไฟฟ้าทำให้เพิ่มค่าใช้จ่ายประจำขององค์กร

วิทยานิพนธฉบับนี้จะนำเสนอการทดลองทางสมรรถนะของตัวรับส่งสัญญาณแสงแบบโอโซโค และดิคิวพีเอสเค รูปแบบอินอาร์แซท (Non-Return to Zero, NRZ) ที่อัตราบด 10 Gbaud ความยาวคลื่น 1550 nm โดยเน้นการศึกษาผลกระทบของโครมาติกดิสเพอร์ชัน เนื่องจากการส่งสัญญาณผ่านเส้นใยนำแสง荷มเดี่ยวมาตรฐานที่ระยะทางต่างๆ และแก้ปัญหานั้นด้วยการใช้เส้นใยนำแสงชนิดเดียวดิสเพอร์ชัน ทำการวิเคราะห์คุณภาพของสัญญาณด้วยการวิเคราะห์แผนภาพรูปตา (Eye Diagram) สำหรับระบบรับส่งสัญญาณแสงแบบโอโซโค จากนั้นวิเคราะห์แผนภาพกลุ่มและขนาดเวกเตอร์ผิดพลาดสำหรับระบบรับส่งสัญญาณแสงแบบดิคิวพีเอสเค รวมไปถึงการวิเคราะห์สเปกตรัมแสงและวัดค่าอัตราบดผิดพลาด

1.2 วัตถุประสงค์

1. เปรียบเทียบสมรรถนะของตัวรับส่งสัญญาณแสงที่กล้าสัญญาณแบบโอโซโคและดิคิวพีเอสเค ที่อัตราบด 10 Gbaud
2. ศึกษาผลกระทบของโครมาติกดิสเพอร์ชันที่มีต่อสัญญาณแสงแบบโอโซโคและดิคิวพีเอสเค เมื่อส่งผ่านเส้นใยนำแสง荷มเดี่ยวมาตรฐาน ที่ระยะทางต่างๆ
3. ลดผลกระทบของโครมาติกดิสเพอร์ชันด้วยเส้นใยนำแสงชนิดเดียวดิสเพอร์ชัน

1.3 เป้าหมายและขอบเขตงานวิจัย

1. ทดสอบสมรรถนะของตัวรับส่งสัญญาณแสงแบบโอโซโคและดิคิวพีเอสเคที่ความยาวคลื่น 1550 nm และอัตราบด 10 Gbaud ที่ระยะทาง 50 km
2. วัดและวิเคราะห์ผลกระทบของโครมาติกดิสเพอร์ชัน เมื่อส่งสัญญาณผ่านเส้นใยนำแสง荷มเดี่ยวมาตรฐานที่ระยะทางต่างๆ โดยใช้วิเคราะห์งบเวลาขาขึ้น (Rise-time Budget Analysis) สำหรับตัวส่งสัญญาณแสงแบบโอโซโค และวิเคราะห์ขนาดเวกเตอร์ผิดพลาด (Error Vector Magnitude Analysis) สำหรับตัวส่งสัญญาณแสงแบบดิคิวพีเอสเค
3. จัดการโครมาติกดิสเพอร์ชัน โดยใช้เส้นใยนำแสงแบบชุดเดียวดิสเพอร์ชันด้วยความยาวที่สอดคล้องกับความยาวของเส้นใยนำแสง荷มเดี่ยวมาตรฐานในกรณีระยะทางต่างๆ

4. วัดและวิเคราะห์สเปกตรัมแสงที่มีสัญญาณรบกวนເອເສອີ (Amplifier Spontaneous Emission-Noise, ASE-Noise) เมื่อแทรกตัวขยายอีดีເອີ (Erbium Doped Fiber Amplifier, EDFA) และหลังจากการลดTHONสัญญาณรบกวนເອເສອີด้วยตัวกรองสัญญาณ เฉพาะย่านความถี่แสงแบบปรับค่าได้ (Tunable Optical Band Pass Filter, TOBPF)
5. วัดค่าอัตราบิทผิดพลาด (Bit Error Rate, BER) และวิเคราะห์ค่า Power Penalty ที่อัตราบิทผิดพลาด 10^{-9}

1.4 ขั้นตอนการดำเนินงาน

1. ศึกษาทฤษฎีและบทความวรรณกรรมที่เกี่ยวข้องกับงานวิจัยในวิทยานิพนธ์ฉบับนี้
2. อบรมการใช้งานเครื่องมือวัดของบริษัท Agilent Technologies จาก Solution Manager ของบริษัท iRC Technologies Company
3. เรียนรู้การใช้เครื่องมือวัด รวมถึงอุปกรณ์ต่างๆ ในห้องปฏิบัติการวิจัยคลื่นแม่เหล็กไฟฟ้า (Electro Magnetic Research Laboratory, EMRL) ที่ภาควิชาวิศวกรรมไฟฟ้าและห้องปฏิบัติการระบบเครือข่ายโฟโตนิกส์ (Photonic Network System Laboratory) ที่ National Institute of Information and Communications Technology (NICT) ศูนย์เอเชีย
4. ติดตั้งตัวรับส่งสัญญาณแสงทั้งแบบโอลิโอดและดีคิวพีເອສເຄ ແລະทดลองส่งสัญญาณผ่านเส้นใยนำแสง荷模เดี่ยวมาตรฐานที่ระยะทางต่างๆ และวิเคราะห์ผลผลกระทบจากโครงสร้างติดตั้งเพอร์ชัน
5. แทรกตัวขยายอีดีເອີเพื่อเพิ่มงบกำลัง และระยะทางในการรับส่งสัญญาณ
6. วัดและวิเคราะห์สเปกตรัมโดยใช้เครื่องมือวัดค่าสเปกตรัมแสง (Optical Spectrum Analyzer, OSA) เพื่อดูผลกระทบของสัญญาณรบกวนເອເສອີเมื่อแทรกตัวขยายอีดีເອີ
7. วัดค่าอัตราบิทผิดพลาดเมื่อส่งสัญญาณผ่านเส้นใยนำแสงที่ระยะทางต่างๆ และวิเคราะห์ค่า Power Penalty ที่อัตราบิทผิดพลาด 10^{-9}
8. วิเคราะห์ผลการทดสอบสมรรถนะของตัวรับส่งสัญญาณแสงทั้ง 2 แบบ และสรุปผลการทดลอง
9. เจียนวิทยานิพนธ์ฉบับสมบูรณ์

1.5 ประโยชน์ที่คาดว่าจะได้รับ

1. ได้รับความรู้ความเข้าใจทักษะในการใช้งานเครื่องมือวัด และอุปกรณ์ต่างๆ ในห้องปฏิบัติการ วิจัยคุณภาพและหลักไฟฟ้าและห้องปฏิบัติการระบบเครือข่ายไฟฟ้าและดิจิทัล
2. สามารถติดตั้งทดลองระบบส่งสัญญาณแสงที่กล้าสัญญาณทั้งโอลูโคและดิจิทัล
3. สามารถเรียนรู้หลักการคิดวิเคราะห์เชื่อมโยงระหว่างผลการทดลอง กับแนวโน้มที่เป็นไปตามทฤษฎีได้
4. สามารถนำทักษะการใช้อุปกรณ์และเครื่องมือวัดไปประยุกต์ใช้กับการทำงานจริง และเป็นผู้เชี่ยวชาญเฉพาะด้านระบบสื่อสารผ่านเส้นใยนำแสงหลังสำเร็จการศึกษา

1.6 ประมวลวิทยานิพนธ์

บทที่ 1 บทนำ: เนื้อหาในบทนี้ได้กล่าวถึงที่มาและความสำคัญของหัวข้อการวิจัย วิวัฒนาการของระบบสื่อสารทางแสง รวมไปถึงวัตถุประสงค์ เป้าหมายขอบเขตงานวิจัย ขั้นตอนการดำเนินงาน และประโยชน์ที่คาดว่าจะได้รับ

บทที่ 2 หลักการและทฤษฎีที่เกี่ยวข้อง: เนื้อหาในบทนี้ได้กล่าวถึงทฤษฎีและหลักการของภาคส่งและภาครับสัญญาณแสง รูปแบบการกล้าสัญญาณแบบต่างๆ ผลกระทบเมื่อส่งสัญญาณผ่านเส้นใยนำแสงโดยเดี่ยวมาตรฐาน และเกณฑ์กำหนดสมรรถนะของระบบ

บทที่ 3 อุปกรณ์สำคัญที่ใช้ในโครงสร้าง: เนื้อหาในบทนี้กล่าวถึงอุปกรณ์สำคัญของระบบรับส่งสัญญาณแสงทั้งโอลูโคและดิจิทัล โดยอิบายังชนิดของแต่ละอุปกรณ์หลักการทำงาน รวมไปถึงโครงสร้างภายใน และตัวแปรต่างๆ ที่นำไปใช้ในการคำนวณสมการตามทฤษฎี

บทที่ 4 การทดลองสมรรถนะตัวรับส่งสัญญาณแสงแบบโอลูโค: เนื้อหาในบทนี้กล่าวถึงการติดตั้งใช้งานภาคส่งและภาครับสัญญาณแสงแบบโอลูโค การวิเคราะห์เกณฑ์กำหนดสมรรถนะ และผลการทดลองส่งผ่านเส้นใยนำแสงโดยเดี่ยวมาตรฐาน วิเคราะห์แผนภาพรูปตา สเปกตรัมแสง และอัตราบิตผิดพลาด

บทที่ 5 การทดลองสมรรถนะตัวรับส่งสัญญาณแสงแบบดิจิทัล: เนื้อหาในบทนี้กล่าวถึงการติดตั้งใช้งานภาคส่งและภาครับสัญญาณแสงแบบดิจิทัล ดิจิทัล การวิเคราะห์เกณฑ์กำหนดสมรรถนะ และผลการทดลองส่งผ่านเส้นใยนำแสงโดยเดี่ยวมาตรฐาน วิเคราะห์แผนภาพกลุ่ม สเปกตรัมแสง และอัตราบิตผิดพลาด

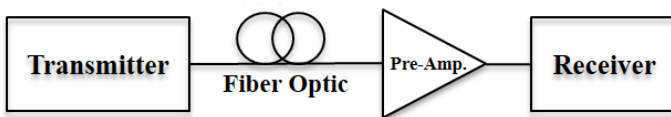
บทที่ 6 บทสรุปและข้อเสนอแนะ: เนื้อหาในบทนี้จะกล่าวถึงบทสรุปของวิทยานิพนธ์ และ
ข้อเสนอแนะต่างๆ เพื่อนำไปพัฒนาต่อยอดงานวิจัยต่อไปในอนาคต



บทที่ 2

หลักการและทฤษฎีที่เกี่ยวข้อง

ในบทนี้จะกล่าวถึงหลักการและทฤษฎีที่เกี่ยวข้องทั้งหมดของวิทยานิพนธ์ฉบับนี้ ซึ่งได้อธิบายถึงหลักการและทฤษฎีขององค์ประกอบระบบสื่อสารทางแสงดังรูปที่ 2.1 ประกอบด้วยหัวข้อที่ 2.1 ทฤษฎีของภาคส่งสัญญาณ หัวข้อที่ 2.2 หลักการและทฤษฎีของภาครับสัญญาณ หัวข้อที่ 2.3 ผลกระทบเมื่อส่งสัญญาณผ่านสื่อกลางด้วยเส้นใยนำแสง荷模เดี่ยวมาตรฐาน หัวข้อที่ 2.4 เกณฑ์กำหนดสมรรถนะ และ หัวข้อที่ 2.5 อธิบายถึงหลักการและทฤษฎีของตัวขยายก่อนภาครับ



รูปที่ 2.1 แผนภาพบล็อกของระบบสื่อสารผ่านเส้นใยนำแสงเบื้องต้น

2.1 ภาคส่งสัญญาณแสง (Optical Transmitter)

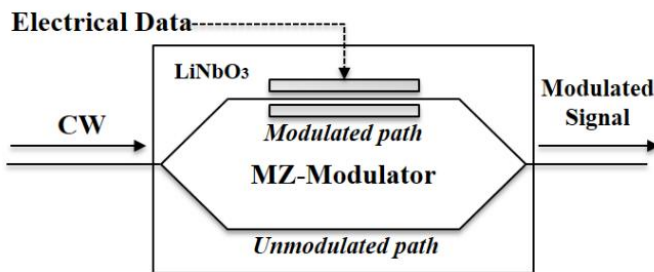
ภาคส่งสัญญาณแสงมีหลักการทำงานเบื้องต้นคือ ทำหน้าที่กล้าสัญญาณไฟฟ้ารวมกับคลื่นแสงจากแหล่งกำเนิด เพื่อส่งสัญญาณไปในเส้นใยนำแสงซึ่งมีองค์ประกอบหลัก คือ 1) แหล่งกำเนิดแสง (Light Source) และ 2) ตัวกล้าสัญญาณ (Modulator) แหล่งกำเนิดแสงจะอธิบายหลักการทำงานและรายละเอียดไว้ในหัวข้อที่ 3.1.1 ส่วนในหัวข้อนี้จะเน้นในเรื่องการอธิบายหลักการและทฤษฎีการกล้าสัญญาณรูปแบบต่างๆ ซึ่งแบ่งออกเป็น 2 รูปแบบคือ 1) การกล้าสัญญาณทางความเข้ม และ 2) การกล้าสัญญาณเฟส รายละเอียดดังหัวข้อ 2.1.1 และ 2.1.2 ตามลำดับ

2.1.1 การกล้าสัญญาณทางความเข้ม (Intensity Modulation)

การกล้าสัญญาณทางความเข้มเป็นที่นิยมใช้ในระบบสื่อสารผ่านเส้นใยนำแสงสามารถทำได้ 3 วิธีคือ 1) การกล้าสัญญาณทางตรง (Direct Modulation) 2) การกล้าสัญญาณแบบบดูดกลืนคลื่นไฟฟ้า (Electro-Absorption Modulation) และ 3) การกล้าสัญญาณภายนอก (External Modulation) ซึ่งในวิทยานิพนธ์ฉบับนี้ใช้ตัวกล้าสัญญาณมัค-เซนเดอร์ (MZM Modulator) ในการทดลอง ดังนั้นในหัวข้อนี้จะอธิบายเฉพาะการกล้าสัญญาณภายนอกโดยใช้ตัวกล้าสัญญาณมัค-เซนเดอร์

ตัวกล้าสัญญาณมัค-เซนเดอร์ ใช้สำหรับกล้าสัญญาณทางความเข้มแสงที่มีอัตราบิตสูงตั้งแต่ 10 Gb/s ขึ้นไป ซึ่งตัวกล้าสัญญาณมัค-เซนเดอร์ผลิตจากลิเทียมไนโตรบาร์บิท (Lithium Niobate,

LiNbO_3) โครงสร้างภายในแสดงดังรูปที่ 2.2 [1] มีลักษณะเป็นท่อน้ำคลื่นแสง (Optical Waveguide) 2 เส้นทาง มีหลักการทำงานคือเมื่อคลื่นแสงต่อเนื่อง (Continuous-light Wave, CW) จากแหล่งกำเนิดเข้ามาแสงจะถูกแยกออกเป็น 2 เส้นทาง เส้นทางแรกเรียกว่า เส้นทางกล้าสัญญาณ (Modulated Path) เป็นเส้นทางที่ขับด้วยขั้วไฟฟ้าที่จ่ายแรงดันเพื่อให้เกิดปรากฏการณ์อิเล็กโตร-ออฟติก (Electro-Optic) ด้ัชนีหักเหจะเปลี่ยนอย่างรวดเร็วตามแรงดันตกคร่อมและกล้ารวมกับสัญญาณข้อมูลไฟฟ้า (Electrical Data) เส้นทางที่สองคือเส้นทางไม่กล้าสัญญาณ (Unmodulated Path) แสงจะวิ่งผ่านและไปแทรกสอดกับเส้นทางแรกรวมเป็นสัญญาณที่ถูกกล้าทางความเข้ม



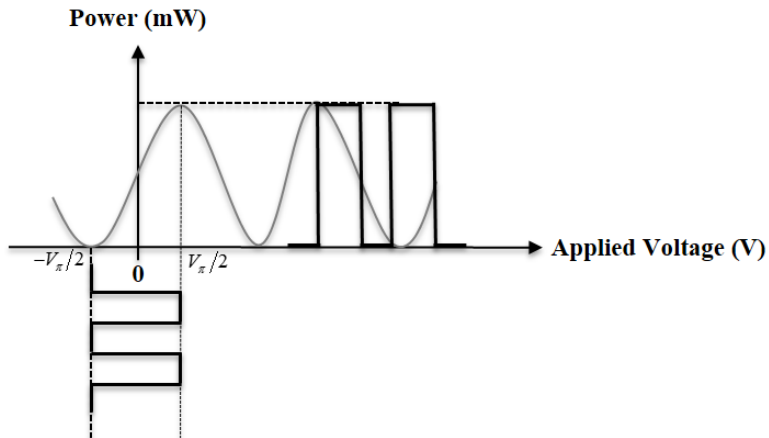
รูปที่ 2.2 โครงสร้างภายในของตัวกล้าสัญญาณมัค-เซนเดอร์ [1]

หลักการกล้าสัญญาณของมัค-เซนเดอร์คือ ทำหน้าที่เป็นตัวเลื่อนเฟส (Phase Shifter) เป็นไปตามสมการที่ (2.1) [1] กล่าวคือตัวกล้าสัญญาณมัค-เซนเดอร์ทำหน้าที่สร้างผลต่างเฟส $\Delta\phi$ ระหว่าง 2 เส้นทาง ซึ่งผลต่างเฟสจะแปรผันตามค่าดัชนีหักเห Δn ที่เปลี่ยนแปลงตามแรงดันตกคร่อม V เมื่อ λ คือความยาวคลื่นแสง L คือความยาวของท่อน้ำคลื่นแสง และ V_π คือแรงดันตกคร่อมที่สร้างผลต่างเฟสเท่ากับ π เรเดียน

$$\Delta\phi = \frac{2\pi}{\lambda} (\Delta n) L = \pi \frac{V}{V_\pi} \quad (2.1)$$

ระดับกำลังแสงขาออกของตัวกล้าสัญญาณมัค-เซนเดอร์ P_{out} สามารถคำนวณได้จากสมการที่ (2.2) [1] โดย P_{in} คือกำลังแสงขาเข้าและ $L_{insertion}$ คือกำลังสูญเสียแทรกของตัวมัค-เซนเดอร์ มีคุณลักษณะการกล้าสัญญาณดังแสดงในรูปที่ 2.3 กล่าวคือระดับกำลังแสงขาออกจากตัวกล้าสัญญาณมัค-เซนเดอร์จะแปรผันตามค่าแรงดันตกคร่อมเป็นรูปคลื่นไอน์บูร์ ในช่วง $-V_\pi/2$ ถึง $V_\pi/2$ และในการกล้าสัญญาณข้อมูลดิจิทัลต้องเลือกช่วงแรงดันให้เหมาะสม โดยทั่วไปแรงดันໄบ้แอกสเท่ากับ 0 V ในการส่งบิต 0 แรงดัน V ต้องเท่ากับ $-V_\pi/2$ และการส่งบิต 1 แรงดัน V ต้องเท่ากับ $V_\pi/2$ เพื่อให้ได้อัตราส่วนเอิกทิงค์ชันสูงสุด (Extinction Ratio)

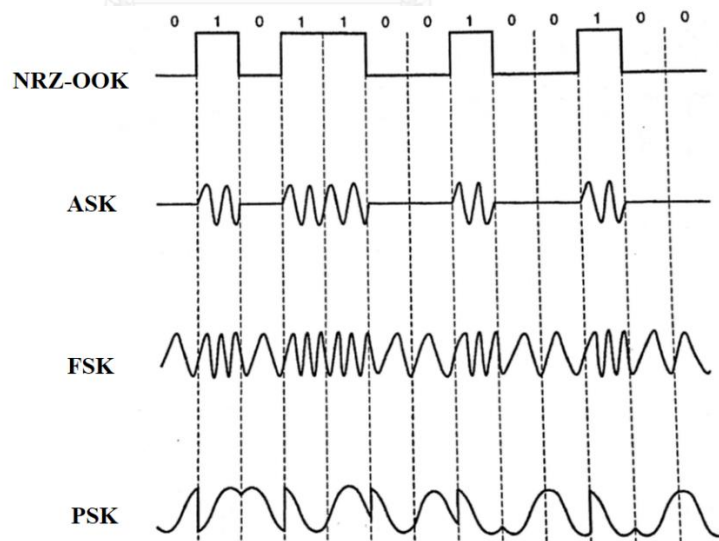
$$P_{out} = \frac{P_{in} \cdot L_{insertion}}{2} \left[1 + \sin\left(\pi \frac{V}{V_\pi}\right) \right] \quad (2.2)$$



รูปที่ 2.3 คุณลักษณะเฉพาะการกล้าสัญญาณของตัวกล้าสัญญาณมัค-เซนเดอร์

2.1.1.1 การกล้าสัญญาณแบบโอโอิเค (On-Off Keying, OOK)

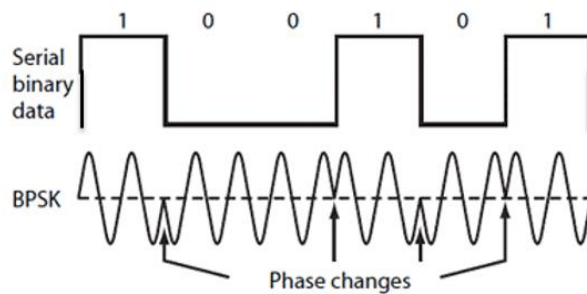
ในการกล้าสัญญาณทางความเข้ม รูปแบบสัญญาณที่สร้างง่ายที่สุดคือโอโอิเคโดยใช้ตัวกล้าสัญญาณมัค-เซนเดอร์ดังที่กล่าวมาในหัวข้อก่อนหน้านี้ กระบวนการสร้างสัญญาณแบบโอโอิเคเมื่อหลักการเช่นเดียวกันกับแบบເອເສເຄ (Amplitude Shift Keying, ASK) กล่าวคืออาศัยการเปลี่ยนแปลงแອມພລິຈຸດຂອງຄລືນພາທ (Carrier Wave) ໄປຕາມຂໍ້ມູນດິຈິທັລ 0 ອີຣີ 1 ທີ່ປ້ອນເຂົາມາດັ່ງແສດງໃນຮູບທີ 2.4 [2] ຈະເຫັນໄດ້ວ່າເມື່ອສัญญาณຂໍ້ມູນເປັນບີຕ 0 ແອມພລິຈຸດເທົກກັບ 0 ແຕ່ຄ້າສัญญาณຂໍ້ມູນເປັນບີຕ 1 ເທົກກັບແອມພລິຈຸດສູງສຸດຂອງຄລືນພາທ



ຮູບທີ 2.4 ຮູບຄລືນການກລ້າສັງຄານຮູບແບບຕ່າງໆ [2]

2.1.2 การกล้ำสัญญาณเฟส (Phase Modulation)

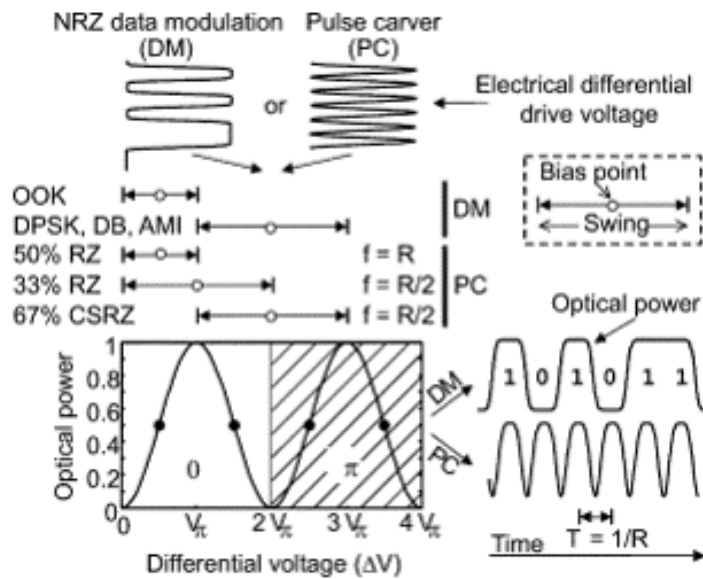
การกล้ำสัญญาณเฟสหรือเรียกว่า พีอีสเค (Phase Shift Keying, PSK) มีหลักการเบื้องต้นคือ แอนพลิจูดและคลื่นพาห์จะถูกกำหนดให้เป็นค่าคงที่ค่าหนึ่งโดยไม่มีการเปลี่ยนแปลงใดๆ ส่วนที่เปลี่ยนไปตามข้อมูล 0 หรือ 1 คือเฟส ดังแสดงในรูปที่ 2.5 [7] โดยทั่วไปถ้าต้องการให้ระบบที่มีสมรรถนะดี มักจะเลือกให้เฟสทั้งสองมีค่าต่างกัน 180 องศา วิธีการกล้ำสัญญาณเฟสที่กล่าวมานี้เป็นเพียงหลักการพื้นฐานเบื้องต้นเท่านั้น แต่ในการใช้งานจริงรูปแบบการกล้ำสัญญาณเฟสจะมีความแตกต่างกันอีกอยู่กับความต้องการความจุในการส่งสัญญาณ ซึ่งรายละเอียดได้อธิบายไว้ในหัวข้อถัดไป



รูปที่ 2.5 รูปคลื่นการกล้ำสัญญาณดิจิทัลในอารีแบบพีอีสเค [7]

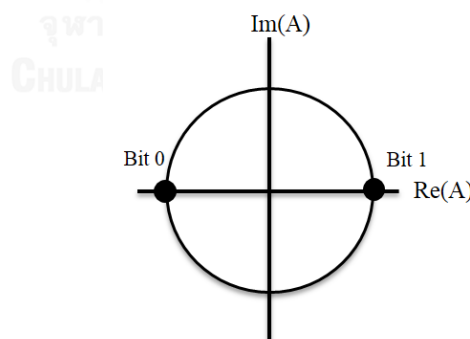
2.1.2.1 การกล้ำสัญญาณแบบบีพีอีสเค (Binary Phase Shift Keying, BPSK)

การกล้ำสัญญาณเฟสรูปแบบแรกคือ บีพีอีสเค หลักการสร้างสัญญาณแสงแบบบีพีอีสเคทำได้โดยใช้ตัวกล้ำสัญญาณแบบมัค-เซนเดอร์ เช่นเดียวกันกับโอดิโอเค แต่แตกต่างกันที่การตั้งค่าพารามิเตอร์ V_π ของสมการที่ (2.1) ต้องมีค่าเป็น $2V_\pi$ เพื่อให้ได้สัญญาณใบารี 0 และ 1 ที่มีเฟสต่างกัน π เรเดียนหรือ 180 องศา ซึ่งการปรับตั้งค่าพารามิเตอร์ V_π ของรูปแบบการกล้ำสัญญาณต่างๆแสดงดังรูปที่ 2.6 [3]



รูปที่ 2.6 การปรับตั้งค่าแรงดันของการกล้าสัญญาณรูปแบบต่างๆ [3]

บีพีเอสเคส่งสัญญาณเป็น 1 bit/symbol ใน 2 เพสที่มีความต่างเพส 180 องศา เป็นไปตาม แผนภาพกลุ่ม (Constellation Diagram) ดังแสดงในรูปที่ 2.7 [2] จะเห็นได้ว่าขนาดของสัญญาณบีพีเอสเคมีขนาดเป็น 2 เท่าเมื่อเทียบกับโอลิโอเค สามารถปรับปรุงค่าความไวภาครับ (Receiver Sensitivity) ได้มากกว่าระบบที่กล้าสัญญาณแบบโอลิโอเคเท่ากับ 3 dB [3] ที่อัตราบิทเท่ากัน กล่าวคือ ระบบที่กล้าสัญญาณแบบโอลิโอเคจะต้องใช้กำลังส่งมากกว่าระบบที่กล้าสัญญาณแบบบีพีเอสเคนะ 2 เท่า เพื่อให้ได้อัตราบิทผิดพลาดเท่ากัน



รูปที่ 2.7 แผนภาพกลุ่มของสัญญาณบีพีเอสเค

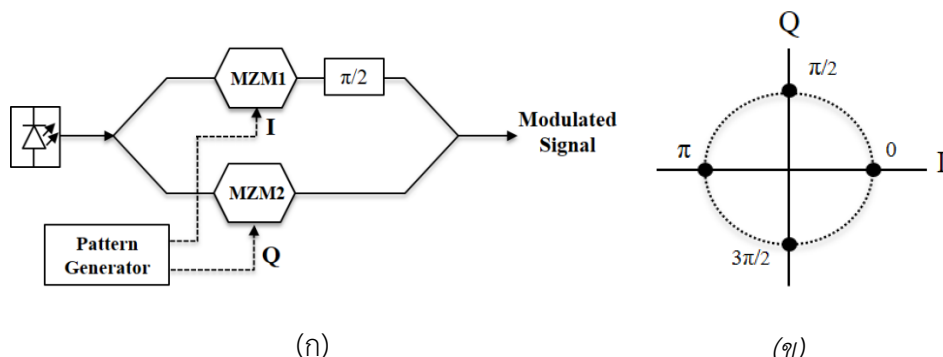
อย่างไรก็ตามการส่งสัญญาณแบบบีพีเอสเค ที่ภาครับต้องใช้การตรวจจับแบบโค希เยนท์ (Coherent Detection) เนื่องจากเพสของคลื่นพาห์แสงเปลี่ยนแปลงไปตามข้อมูล จึงไม่สามารถรับสัญญาณโดยตรงได้ จำเป็นต้องใช้โลคอล-อสซิเลเตอร์ (Local Oscillator) มาใช้สร้างแกนอ้างอิงซึ่งรายละเอียดกล่าวไว้ในหัวข้อที่ 2.2.2.1 ดังนั้นการส่งสัญญาณเพสรูปแบบที่นิยมใช้กันคือ ดีพีเอสเค (Differential Phase Shift Keying, DPSK) โดยนำสัญญาณข้อมูลไฟฟ้ามาทำการเข้ารหัสแบบดิฟ

เฟอเรนเชียล (Differential Coding) ก่อนกล้าสัญญาณ รายละเอียดการเข้ารหัสแบบดิฟเฟอเรนเชียล อธิบายไว้ในหัวข้อ 2.1.2.3 อีกทั้งการกล้าสัญญาณแบบดิฟเฟอเรนเชียล ไม่จำเป็นต้องใช้การตรวจจับแบบ โคชีเรนท์ แต่ใช้หลักการแยกสัญญาณแบบหน่วงเวลา (Delay Demodulation) รายละเอียดอธิบาย ไว้ในหัวข้อ 2.2.2.2 ซึ่งในทางปฏิบัติสามารถทำได้ง่ายกว่าการตรวจจับสัญญาณแบบโคชีเรนท์

2.1.2.2 การกล้าสัญญาณแบบคิวพีเอสเค (Quadrature Phase Shift Keying, QPSK)

การกล้าสัญญาณแบบคิวพีเอสเคนน์ สามารถเพิ่มระดับบิตข้อมูลในการส่งสัญญาณจาก 1 bit/symbol ไปเป็น 2 bits/symbol หลักการสร้างสัญญาณแสงแบบคิวพีเอสเค ทำได้โดยใช้ตัวกล้าสัญญาณแบบมัค-เซนเดอร์ที่มีคุณลักษณะเหมือนกัน 2 ตัว ต่อขนาดกันดังแสดงในรูปที่ 2.8 (ก). และ จ่ายแรงดันให้ตัวกล้าสัญญาณมัค-เซนเดอร์แต่ละตัวเท่ากับ $2V_x$ เพื่อให้สัญญาณแต่ละแกนมีเฟส ต่างกัน 180 องศาเข่นเดียวกันกับ บีพีเอสเค โดยเมื่อแสงจากแหล่งกำเนิดคลื่นแสงต่อเนื่องเข้ามายัง ตัวกล้าสัญญาณ แสงจะถูกแยกเป็น 2 เส้นทางให้กับตัวกล้าสัญญาณมัค-เซนเดอร์แต่ละตัว มัค-เซนเดอร์ตัวที่ 1 (MZM1) ทำหน้าที่กล้าสัญญาณไฟฟ้ารวมกับแสงเพื่อสร้างสัญญาณ I (In Phase) และตัวกล้าสัญญาณมัค-เซนเดอร์ตัวที่ 2 (MZM2) ทำหน้าที่กล้าสัญญาณไฟฟ้าจากอิควาเลนซ์ แหล่งกำเนิดหนึ่งรวม กับแสงเพื่อสร้างสัญญาณ Q (Quadrature Phase) และเพิ่มตัวเลื่อนเฟส 90 องศาไว้ที่ขาข้างหนึ่ง ของตัวกล้าสัญญาณนี้เพื่อให้สัญญาณ I และ Q ตั้งฉากกันดังแสดงในรูปที่ 2.8 (ข) รวมกันเป็น สัญญาณแสงที่กล้าสัญญาณแบบคิวพีเอสเค องค์ประกอบทั้งหมดที่กล่าวมานี้ทำให้ตัวกล้าสัญญาณ รูปนี้มักจะเรียกอีกชื่อหนึ่งว่าตัวกล้าสัญญาณไอดิว (IQ-Modulator)

จากที่กล่าวมาข้างต้นทำให้ได้สัญญาณที่ได้มีสถานะข้อมูล (Data State) ที่ต่างกันถึง 4 รูปแบบคือ 00 01 10 11 มีเฟสต่างกัน 90 องศาดังแสดงในรูปที่ 2.8 (ข)

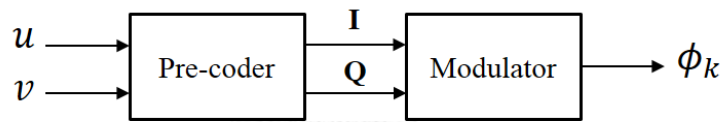


รูปที่ 2.8 (ก) แผนภาพบล็อกตัวกล้าสัญญาณคิวพีเอสเค และ (ข) แผนภาพกลุ่มคิวพีเอสเค

2.1.2.3 การเข้ารหัสแบบดิฟเฟอเรนเชียล (Differential Coding)

ในการส่งสัญญาณแบบดีพีเอสเค หรือ ดีคิวพีเอสเค ต้องเข้ารหัสสัญญาณข้อมูลไฟฟ้าก่อนที่จะนำไปกล้าสัญญาณรวมกับคลื่นพาห์ เนื่องจากภาครับของสัญญาณดิฟเฟอเรนเชียลใช้หลักการแยกสัญญาณแบบหน่วงเวลา (Delay Demodulation) โดยใช้อุปกรณ์ดีเลอร์ อินเตอร์เฟอเรนซ์ (Delay Interferometer, DI) ซึ่งอธิบายรายละเอียดไว้ในหัวข้อที่ 2.2.2.2 สัญญาณที่ถูกแยกมาจากอุปกรณ์นี้ จะมีแพลตเทินไม่ตรงกันกับสัญญาณต้นทางจากแหล่งกำเนิดสัญญาณแพลตเทิน จึงจำเป็นต้องมีการเข้ารหัสดิฟเฟอเรนเชียลก่อนกล้าสัญญาณ เพื่อให้สัญญาณข้าอกจากภาครับถูกตัดรหัสแล้วตรงกันกับสัญญาณต้นทาง

หลักการเข้ารหัสแบบดิฟเฟอเรนเชียลนี้ ทำได้โดยส่งสัญญาณบิตข้อมูลผ่านอุปกรณ์ที่เรียกว่าวงจร Pre-Coder ซึ่งโครงสร้างภายในเป็นวงจรตรรกะ (Logic Circuit) แบบ Exclusive Or (XOR) ดังแสดงรูปที่ 2.9 [8] ทำหน้าที่เปรียบเทียบสัญญาณบิตข้อมูล u, v กับสัญญาณข้อมูลบิตขาออกก่อนหน้า (Previous Bit Output) ก่อนส่งไปยังตัวกล้าสัญญาณผลลัพธ์ของวงจร Pre-Coder แสดงดังตารางที่ 2.1



รูปที่ 2.9 แผนภาพบล็อก Pre-Coder

ตารางที่ 2.1 ผลลัพธ์การเข้ารหัสดิฟเฟอเรนเชียลด้วย Pre-Coder

u, v	สัญญาณขาออกของวงจร Pre-Coder ก่อนหน้า	I, Q
00	00	00
00	01	01
00	10	10
00	11	11
01	00	01
01	01	00

u, v	สัญญาณขาออกของวงจร Pre-Coder ก่อนหน้า	I,Q
01	10	11
01	11	10
10	00	10
10	01	11
10	10	00
10	11	01
11	00	11
11	01	10
11	10	01
11	11	00

ดังนั้นแล้วการเข้ารหัสแบบดิฟเพอเรนเซียลเพื่อให้ได้สัญญาณบิตข้อมูลใหม่ ก่อนที่จะนำไปกล้าสัญญาณรวมกับคลื่นพาห์สามารถคำนวณได้จากสมการที่ (2.3) และ (2.4) [9] ตามลำดับ

$$I_k = (\overline{u_k \oplus v_k}) \cdot (u_k \oplus I_{k-1}) + (u_k \oplus v_k) \cdot (v_k \oplus Q_{k-1}) \quad (2.3)$$

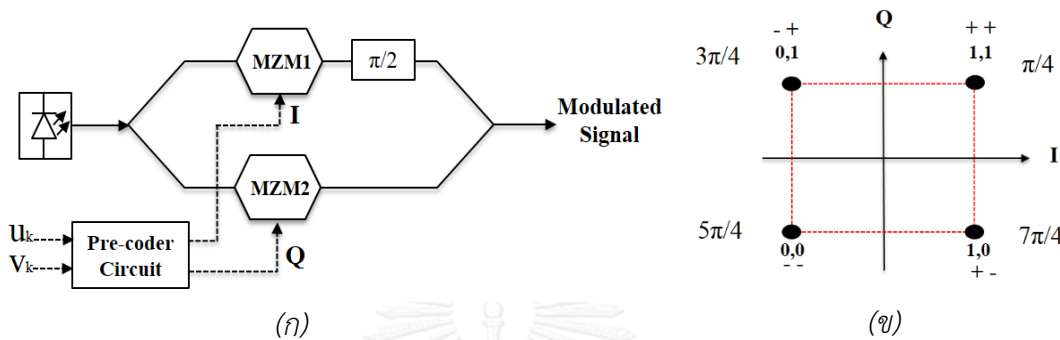
$$Q_k = (\overline{u_k \oplus v_k}) \cdot (u_k \oplus Q_{k-1}) + (u_k \oplus v_k) \cdot (v_k \oplus I_{k-1}) \quad (2.4)$$

โดยที่ u_k และ v_k คือบิตข้อมูลเดิมจากแหล่งกำเนิดสัญญาณแพลตเทิน I_k และ Q_k คือสัญญาณเอาท์พุตจากการ Pre-coder ที่จะนำไปใช้ในการกล้าสัญญาณกับคลื่นพาห์ I_{k-1} และ Q_{k-1} คือบิตอ้างอิงของวงจร Pre-coder

2.1.2.4 การกล้าสัญญาณแบบดีคิวพีเอสเค (Differential Quadrature Phase Shift Keying, DQPSK)

การกล้าสัญญาณแบบดีคิวพีเอสเคเป็นการกล้าสัญญาณเฟสที่นิยมใช้ในการส่งสัญญาณมากที่สุด [3] โดยแผนภาพбл็อกของตัวส่งสัญญาณแสดงแบบดีคิวพีเอสเค แสดงดังรูปที่ 2.10 (ก) มี

หลักการสร้างสัญญาณเมื่อนอกกับคิวพีเอสเค แต่แตกต่างกันที่ดีคิวพีเอสเคมีการเข้ารหัสสัญญาณบิตข้อมูลแบบบดิฟเพอเรนเชียลด้วยวงจร Pre-coder ก่อนที่จะกล้าสัญญาณรวมกับคลื่นพาห์แสง และยังมีประสิทธิภาพในการส่งสัญญาณเมื่อกับคิวพีเอส กล่าวคือมีความจุของสัญญาณในการส่ง 2 bits/symbol ซึ่งแบ่งสัญญาณเป็น 2 แกน ทั้ง I และ Q และมี 4 เพส โดยทั่วไปเฟสของสัญญาณแบบดีคิวพีเอสเคมีค่าเป็น $\pi/4$, $3\pi/4$, $5\pi/4$ และ $7\pi/4$ แสดงดังรูปที่ 2.10 (x)



รูปที่ 2.10 (g). แผนภาพбл็อกตัวส่งสัญญาณแบบดีคิวพีเอสเค และ (x). แผนภาพกลุ่มดีคิวพีเอสเค

ข้อดีของสัญญาณที่ถูกกล้าแบบดีคิวพีเอสเค คือที่ภาครับไม่จำเป็นต้องใช้การตรวจจับสัญญาณแบบโคอีเรนท์ แต่ใช้หลักการแยกสัญญาณแบบหน่วงเวลาแทน ซึ่งในทางปฏิบัติมีกระบวนการแยกสัญญาณที่ไม่ซับซ้อนจึงทำให้ดีคิวพีเอสเป็นที่นิยมนำมาใช้ในการส่งสัญญาณ

ภาครับสัญญาณ (Receiver)

ในหัวข้อนี้อธิบายถึงหลักการและทฤษฎีต่างๆ ในการแยกสัญญาณ (Demodulation) ซึ่งในวิทยานิพนธ์ฉบับนี้ได้ใช้การแยกสัญญาณ 2 รูปแบบหลักคือ 1) การตรวจจับสัญญาณโดยตรง (Direct Detection) และ 2) รูปแบบการแยกสัญญาณเฟส (Phase Demodulation Schemes) ซึ่งอธิบายรายละเอียดไว้ในหัวข้อที่ 2.2.1 และ 2.2.2 ตามลำดับ

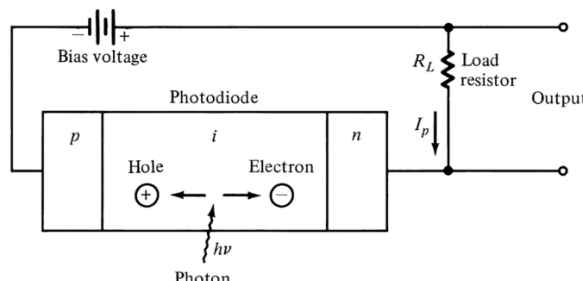
2.1.3 การตรวจจับสัญญาณโดยตรง (Direct Detection)

การตรวจจับสัญญาณโดยตรง คือการตรวจจับสัญญาณแสงที่ตกรอบทับตัวตรวจจับแสง (Photo Detector, PD) ที่ภาครับโดยตรง นิยมใช้ในการรับสัญญาณแสงที่ผ่านการกล้าสัญญาณทางความเข้มดังที่อธิบายไว้ในหัวข้อที่ 2.1.1 จึงเรียกถูกเรียกอีกชื่อหนึ่งว่า การกล้าสัญญาณทางความเข้ม/การตรวจจับโดยตรง (Intensity-Modulation/Direct Detection (IM/DD)) โดยใช้อุปกรณ์เพียงแค่ตัวเดียวในการแยกสัญญาณคือ ตัวตรวจจับแสงเป็นวิธีการแยกสัญญาณที่ง่ายที่สุด ตัวตรวจจับแสงมีอยู่ 2 ชนิดหลักคือ 1) ตัวตรวจจับแสงชนิดพีไอเอ็น (Positive Intrinsic Negative Photo Detector, PIN PD) และ 2) ตัวตรวจจับแสงชนิดเอพีดี (Avalanche Photo Detector,

APD) วิทยานิพนธ์นี้ใช้ตัวตรวจจับแสงชนิดพีไอเอ็นมาใช้ในการทดลอง ดังนั้นจะอธิบายรายละเอียด เนื่องจากตัวตรวจจับแสงชนิดพีไอเอ็นดังหัวข้อที่ 2.2.1.1 เท่านั้น

2.1.3.1 ตัวตรวจจับแสงชนิดพีไอเอ็น (Positive Intrinsic Negative, PIN)

ตัวตรวจจับแสงชนิดพีไอเอ็น เป็นตัวตรวจจับแสงที่มีความซับซ้อนน้อยที่สุด มีลักษณะ โครงสร้างภายในแสดงดังรูปที่ 2.11 [1] โดยสร้างจากการอยู่ต่อของสารกึ่งตัวนำที่มีการโดยเป็นชนิดพี (P-type) และชนิดเอ็น (N-type) ที่รอยต่อจะถูกแทรกด้วยบริเวณอินทรินซิก (Intrinsic Region) ทำ ให้เกิดบริเวณปลดพาหะ (Depletion Region) ซึ่งใช้เป็นบริเวณสำหรับรับสัญญาณแสง เมื่อมีโฟ ตอน (Photon) ที่มีพลังงานมากกว่าพลังงานแบนด์แก็ป (Bandgap Energy) เข้ามาตักกระทะกับ บริเวณดังกล่าวที่ป้อนแรงดันไฟฟ้าแบบกลับข้าม (Reversed Bias) ไว้ เพื่อเพิ่มพื้นที่บริเวณอินทรินซิก ให้มีขนาดกว้างขึ้น จะทำให้เกิดคู่อิเล็กตรอนและโฮล (Electron-Hole Pair) โดยอิเล็กตรอนจะถูก กระตุ้นจากชั้นว่าเลนซ์ไปยังชั้นนำไฟฟ้า (Conduction Band) ซึ่งจะถูกนำไปตามสนามไฟฟ้าที่เกิด จากการกลับขั้วคลายเป็นกระแสแสง (Photo Current, I_p) ผ่านตัวต้านทานโหลด (Load Resistor, R_L) เกิดเป็นแรงดันไฟฟ้าข้ออกซึ่งมีขนาดขึ้นอยู่กับปริมาณแสงหรือจำนวนโฟตอนที่เข้ามาตักกระทะก



รูปที่ 2.11 โครงสร้างของตัวตรวจจับแสงชนิดพีไอเอ็นและวงจรป้อนแรงดันไฟฟ้ากลับข้าม [1]

อย่างไรก็ตามการนำตัวตรวจจับแสงชนิดพีไอเอ็นมาใช้เพื่อตรวจจับสัญญาณแสงนั้น จะทำให้ เกิดสัญญาณรบกวน (Noise) ขึ้นจากการอิเล็กทรอนิกส์ภายใน จึงจำเป็นต้องวิเคราะห์ผลของ สัญญาณรบกวนนี้ ซึ่งจะกล่าวถึงสัญญาณรบกวนในรูปแบบต่างๆ ที่เกิดขึ้นในหัวข้อถัดไป

2.1.3.2 สัญญาณรบกวนจากตัวตรวจจับแสงพีไอเอ็น (PIN Photodetector Noise)

ดังที่กล่าวไว้ในหัวข้อก่อนหน้านี้ การใช้ตัวตรวจจับสัญญาณแสงจะนำมาซึ่งสัญญาณรบกวน จากการจราณอิเล็กทรอนิกส์ภายใน ซึ่งสัญญาณรบกวนดังกล่าวประกอบด้วย 3 ชนิดคือ 1) สัญญาณ รบกวนควอนตัม (Quantum Noise) 2) สัญญาณรบกวนกระแสเม็ด (Dark Current Noise) และ 3) สัญญาณรบกวนจากความร้อน (Thermal Noise) จากสัญญาณรบกวนทั้ง 3 ที่กล่าวมานั้นมีผลทำ

ให้อัตราส่วนของสัญญาณต่อสัญญาณรบกวน (Signal-to-Noise Ratio, SNR) ลดลงมีผลทำให้อัตราบิตผิดพลาดเพิ่มสูงขึ้นอีกด้วยรายละเอียดของสัญญาณรบกวนทั้ง 3 ชนิดมีดังต่อไปนี้

1) สัญญาณรบกวนความต้ม (Quantum Noise)

สัญญาณรบกวนความต้ม หรือ สัญญาณรบกวนช็อต (Shot-Noise) เกิดจากไฟต่อนมาตกกระหบตัวตรวจจับแสงไม่พร้อมกัน ซึ่งตัวตรวจจับแสงจะแปลงไฟต่อนเป็นกระแสแสง (Photo Current) ได้นั้นขึ้นอยู่กับเวลาที่ไฟต่อนมาถึงทำให้เกิดสัญญาณรบกวนความต้ม คำนวณได้จากสมการที่ (2.5) [1]

$$\langle \sigma_{Q_PIN}^2 \rangle = 2qI_pB_e \quad (2.5)$$

$\sigma_{Q_PIN}^2$: สัญญาณรบกวนความต้มของตัวตรวจจับชนิดแสงพีโอลีน (A^2)

q : ค่าประจุอิเล็กตรอน (Electron Charge) เท่ากับ 1.60218×10^{-19} (C)

I_p : กระแสแสง (A)

B_e : แบนด์วิดธ์ไฟฟ้า (Bandwidth) (Hz)

2) สัญญาณรบกวนกระแสเม็ด (Dark Current Noise)

สัญญาณรบกวนกระแสเม็ดเกิดขึ้นจากภายในตัวตรวจของอุปกรณ์เองมีกระแสไฟหลอยู่ปริมาณเล็กน้อย ตั้งแต่ยังไม่มีไฟต่อนมาตกกระหบตัวตรวจจับแสง จึงทำให้เกิดสัญญาณรบกวนขึ้นตลอดเวลาและคำนวณได้จากสมการที่ (2.6) [1]

$$\langle \sigma_{D_PIN}^2 \rangle = 2qI_D B_e \quad (2.6)$$

$\langle \sigma_{D_PIN}^2 \rangle$: สัญญาณรบกวนกระแสเม็ด (A^2)

I_D : กระแสเม็ด (A)

3) สัญญาณรบกวนจากความร้อน (Thermal Noise)

สัญญาณรบกวนจากความร้อนเกิดจากตัวต้านทานโหลดของวงจรอิเล็กทรอนิกส์ในตัวตรวจจับแสง ซึ่งสามารถคำนวณได้จากสมการที่ (2.7) [1]

$$\langle \sigma^2_T \rangle = \frac{4k_B T}{R_L} B_e \quad (2.7)$$

$\langle \sigma^2_T \rangle$: สัญญาณรบกวนจากอุณหภูมิ (A^2)

k_B : ค่าคงที่ของโบลซ์มันน์ Boltzmann's Constant เท่ากับ 1.38×10^{-23} (J/K)

T : อุณหภูมิ (Kevin, K)

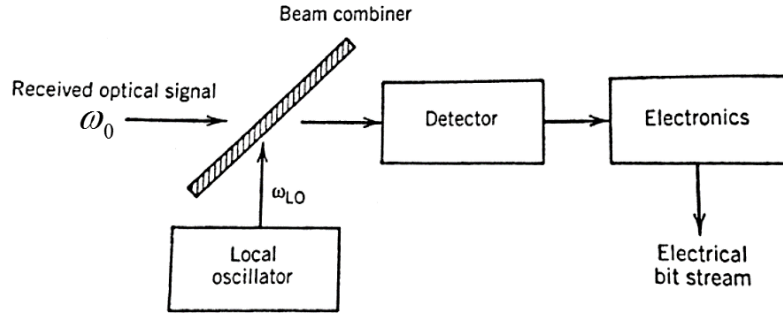
R_L : ความต้านทานโหลด (Ω)

2.1.4 รูปแบบการแยกสัญญาณเชิงเฟส (Phase Demodulation Schemes)

การแยกสัญญาณแสงที่กล้าสัญญาณเฟสไม่สามารถใช้การตรวจจับสัญญาณโดยตรง (Direct Detection) ได้เหมือนกับการกล้าสัญญาณทางความเข้ม เนื่องจากสัญญาณข้อมูลทั้งหมดถูกเปลี่ยนแปลงไปตามเฟสของคลื่นพาร์ส์ ดังนั้นจึงต้องนำเทคนิคการแยกสัญญาณเชิงเฟส (Phase Demodulation Techniques) มาใช้ซึ่งประกอบด้วยกัน 2 วิธี คือ 1) การแยกสัญญาณแบบโค希เร้นท์ (Coherent Demodulation) และ 2) การแยกสัญญาณแบบหน่วงเวลา (Delay Demodulation) แต่ละวิธีรายละเอียดอธิบายไว้ในหัวข้อที่ 2.2.2.1 และ 2.2.2.2 ตามลำดับ โดยวิธีการทั้งสองที่กล่าวมานี้จะสามารถแปลงสัญญาณเฟสกลับเป็นสัญญาณทางความเข้มได้

2.1.4.1 การแยกสัญญาณแบบโค希เร้นท์ (Coherent Demodulation)

การแยกสัญญาณแบบโค希เร้นท์ใช้ในการแยกสัญญาณที่ถูกกล้าสัญญาณเฟส ตัวอย่างเช่น บีพีเอสเค หรือ คิวพีเอสเค ทำได้โดยการใช้แหล่งกำเนิดแสงเลเซอร์ที่มีスペกตรัมแคบๆ (Narrow-Spectral Width) เป็นโลคอล-ออสซิลเลเตอร์ (Local Oscillator) เพื่อรวมกับสัญญาณแสงภาครับ (Received Optical Signal) ด้วยตัวรวมลำแสง (Beam Combiner) ในทางปฏิบัติใช้ตัวต่อคู่แสง (Optical Coupler) ในการรวมแสงและแยกสัญญาณก่อนถึงตัวตรวจจับ (Detector) เพื่อแปลงสัญญาณแสงเป็นสัญญาณข้อมูลไฟฟ้าดังแสดงในรูปที่ 2.12 [2] กระบวนการแยกสัญญาณพิจารณาได้จากสมการที่ (2.8) ถึง (2.12) [2]



รูปที่ 2.12 แผนภาพบล็อกการแยกสัญญาณแสงแบบโคงีเรนท์ [2]

สนามไฟฟ้า (Electric Field) ของสัญญาณขาเข้าที่ภาครับ (E_s) มีค่าดังสมการที่ (2.8) เมื่อ A_s คือแอมเพลจูด, ω_0 คือความถี่คลื่นพาห์ และ ϕ_s คือเฟสของสัญญาณขาเข้าภาครับตามลำดับ

$$E_s = A_s \exp[-i(\omega_0 t + \phi_s)] \quad (2.8)$$

สนามไฟฟ้าของโลคอล-ออสซิลเลเตอร์ (E_{LO}) มีค่าดังสมการที่ (2.9) เมื่อ A_{LO} คือแอมเพลจูด, ω_{LO} คือ ความถี่ และ ϕ_{LO} คือเฟสของโลคอล-ออสซิลเลเตอร์ตามลำดับ

$$E_{LO} = A_{LO} \exp[-i(\omega_{LO} t + \phi_{LO})] \quad (2.9)$$

จากนั้นเมื่อสนามไฟฟ้าของสัญญาณแสงทั้งสองถูกรวมกันด้วยตัวรวมลำแสง กำลังของสัญญาณมีค่าดังสมการที่ (2.10) ถึง (2.11)

$$P(t) = |E_s + E_{LO}|^2 \quad (2.10)$$

$$P(t) = P_s + P_{LO} + 2\sqrt{P_s \cdot P_{LO}} \cos(\omega_{IF} t + \phi_s - \phi_{LO}) \quad (2.11)$$

จากสมการที่ (2.11) เมื่อ ω_{IF} คือความถี่กลาง (Intermediate Frequency, IF) มีค่าเท่ากับสมการที่ (2.12)

$$\omega_{IF} = \omega_0 - \omega_{LO} \quad (2.12)$$

จากสมการที่ (2.12) เมื่อความถี่กลางเท่ากับ 0 ($\omega_0 = \omega_{LO}$) เรียกการตรวจจับสัญญาณรูปแบบนี้ว่า การตรวจจับแบบโโยโมเดย์น (Homodyne Detection) และถ้าความถี่กลางไม่เท่ากับ 0 ($\omega_0 \neq \omega_{LO}$) เรียกการตรวจจับสัญญาณรูปแบบนี้ว่า การตรวจจับแบบไฮเตโรเดย์น (Heterodyne Detection) มีรายละเอียดดังต่อไปนี้

การตรวจจับแบบไฮโมดายน์ (Homodyne Detection)

ในการตรวจจับแบบไฮโมดายน์หลักการสำคัญคือ ความถี่ของโอลคอล-ออสซิลเลเตอร์ ต้องตรงกันพอดีกับความถี่ของคลื่นพาห์ กล่าวคือความถี่ต้องกลางเท่ากับ 0 ($\omega_{IF} = 0$)

เมื่อสัญญาณข้ออกของตัวตรวจจับแสง $I_p(t) = R.P(t)$ [1] เมื่อ R คือ ค่า Responsivity ของตัวตรวจจับแสง จะสามารถหาค่าสัญญาณข้ออกของการตรวจจับสัญญาณแบบไฮโมดายน์จากสมการที่ (2.11) มีค่าดังสมการที่ (2.13)

$$I_p(t) = R(P_s + P_{LO}) + 2R\sqrt{P_s(t)P_{LO}} \cos(\phi_s - \phi_{LO}) \quad (2.13)$$

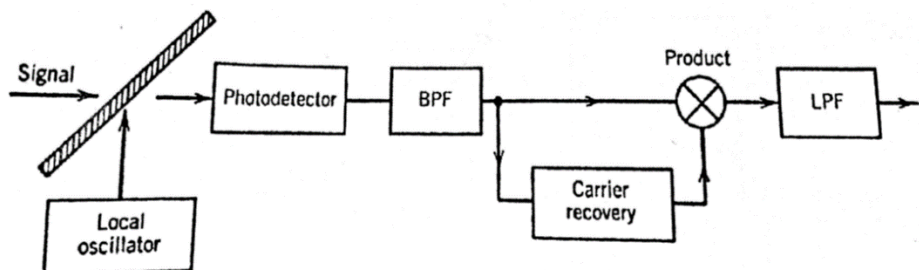
เมื่อพิจารณาเฟสของโอลคอล-ออสซิลเลเตอร์ตรงกันกับเฟสของสัญญาณขาเข้าภาครับ จะได้สัญญาณข้ออกของการตรวจจับสัญญาณแบบไฮโมดายน์ดังสมการที่ (2.14)

$$I_p(t) = R(P_s + P_{LO}) + 2R\sqrt{P_s(t)P_{LO}} \quad (2.14)$$

อย่างไรก็ตามในทางปฏิบัติการตรวจจับสัญญาณแบบไฮโมดายน์นั้นทำได้ยากมาก เนื่องจากเลเซอร์ที่นำมาใช้เป็นโอลคอล-ออสซิลเลเตอร์ต้องมีความกว้างสเปกตรัมแค่ประมาณ 100 kHz (0.0008 nm) [9] ในการจับสัญญาณขาเข้าภาครับให้มีเฟสและความถี่ต้องกัน ยิ่งไปกว่านั้นเนื่องด้วยเป็นสัญญาณแสงที่มีความถี่สูงประมาณ 200 THz ความถี่ของสัญญาณทั้งสองเกิดการแกว่งไปมา (Fluctuate) ทางเวลาจึงเป็นการยากที่จะปรับตั้งให้ความถี่ต้องกันพอดี ดังนั้นในทางปฏิบัติการนำเอาวิธีการตรวจจับสัญญาณรูปแบบนี้ไปใช้จึงมีความซับซ้อนสูง [10]

การตรวจจับแบบไฮเทโรดายน์ (Heterodyne Detection)

การตรวจจับแบบไฮเทโรดายน์ความถี่กลาง ($\omega_{IF} = \omega_{LO} - \omega_0$) มีค่าประมาณ 1 GHz กล่าวคือผลต่างของความถี่โอลคอล-ออสซิลเลเตอร์ (ω_{LO}) กับความถี่ของคลื่นพาห์ (ω_0) มีค่าประมาณ (~1GHz) ซึ่งอยู่ในย่านความถี่คลื่นไมโครเวฟ แผนภาพบล็อกการตรวจจับแบบไฮเทโรดายน์แสดงดังรูปที่ รูปที่ 2.13



รูปที่ 2.13 แผนภาพบล็อกการตรวจจับแบบไฮเทโรดายน์

จาก รูปที่ 2.13 แสดงแผนภาพการเข้มต่ออุปกรณ์ตรวจจับสัญญาณแบบซิงโครนัสไฮโตรไดย์น์ การรวมสัญญาณแสงขาเข้าครับกับโลคอล-ออสซิลเลเตอร์ทำได้โดยใช้ ตัวรวมลำแสง หรือในทางปฏิบัติ ใช้ตัวต่อคู่เช่นเดียวกับที่อธิบายไปแล้วในหลักการแยกสัญญาณแบบโคชีเรนท์ กระแสแสงที่ข้ออกของตัวตรวจจับแสงมีค่าดังสมการที่ (2.14) [2]

$$I_p(t) = R(P_s + P_{LO}) + 2R\sqrt{P_s \cdot P_{LO}} \cos(\omega_{IF} t + \phi_s - \phi_{LO}) \quad (2.15)$$

ในทางปฏิบัติ $P_{LO} \gg P_s$ และเทอมกระแสตรง (Direct Current) และสัญญาณรบกวนถูกตัดออกด้วยตัวกรองความถี่แคบผ่าน (Band Pass Filter, BPF) ดังนั้นสัญญาณข้ออกของตัวตรวจจับแสง เมื่อผ่านตัวกรองแคบความถี่ผ่านมีค่าดังสมการที่ (2.16) [2]

$$I_p(t) = 2R\sqrt{P_s \cdot P_{LO}} \cos(\omega_{IF} t + \phi_s - \phi_{LO}) \quad (2.16)$$

คลื่นพาห์ของไมโครเวฟถูกคืนด้วยวงจรรักลีนพาห์ (Carrier Recovery) มีค่าเป็น ($\cos(\omega_{IF} t)$) เพื่อให้ได้ความถี่กล่างและคุณกับสัญญาณรบกวนที่ยังคงเหลืออยู่จากสมการที่ (2.17)

$$I_f(t) = (I_p \cos \Delta\phi + i_c) \cos(\omega_{IF} t) + (I_p \sin \Delta\phi + i_s) \sin(\omega_{IF} t) \quad (2.17)$$

จากนั้นสัญญาณที่ผ่านการคุณถูกส่งผ่านตัวกรองความถี่ต่ำผ่าน (Low Pass Filter) ทำให้สัญญาณข้ออกของการตรวจจับสัญญาณแบบไฮโตรไดย์นมีค่าดังสมการที่ (2.17)

$$I_d = \langle I_f \cos(\omega_{IF} t) \rangle = \frac{1}{2}(I_p \cos \Delta\phi + i_c) \quad (2.18)$$

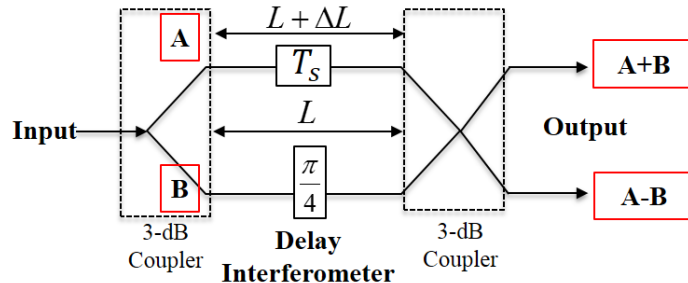
อย่างไรก็ตามการส่งสัญญาณด้วยคลื่นพาห์แสดงนั้นความถี่กล่างมีค่าเป็น THz ดังนั้นจึงเกิดการแกว่งของเฟสทั้งสัญญาณขาเข้าและเฟสของโลคอลอสซิลเลเตอร์ ทำให้ต้องใช้เลเซอร์ที่มีความกว้างスペกตรัมแคบมากๆ ในการควบคุมถึงจะสามารถตรวจจับสัญญาณแบบไฮโตรไดย์น์ได้

2.1.4.2 การแยกสัญญาณแบบหน่วงเวลา (Delay Demodulation)

การแยกสัญญาณเฟสที่ถูกเข้ารหัสแบบดิฟเฟอร์เรนเซียลใช้วิธีการแยกสัญญาณแบบหน่วงเวลา โดยใช้หลักการของอุปกรณ์ที่มีโครงสร้างภายในเป็นมัค-เซนเดอร์ อินเตอร์เฟอร์โรมิเตอร์ (MZM-Interferometer) เรียกว่า ดิล레이อินเตอร์เฟอร์โรมิเตอร์ (Delay Interferometer, DI) โครงสร้างภายในประกอบด้วยตัวต่อคู่ 3-dB (3-dB Coupler) 2 ตัวที่ขาเข้าและขาออก ขาเข้าทำหน้าที่แบ่งแสงออกเป็นสองเส้นทาง ซึ่งแต่ละเส้นทางมีความยาวแตกต่างกันเส้นทางที่ยาวกว่าเป็นเส้นทางที่ใช้ในการหน่วงเวลาสัญญาณดังแสดง

รูปที่ 2.14 [2] โดยเวลาที่ลูกหน่วยมีค่าเท่ากับ 1 คาบบิตเป็นไปตามสมการที่ (2.19) เมื่อ T_s คือคาบบิต และ B_s คืออัตราบิต

$$T_s = 1/B_s \quad (2.19)$$



รูปที่ 2.14 โครงสร้างภายในตัวดีเลย์อินเตอร์เฟอร์โรมิเตอร์มีเตอร์

จากรูปที่ 2.14 สามารถคำนวณผลต่างเฟสของสองเส้นทางได้ดังสมการที่ (2.20) เมื่อ $\Delta\phi$ คือผลต่างเฟสของสองเส้นทาง n_{eff} คือค่าดัชนีหักเหประสิทธิผล (Effective Refractive Index), λ คือความยาวคลื่นแสง และ ΔL คือผลต่างของความยาวระหว่างสองเส้นทาง

$$\Delta\phi = \frac{2\pi n_{eff}}{\lambda} \cdot \Delta L \quad (2.20)$$

สามารถหาความยาวของเส้นทาง A และ B ของตัวดีเลย์อินเตอร์เฟอร์โรมิเตอร์ได้จากดังสมการที่ (2.21) และ (2.22) ตามลำดับ เมื่อ c คือความเร็วแสง (3×10^8 m/s)

เส้นทาง A

$$L + \Delta L = \frac{c \cdot T_s}{n_{eff}} \quad (2.21)$$

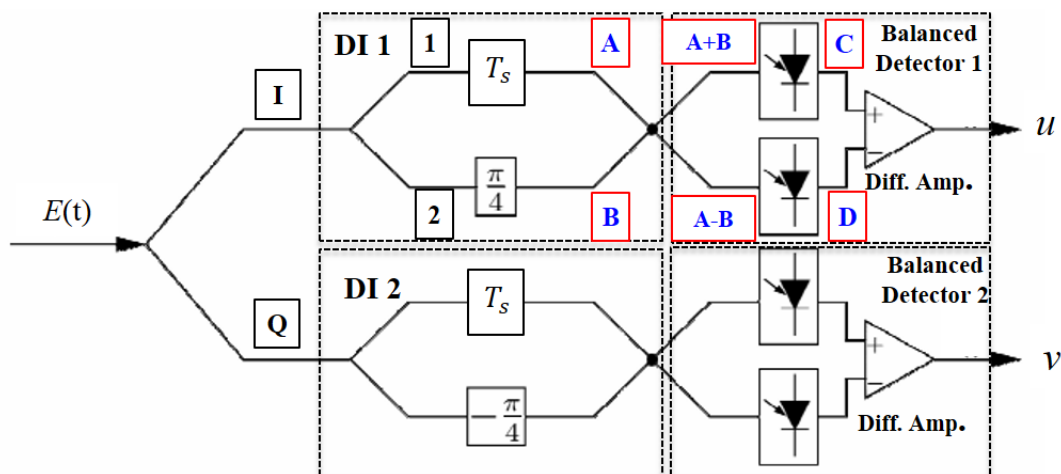
เส้นทาง B

$$L = \frac{\Delta\phi \cdot \lambda}{2\pi n_{eff}} \quad (2.22)$$

จากรูปที่ 2.14 เมื่อแสงจากสองเส้นทางเดินทางผ่านตัวต่อคู่ตัวที่ 2 ที่ขอกอก แสงจากสองเส้นทางจะเกิดการแทรกสอด (Interference) 2 เงื่อนไขคือ 1) แทรกสอดเสริม (Constructive Interference) คือเส้นทาง A+B และ 2) แทรกสอดหักล้าง (Destructive Interference) คือเส้นทาง A-B ด้วยการแทรกสอด 2 เงื่อนไขนี้จึงไม่สามารถตรวจสอบจับสัญญาณโดยตรงด้วยตัวตรวจจับแสงเพียงตัวเดียว ดังนั้นแล้วการตรวจจับสัญญาณดีคิวพีเอสเคจึงจำเป็นต้องใช้ตัวตรวจจับแสงแบบบาลานซ์ (Balanced Photo Detector) ร่วมกับตัวดีเลย์อินเตอร์เฟอร์โรมิเตอร์ในการตรวจจับแสงและแปลงเป็นสัญญาณไฟฟ้าซึ่งมีรายละเอียดดังต่อไปนี้

ตัวตรวจจับแสงแบบบาลานซ์ (Balanced Photo Detector)

ตัวตรวจจับแสงแบบบาลานซ์ใช้ในการตรวจจับแสงร่วมกับอุปกรณ์ที่ใช้ในการแยกสัญญาณเฟสแบบต่างๆ ตัวอย่างเช่นใช้ร่วมกับตัวดีเลย์อินเตอร์เฟอร์โรเมติเตอร์ในการแยกสัญญาณดิคิวพีเอสเค และต้องใช้อุปกรณ์ดังกล่าวจำนวน 2 ชุด เพื่อให้สามารถรับสัญญาณ I และ Q ได้พร้อมกัน แสดงดังรูปที่ 2.15 [8] โดยมีหลักการทำงานคือเมื่อแสงเดินทางเข้ามามีสนามไฟฟ้า (Electric Field, $E(t)$) แสงจะถูกแบ่งเป็นสองเส้นทางด้วยตัวต่อคู่ เส้นทางแรกสำหรับแยกสัญญาณ I และ เส้นทางที่สองสำหรับแยกสัญญาณ Q สามารถคำนวณการแยกสัญญาณและการถอดรหัสข้อมูลได้ดังสมการที่ (2.23) ถึง (2.37) [11] ตามลำดับ



รูปที่ 2.15 แผนภาพบล็อกวงจรประกอบภาครับสัญญาณแบบดิคิวพีเอสเค [8]

จากรูปที่ 2.15 ที่ตัวต่อคู่มีเมทริกซ์แพร่กระจาย (Propagation Matrix, M_C) ดังสมการที่ (2.12) [1] ดังนั้นเมื่อแสงเดินทางผ่านตัวต่อคู่ ขออภัยจะมีค่าสนามไฟฟ้าดังสมการที่ (2.23)

$$M_C = \begin{bmatrix} \frac{1}{\sqrt{2}} & \frac{j}{\sqrt{2}} \\ \frac{j}{\sqrt{2}} & \frac{1}{\sqrt{2}} \end{bmatrix} \quad (2.23)$$

$$\begin{bmatrix} E_{out1} \\ E_{out2} \end{bmatrix} = M_C \cdot [E(t)] = \begin{bmatrix} \frac{1}{\sqrt{2}} & \frac{j}{\sqrt{2}} \\ \frac{j}{\sqrt{2}} & \frac{1}{\sqrt{2}} \end{bmatrix} \cdot [E(t)] \quad (2.24)$$

ดังนี้ที่ตัวแทนง | และ Q หลักการผ่านตัวต่อคู่แต่ละเส้นทางมีค่าสนามไฟฟ้า มีค่าเท่ากับ $E(t)/\sqrt{2}$ จากนั้นกำลังแสงจะถูกแบ่งอีกครึ่งด้วยตัวต่อคู่แยกขาเข้าของตีเลย์อินเตอร์เฟอร์โรเมติเตอร์

ชุดแรกตำแหน่ง 1 และ 2 มีค่าสนามไฟฟ้าเท่ากับ $E(t)/2$ และ $E(t)j/2$ ตามลำดับแสดงทั้งสองเส้นทางจะผ่านอุปกรณ์ภายในซึ่งแตกต่างองค์ประกอบกัน ทำให้มีสมการที่แตกต่างกันดังต่อไปนี้

ที่ตำแหน่ง A

แสงผ่านเส้นทางหน่วงเวลาทำให้เพลิงเปลี่ยนแปลงไปดังสมการที่ (2.25)

$$A = \frac{E(t-T_s)}{2} \quad (2.25)$$

ที่ตำแหน่ง B

แสงเดินทางผ่านตัวเลื่อนเฟส (Phase Shifter) ซึ่งเลื่อนเฟสไป $\pi/4$ ทำให้สนามไฟฟ้ามีค่าดังสมการที่ (2.15)

$$B = \frac{(E(t)).j}{2}(e^{j\pi/4}) \quad (2.26)$$

จากนั้นแสงทั้งสองเส้นทางจะมาแทรกสอดกันด้วย 2 เงื่อนไขคือ 1) แทรกสอดเสริม และ 2) แทรกสอดหักล้าง ทำให้แสงข้ามกันของตัวดีเลอร์อินเตอร์เฟอร์โรมิเตอร์เป็นไปตามสมการที่ (2.27) และ (2.28) ตามลำดับ

การแทรกสอดเสริม (ตำแหน่ง A+B)

$$A + B = \frac{E(t-T_s)}{2} + \frac{(E(t)).j}{2}(e^{j\pi/4}).j \quad (2.27)$$

การแทรกสอดหักล้าง (ตำแหน่ง A-B)

$$A - B = \frac{E(t-T_s)}{2} - \frac{(E(t)).j}{2}(e^{j\pi/4}).j \quad (2.28)$$

หลักจากนั้นแสงทั้งสองเส้นทางจะถูกส่งไปที่ตัวตรวจจับแสงบาลานซ์ ซึ่งภายในประกอบด้วยตัวตรวจจับแสง 2 ตัว เพื่อใช้ตรวจจับสัญญาณแสงจาก 2 เส้นทางจากตัวดีเลอร์อินเตอร์เฟอร์โรมิเตอร์ และมีกำลังแสงดังสมการที่ (2.29) และ (2.30) เป็นตามกฎของ Square Law Detector หลังจากทำการแปลงสัญญาณแสงเป็นสัญญาณไฟฟ้าที่จุด C และ D เป็นไปตามสมการที่ (2.15) และ (2.16) เมื่อ R คือ Responsivity (A/W) ของตัวตรวจจับแสง

กำลังที่ตัวตรวจจับแสงตัวที่ 1

$$P_1(t) = |A + B|^2 = \left| \frac{E(t-T_s)}{2} \right|^2 + \left| \frac{(E(t)).(e^{j\pi/4}).j}{2} \right|^2 + 2 \left| \frac{E(t-T_s)}{2} \right| \cdot \left| \frac{(E(t)).(e^{j\pi/4}).j}{2} \right| \cos \Delta\phi_k \quad (2.29)$$

กำลังที่ตัวตรวจจับแสงตัวที่ 2

$$P_2(t) = |A - B|^2 = \left| \frac{E(t-T_s)}{2} \right|^2 + \left| \frac{(E(t)).(e^{j\pi/4})}{2} \right|^2 - 2 \left| \frac{E(t-T_s)}{2} \right| \cdot \left| \frac{(E(t)).(e^{j\pi/4})}{2} \right| \cos \Delta \phi_k \quad (2.30)$$

กระเสแสงที่ต่ำแห่ง C

$$I_{P1} = RP_1(t) \quad (2.31)$$

กระถางแสงที่ต่ำแห่ง D

$$(2.32) \quad I_{P_2} = RP_2(t)$$

จากนั้นกำลังทั้งสองจะถูกคำนวณด้วยการลบ (Subtract) ด้วยตัวขยายดิจิทัลเพื่อเรนเซียล (Differential Amplifier) มีค่าดังสมการที่ (2.17)

$$\Delta I_I = I_{P1} - I_{P2} = R \cdot \left\{ 4 \cdot \left| \frac{E(t-T_s)}{2} \right| \cdot \left| \frac{(E(t)) \cdot (e^{j\pi/4})}{2} \right| \cos \Delta \phi_k \right\} \quad (2.34)$$

เมื่อพิจารณาให้สนามไฟฟ้า ($E(t)$) และ Responsivity (R) ให้เป็นค่าคงที่ ดังนั้นสัญญาณข้ออกของตัวตรวจจับแสงแบบบาลานซ์ตัวที่ 1 มีค่าดังสมการที่ (2.18) เมื่อ $\Delta\phi_k$ คือผลต่างเฟสของสองสีน้ำเงินมีค่าเท่ากับ $\Delta\phi_k = \phi(t) - \phi(t - T_s)$

$$u = \Delta I_I = \operatorname{Re} \left\{ 4 \cdot \left| \frac{1}{2} \right| \cdot \left| \frac{1}{2} \right| \left(\cos \frac{\pi}{4} + j \sin \frac{\pi}{4} \right) \cdot \cos \Delta \phi_k \right\} = \cos(\Delta \phi_k + \frac{\pi}{4}) \quad (2.35)$$

เส้นทางที่ 2 ซึ่งใช้แยกสัญญาณ Q มีสมการโดยรวมคล้ายกันสมการของเส้นทางที่ 1 แต่แตกต่างกันที่เทอมของเฟสสัญญาณที่ผ่านตัวดีเลย์อินเตอร์เฟอร์โรมิเตอร์มีค่าเป็น $e^{-j\pi/4}$ ดังนั้นจากสมการที่ (2.17) ที่ข้าอกของตัวตรวจจับแบบบาลานซ์ชุดที่ 2 เป็นไปตามสมการที่ (2.19)

$$\Delta I_Q = I_{P1} - I_{P2} = R \cdot \left\{ 4 \cdot \left| \frac{E(t-T_s)}{2} \right| \cdot \left| \frac{(E(t)) \cdot (e^{-j\pi/4})}{2} \right| \cos \Delta \phi_k \right\} \quad (2.36)$$

เมื่อพิจารณาให้สนามไฟฟ้า ($E(t)$) และ Responsivity (R) ให้เป็นค่าคงที่ ดังนั้นสัญญาณข้ออกของตัวตรวจจับแสงแบบบาลานซ์ตัวที่ 2 มีค่าดังสมการที่ (2.20)

$$v = \Delta I_Q = \operatorname{Re} \left\{ 4 \cdot \left| \frac{1}{2} \right| \cdot \left| \frac{1}{2} \right| \left(\cos\left(-\frac{\pi}{4}\right) - j \sin\left(-\frac{\pi}{4}\right) \right) \cdot \cos \Delta \phi_k \right\} = \cos\left(\Delta \phi_k - \frac{\pi}{4}\right) \quad (2.37)$$

เมื่อนำสมการที่ (2.18) และ (2.20) มาพิจารณาจะสามารถตัดรั้งสกัดจากเฟสเป็นสัญญาณข้อมูลใบหน้า เมื่อกันกับลักษณะข้อมูลใบหน้าจากเครื่องกำเนิดสัญญาณแพทเทินดังตารางที่ 2.2

ตารางที่ 1.2 การถอดรหัสข้อมูลเฟลเป็นข้อมูลไบนารีของภาครับ

$\Delta\phi$	u	v	Binary (u)	Binary (v)
0	$1/\sqrt{2}$	$1/\sqrt{2}$	1	1
$\pi/2$	$-1/\sqrt{2}$	$1/\sqrt{2}$	0	1
π	$-1/\sqrt{2}$	$-1/\sqrt{2}$	0	0
$3\pi/2$	$1/\sqrt{2}$	$-1/\sqrt{2}$	1	0

2.2 ผลกระทบจากการส่งสัญญาณแสงผ่านเส้นใยนำแสงโหมดเดียวมาตรฐาน (Standard Single Mode Fiber, SSMF)

ในหัวข้อนี้จะกล่าวถึงคุณลักษณะของสื่อกลางในการส่งสัญญาณหลักคือเส้นใยนำแสงโหมดเดียวมาตรฐาน ผลกระทบเมื่อส่งสัญญาณผ่านเส้นใยนำแสงโหมดเดียวมาตรฐานในระยะทางไกล ซึ่งประกอบด้วย 2 ปัจจัยหลักคือ 1) การลดลงสัญญาณ (Attenuation) และ 2) โครมาติกดิสเพอร์ชัน (Chromatic Dispersion) ที่มีผลทำให้จำกัดระยะทางในการส่งสัญญาณและอัตราบิตพลาดสูงขึ้นรวมไปถึงวิธีแก้ปัญหาดังกล่าว

2.2.1 การลดthonในเส้นใยนำแสง (Fiber Attenuation)

เมื่อส่งสัญญาณในเส้นใยนำแสงโหมดเดียวมาตรฐานที่ระยะทางใดๆ กำลังของแสงจะถูกลดthonลงด้วยค่าสัมประสิทธิ์การลดthon (Attenuation Coefficient) ซึ่งคำนวณได้จากสมการที่ (2.38) [1]

$$\alpha = \frac{10}{L} \log \left[\frac{P(0)}{P(L)} \right] \quad (2.38)$$

α : ค่าสัมประสิทธิ์การลดthon (dB/km)

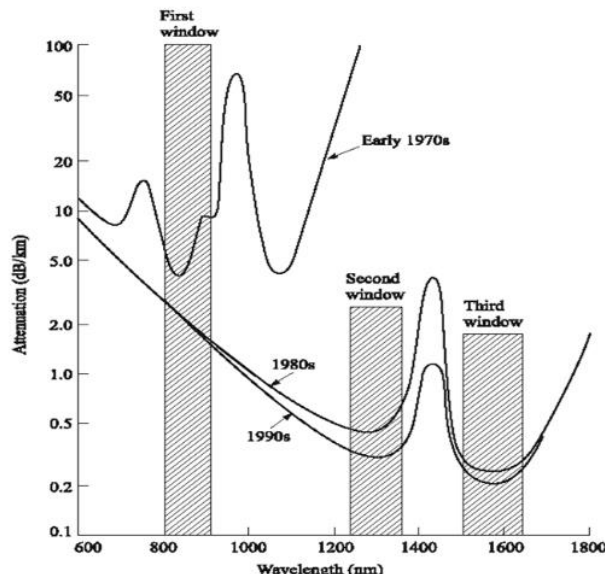
$P(0)$: กำลังแสงที่ต้นทาง (mW)

$P(L)$: กำลังแสงเมื่อส่งผ่านเส้นใยนำแสงที่ระยะทาง L (mW)

L : ระยะทาง (km)

ค่าสัมประสิทธิ์การลดthonขึ้นอยู่กับความยาวคลื่นที่ใช้ในการส่งสัญญาณ ดังแสดงในรูปที่ 2.16 [1] โดยเส้นใยนำแสงมาตรฐานที่นิยมใช้งานคือมาตรฐาน G.652 [12] ซึ่งมีค่าสัมประสิทธิ์การ

ลดthonเท่ากับ 0.3 dB/km ที่ความคลื่น 1310 nm และ มีค่าเท่ากับ 0.2 dB/km ที่ความยาวคลื่น 1550 nm

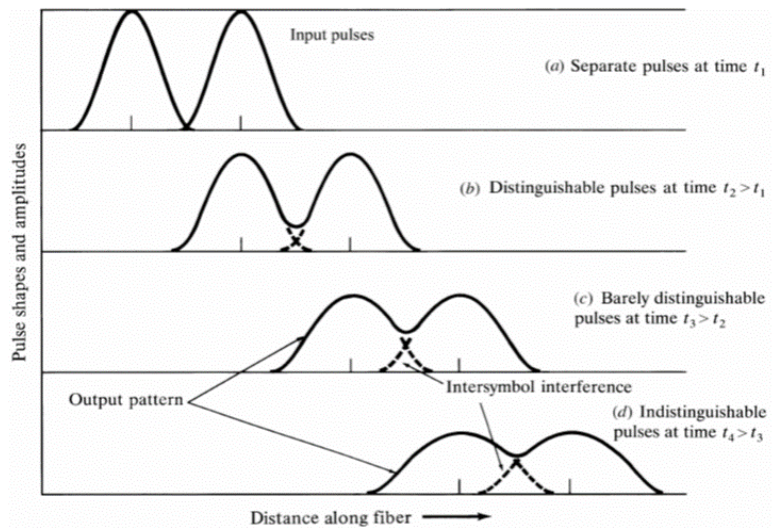


รูปที่ 2.16 ค่าล้มประลิทธ์การลดthonตามความยาวคลื่น [1]

ค่าพารามิเตอร์ดังกล่าวมีความสำคัญในการออกแบบโครงข่าย ใช้ในการคำนวณงบกำลังของโครงข่ายซึ่งอธิบายรายละเอียดในหัวข้อที่ 2.4.1 ดังนั้นจึงจำเป็นต้องเลือกความยาวคลื่นให้เหมาะสม โดยทั่วไปนิยมส่งสัญญาณด้วยความยาวคลื่นแสง 1550 nm ใน การส่งสัญญาณเพื่อให้มีการสูญเสีย กำลังน้อยที่สุด

2.2.2 โครมาติกดิสเพอร์ชัน (Chromatic Dispersion)

โครมาติกดิสเพอร์ชันคือ ผลกระทบที่เกิดจากสัญญาณพัลล์แสงที่เดินทางผ่านเส้นใยนำแสง โหนดเดี่ยวมาตรฐานที่มีระยะทางเพิ่มมากขึ้นเกิดการถ่างออกทางแกนเวลา ไปแพร่กระจายกับพัลล์ ถัดไปที่อยู่ติดกันเรียกปรากฏการณ์นี้ว่า (Inter Symbol Interference ISI) ดังแสดงในรูปที่ 2.17 [1] มีผลทำให้การตัดสินบิตผิดพลาด ซึ่งทำให้เกิดอัตราบิตผิดพลาด



รูปที่ 2.17 การถ่างออกของพัลล์สแตมาระยะทาง [1]

จากที่กล่าวมาข้างต้นค่าการถ่างออกของพัลล์สามารถคำนวณได้จากสมการที่ (2.39) [1] และเส้นในน้ำแสง荷模เดี่ยวมาตรฐาน G.652 มีค่าโครมาติกดิสเพอร์ชันเท่ากับ 16.5 ps/nm.km [12] ที่ความยาวคลื่น 1550 nm

$$\Delta\tau = |D| L \sigma_\lambda \quad (2.39)$$

$\Delta\tau$: ค่าการถ่างออกของพัลล์ (ps)

$|D|$: โครมาติกดิสเพอร์ชัน (ps/nm.km)

L : ระยะทาง (km)

σ_λ : ความกว้างสเปกตรัม (Spectral Width) (nm)

ซึ่งค่าโครมาติกดิสเพอร์ชันเป็นพารามิเตอร์สำคัญ เอาไปใช้ในการคำนวณบเวลาขั้นของตัวส่งสัญญาณแสงแบบโอโวเค รายละเอียดในหัวข้อที่ 2.4.2 และยังเป็นพารามิเตอร์ที่กำหนดระยะทางสูงสุดในการส่งสัญญาณสามารถคำนวณได้จากสมการที่ (2.40) [13] โดยถ้าสัญญาณที่ใช้ส่งมีรูปแบบเป็นเอ็นอาร์แซท (Non-Return to Zero, NRZ) การถ่างออกของพัลล์ต้องไม่เกิน 70 % ของคาบบิต

$$L < \frac{0.7}{B |D| \sigma_\lambda} \quad (2.40)$$

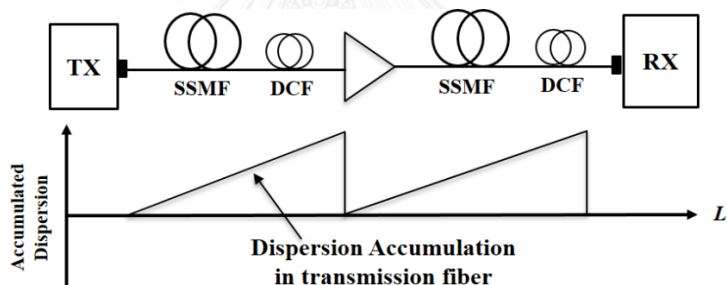
B : อัตราบิต (Gb/s)

L : ระยะทางสูงสุด (km)

2.2.3 การจัดการโครมาติกดิสเพอร์ซัน (Chromatic Dispersion Management)

จากหัวข้อก่อนหน้านี้จะเห็นได้ว่า ผลกระทบของโครมาติกดิสเพอร์ซันมีผลต่อสัญญาณที่ส่งผ่านโครงข่ายเส้นใยนำแสง荷模เดี่ยวมาตรฐานเป็นอย่างมากดังนั้น การออกแบบโครงข่ายที่ดีจึงจำเป็นต้องมีการจัดการกับโครมาติกดิสเพอร์ซัน เพื่อให้สามารถส่งสัญญาณได้ไกลขึ้น และมีอัตราบิตผิดพลาดต่ำ ซึ่งการจัดการกับโครมาติกดิสเพอร์ซันมีด้วยกันหลายวิธี ในวิทยานิพนธ์ฉบับนี้เลือกใช้การจัดการด้วยวิธีใช้เส้นใยนำแสงชนิดชดเชยดิสเพอร์ซัน (Dispersion Compensating Fiber, DCF) ต่อรวมเข้าไปกับเส้นใยนำแสง荷模เดี่ยวมาตรฐาน ดังแสดงในรูปที่ 2.18 [1] โดยมีหลักการคือ DCF จะมีค่าโครมาติกดิสเพอร์ซันติดลบมากๆ ประมาณ -100 ps/nm.km เมื่อนำมาต่อรวมกับเส้นใยนำแสง荷模เดี่ยวมาตรฐานด้วยความยาวที่สอดคล้องกันดังสมการที่ (2.41) [2] ด้วยค่าโครมาติกดิสเพอร์ซันที่ติดลบมากๆ ของ DCF จะไปหักล้างกับค่าโครมาติกดิสเพอร์ซันสะสม (Accumulated CD) ของเส้นใยนำแสง荷模เดี่ยวมาตรฐานให้มีค่าใกล้เคียง 0 ps/nm.km

$$D_{SMF} \cdot L_{SMF} + D_{DCF} \cdot L_{DCF} = 0 \quad (2.41)$$



รูปที่ 2.18 ผลการชดเชยโครมาติกดิสเพอร์ซันสะสมเมื่อแทรกเส้นใยนำแสงชนิดชดเชยดิสเพอร์ซัน

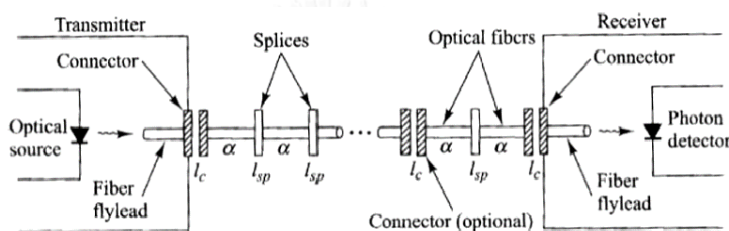
ดังนั้นแล้วเมื่อมีการจัดการกับโครมาติกดิสเพอร์ซันสะสมด้วย DCF และจะทำให้โครงข่ายมีสมรรถนะสูงขึ้น สามารถส่งสัญญาณได้ระยะทางไกลขึ้นและมีอัตราบิตผิดพลาดต่ำ

2.3 เกณฑ์กำหนดสมรรถนะ (Performance Criteria)

ในการออกแบบโครงข่ายจำเป็นต้องคำนวณค่าพารามิเตอร์ต่างๆ ที่เป็นตัวแปรในการกำหนดสมรรถนะของระบบ เพื่อหาขอบเขตจำกัดในการส่งสัญญาณ ซึ่งเกณฑ์กำหนดสมรรถนะของระบบที่ใช้ในวิทยานิพนธ์นี้ ประกอบด้วย 1) งบกำลัง, 2) งบเวลาข้าม, 3) ขนาดเวกเตอร์ และ 4) อัตราบิตผิดพลาด มีรายละเอียดดังหัวข้อที่ 2.4.1 ถึง 2.4.4 ตามลำดับ

2.3.1 งบกำลัง (Power Budget)

ในการส่งสัญญาณผ่านเส้นใยนำแสง荷มด้วยวิธีการรับสัญญาณ มีกำลังสัญญาณเสียระหว่างทาง (Link Power Loss) จากภาคส่งถึงภาครับอันเนื่องมาจากการสูญเสียในอุปกรณ์ต่างๆ ดังแสดงในรูปที่ 2.19 [1] ประกอบด้วย 1) การลดthon ในเส้นใยนำแสง (Fiber Attenuation) ด้วยค่าสัมประสิทธิ์การลดthon, 2) ค่ากำลังสูญเสียจากการเชื่อมสายแบบหลอม (Fusion Splices Loss) และ 3) กำลังสูญเสียจากหัวต่อ (Connector Loss) โดยที่ภาครับสัญญาณตัวตรวจจับแสงมีขีดจำกัดที่สามารถรับกำลังแสงต่ำสุดได้ค่าหนึ่ง ค่าดังกล่าวเรียกว่า ค่าความไวภาครับ (Receiver Sensitivity) ดังนั้นการคำนวณงบกำลังจึงมีความจำเป็นอย่างสูงต่อการออกแบบโครงสร้าง เพื่อประมาณการกำลังให้เพียงพอต่อการส่งสัญญาณจากภาคส่งถึงภาครับ ซึ่งสามารถคำนวณได้จากสมการที่ (2.42) [1]



รูปที่ 2.19 แบบจำลองการเกิดกำลังสูญเสียระหว่างทางจากภาคส่งถึงภาครับ

$$P_T = P_S - P_R = \sum l_c + \sum l_{sp} + \alpha_f L + SM \quad (2.42)$$

P_T : งบกำลัง (dB)

P_S : กำลังแสงส่ง (Optical Transmitted Power) (dBm)

P_R : ค่าความไวภาครับ (dBm)

l_c : กำลังสูญเสียจากหัวต่อ (dB)

l_{sp} : กำลังสูญเสียจากการเชื่อมสายแบบหลอม (dB)

α_f : ค่าสัมประสิทธิ์การลดthon (dB/km)

L : ระยะทาง (km)

SM : System Margin (dB)

2.3.2 งบเวลาขึ้น (Rise-time Budget)

การคำนวณงบเวลาขึ้นเป็นการคำนวณค่าขอบเขตจำกัดของการส่งสัญญาณผ่านเส้นใยนำแสงที่ได้รับผลกระทบของโคมไฟติกติกส์เพอร์ชัน ซึ่งมีผลทำให้พัลล์ของสัญญาณถ่างออกเกิน

ค่าที่ได้จำกัดไปแทนกสอดกับพัลล์ข้างเคียงที่ติดกัน ทำให้การตัดสินบิตริดพลาดและมีผลให้ระยะทางในการส่งสัญญาณถูกจำกัดดังที่ได้อธิบายไว้ในหัวข้อ 2.3.2 เรื่องโครมาติกดิสเพอร์ชัน เพราะฉะนั้น การคำนวณงบเวลาข้ามจึงเป็นอีกหนึ่งเกณฑ์กำหนดสมรรถนะ ของระบบที่กล้าสัญญาณทางความเข้มที่ต้องพิจารณาควบคู่ไปกับการคำนวณงบกำลัง งบเวลาข้ามคำนวณได้จากสมการที่ (2.43) และ (2.44) [1] ตามลำดับ

$$t_{Sys} = \left(\sum_{i=1}^N t_i^2 \right)^{1/2} \quad (2.43)$$

$$t_{Sys} = \sqrt{t_{Tx}^2 + t_{Rx}^2 + t_{CD}^2} \quad (2.44)$$

t_{Sys} : เวลาข้ามของระบบ (คิดที่ 10% - 90% ของเวลาข้าม) (ps)

t_{Tx} : เวลาข้ามของตัวส่งแสง (ps)

t_{Rx} : เวลาข้ามของตัวตรวจจับแสง (ps)

t_{CD} : การถ่างออกของพัลล์ (ps) หรือ เท่ากับสมการที่ (2.19)

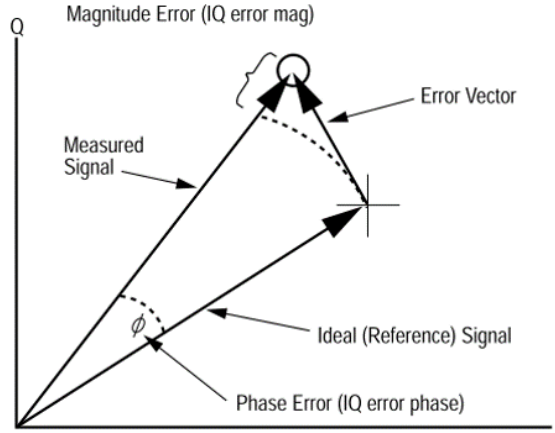
จากการคำนวณงบเวลาข้ามของระบบ ถ้าระบบส่งสัญญาณด้วยรูปแบบ NRZ ค่าพัลล์ที่ถ่างออกต้องไม่เกิน 70 % ของคาบบิต ดังนั้น $t_{Sys} < 0.7T_B$ [1] โดย T_B คือคาบบิต (Bit Period) มีหน่วยเป็น (ps) ระบบการส่งสัญญาณจะมีสมรรถนะเพียงพอ

2.3.3 ขนาดเวกเตอร์ผิดพลาด (Error Vector Magnitude)

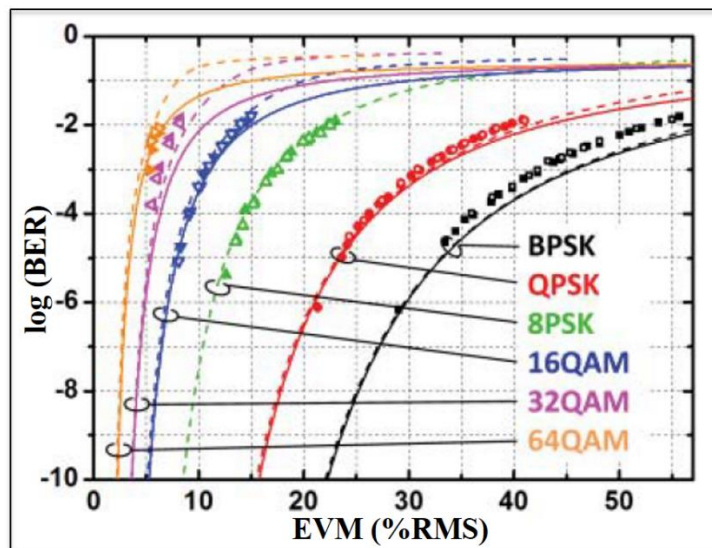
ค่าขนาดเวกเตอร์ผิดพลาด (Error Vector Magnitude, EVM) คืออัตราส่วนกำลังเฉลี่ย เวกเตอร์ผิดพลาด (Average Error Vector Power, P_{Error}) เทียบกับกำลังเฉลี่ยเวกเตอร์อ้างอิง (Average Reference Vector Power, P_{ref}) คำนวณได้จากสมการที่ (2.45) [14] ในหน่วย % RMS (Root Mean Square)

$$EVM(\%) = \left(\sqrt{(P_{Error} / P_{ref})} \right) \times 100\% \quad (2.45)$$

ค่าขนาดเวกเตอร์ผิดพลาดแสดงถึงขนาดของเวกเตอร์สัญญาณที่ผิดพลาดไปจากตัวแท่นร่อง อ้างอิงโดยมีหลักการพื้นฐานแสดงรูปที่ 2.20 [14] ถ้าสัญญาณจากภาคส่งมีค่าขนาดเวกเตอร์ผิดพลาด จากระยะห่างอ้างอิงมากเกินไปนั้นเนื่องมาจากสัญญาณรบกวนต่างๆ มีผลทำให้ตราบิตริดพลาดสูง ดังแสดงในรูปที่ 2.21 [15] ยิ่งไปกว่านั้นปัจจัยที่ทำให้ค่าขนาดเวกเตอร์ผิดพลาดเพิ่มสูงขึ้นยังมาจาก ผลกระทบของโครมาติกดิสเพอร์ชันสะสม (Accumulated Chromatic Dispersion) [6] เมื่อส่งสัญญาณผ่านเส้นใยนำแสงที่ระยะทางไกล



รูปที่ 2.20 ขนาดเดกเตอร์ผิดพลาด [16]



รูปที่ 2.21 อัตราบิตผิดพลาดเทียบกับค่าขนาดเดกเตอร์ผิดพลาด [15]

2.3.4 อัตราบิตผิดพลาด (Bit Error Rate, BER)

เกณฑ์กำหนดสมรรถนะของการสื่อสารดิจิทัล อีกหนึ่งพารามิเตอร์ที่สำคัญคือ อัตราบิตผิดพลาด ซึ่งบ่งบอกคุณภาพของสัญญาณที่ภาครับ โดยทั่วไปการวัดค่าอัตราบิตผิดพลาดของตัวตรวจจับแสงพิจารณาที่ 10^{-9} สามารถคำนวณได้จากสมการที่ (2.46) และ (2.47) ตามลำดับ [2]

$$BER = \frac{1}{2} erfc\left(\frac{Q}{\sqrt{2}}\right) \approx \frac{\exp(-Q^2/2)}{Q\sqrt{2\pi}} \quad (2.46)$$

$$Q = \frac{I_1 - I_0}{\sigma_1 + \sigma_0} \quad (2.47)$$

BER : อัตราบิตผิดพลาด

Q : คิวแฟคเตอร์ (Q-Factor)

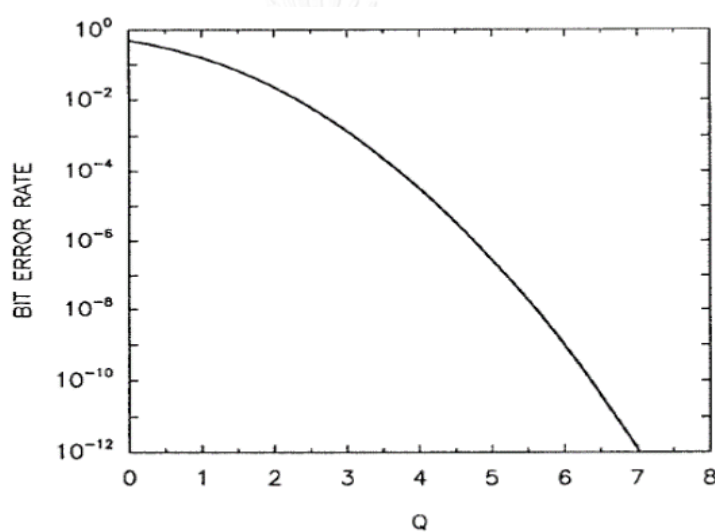
I_1 : กระแสบิต 1 (A)

I_0 : กระแสบิต 0 (A)

σ_1 : ค่าเบี่ยงเบนมาตรฐานบิต 1 (Standard Deviation of Bit 1)

σ_0 : ค่าเบี่ยงเบนมาตรฐานบิต 0 (Standard Deviation of Bit 0)

จากสมการที่ (2.46) และ (2.47) ความสัมพันธ์ระหว่างอัตราบิตผิดพลาดกับคิวแฟคเตอร์ เป็นไปตามรูปที่ 2.22 [2] เมื่อเพิ่มค่าคิวแฟคเตอร์อัตราบิตผิดพลาดจะต่ำลง ดังนั้นแล้วจากค่าคิวแฟคเตอร์ที่ $Q \approx 6$ มีค่าอัตราบิตผิดพลาดเท่ากับ 10^{-9}

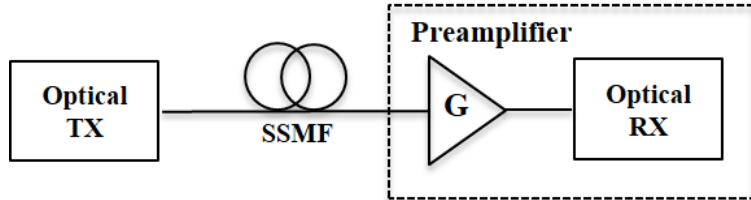


รูปที่ 2.22 ความสัมพันธ์ระหว่างอัตราบิตผิดพลาดกับคิวแฟคเตอร์ [2]

2.4 ตัวขยายก่อนภาครับ (Pre-receiver Amplifier)

จากหัวข้อที่ 2.3.1 การส่งสัญญาณผ่านเส้นใยนำแสง荷模เดี่ยวมาตรฐานระยะทางไกล กำลังแสงจะถูกลดทอนลงด้วยค่าสัมประสิทธิ์การลดทอน ทำให้แสงที่ปลายทางมีกำลังอ่อนลงก่อนถึงภาครับซึ่งอาจไม่เพียงพอต่อค่าความไวภาครับ (Receiver Sensitivity) ดังนั้นระบบที่ส่งสัญญาณผ่านเส้นใยนำแสง荷模เดี่ยวมาตรฐานระยะทางไกล จึงจำเป็นต้องแทรกตัวขยายกำลังแสง (Optical Amplifier) ที่มีอัตราการขยาย (Gain) สูงเข้าไปก่อนภาครับสัญญาณดังแสดงในรูปที่ 2.23 [1] ซึ่งตัวขยายกำลังแสงมีอยู่ 3 ชนิดหลักคือ 1) ตัวขยายເສໂອເອ (Semiconductor Optical Amplifier, SOA), 2) ตัวขยายรามาน (Raman Amplifier) และ 3) ตัวขยายອົດເອີຟເອ (Erbium-Doped Fiber Amplifier, EDFA) เป็นที่รู้จักและนิยมนำมาใช้งานเป็นตัวขยายแสงมากที่สุดในช่วง C-Band (Conventional Band) ดังนั้นจะอธิบายรายละเอียดเฉพาะตัวขยายອົດເອີຟເອในหัวข้อที่ 2.5.1

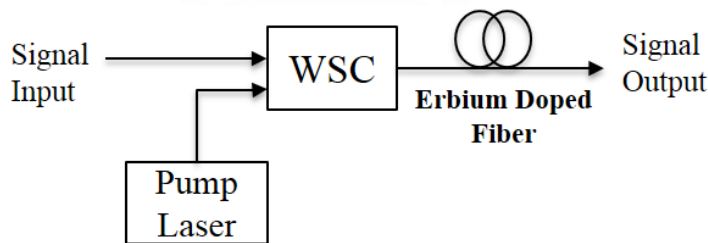
ผลกระทบจากสัญญาณรบกวนเออเอสอี (Amplified Spontaneous Emission-Noise, ASE-Noise) ในหัวข้อที่ 2.5.2 และตัวเลขสัญญาณรบกวน (Noise Figure, NF) ในหัวข้อที่ 2.5.3 ตามลำดับ



รูปที่ 2.23 ตัวขยายก่อนภาครับ

2.4.1 ตัวขยายอีดีเอฟเอ (Erbium-Doped Fiber Amplifier, EDFA)

ตัวขยายอีดีเอฟเเป็นตัวขยายแสงที่นิยมใช้งานมากที่สุด ใช้ขยายแสงในช่วงความยาวคลื่นแสง 1530-1560 nm ภายใต้ประกอบด้วยอุปกรณ์ 3 ส่วนหลักดังแสดงในรูปที่ 2.24 [1] คือ 1) เส้นใยนำแสงที่ผลิตมาจากการโดปแกนกลางด้วยธาตุเออร์เบียม (Erbium, Er³⁺) ใช้เป็นตัวกลางแอ็คทิฟ (Active Medium), 2) เลเซอร์ปั๊ม (Pump laser) อยู่ป้อนกำลังแสงความยาวคลื่น 980 หรือ 1480 nm, และ 3) ตัวคู่ต่อเลือกความยาวคลื่น (Wavelength Selective Coupler, WSC) ใช้รวมแสงขาเข้า 1550 nm กับแสงจากเลเซอร์ปั๊ม โดยมีหลักการทำงานคือตัวกลางแอ็คทิฟต้องได้รับพลังงานจากปั๊มเลเซอร์ภายนอกอย่างต่อเนื่อง เพื่อให้สามารถขยายกำลังแสงขาเข้าให้กล้ายเป็นกำลังแสงขาออกที่มีกำลังมากขึ้น โดยสัดส่วนกำลังแสงขาออกต่อกำลังแสงขาเข้าเรียกว่าอัตราขยาย ดังสมการที่ (2.48) [1]



รูปที่ 2.24 โครงสร้างภายในตัวขยายอีดีเอฟเอ [1]

$$G = 10 \log \left(\frac{P_{out}}{P_{in}} \right) \quad (2.48)$$

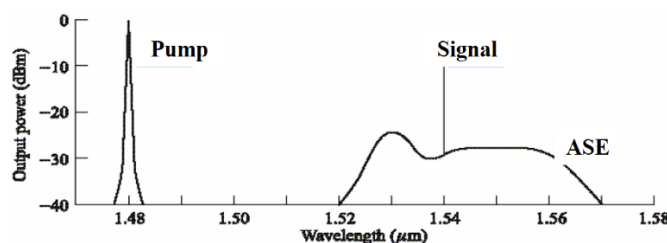
G : อัตราขยาย (dB)

P_{out} : กำลังแสงขาออก (mW)

P_{in} : กำลังแสงขาเข้า (mW)

2.4.2 สัญญาณรบกวนเออเอสอี (Amplified Spontaneous Emission-Noise, ASE-Noise)

สัญญาณรบกวนเออเอสอีเกิดจากปรากฏการณ์การปลดปล่อยแบบเกิดเองในตัวขยายอีดีโอฟ เอ สเปกตรัมแสงของสัญญาณรบกวนนี้มีลักษณะคล้ายรูปช้างดังแสดงในรูปที่ 2.25 [1] เป็นการบ่งบอกช่วงแบนวิดท์อัตราขยายอยู่ในช่วงความยาวคลื่น 1530-1560 nm จะเห็นได้ว่าเมื่อมีการใช้ตัวขยายอีดีโอฟเลือทำให้เพิ่มระดับสัญญาณรบกวน (Noise Floor) มีผลทำให้ค่าอัตราส่วนกำลังสัญญาณ แสงต่อกำลังสัญญาณรบกวน (Optical Signal to Noise Ratio, OSNR) นั้นมีค่าลดลงซึ่งจะทำให้เกิดอัตราบิตพลาดเพิ่มขึ้นอีกด้วย



รูปที่ 2.25 สเปกตรัมแสงของเลเซอร์ปั๊มและสัญญาณรบกวนเออเอสอี [1]

สเปกตรัมแสงของสัญญาณรบกวนเออเอสอี สามารถคำนวณหาค่าความหนาแน่นสเปกตรัมกำลัง (Power Spectral Density) ได้จากสมการที่ (2.49) [1]

$$S_{ASE} = h\nu n_{sp}[G-1] = P_{ASE} / \Delta\nu_{opt} \quad (2.49)$$

S_{ASE} : ค่าความหนาแน่นสเปกตรัมกำลัง (W/Hz)

h : ค่าคงที่ของพลังค์ (Planck's constant) เท่ากับ 6.6256×10^{-34} (J.s)

ν : ความถี่ (Hz)

n_{sp} : ปัจจัยการแปลงประชากร (Population-inversion factor)

P_{ASE} : กำลังสัญญาณรบกวนเออเอสอี (mW)

$\Delta\nu_{opt}$: แบนด์วิดท์แสง (Hz)

ปัจจัยการเปลี่ยนแปลงประชากรสามารถคำนวณได้จากสมการที่ (2.50) [1] โดยที่ n_1 และ n_2 คือความหนาแน่นของอิเล็กตรอนในระดับพลังงานต่ำและระดับพลังงานสูงตามลำดับ ในกรณี อุดมคติ n_{sp} เท่ากับ 1 แต่กรณีที่ว่าไปจะมีค่าอยู่ระหว่าง 1.4 ถึง 4 ขึ้นอยู่กับความยาวคลื่นแสงปั๊ม เลเซอร์

$$n_{sp} = \frac{n_2}{n_2 - n_1} \quad (2.50)$$

เมื่อเพิ่มตัวขยายอีดีเอฟເອົາມາในระบบมີຜລທຳໃຫ້ສັງຄູານຮບກວນທີ່ການຮັບເພີ່ມຈິ້ນຈາກເດີມທີ່ໄດ້ອືບຍໄວ້ໃນຫວັນຂອ້ທີ່ 2.2.1.2 ຈຶ່ງຕ້ອງພິຈາລະນາຜລຮວມຂອງສັງຄູານຮບກວນເອເສົ່າເຂົ້າໄປດ້ວຍ ດັ່ງສົມກາຣທີ່ 2.51 ລົງ 2.54 [1] ຕາມລຳດັບ

ສັງຄູານຮບກວນຄວອນຕົ້ມເມື່ອເພີ່ມສັງຄູານຮບກວນເອເສົ່າ

$$\langle i_{Q}^2 \rangle = \sigma_{Q-S}^2 + \sigma_{Q-ASE}^2 = 2qRGP_{in}B + 2qRP_{ASE}B \quad (2.51)$$

$\langle i_{Q}^2 \rangle$: ຄ່າແລື່ຢັ້ງກຳລັງສອງຂອງກະຮແສສັງຄູານຮບກວນຄວອນຕົ້ມ (A^2)

q : ຄ່າຄົກຕັ້ງປະຈຸບັນຂອງອີເລີກຕຽນ ($1.6 \times 10^{-19} C$)

R : Responsivity ຂອງຕົວຕະວັດຈັບແສ (A/W)

B : ແບນດົວດີທີ່ໄຟຟ້າ (Hz)

ໃນຂະເໜີຢັ້ງກຳສັງຄູານຕີ (Beat Signal) ຮະຫວ່າງສັງຄູານແລະສັງຄູານຮບກວນເອເສົ່າຈະ ພສມຄ່າຄວາມຄືແສງຂອງສັງຄູານຂໍ້ມູນກັບຄ່າຄວາມຄືແສງຂອງສັງຄູານຮບກວນໃຫ້ຄ່າຄວາມແປປຣວນສັງຄູານຮບກວນຕີ ດັ່ງສົມກາຣທີ່ (2.36) [1]

$$\sigma_{S-ASE}^2 = 4(RGP_{in})(RS_{ASE}B) \quad (2.52)$$

ນອກຈາກນີ້ຍັງມີກາຣຜສມຄ່າຄວາມຄືແສງຂອງສັງຄູານຮບກວນເອເສົ່າກັບຕົວມັນເອງ ດັ່ງສົມກາຣທີ່ (2.53) [1]

$$\sigma_{ASE-ASE}^2 = R^2 S_{ASE}^2 (2\Delta\nu_{opt} - B)B \quad (2.53)$$

ດັ່ງນີ້ນຄ່າຄວາມແປປຣວນຂອງສັງຄູານຮບກວນທັງໝົດ (σ_{total}^2) ຈຶ່ງເປັນຜລຮວມຂອງສັງຄູານຮບກວນທັ້ງ 5 ເທຝທັງສົມກາຣທີ່ (2.54) ໂດຍຮມຄ່າຄວາມແປປຣວນຂອງສັງຄູານຮບກວນຈາກຄວາມຮັ້ອນດ້ວຍແລະໃນທີ່ນີ້ໄໝສົນໃຈສັງຄູານຮບກວນກະແນນີ້ດີ່ຈຶ່ງມີຄ່າດຳກຳມາກ ເມື່ອເທີຍບກັບສັງຄູາຜຣບກວນທັງໝົດທີ່ກຳລັວມາຂ້າງຕົ້ນ

$$\sigma_{total}^2 = \sigma_T^2 + \sigma_{Q-S}^2 + \sigma_{Q-ASE}^2 + \sigma_{S-ASE}^2 + \sigma_{ASE-ASE}^2 \quad (2.54)$$

2.4.3 ຕັວເລີຂສັງຄູານຮບກວນ (Noise Figure, NF)

ຕັວເລີຂສັງຄູານຮບກວນຂອງຕົວຍາຍແສງຄື່ອ ອັຕຣາສ່ວນຮ່ວ່າງສັງຄູານກັບສັງຄູານຮບກວນ (Signal to Noise Ratio, SNR) ຂອງກຳລັງແສງກ່ອນຍາຍຕ່ອກກຳລັງແສງທັງໝົດຕົວຍາຍ ດັ່ງສົມກາຣທີ່ (2.39) [1] ເປັນຄ່າທີ່ປັບປຸງກົດຕື່ກຳເສື່ອມລົງຂອງອັຕຣາສ່ວນກຳລັງສັງຄູານຕ່ອກກຳລັງສັງຄູານຮບກວນເມື່ອ

ส่งผ่านตัวขยายแสง ยิ่งตัวเลขนี้มีค่ามากหมายความว่าเป็นตัวขยายแสงที่ไม่ดีเพราะเพิ่มสัญญาณ
รบกวนເອເສື້ອເຂົ້າໄປມາກ ເນື້ອ η ຄືວັນປະສິທິຄວອນຕົມ (Quantum Efficiency)

$$NF = \frac{(S/N)_{in}}{(S/N)_{out}} \approx \frac{1 + 2\eta n_{sp}(G-1)}{G} \quad (2.56)$$



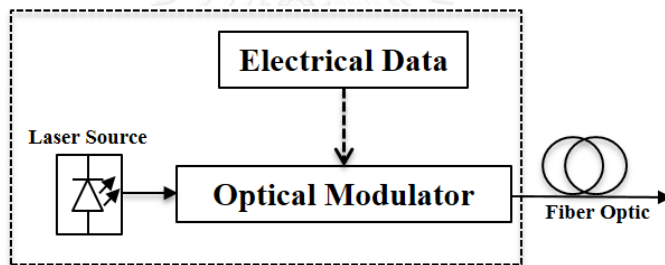
บทที่ 3

อุปกรณ์สำคัญที่ใช้ในโครงข่าย

ในบทนี้จะอธิบายถึงอุปกรณ์สำคัญต่างๆ ที่เลือกใช้กับงานวิจัยในวิทยานิพนธ์นี้ทั้งระบบที่กล้ามสัญญาณแบบโอลูโอด และ ดิคิวพีเอสเคประกอบไปด้วย 3 ส่วนหลักดังหัวข้อ 3.1 อุปกรณ์ภาคส่งสัญญาณแสง, 3.2 อุปกรณ์ภาครับสัญญาณแสง และ 3.3 สายส่งสัญญาณ

3.1 อุปกรณ์ภาคส่งสัญญาณแสง

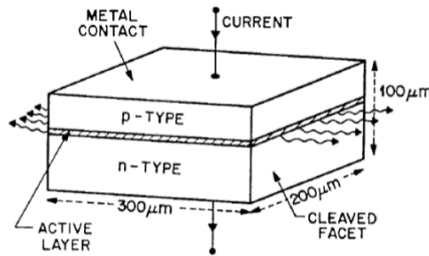
ภาคส่งสัญญาณแสงประกอบด้วยอุปกรณ์ 2 องค์ประกอบหลักคือ 1) แหล่งกำเนิดแสงเลเซอร์ (Laser Source) ทำหน้าที่สร้างคลื่นแสงต่อเนื่อง (Continuous Light Wave) และ 2) ตัวกล้ามสัญญาณแสง (Optical Modulator) ทำหน้าที่รวมสัญญาณข้อมูลไฟฟ้ากับคลื่นพาร์ส์แสง ซึ่งหลักการกล้ามสัญญาณได้อธิบายไว้แล้วในหัวข้อที่ 2.1.1 ถึง 2.1.2 เพื่อส่งเข้าไปในเส้นใยนำแสงดังแสดงดังรูปที่ 3.1 โดยแต่ละองค์ประกอบมีรายละเอียดดังหัวข้อที่ 3.1.1 ถึง 3.1.2



รูปที่ 3.1 แผนภาพบล็อกองค์ประกอบหลักภาคส่งสัญญาณแสง

3.1.1 แหล่งกำเนิดแสงเลเซอร์ (Laser Source)

แหล่งกำเนิดแสงเลเซอร์ (Light Amplification by Stimulated Emission of Radiation, LASER) เลเซอร์ผลิตมาจากสารกึ่งตัวนำ 2 ชนิดซึ่งมีแบนด์เกaps (Bandgap) ที่แตกต่างกันมาต่อกัน เป็นโครงสร้างที่มีความแตกต่างระหว่างรอยต่อ (Hetero Junction) โดยสารกึ่งตัวนำด้านหนึ่งจะถูกโดยด้วยราตุหมู่ 3 เป็นชนิดพี (P-type) และอีกด้านถูกโดยด้วยราตุหมู่ 5 เป็นชนิดเอ็น (N-type) ประกอบกันเกิดเป็นรอยต่อพีเอ็น (P-N Junction) ดังแสดงในรูปที่ 3.2 [2]

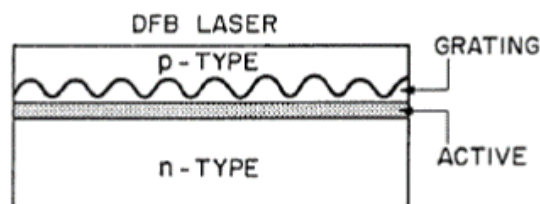


รูปที่ 3.2 โครงสร้างของแหล่งกำเนิดแสงเลเซอร์ [2]

การใช้งานแหล่งกำเนิดแสงเลเซอร์ให้เปล่งแสงได้นั้น ต้องป้อนแรงดันไฟฟ้าไปข้างหน้า (Forward Bias) ให้กับรอยต่อพีอีอีน เพื่อให้บริเวณปลดพาหะ (Depletion Region) ควบลง กลายเป็นบริเวณแอ็คทิฟและเปล่งลำแสงออกมามีขนาดพอเหมาะสมกับแกนกลางเส้นใยนำแสง โดย ชนิดของสารกึ่งตัวนำจะเป็นตัวกำหนดความยาวคลื่นแสงที่เปล่งออกมายกต่ำจากบริเวณแอ็คทิฟ แหล่งกำเนิดแสงเลเซอร์ที่นำมาใช้งานจำแนกได้เป็น 3 ชนิดหลักคือ 1) ฟาร์บีเพโรท์เลเซอร์ Fabry-Perot Laser, 2) ดีเอฟบีเลเซอร์ (Distributed FeedBack Laser (DFB Laser)) และ 3) ดีบีอาร์ เลเซอร์ (Distributed Bragg Reflector Laser, (DBR Laser)) โดยเลเซอร์ที่นิยมใช้คือดีเอฟบีเลเซอร์ และดีบีอาร์เลเซอร์ ซึ่งมีรายละเอียดดังต่อไปนี้

1) ดีเอฟบีเลเซอร์ (Distributed FeedBack Laser (DFB Laser))

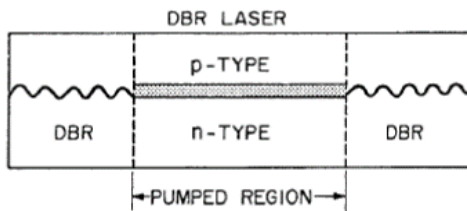
ดีเอฟบีเลเซอร์ มีโครงสร้างแบบความแตกต่างระหว่างรอยต่อคู่ (Double Hetero Junction) กับวัสดุชั้นแอ็คทิฟเป็นสารกึ่งตัวนำ InGaAsP (Indium Gallium Arsenide Phosphide) แทรกโครงสร้างลักษณะเสมือนกระจกเรียงต่อกันตามยาวของโครงสร้างเรียกว่า เกรตติงแบร็กท์ (Bragg Grating) ดังแสดงในรูปที่ 3.3 [2] เพื่อทำหน้าที่สะท้อนกลับแสงเฉพาะยอดสั้นพ้อง (Resonance) ที่ต้องการทำให้แสงที่เปล่งออกมามีค่าความยาวคลื่นค่าได้ค่าหนึ่งและมีสเปกตรัมที่แคบ ด้วยข้อดีที่กล่าวมาที่ทำให้ดีเอฟบีเลเซอร์ถูกนำมาใช้กับการส่งผ่านในเส้นใยนำแสงโดยเดียว มาตรฐานที่มีแกนกลางเล็กมาก และใช้เป็นแหล่งกำเนิดคลื่นแสงต่อเนื่องกับการกลั่นสัญญาณ ภายนอกร่วมกับตัวกลั่นสัญญาณมัค-เซนเตอร์เป็นต้น



รูปที่ 3.3 โครงสร้างภายในของดีเอฟบีเลเซอร์

2) ดีบีอาร์เลเซอร์ (Distributed Bragg Reflector Laser (DBR Laser))

ดีบีอาร์เลเซอร์มีโครงสร้างคล้ายคลึงกับดีโอพีเลเซอร์ และใช้เกรตติงแบรอก์เซ็นเดียวกันแต่ จะอยู่ที่เฉพาะบริเวณขอบปลายด้านเดียวหรือทั้งสองปลายก็ได้ดังแสดงในรูปที่ 3.4 [2] เกรตติงนี้ทำ หน้าที่เลือกยอดสันพ้องให้เหลือเพียงยอดเดียว ข้อดีของดีบีอาร์เลเซอร์คือการแยกส่วนเกรตติงออก จากแอ็คทิฟ ทำให้สามารถปรับเปลี่ยนความยาวคลื่นแสงได้ในช่วงกว้างขึ้นกว่าดีโอพีเลเซอร์ ดังนั้นดีบี อาร์เลเซอร์จึงถูกประยุกต์มาใช้เป็นแหล่งกำเนิดแสงที่มีช่วงของความยาวคลื่นกว้าง เรียกอุปกรณ์นิด นี้ว่า เลเซอร์ปรับค่าได้ (Tunable Laser) ที่ใช้ในวิทยานิพนธ์ฉบับนี้ดังแสดงในรูปที่ 3.5 เป็น แพลตฟอร์มของเลเซอร์ปรับค่าได้ของบริษัท Amonics โมดูล C-Band Tunable Laser ATL-C-16-AOCP-FA [17] ซึ่งหมายถึงการใช้งานกล้าสัญญาณเฟส



รูปที่ 3.4 โครงสร้างภายในของดีบีอาร์เลเซอร์



รูปที่ 3.5 แพลตฟอร์มเลเซอร์ปรับค่าได้ของบริษัท Amonics

3.1.2 ตัวควบคุมโพลาไรเซชัน (Polarization Controller)

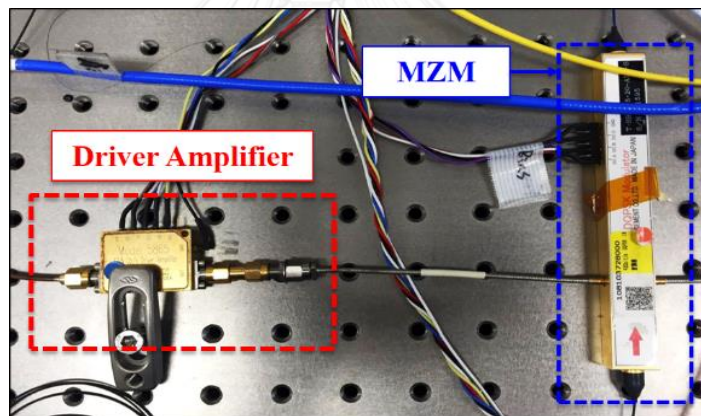
เนื่องจากตัวกล้าสัญญาณแบบมัค-เซนเดอร์ซึ่งใช้การกล้าสัญญาณรวมกับแสงที่ออกมากจากดี บีอาร์เลเซอร์มีสถานะโพลาไรเซชัน (State of Polarization) สถานะแสงเดียว ดังนั้นก่อนที่แสงจะ เข้าสู่ตัวกล้าสัญญาณแบบมัค-เซนเดอร์ จำเป็นต้องมีการปรับตั้งสถานะแสงให้เหมาะสมก่อน ซึ่งทำได้ โดยใช้อุปกรณ์ ตัวควบคุมโพลาไรซ์เซชันของบริษัท OPTOQUEST โมดูล (Cartridge series 2-state Polarization Controller) ดังแสดงในรูปที่ 3.6 [18] จะสามารถหาสถานะแสงที่เหมาะสมได้โดย ปรับตั้งโพลาไรเซชันที่ประกอบด้วยสองวงแหวน คือ 1) Quarter Wave Plate (QWP) และ 2) Half Wave Plate (HWP) และวัดกำลังแสงจากมิเตอร์กำลังแสง (Optical Power Meter) ให้ได้ค่ากำลัง แสงมากที่สุด หรือเมื่อกล้าสัญญาณแล้วสามารถวิเคราะห์ได้จากแผนภาพรูปตา (Eye Diagram) ของ สัญญาณจากเครื่อง Digital Communication Analyzer (DCA) ให้ได้ขนาดสัญญาณใหญ่ที่สุด



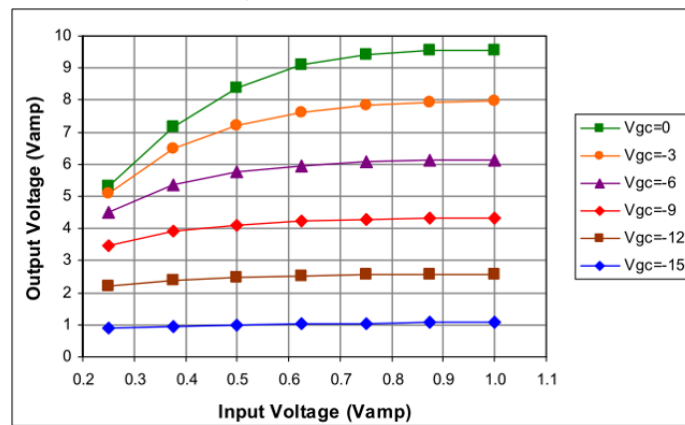
รูปที่ 3.6 ตัวควบคุมไฟลาเรช์เซชัน

3.1.3 ตัวกล้าสัญญาณแบบโอโวโค (OOK Modulator)

หลักการกล้าสัญญาณรูปแบบโอโวโค ดังที่อธิบายไว้แล้วในหัวข้อที่ 2.1.1.1 อุปกรณ์ที่เลือกใช้คือตัวกล้าสัญญาณมัค-เซนเดอร์ โดยประยุกต์ใช้งานจากขาข้างหนึ่งเพียงข้างเดียวของตัวกล้าสัญญาณแบบดีคิวพีเอสเคดังแสดงในรูปที่ 3.7 และสัญญาณข้อมูลไฟฟ้าจากเครื่องกำเนิดแพทเทิน (Pattern Generator) ถูกส่งผ่านตัวขับขยายสัญญาณ (Driver Amplifier) ของบริษัท Picosecond Lab. โมเดล (5868 12.5 Gb/s Driver Amplifier) ก่อนที่จะเข้าสู่ตัวกล้าสัญญาณ ซึ่งตัวขับขยายสัญญาณมีอัตราการขยายดังแสดงในรูปที่ 3.8 [19] รายละเอียดการปรับค่าติดตั้งต่างๆ เพื่อใช้งานจะกล่าวถึงในหัวข้อที่ 4.1 ต่อไป



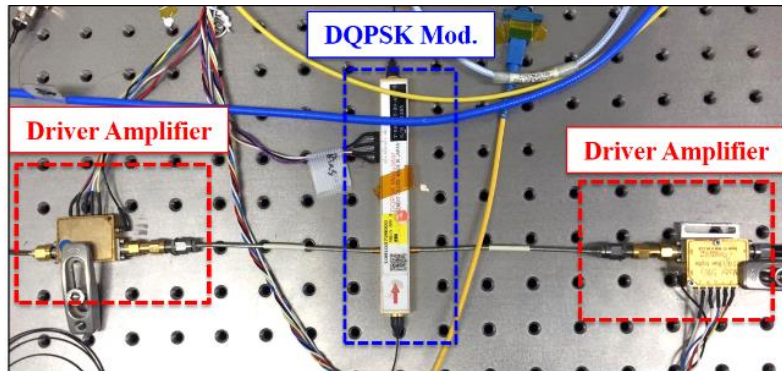
รูปที่ 3.7 ชุดตัวกล้าสัญญาณแบบโอโวโค



รูปที่ 3.8 อัตราการขยายของตัวขับขยายของบริษัท Picosecond Lab.[19]

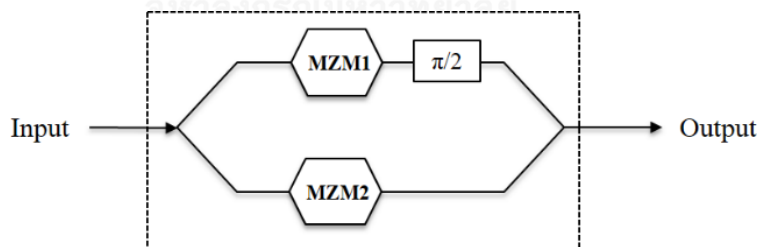
3.1.4 ตัวกล้ำสัญญาณแบบดิจิวพีเอสเค (DQPSK Modulator)

ตัวกล้ำสัญญาณแบบดิจิวพีเอสเคที่ใช้เป็นของบริษัท Sumitomo Corporation โนมเดล T.SBX1.5-20-ADC-S-FK ดังแสดงในรูปที่ 3.9 [20] และผ่านตัวขับขยายสัญญาณโนมเดลเดียวกันกับตัวกล้ำสัญญาณแบบโอลูโค เพื่อขยายสัญญาณจากเครื่องกำเนิดสัญญาณแพทเทินทั้งสองขา หลักการกล้ำสัญญาณแบบดิจิวพีเอสเคได้อธิบายไว้แล้วในหัวข้อที่ 2.1.2.4



รูปที่ 3.9 ชุดตัวกล้ำสัญญาณแบบดิจิวพีเอสเค

โครงสร้างภายในของตัวกล้ำสัญญาณแบบดิจิวพีเอสเคนี้ลักษณะเป็นมัค-เซนเดอร์ที่มีองค์ประกอบเหมือนกันสองตัวต่อหน้ากัน และที่ขาข้างหนึ่งของตัวกล้ำสัญญาณแบบดิจิวพีเอสเคนี้ประกอบด้วยตัวเลื่อนเฟส (Phase Shifter) ไว้ดังแสดงในรูปที่ 3.10 [8] เพื่อทำหน้าที่ปรับตั้งให้สัญญาณ Q กับ Q ตั้งจากกันมีเฟสต่างกัน 90 องศา โดยหลักการติดตั้งใช้งานและการปรับตั้งค่าพารามิเตอร์ต่างๆ ได้อธิบายไว้ในหัวข้อที่ 5.1

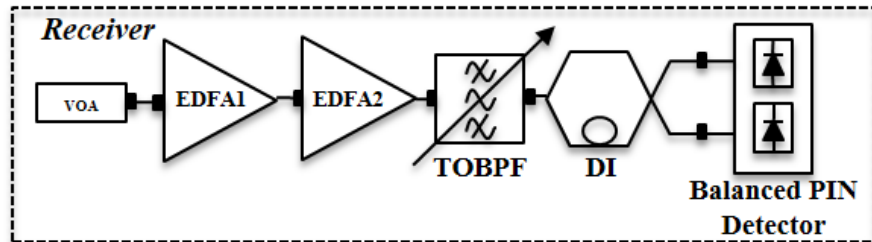


รูปที่ 3.10 โครงสร้างภายในตัวกล้ำสัญญาณแบบดิจิวพีเอสเค

3.2 อุปกรณ์ภาครับสัญญาณแสง

ภาครับสัญญาณแสงประกอบด้วยอุปกรณ์ 4 องค์ประกอบหลักดังแสดงในรูปที่ 3.11 ประกอบด้วย 1) ตัวลดthonกำลังแสงแบบปรับค่าได้ (Variable Optical Attenuator, VOA), 2) ตัวขยายอีดีโอฟเอ (Erbium Doped-Fiber Amplifier, EDFA), 3) ตัวกรองสัญญาณเฉพาะย่านความถี่แสงแบบปรับค่าได้ (Tunable Optical Band Pass Filter, TOBPF), 4) ดีเลอร์อินเตอร์เพอร์รอมิเตอร์

(Delay Interferometer, DI) และ 5) ตัวตรวจจับแสงชนิดพีโอเอ็นแบบบาลานซ์ (Balanced PIN Photo Detector) โดยอุปกรณ์ดังกล่าวที่เลือกใช้มีรายละเอียดดังหัวข้อที่ 3.2.1 ถึง 3.2.5 ตามลำดับ

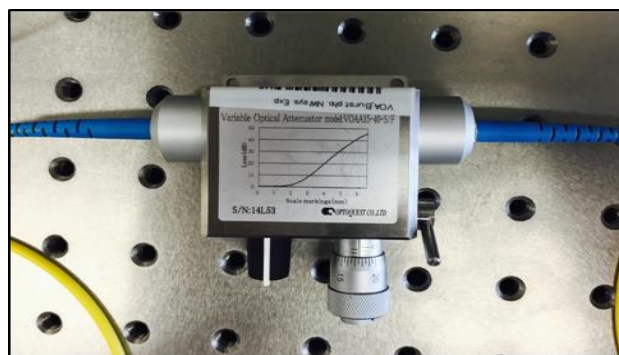


รูปที่ 3.11 แผนภาพบล็อกอุปกรณ์ภาครับสัญญาณแสง

3.2.1 ตัวลดthonกำลังแสงแบบปรับค่าได้ (Variable Optical Attenuator, VOA)

ตัวลดthonกำลังแสงแบบปรับค่าได้นำมาใช้เพื่อลดthonกำลังแสงจากภาคส่งก่อนเข้าตัวขยายอีดิเอฟเอ เพื่อป้องกันไม่ให้กำลังแสงก่อนเข้าตัวขยายอีดิเอฟเอมีกำลังมากเกินไปซึ่งจะเป็นการเพิ่มตัวเลขสัญญาณรบกวน (Noise Figure) ของตัวขยายอีดิเอฟเอซึ่งได้อธิบายไว้แล้วในหัวข้อที่ 2.4.3 และเพื่อป้องกันไม่ให้อุปกรณ์ภาครับเข่นตัวตรวจจับแสงหรือเครื่องมือวัดเช่น DCA เสียหายจากการกำลังแสงที่มากเกินขีดจำกัดที่อุปกรณ์เหล่านั้นสามารถติดรับได้ ยิ่งไปกว่านั้นตัวลดthonกำลังแสงแบบปรับค่าได้ยังเป็นอุปกรณ์สำคัญสำหรับการวัดค่าอัตราบิตริดพลาด โดยใช้เป็นตัวปรับค่ากำลังภาครับ (Receiver Power) ณ กำลังแสงค่าต่างๆเพื่อหาค่าอัตราบิตริดพลาด

ตัวลดthonกำลังแสงแบบปรับค่าได้ที่นำมาใช้คือชนิด Mechanical ของบริษัท OPTOQUEST โมเดล VOAA15-40-S/F ดังแสดงในรูปที่ 3.12 [21] ซึ่งมีข้อดีคือกำลังสูงเสียงแทรกต่ำที่ 0.7 dB สามารถใช้งานได้กับหลายความยาวคลื่น และไม่มีผลต่อเฟสของสัญญาณจึงเหมาะสมกับการใช้งานในระบบดิจิทัล เศรีกหั้งยังมีความเสถียรสูง



รูปที่ 3.12 ตัวลดthonกำลังแสงแบบปรับค่าได้

3.2.2 ตัวขยายอีดีเอฟเอ (Erbium Doped-Fiber Amplifier, EDFA)

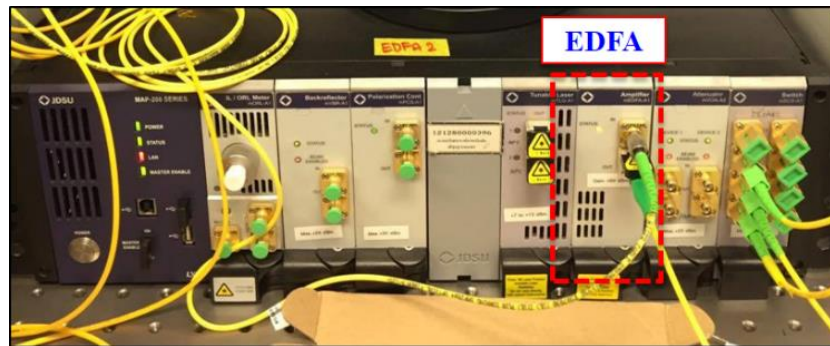
ตัวขยายอีดีเอฟเอาจึงใช้เพื่อยายสัญญาณแสงจากภาคส่งที่มีกำลังอ่อนลง ให้มีกำลังสูงพอที่ตัวตรวจจับแสงสามารถรับสัญญาณได้ ดังที่อธิบายรายละเอียดไว้แล้วในหัวข้อที่ 2.5.1 โดยในวิทยานิพนธ์ฉบับนี้ใช้ตัวขยายอีดีเอฟเอาจานวน 2 ตัว เพื่อลดปัญหาการลดthonในสีน้ำเงินและเพิ่มสมรรถนะในการส่งสัญญาณให้ได้ใกล้ที่สุดเท่าที่จะเป็นไปได้โดยมีงบกำลังเหลือพอ ทำให้ที่ภาครับสามารถรับสัญญาณที่มีกำลังต่ำๆได้ ซึ่งการนำตัวขยายอีดีเอฟเอมาต่อ กัน 2 ตัวแต่ละตัวทำหน้าที่ดังต่อไปนี้

ตัวขยายอีดีเอฟเอาจัวแรกที่ใช้เป็นของบริษัท Amonics โมเดล AEDFA-PKT-DWDM-15-B-SC ดังแสดงในรูปที่ 3.13 [22] โดยใช้เป็นตัวขยายกำลังแบบอัตราขยายตายตัว (Fixed Gain) กล่าวคือจ่ายกระแสสูงสุดให้กับปั๊มเลเซอร์ เพื่อให้ได้อัตราขยายสูงสุดมีค่า >18 dB ที่ความยาวคลื่น 1550 nm [22] และตัวขยายอีดีเอฟเอดังกล่าวมีตัวเลขสัญญาณรบกวนปกติเท่ากับ 5.5 dB และสูงสุดเท่ากับ 6 dB [22]



รูปที่ 3.13 ตัวขยายอีดีเอฟเอาจุนของบริษัท Amonics

ตัวขยายอีดีเอฟเอาจัวที่สองของบริษัท JDSU โมเดล mEDFA - A1 ดังแสดงในรูปที่ 3.14 [23] โดยใช้เป็นตัวขยายกำลังแบบปรับค่าอัตราขยาย (Variable Gain) ให้เหมาะสมกับตัวตรวจจับแสงกล่าวคือตัวตรวจจับแสงแบบบาลานซ์ที่ใช้นั้นต้องการกำลังแสงที่เหมาะสมกับการทำงานอยู่ที่ +8 dBm (ตัวตรวจจับแสงตัวละ +4 dBm) แต่เนื่องจากกำลังแสงก่อนเข้าตัวขยายอีดีเอฟเอาจัวแรกมีค่าประมาณ -30 dBm และอีดีเอฟเอาจัวแรกมีอัตราขยายสูงสุดเท่ากับ 30 dB ซึ่งไม่เพียงพอต่อจุดทำงานที่ต้องสูดของตัวตรวจจับแสง ดังนั้นจึงต้องเพิ่มตัวขยายอีดีเอฟเอกันหนึ่งตัวเพื่อใช้เป็นตัวควบคุมอัตราขยายสัญญาณให้ตรงตามจุดทำงานที่ต้องสูดของตัวตรวจจับแสง ซึ่งตัวขยายอีดีเอฟเอาจุนของบริษัท JDSU มีอัตราขยายสูงสุด >25 dB และมีค่าตัวเลขสัญญาณรบกวน <5.5 dB [23]



รูปที่ 3.14 ตัวขยายอีดีเอฟจากของบริษัท JDSU

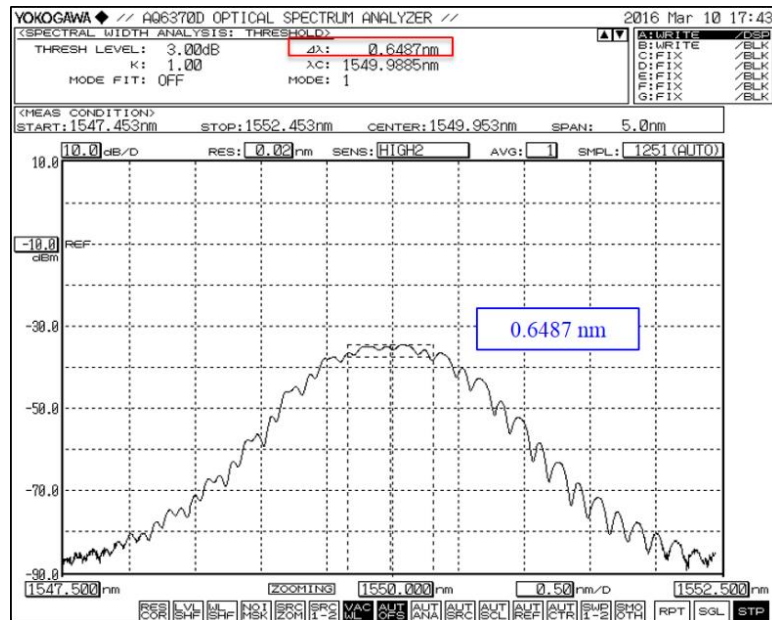
3.2.3 ตัวกรองสัญญาณเฉพาะย่านความถี่แสงแบบปรับค่าได้ (Tunable Optical Band Pass Filter, TOBPF)

ตัวกรองสัญญาณเฉพาะย่านความถี่แสงแบบปรับค่าได้ที่ใช้ของบริษัท OPTOQUEST ชนิด Micro Electro-Mechanical Systems Device (MEMs-Based) ดังแสดงในรูปที่ 3.15 โครงสร้างภายในเป็นกระชาก 2 บานใช้ในการเปลี่ยนแปลงทิศทางเพื่อเลือกความยาวคลื่นแสง ซึ่งมีความกว้างスペกตรัมเท่ากับ 0.6487 nm ดังแสดงในรูปที่ 3.16 การแทรกอุปกรณ์ตัวนี้เข้าไปหลังตัวขยายอีดีเอฟ เอเพลล์ลดระดับพื้นสัญญาณรบกวน (Noise Floor) ที่เกิดจากตัวขยายอีดีเอฟเองดังที่อธิบายไว้ในหัวข้อที่ 2.4.2 โดยการตัดแบนด์ความถี่ที่ไม่ต้องการออกและปรับเลือกเฉพาะแถบความถี่ที่ต้องการส่งผ่านเท่านั้น สเปกตรัมแสงเมื่อผ่านตัวกรองเฉพาะย่านความถี่แบบปรับค่าได้แสดงไว้ในหัวข้อที่ 4.

4.3.2 และ 5.3.2



รูปที่ 3.15 ตัวกรองสัญญาณเฉพาะย่านความถี่แสงแบบปรับค่าได้ของบริษัท OPTOQUEST

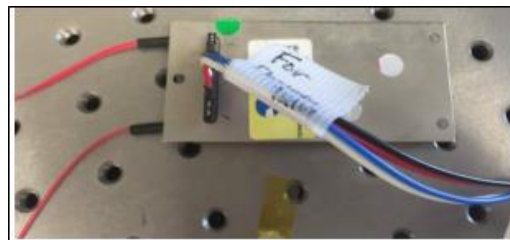


รูปที่ 3.16 สเปกตรัมของตัวกรองสัญญาณเฉพาะย่านความถี่แสงแบบปรับค่าได้

3.2.4 ดีเลย์อินเตอร์เฟอร์โรเมตอร์(Delay Interferometer, DI)

ดีเลย์อินเตอร์เฟอร์โรเมตอร์เป็นอุปกรณ์สำคัญในการแยกสัญญาณแบบหน่วงเวลา (Delay Demodulation) ดังที่อธิบายไว้ในหัวข้อที่ 2.1.4.2 โดยใช้แยกสัญญาณดีคิวพีเอสเคตัวที่ใช้เป็นของบริษัท Avensys โมเดล DPSK0995S40 ดังแสดงในรูปที่ 3.17 [24] โครงสร้างภายในเป็นเส้นใยนำแสงแยกเป็น 2 ทาง ที่มีความยาวแตกต่างกันดังที่อธิบายไว้ในหัวข้อ 2.1.4.2 เส้นทางซึ่งหนึ่งเป็นเส้นใยนำแสงทำความร้อน (Fiber Heater) มีลักษณะเป็นชุดเมื่อย้ายแรงดันไฟกระแทรงให้กับชุดเส้นใยนำแสงนี้จะสามารถควบคุมไฟของสัญญาณเพื่อปรับเลือกสัญญาณ | หรือ Q ในการแยกสัญญาณและอีกหนึ่งเส้นทางเป็นเส้นทางหน่วงเวลาซึ่งมีความยาวมากกว่าเส้นทางแรกเท่ากับ 1 คาบบิตของสัญญาณดังสมการที่ (2.8)

ดีเลย์อินเตอร์เฟอร์โรเมตอร์ที่เลือกใช้หน่วงเวลา (T_s) ได้เท่ากับ 100 ps ตั้งนั้นจึงหมายความว่าสัญญาณที่มีอัตราบิต 10 Gb/s เพาะสามารถหน่วงเวลาได้เพิ่ม 1 คาบบิตพอดี เพราะฉะนั้นการเลือกใช้ตัวอินเตอร์เฟอร์โรเมตอร์ต้องสัมพันธ์กับอัตราบิตที่ใช้ในการส่งสัญญาณ



รูปที่ 3.17 ดีเลย์อินเตอร์เฟอร์โรเมตอร์

เมื่อพิจารณาความยาวของทั้งสองเส้นทางในตัวดีเลอร์อินเตอร์เฟอร์โรมิเตอร์ จากสมการที่ (2.10) และ (2.11) สามารถหาความยาวของสองเส้นทางได้ดังสมการที่ (3.1) และ (3.2) ตามลำดับ เมื่อกำหนดให้ค่าดัชนีหักเหประสิทธิผล (Effective Refractive Index n_{eff}) มีค่าเท่ากับ 1.5 และ ผลต่างเฟสของสองเส้นทาง ($\Delta\phi$) เท่ากับ $\pi/4$

เส้นทางหน่วงเวลา

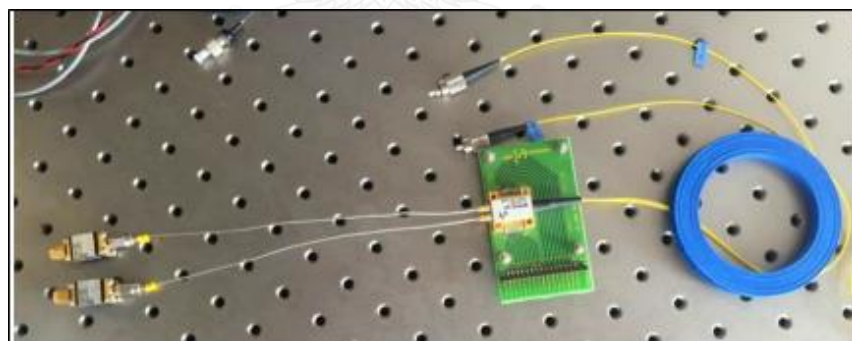
$$L + \Delta L = \frac{c \cdot T_s}{n_{eff}} = \frac{(3 \times 10^8 \text{ m/s}) \cdot (100 \text{ ps})}{1.5} = 2 \text{ cm} \quad (3.1)$$

เส้นทางเปลี่ยนแปลงเฟส

$$L = \frac{\Delta\phi \cdot \lambda}{2\pi n_{eff}} = \frac{(\pi/4) \cdot (1.55 \mu\text{m})}{2\pi(1.5)} = 0.129 \mu\text{m} \quad (3.2)$$

3.2.5 ตัวตรวจจับแสงไฟอิเล็กทรอนิกส์แบบบาลานซ์ (Balanced PIN Photo Detector)

ตัวรับแสงไฟอิเล็กทรอนิกส์ที่ใช้ในการตรวจจับสัญญาณแสงแบบบีคิวพีเอสเครื่องร่วมกับดีเลอร์อินเตอร์เฟอร์โรมิเตอร์ที่ใช้เป็นของบริษัท u²t Photonics โดยเดล 43 Gb/s DPSK Photo Receivers BPRV2123(A) ดังแสดงในรูปที่ 3.18 [25] หลักการตรวจจับและแปลงสัญญาณแสงเป็นสัญญาณข้อมูลไฟฟ้าอิเล็กทรอนิกส์ในหัวข้อที่ 2.1.4.2



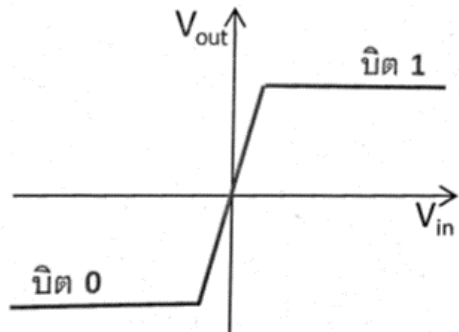
รูปที่ 3.18 ตัวตรวจจับแสงไฟอิเล็กทรอนิกส์แบบบาลานซ์

ภายในตัวตรวจจับแสงไฟอิเล็กทรอนิกส์มีอุปกรณ์อยู่ที่สำคัญคือ ตัวขยายดิฟเฟอเรนเชียล (Differential Amplifier) ที่ทำหน้าที่คำนวณด้วยการลบ (Subtract) สัญญาณจากตัวตรวจจับแสงทั้งสองตัวซึ่งเป็นแบบตัวขยายจำกัด (Limiting Amplifier) ซึ่งมีรายละเอียดดังต่อไปนี้

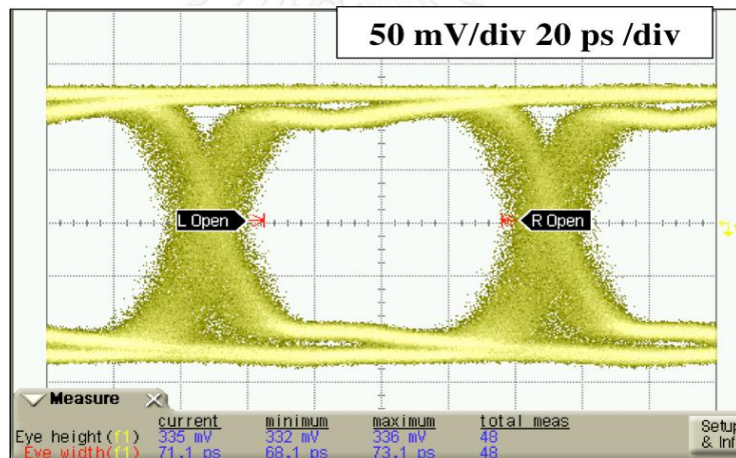
ตัวขยายจำกัด (Limiting Amplifier)

ตัวขยายจำกัดเป็นตัวขยายที่ไม่เป็นเชิงเส้น (Nonlinear Amplifier) กล่าวคือมีแรงดันขาออก กับแรงดันขาเข้าไม่เป็นเส้นตรงตลอด แต่จำกัดค่าแรงดันขาออกไว้ที่สองระดับคือสูงกับต่ำสำหรับ

ข้อมูลบิต 1 และ บิต 0 ตามลำดับ ดังแสดงในรูปที่ 3.19 [26] ถ้าสัญญาณขาเข้ามีค่าน้อยตัวขยายจะมีอัตราการขยายคงที่และทำงานอยู่ในช่วงเชิงเส้น แต่ถ้าสัญญาณขาเข้าเพิ่มมากขึ้นตัวขยายจะให้สัญญาณขาออกคงที่เป็นสองระดับแทน ซึ่งมีข้อดีคือช่วยกำจัดสัญญาณรบกวนออกไปจากสัญญาณข้อมูลได้ ตัวขยายชนิดนี้จึงเป็นที่นิยมใช้งานสำหรับการขยายสัญญาณดิจิทัล สัญญาณขาออกจากตัวตรวจจับแสงพีไอเอ็นแบบบาลานซ์แสดงดังรูปที่ 3.20



รูปที่ 3.19 กราฟคุณลักษณะของตัวขยายจำกัด [26]



รูปที่ 3.20 สัญญาณไฟฟ้าขาออกของตัวตรวจจับแสงพีไอเอ็นแบบบาลานซ์

3.3 สายส่งสัญญาณ (Transmission Line)

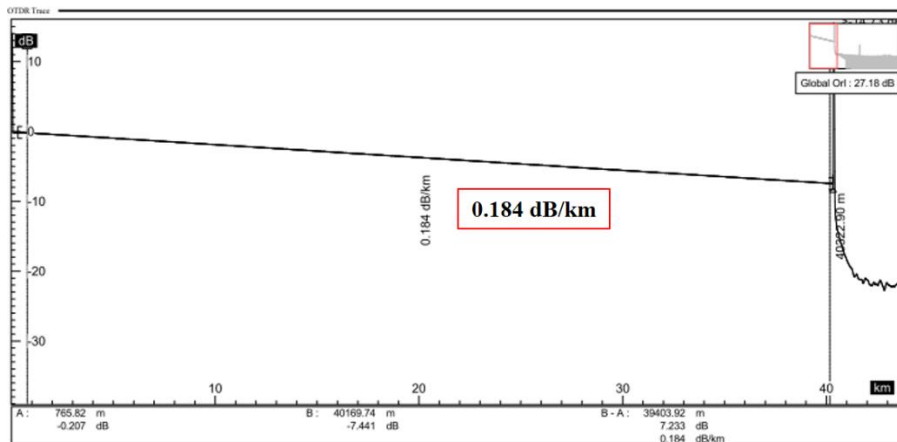
ระบบสื่อสารผ่านเส้นใยนำแสง (Optical Fiber Communication) ใช้สายส่งสัญญาณเป็นเส้นใยนำแสง荷模เดี่ยวมาตรฐานเป็นหลัก ดังที่อธิบายไว้ในหัวข้อ 2.2 ซึ่งในหัวข้อนี้จะกล่าวถึงคุณลักษณะเฉพาะตามมาตรฐานของเส้นใยนำแสงที่ใช้ รวมไปถึงการวัดค่าพารามิเตอร์สำคัญต่างๆ ของเส้นใยนำแสงเพื่อนำมาใช้ในการคำนวณของวิทยานิพนธ์ฉบับนี้

3.3.1 เส้นใยนำแสง荷模เดี่ยวมาตรฐาน (Standard Single Mode Fiber, SSMF)

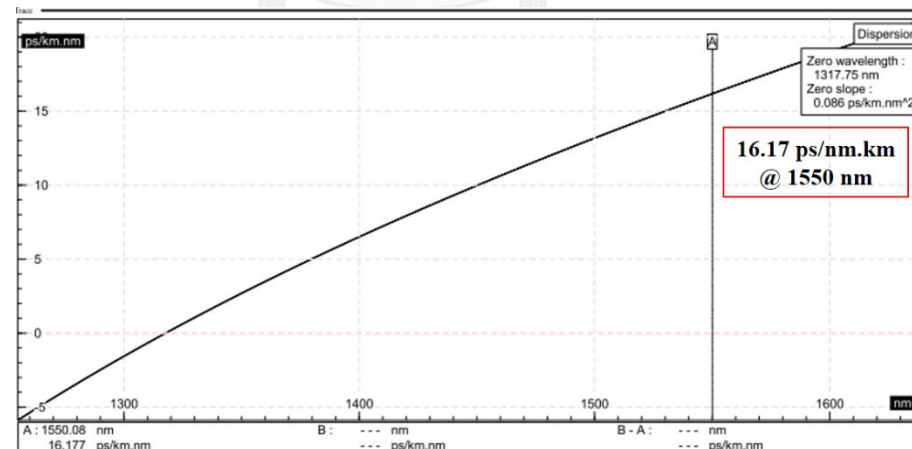
เส้นใยนำแสง荷模เดี่ยวมาตรฐานที่นำมาใช้ในการวิจัยนี้ เลือกใช้เส้นใยนำแสงตามมาตรฐาน ITU-T G.652 [12] ผลิตจากแก้วซิลิกา (SiO_2) โดยในมาตรฐานได้กำหนดค่าพารามิเตอร์

สำคัญ 2 ค่าคือ 1) สัมประสิทธิ์การลดthon (Attenuation Coefficient) ไว้เท่ากับ 0.2 dB/km ที่ความยาวคลื่น 1550 nm และ 2) ค่าโครมาติกดิสเพอร์ชัน (Chromatic Dispersion) ไว้เท่ากับ 16.5 ps/nm.km ที่ความยาวคลื่น 1550 nm

จากการทดลองใช้เครื่องมือวัดค่า Optical Time Domain Reflectometer (OTDR) ของบริษัท JDSU โมเดล MTS8000 [27] เพื่อทำการวัดค่าสัมประสิทธิ์การลดthon ผลการวัดแสดงดังรูปที่ 3.21 จากภาพจะเห็นได้ว่าค่าความชันของเส้นกราฟแสดงค่าสัมประสิทธิ์การลดthon ซึ่งมีค่าเท่ากับ 0.184 dB/km ที่ความยาวคลื่น 1550 nm และวัดค่าโครมาติกดิสเพอร์ชันผลการวัดแสดงดังรูปที่ 3.22 มีค่าเท่ากับ 16.17 ps/nm.km ที่ความยาวคลื่น 1550 nm



รูปที่ 3.21 ผลการวัดค่าสัมประสิทธิ์การลดthonของเส้นใยนำแสงใหม่เดี่ยวมาตรฐาน

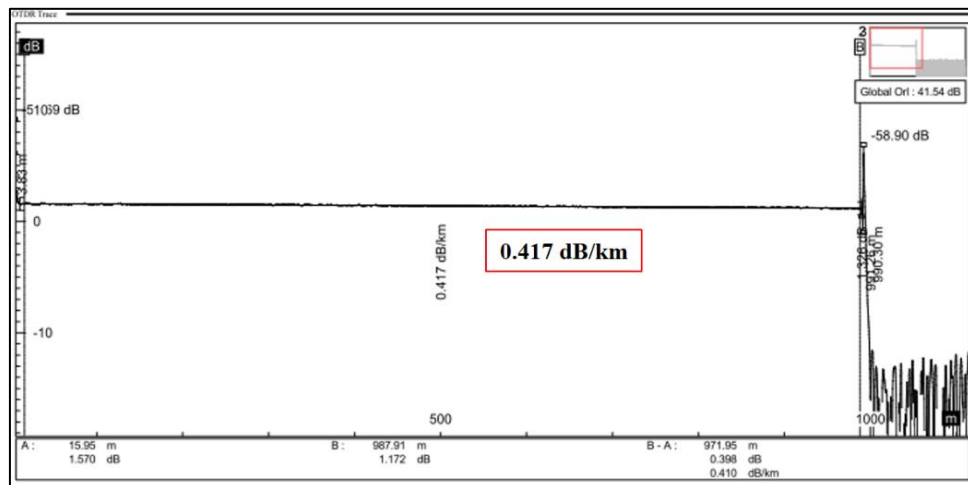


รูปที่ 3.22 ผลการวัดค่าโครมาติกดิสเพอร์ชันของเส้นใยนำแสงใหม่เดี่ยวมาตรฐาน

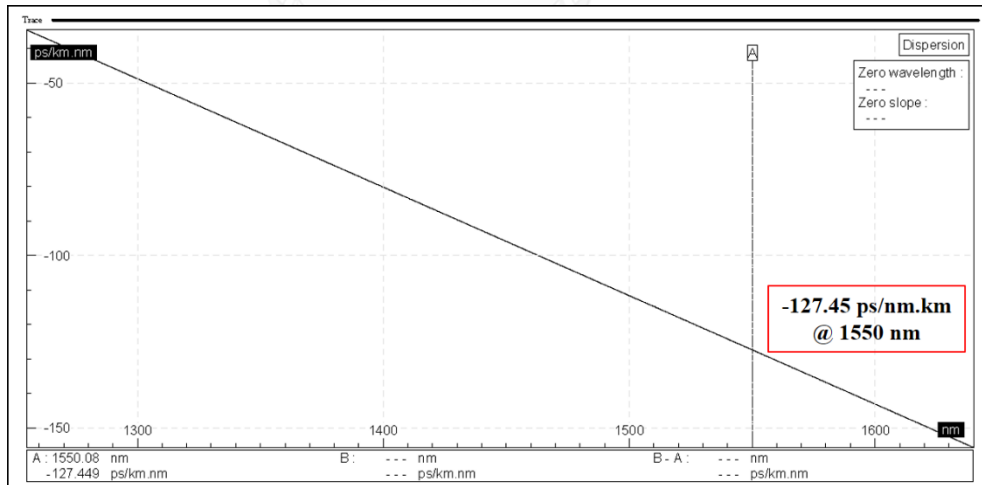
3.3.2 เส้นใยนำแสงชนิดชดเชยดิสเพอร์ชัน (Dispersion Compensating Fiber, DCF)

เส้นใยนำแสงอีกหนึ่งชนิดที่ใช้กับวิทยานิพนธ์ฉบับนี้คือ เส้นใยนำแสงชนิดชดเชยดิสเพอร์ชัน ใช้เพื่อลดค่าโครมาติกดิสเพอร์ชันสะสูมเมื่อส่งสัญญาณผ่านเส้นใยนำแสงใหม่เดี่ยวมาตรฐานในระยะ

ทางไกล ดังที่อธิบายไว้ให้หัวข้อที่ 2.2.3 ทำการวัดค่าสัมประสิทธิ์การลดthonโดยใช้เครื่องมือวัด เช่นเดียวกับเส้นใยนำแสง荷模เดี่ยวมาตรฐาน ผลการวัดแสดงดังรูปที่ 3.23 ซึ่งมีค่าสัมประสิทธิ์การลดthonเท่ากับ 0.417 dB/km ที่ความยาวคลื่น 1550 nm และผลการวัดค่าโครมาติกดิสเพอร์ซัน แสดงดังรูปที่ 3.24 มีค่าโครมาติกดิสเพอร์ซันเท่ากับ -127.45 ps/nm.km ที่ความยาวคลื่น 1550 nm จะเห็นได้ว่าเส้นใยนำแสงชนิดชดเชยดิสเพอร์ซันมีค่าสัมประสิทธิ์การลดthonสูงกว่า เส้นใยนำแสง荷模เดี่ยวมาตรฐาน ดังนั้นการใช้งานเส้นใยนำแสงชนิดชดเชยดิสเพอร์ซันต้องพิจารณา งบกำลังของระบบด้วย



รูปที่ 3.23 ผลการวัดค่าสัมประสิทธิ์การลดthonของเส้นใยนำแสงชนิดชดเชยดิสเพอร์ซัน



รูปที่ 3.24 ผลการวัดค่าโครมาติกดิสเพอร์ซันของเส้นใยนำแสงชนิดชดเชยดิสเพอร์ซัน

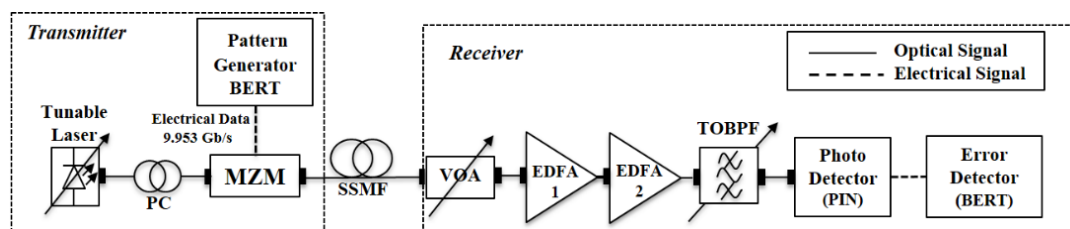
บทที่ 4

การทดลองสมรรถนะตัวรับส่งสัญญาณแสงแบบโอโอิโค

ในบทนี้แสดงถึงการทดลองสมรรถนะของระบบรับส่งสัญญาณแสงแบบโอโอิโค ซึ่งประกอบด้วย 3 หัวข้อคือ 4.1 การติดตั้งภาคส่งและภาครับระบบส่งสัญญาณแสงแบบโอโอิโค อธิบายถึงหลักการใช้งานการปรับตั้งค่าพารามิเตอร์ต่างๆ, 4.2 การวิเคราะห์เกณฑ์กำหนดสมรรถนะทำการคำนวณค่าพารามิเตอร์ต่างๆที่เป็นตัวกำหนดสมรรถนะของระบบดังที่กล่าวไว้ในหัวข้อที่ 2.3 เปรียบเทียบกับการวัดค่าจากเครื่องมือวัด และ 4.3 การส่งผ่านสัญญาณในเส้นใยนำแสงโดยเดี่ยวมาตรฐานที่ระยะทางต่างๆ ศึกษาผลกระทบที่มีต่อสัญญาณด้วยการวิเคราะห์แผนภาพรูปตา, วิเคราะห์สเปกตรัมแสงเมื่อแทรกตัวขยายอีดีเอฟเอ และวัดค่าอัตราบิตริดพลาดในกรณีต่างๆ

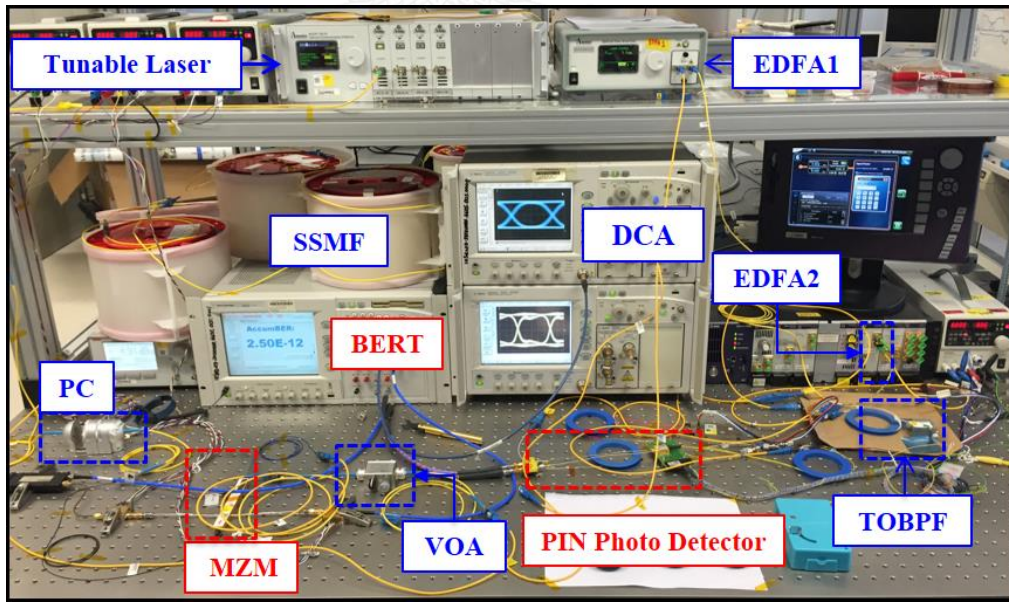
4.1 การติดตั้งภาคส่งและภาครับระบบส่งสัญญาณแสงแบบโอโอิโค (OOK Experimental Setups)

การเชื่อมต่ออุปกรณ์ต่างๆเพื่อติดตั้งใช้งานภาคส่งและภาครับระบบส่งสัญญาณแสงแบบโอโอิโค แสดงดังรูปที่ 4.1 ภาคส่งประกอบด้วย 1) เลเซอร์ปรับค่าได้ (Tunable Laser) ทำหน้าที่กำเนิดคลื่นแสงต่อเนื่องที่ความยาวคลื่น 1550 nm และมีกำลังแสงสูงสุดที่ +16 dBm [17], 2) ตัวควบคุมโพลาไรเซชัน (Polarization Controller, PC) ใช้เพื่อปรับตั้งแกนโพลาไรเซชันของแสงจากแหล่งกำเนิดให้มีแกนโพลาเรซ์เหมาะสมกับตัวกลั๊สัญญาณมัค-เซนเดอร์ ดังที่ได้อธิบายไว้ในหัวข้อที่ 3.1.2 , 3) เครื่องกำเนิดสัญญาณแพทเทิน (Pattern Generator) จากเครื่อง BERT (Bit Error Rate Tester) ทำหน้าที่สร้างสัญญาณข้อมูลไฟฟ้าอัตราบิท 9.953 Gb/s ตามมาตรฐาน SONET/SDH (Synchronous Optical Network/Synchronous Digital Hierarchy) OC-192/STM-64 (Optical Synchronous Transport Module-64) [12] รูป ๔.๑ บ PRBS (Pseudo-Random Binary Sequence) ความยาว 2^{23} บิต ขนาดแอมปลิจูดของสัญญาณเท่ากับ 600 mV_{p-p} และ 4) ตัวกลั๊สัญญาณมัค-เซนเดอร์ (Mach-Zehnder Modulator, MZM) .ใช้กลั๊สัญญาณข้อมูลไฟฟ้ากับแสงก่อนส่งผ่านเส้นใยนำแสง



รูปที่ 4.1 แผนภาพบล็อกของระบบรับส่งสัญญาณแสงแบบโอโอิโค

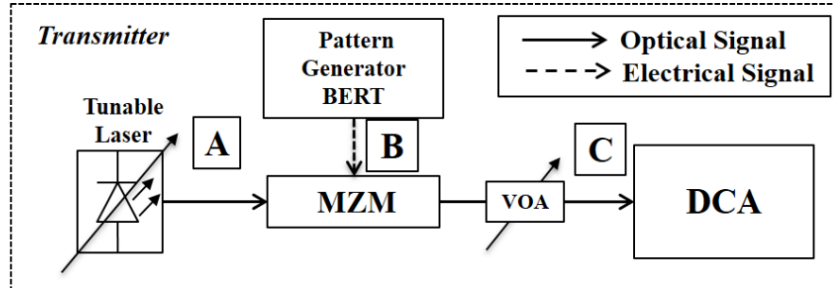
จากรูปที่ 4.1 ภาครับประกอบด้วย 1) ตัวลดthonกำลังแสงแบบปรับค่าได้ (Variable Optical Attenuator, VOA) ใช้ในการลดthonกำลังแสงก่อนเข้าตัวขยายอีดีเอฟเอ เพื่อป้องกันไม่ให้กำลังขาเข้าของตัวขยายอีดีเอฟเอมากเกินไปเพื่อลดการเพิ่มตัวเลขสัญญาณรบกวน (Noise Figure, NF) ของระบบดังอธิบายไว้ในหัวข้อที่ 3.2.2 และใช้เพื่อปรับค่ากำลังภาครับ (Receiver Power) ในการวัดค่าอัตราบิตริดพลาด, 2) ตัวขยายอีดีเอฟเอ 2 ตัว ตัวขยายอีดีเอฟเอ (Erbium Doped Fiber Amplifier, EDFA) ใช้เพื่อยายสัญญาณแสงจากต้นทางที่มีกำลังอ่อนลง เพื่อให้มีกำลังเพียงพอต่อจุดทำงานของตัวตรวจจับแสง โดยอีดีเอฟเอตัวแรกใช้เป็นอัตราขยายตายตัว (Fixed Gain) ของบริษัท Amornics และตัวขยายอีดีเอฟเอตัวที่ 2 ของบริษัท JDSU ใช้ปรับค่าอัตราขยาย (Variable Gain) ให้ได้กำลังแสงขาออกเท่ากับ +4 dBm [25] เป็นไปตามจุดทำงานที่ดีที่สุดของตัวตรวจจับแสงแบบพีไอ เอ็น, 3) ตัวกรองสัญญาณเฉพาะย่านความถี่แสงแบบปรับค่าได้ (Tunable Optical Band Pass Filter, TOBPF) ใช้เพื่อลดผลกระทบของสัญญาณรบกวนเออเอสอิทีเกิดจากตัวขยายอีดีเอฟเอ 4) ตัวตรวจจับแสงแบบพีไอเอ็น (PIN Photo Detector) ทำหน้าที่แปลงสัญญาณแสงเป็นสัญญาณข้อมูลไฟฟ้า ในการทดลองนี้นำตัวตรวจจับแสงแบบบาลานซ์มาใช้โดยเลือกใช้งานที่ขาข้างใดข้างหนึ่งและทำการควบคุมแรงดัน Amplifier Threshold Control Positivite (V_{THCP}) [25] ในการแยกสัญญาณ [5] และ 5) Error Detector จากเครื่อง BERT ใช้เพื่อวัดค่าอัตราบิตริดพลาด อุปกรณ์ที่ใช้ในการทดลองทั้งหมดบนโต๊ะทดลองแสดงดังรูปที่ 4.2



รูปที่ 4.2 อุปกรณ์และเครื่องมือวัดที่ใช้ในการทดลองภาครับส่งสัญญาณแสงแบบโอโซเค

4.1.1 การปรับตั้งภาคส่งสัญญาณเสงแบบໂອໂຄ

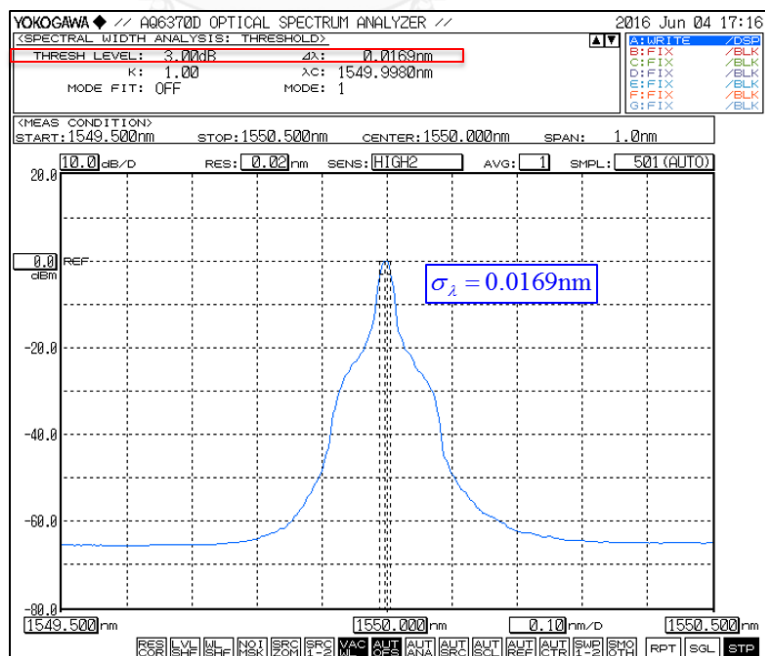
ในหัวข้อนี้แสดงถึงการปรับตั้งภาคส่งสัญญาณ ณ ตำแหน่งต่างๆ ทั้งสัญญาณแสงและสัญญาณไฟฟ้าดังแสดงในรูปที่ 4.3 แบ่งเป็น 3 ตำแหน่งดังนี้ 1) ตำแหน่ง A สเปกตรัมแสงของเลเซอร์ปรับค่าได้, 2) ตำแหน่ง B สัญญาณข้อมูลไฟฟ้าจากเครื่องกำเนิดสัญญาณแพทเทิน และ 3) ตำแหน่ง C สัญญาณแสงจากกล้องล้ำสัญญาณมัค-เซนเดอร์



รูปที่ 4.3 การวัดสัญญาณ ณ ตำแหน่งต่างๆ ของภาคสั่งสัญญาณแสงแบบโอลิโอดี

ตำแหน่ง A

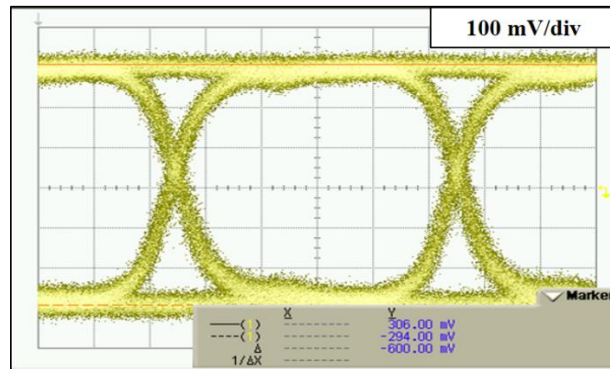
ทำการวัดค่าสเปกตรัมของเลเซอร์จากแหล่งกำเนิดแสงเลเซอร์ปรับค่าได้ด้วยเครื่องมือวัด Optical Spectrum Analyzer (OSA) ซึ่งมีค่า Resolution Bandwidth ต่ำสุดเท่ากับ 0.02 nm [28] วัดความกว้างสเปกตรัม (Spectral Width) ที่ตำแหน่ง 3 dB มีค่าเท่ากับ 0.0169 nm ผลการวัดแสดงดังรูปที่ 4.4



รูปที่ 4.4 สเปกตรัมของเลเซอร์ปรับค่าได้ ณ ตำแหน่ง A

ตำแหน่ง B

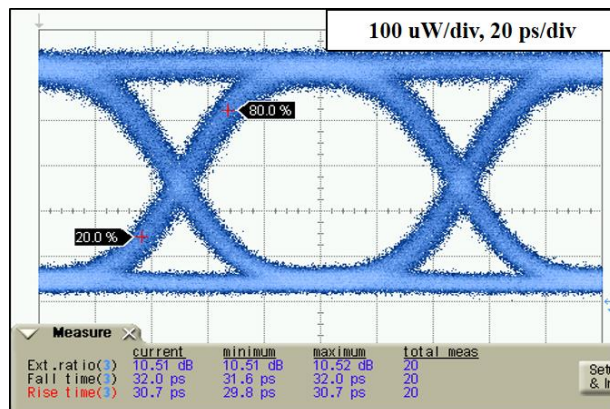
ทำการวัดแผนภาพรูปตาสัญญาณข้อมูลไฟฟ้าจากเครื่องกำเนิดสัญญาณแพทเทินที่อัตราบิต 9.953 Gb/s (OC-192/STM 64) [29] รูปแบบ PRBS 2^{23} บิต ขนาดแอนเพลจูด 600 mV_{p-p} ด้วยเครื่อง DCA (Digital Communication Analyzer) ที่พอร์ทไฟฟ้า (Electrical Port) ผลการวัดแสดงดังรูปที่ 4.5



รูปที่ 4.5 สัญญาณข้อมูลไฟฟ้าจากเครื่องกำเนิดสัญญาณแพทเทินที่ตำแหน่ง B

ตำแหน่ง C

ทำการวัดแผนภาพรูปตาของสัญญาณแสงจากตัวกล้ำสัญญาณมัค-เซนเดอร์ด้วยเครื่อง DCA ที่พอร์ตแสง (Optical Port) โดยวัดที่กำลังแสงเฉลี่ยเท่ากับ -5 dBm ซึ่งผ่านการลดTHON กำลังแสงด้วยตัวลดTHON กำลังแสงแบบปรับค่าได้ เพื่อรักษา-rate ดับ กำลังแสงในการวัดให้คงที่ และทำการวัดค่าพารามิเตอร์ต่างๆดังนี้ 1) อัตราส่วนเอ็กทิงก์ชัน (Extinction Ratio) มีเท่ากับ 10.52 dB, 2) เวลาขาขึ้น (Rise-time) เท่ากับ 30.7 ps และ 3) เวลาขาลง (Fall-time) เท่ากับ 32 ps ผลการวัดแสดงดังรูปที่ 4.6



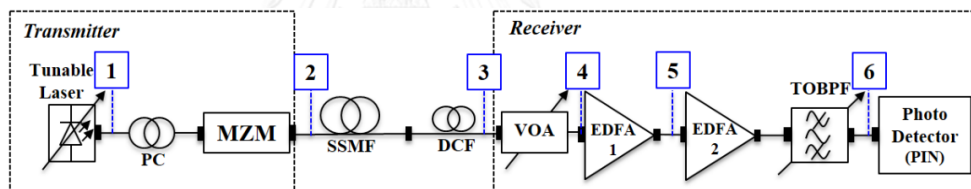
รูปที่ 4.6 แผนภาพรูปตาสัญญาณขากอกของตัวกล้ำสัญญาณมัค-เซนเดอร์

4.2 การวิเคราะห์เกณฑ์กำหนดสมรรถนะ (Performance Criteria Analysis)

การวิเคราะห์เกณฑ์กำหนดสมรรถนะของระบบส่งสัญญาณแบบโอลูโอดำเนินการเพื่อพิจารณาประสิทธิภาพในการส่งและรับสัญญาณของระบบ รวมไปถึงหาค่าของเขตจำกัดต่างๆ ของระบบ ดังที่ได้อธิบายไว้ในหัวข้อที่ 2.3 โดยในการทดลองสมรรถนะของตัวรับส่งสัญญาณแสงแบบโอลูโอด ได้ทำการวิเคราะห์พารามิเตอร์ที่เป็นเกณฑ์กำหนดสมรรถนะดังนี้ 1) การวิเคราะห์งบกำลัง (Power Budget Analysis) และ 2) การวิเคราะห์งบเวลาขึ้น (Rise-time Budget Analysis) รายละเอียดดังหัวข้อที่ 4.2.1 และ 4.2.2 ตามลำดับ

4.2.1 การวิเคราะห์งบกำลัง (Power Budget Analysis)

การวิเคราะห์งบกำลังเป็นการคำนวณกำลังสูญเสียระหว่างทาง (Link Power Loss) จากภาคส่งถึงภาครับ เพื่อนำไปหาค่าระยะทางสูงสุดที่สามารถส่งสัญญาณได้ โดยที่กำลังแสงยังคงเพียงพอต่อการตรวจจับของตัวตรวจจับแสงได้ดังที่ได้อธิบายไว้ในหัวข้อที่ 2.3.1 กำลังสูญเสียทั้งหมดในโครงข่ายเกิดจาก การลดทดลองในเส้นใยนำแสง (Fiber Attenuation) และกำลังสูญเสียแทรก (Insertion Loss I_L) จากอุปกรณ์ต่างๆ



รูปที่ 4.7 แผนภาพบล็อกตัวดำเนินการวัดกำลังแสงของระบบส่งสัญญาณแสงแบบโอลูโอด

จากรูปที่ 4.7 แสดงตำแหน่งต่างๆ ที่ทำการวัดกำลังแสงของระบบส่งสัญญาณแสงแบบโอลูโอด โดยวัดกำลังแสงด้วยมิเตอร์กำลังแสง (Optical Power Meter) ของบริษัท THORLABS รุ่น PM320E [30] ดังแสดงในรูปที่ 4.8



รูปที่ 4.8 มิเตอร์วัดกำลังแสงของบริษัท THORLABS

ในการทดลองใช้ตัวขยายอีดีเอฟเอมาแทรก 2 ตัว โดยตัวขยายอีดีเอฟเอตัวแรกมีอัตราขยายสูงสุดเท่ากับ >18 dB [22] และตัวขยายอีดีเอฟเอตัวที่สองมีอัตราขยายสูงสุด >25 dB [23] ทำให้สามารถเพิ่มงบกำลังได้มากขึ้น ค่ากำลังแสง ณ ตำแหน่งต่างๆแสดงในตารางที่ 4.1 และกำลังสูญเสียแทรกในแต่ละอุปกรณ์แสดงในตารางที่ 4.2

ตารางที่ 4.1 ผลการวัดค่ากำลังแสง ณ ตำแหน่งต่างๆ

กำลังแสง ณ ตำแหน่ง	ค่าที่วัดได้ (dBm)
1. กำลังแสงจากเลเซอร์ปรับค่าได้	+16 dBm
2. กำลังแสงส่ง (P_s)	+8 dBm
3. ค่าความไวภาครับ (P_R)	-41.4 dBm
4. กำลังแสงขาเข้าตัวขยายอีดีเอฟเอ 1	-42.5 dBm
5. กำลังแสงขาเข้าตัวขยายอีดีเอฟเอ 2	-22.5 dBm
6. กำลังแสงก่อนเข้าตัวตรวจจับแสง	+4 dBm

หมายเหตุ ณ ตำแหน่งที่ 1 ไม่สามารถวัดกำลังได้ด้วยนิเตอร์วัดกำลังแสงเนื่องจากเกินขีดจำกัดค่ากำลังแสงสูงสุดที่มิเตอร์กำลังแสงสามารถรับได้ที่ +13 dBm [30]

ค่าความไวภาครับ (P_R) ณ ตำแหน่งที่ 3 คำนวณจากค่ากำลังแสงที่เหมาะสมกับจุดทำงานของตัวตรวจจับแสงที่ +4 dBm [25] และเพิ่มอัตราขยายของอีดีเอฟเอทั้งสองตัวโดยคิดกำลังสูญเสียแทรกของอุปกรณ์ภาครับรวมถึงกำลังสูญเสียทั้งหมดที่หัวต่อ (Connector Loss, l_c) ดังสมการที่ (4.1)

$$P_R = P_{PIN} - I_{L,TOBPF} - G_{EDFA2} - G_{EDFA1} - I_{L,VOA} - \sum l_c \quad (4.1)$$

P_{PIN} : กำลังแสงที่จุดทำงานของตัวตรวจจับแสง (+4 dBm)

$I_{L,TOBPF}$: กำลังสูญเสียแทรกตัวกรองความถี่เฉพาะย่านแสงแบบปรับค่าได้ (0.7 dB)

G_{EDFA1} : อัตราขยายสูงสุดของตัวขยายอีดีเอฟเอ 1 (20 dB)

G_{EDFA2} : อัตราขยายสูงสุดของตัวขยายอีดีเอฟเอ 2 (25 dB)

$I_{L,VOA}$: กำลังสูญเสียแทรกตัวลดthonกำลังแสงแบบปรับค่าได้ (0.7 dB)

l_c : กำลังสูญเสียที่หัวต่อ (0.2 dB/ตัว)

ตารางที่ 4.2 กำลังสัญญาณอุปกรณ์

อุปกรณ์	กำลังสัญญาณ
1. ตัวความคุ้มโพลาไรเซชัน [18]	0.7 dB
2. ตัวกล้าสัญญาณมัค-เซนเดอร์ [20]	7 dB
3. กำลังลดตอนในเส้นใยนำแสงโหมดเดี่ยว มาตรฐาน	0.184 dB/km
4. กำลังลดตอนในเส้นใยนำแสงชนิดชุดเบย์ดิส เพอร์ชัน	0.417 dB/km
5. ตัวลดตอนกำลังแสงแบบปรับค่าได้ [21]	0.7 dB
6. ตัวกรองเฉพาะยานความถี่แสงแบบปรับค่าได้	0.7 dB
7. หัวต่อ (Connector)	0.2 dB

ดังนั้นเมื่อนำเอาค่ากำลังส่ง (P_S) และค่าความไวภาครับ (P_R) มาคำนวณงบกำลังตามสมการงบ
กำลัง จะสามารถคำนงบกำลัง (P_T) ดังสมการที่ (4.2)

$$P_T = P_S - P_R = (+8\text{dBm}) - (-41.4\text{dBm}) = 49.4\text{dB} \quad (4.2)$$

จากนั้นนำค่างบกำลังของระบบมหาสาระยะทางสูงสุดที่สามารถส่งสัญญาณได้ร่วมกับ
เส้นใยนำแสงชนิดชุดเบย์ดิสเพอร์ชันมีค่าดังต่อไปนี้

ระยะทางสูงสุดเมื่อส่งผ่านเส้นใยนำแสงโหมดเดี่ยวมาตรฐานและเส้นใยนำแสงชนิดชุดเบย์ดิสเพอร์ชัน

จากสมการที่ (2.28) สามารถคำนวณอัตราส่วนระหว่างความยาวของเส้นใยนำแสงชนิด
ชุดเบย์ดิสเพอร์ชันต่อความยาวเส้นใยนำแสงโหมดเดี่ยวมาตรฐาน (L_{DCF} / L_{SSMF}) มีค่าประมาณ 1:8
เมื่อนำไปแทนค่าในสมการที่ (2.29) จะสามารถหาระยะทางสูงสุดที่สามารถส่งสัญญาณเป็นไปตาม
สมการที่ (4.3) ถึง (4.6)

$$P_T = \alpha_{SSMF} \cdot L_{SSMF} + \alpha_{DCF} \cdot \frac{L_{SSMF}}{8} + \sum l_c + SM \quad (4.3)$$

α_{SSMF} : ค่าสัมประสิทธิ์การลดตอนของ SSMF มีค่าเท่ากับ 0.184 dB/km

α_{DCF} : ค่าสัมประสิทธิ์การลดthonของ DCF มีค่าเท่ากับ 0.417 dB/km

SM : System Margin มีค่าเท่ากับ 6 dB

จากสมการที่ (4.3) เมื่อแทนค่าพารามิเตอร์ต่างๆลงในสมการจะสามารถหาค่าระยะทางสูงสุดของเส้นใยนำแสง荷德เดี่ยวมาตราฐานได้ดังนี้

$$P_T - \sum l_c - SM = (0.184 \text{dB/km})(L_{SSMF}) + \left(\frac{0.417 \text{dB/km}}{8} \right)(L_{SSMF}) \quad (4.4)$$

$$L_{SSMF} = \frac{P_T - \sum l_c - SM}{(0.236 \text{dB/km})} = \frac{(49.4 - 2(0.2) - 6) \text{dB}}{(0.236 \text{dB/km})} = 182.2 \text{km} \quad (4.5)$$

เมื่อแทนค่าลงในสมการที่ (2.28) สามารถหาระยะทางของเส้นใยนำแสงชนิดเชย์ดิสเพอร์ชันได้ดังนี้

$$L_{DCF} = \frac{|D_{SSMF}| \cdot L_{SSMF}}{|D_{DCF}|} = \frac{(16.17 \text{ps/nm.km}) \cdot (182.2 \text{km})}{|-127.45(\text{ps/nm.km})|} = 23.12 \text{km} \quad (4.6)$$

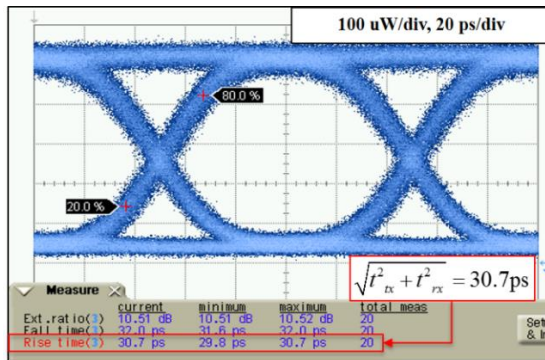
ดังนั้นระยะทางสูงสุดที่สามารถส่งสัญญาณได้มีค่าเท่ากับ 205.32 km (182.2-km SSMF + 23.12-km DCF) จะเห็นได้ว่าเมื่อมีการเพิ่มตัวขยายอีดีเอฟเอถึง 2 ตัว ทำให้ระบบมีงบกำลังเพียงพอในการส่งสัญญาณได้ในระยะทางไกลและค่าที่ได้เป็นค่าประมาณที่มาจากการคำนวณ แต่ในการทดลองจริงต้องนำเส้นใยนำแสงจำนวนหลายม้วนมาต่อ กันจึงทำให้มีกำลังสัญญาณเสียทั้งจากหัวต่อและกำลังสัญญาณเสียระหว่างเส้นทางอื่นๆ ทำให้ระบบจริงสามารถส่งสัญญาณได้ไกลที่สุดเพียง 117 km (105-km SSMF+12-km DCF)

4.2.2 การวิเคราะห์งบเวลาขึ้น (Rise-time Budget Analysis)

การวิเคราะห์งบเวลาขึ้นเพื่อหาระยะทางสูงสุดที่สามารถส่งสัญญาณได้ ซึ่งถูกจำกัดด้วยค่าโครมาติกดิสเพอร์ษั่น (Accumulated Chromatic Dispersion) ดังที่อธิบายไว้ในหัวข้อที่ 2.3.2 โดยแบ่งการพิจารณาการหาค่าระยะทางสูงสุดด้วย การวิเคราะห์งบเวลาขึ้นของระบบจากแผนภาพรูปตา (Eye Diagram) ด้วยเครื่อง Digital Communication Analyzer (DCA) โดยไม่ส่งผ่านตัวขยายอีดีเอฟเอ

การวิเคราะห์งบเวลาขึ้น

ทำการวัดแผนภาพรูปตาและค่าเวลาขึ้นของสัญญาณในกรณีไม่ส่งผ่านเส้นใยนำแสง (Back-to-Back) ด้วยเครื่อง DCA เพื่อหาค่าเวลาขึ้นของภาคส่งและภาครับ ($\sqrt{t_{tx}^2 + t_{rx}^2}$) มีค่าเท่ากับ 30.7 ps ผลการวัดแสดงดังรูปที่ 4.9



รูปที่ 4.9 ผลการวัดค่าเวลาขาขึ้นของภาคส่งและภาครับจากแผนภาพรูป伯ต้า

เนื่องด้วยค่าเวลาขาขึ้นที่วัดได้จากเครื่อง DCA นั้นเป็นการวัดค่าเวลาขาขึ้นที่ 20% - 80% ใน การคำนวณใช้ค่าเวลาขาขึ้นที่ 10% - 90% ดังนั้นจึงต้องนำมาเปลี่ยนด้วยสมการที่ (4.7) [1] จะได้ค่าเวลาขาขึ้นของภาคส่งและภาครับสัญญาณที่ 10% - 90% มีค่าเท่ากับ 38.37 ps

$$t_{10-90} = 1.25x(t_{20-80}) \quad (4.7)$$

ดังนั้นเวลาขาขึ้นภาคส่งและภาครับสัญญาณที่ 10%- 90% เมื่อนำมาแทนลงในสมการที่ (2.31) สามารถหาค่าเวลาขาขึ้นของระบบได้ดังสมการที่ (4.9) เมื่อรูปแบบสัญญาณเป็น NRZ ค่าเวลาขาขึ้นของระบบ (t_{sys}) ต้องมีค่าไม่เกิน 70% ของcabipit ($t_{sys} \leq 70\%.T_B$) [1] ในการส่งสัญญาณที่อัตราบิต 10 Gb/s มีcabipitเท่ากับ 100 ps ดังนั้น t_{sys} จึงเท่ากับ 70 ps

$$t_{sys} = \sqrt{(38.37 \text{ ps})^2 + t_{CD}^2} = 70 \text{ ps} \quad (4.8)$$

เมื่อพิจารณาเวลาขาขึ้นที่เกิดจากโคลามาติก迪สเพอร์ซันจากบเวลาขาขึ้นของระบบมีค่าดังสมการที่ (4.9)

$$t_{CD} = \sqrt{(70 \text{ ps})^2 - (38.37 \text{ ps})^2} = 58.55 \text{ ps} \quad (4.9)$$

$$t_{CD} = |D| \cdot L \cdot \sigma_\lambda = 58.55 \text{ ps} \quad (4.10)$$

ดังนั้นสามารถหาค่าระยะทางสูงสุด L_{max} ที่ถูกจำกัดด้วยโคลามาติก迪สเพอร์ซันดังสมการที่ (4.11)

$$L_{max} = \frac{t_{CD}}{D \cdot \sigma_\lambda} = \frac{(58.55 \text{ ps})}{(16.17 \text{ ps/nm.km}) \cdot (0.056 \text{ nm})} = 64.66 \text{ km} \quad (4.11)$$

จากค่าระยะทางสูงสุดที่ถูกจำกัดด้วยโคลามาติก迪สเพอร์ซันดังสมการที่ (4.11) จะเห็นได้ว่าระบบถูกจำกัดระยะทางในการส่งด้วยโคลามาติก迪สเพอร์ซัน จากผลกระทบดังกล่าวจึงจำเป็นต้องการแทรกเส้นใยนำแสงชนิดชดเชยดิสเพอร์ซันเพื่อให้สามารถส่งสัญญาณได้ไกลขึ้น

4.3 การส่งผ่านสัญญาณในเส้นใยนำแสง荷มดเดี่ยวมาตรฐานที่ระยะทางต่างๆ

หัวข้อนี้จะกล่าวถึงการทดลองส่งผ่านสัญญาณและของตัวกล้ามสัญญาณแบบโอโอิโคในเส้นใยนำแสง荷มดเดี่ยวมาตรฐานกรณีต่างๆ โดยทำการวิเคราะห์แผนภาพรูปตาดังหัวข้อที่ 4.3.1 วิเคราะห์สเปกตรัมแสดงดังหัวข้อที่ 4.3.2 และทำการวัดและวัดและวิเคราะห์อัตราบีตพิดพลาดดังหัวข้อที่ 4.3.3

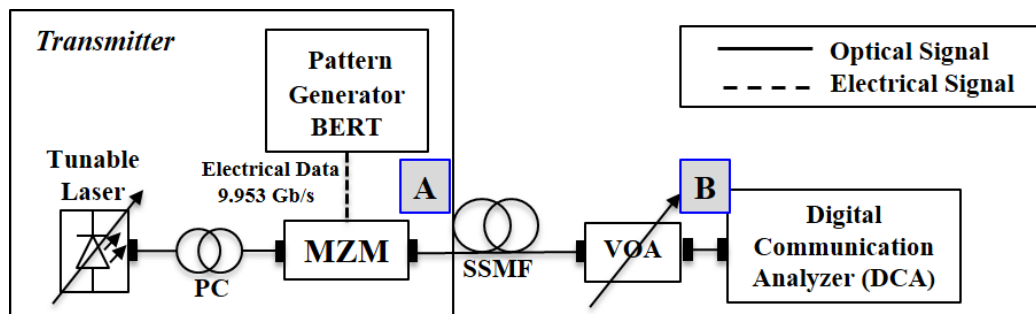
4.3.1 การวิเคราะห์แผนภาพรูปตา (Eye Diagram Analysis)

ในหัวข้อนี้จะกล่าวถึงการทดลองส่งสัญญาณโอโอิโคผ่านเส้นใยนำแสง荷มดเดี่ยวมาตรฐานที่ระยะทางต่างๆ รวมทั้งการแทรกเส้นใยนำแสงชนิดชุดเชย迪สเพอร์ซันและดูผลการเปลี่ยนแปลงของแผนภาพรูปตา โดยแบ่งเป็น 3 กรณีคือ 1) การส่งผ่านเส้นใยนำแสงโดยไม่ชดเชยโครมาติกดิสเพอร์ซัน (Uncompensated CD), 2) ชดเชยโครมาติกดิสเพอร์ซันไม่สมบูรณ์ (Under-Compensated CD) และ 3) ชดเชยโครมาติกดิสเพอร์ซันสมบูรณ์ (Perfect-Compensated CD) ทำการวัดแผนภาพรูปตาด้วยเครื่อง DCA (Digital Communication Analyzer) ของบริษัท Agilent Technologies รุ่น DCA-J Agilent 86100C Wide-Bandwidth Oscilloscope [31]

กรณีที่ 1) ส่งผ่านเส้นใยนำแสงโดยไม่ชดเชยโครมาติกดิสเพอร์ซัน

ทำการทดลองส่งผ่านสัญญาณในเส้นใยนำแสง荷มดเดี่ยวมาตรฐานที่ระยะทางต่างๆ โดยไม่ชดเชยโครมาติกดิสเพอร์ซันและวัดแผนภาพรูปตาด้วยเครื่อง DCA ที่ตำแหน่ง A และ B ด้วยกำลังแสงเฉลี่ยที่ -5 dBm ดังแสดงในรูปที่ 4.10 ณ ตำแหน่ง A คือสัญญาณขาออกจากตัวกล้ามสัญญาณ มค-เชนเดอร์ และ ตำแหน่ง B คือสัญญาณเมื่อส่งผ่านเส้นใยนำแสง荷มดเดี่ยวมาตรฐานที่ระยะทางต่างๆและวัดค่าพารามิเตอร์เวลาขาขึ้น (Rise-time) และเวลาขาลง (Fall-time) ผลการวัดแสดงใน

ตารางที่ 4.3



รูปที่ 4.10 แผนภาพบล็อกการวัดค่าแผนภาพรูปตา ณ ตำแหน่งต่างๆของกรณีที่ 1
ตารางที่ 4.3 ผลการวัดแผนภาพรูปตาตัวส่งสัญญาณแบบโอโอิโคกรณีที่ 1

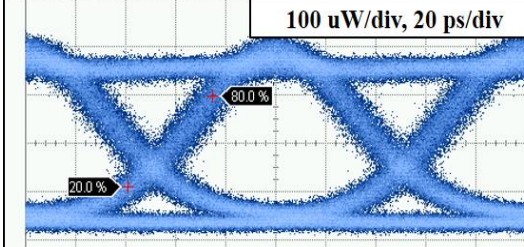
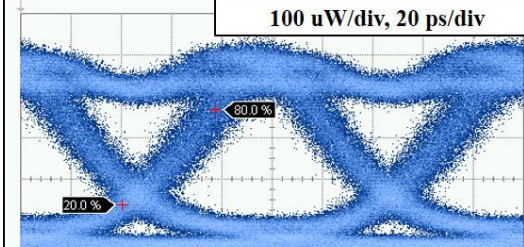
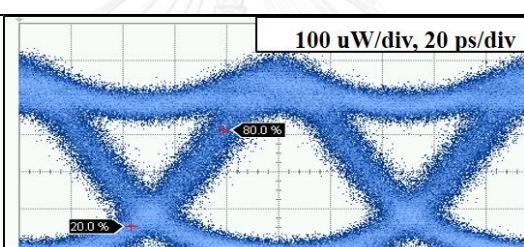
เงื่อนไข	แผนภาพรูปตา	พารามิเตอร์
1. ไม่ส่งผ่าน เส้นใยนำแสง (Back-to-Back)		เวลาขั้น = 30.7 ps เวลาลาล = 32 ps
2. ส่งผ่าน เส้นใยนำแสง 25 km		เวลาขั้น = 34.2 ps เวลาลาล = 36.9 ps
3. ส่งผ่าน เส้นใยนำแสง 40 km		เวลาขั้น = 34.7 ps เวลาลาล = 37.8 ps
4. ส่งผ่าน เส้นใยนำแสง 50 km		เวลาขั้น = 45.3 ps เวลาลาล = 32.9 ps

จากการทดลองวัดแผนภาพรูปตากรณีไม่ชดเชยแสดงให้เห็นว่าเมื่อระยะทางของเส้นใยนำแสงใหม่เดียวกับฐานเพิ่มขึ้นเวลาขั้นและเวลาลาลของสัญญาณมีแนวโน้มเพิ่มขึ้นตามอันเนื่องมาจากผลของโคลมาติกดิสเพอร์ซันสะสมที่เพิ่มขึ้น

กรณีที่ 2) ชดเชยโคลมาติกดิสเพอร์ซันไม่สมบูรณ์

ทดลองส่งสัญญาณผ่านเส้นใยนำแสงใหม่เดียวกับฐานและแทรกเส้นใยนำแสงชนิดชดเชยดิสเพอร์ซันด้วยเงื่อนไขชดเชยไม่สมบูรณ์ กล่าวคือชดเชยโคลมาติกดิสเพอร์ซันเพียงบางช่วงของระยะทางเส้นใยนำแสงใหม่เดียวกับฐานทั้งหมดและวัดแผนภาพรูปตาและค่าพารามิเตอร์เวลาขั้นและเวลาลาลด้วยเครื่อง DCA ผลการวัดแสดงในตารางที่ 4.4

ตารางที่ 4.4 ผลการวัดแผนภาพรูปตาตัวลังลัญญาณแสงแบบโอลอิโคเรนีที่ 2

เงื่อนไข	แผนภาพรูปตา	ค่าพารามิเตอร์
1. 50-km SSMF + 3-km DCF (ชดเชย 25 km)		เวลาขาขึ้น = 34.7 ps เวลาขาลง = 36.9 ps
2. 80-km SSMF + 4-km DCF (ชดเชย 30 km)		เวลาขาขึ้น = 36.9 ps เวลาขาลง = 37.7 ps
3. 80-km SSMF + 5-km DCF (ชดเชย 40 km)		เวลาขาขึ้น = 36.4 ps เวลาขาลง = 36.9 ps

หมายเหตุ : SSMF (Standard Single Mode Fiber) และ DCF (Dispersion Compensating Fiber)

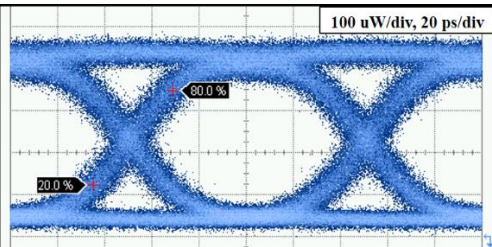
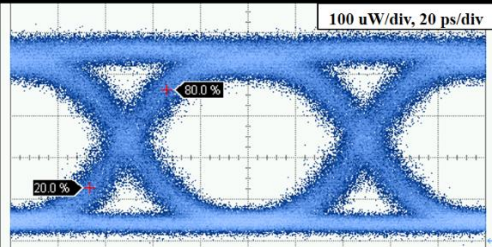
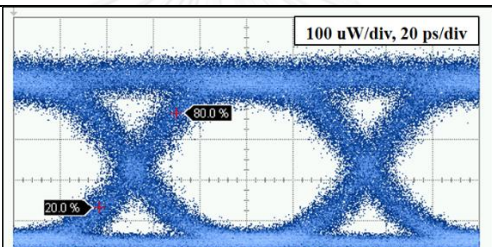
จากผลการทดลองวัดแผนภาพรูปตากรณีชุดเดียวก่อมาติดกิสเพอร์ชันไม่สมบูรณ์แสดงให้เห็นว่า เมื่อแทรกเส้นใยนำแสงชนิดชดเชยดิสเพอร์ชันแบบบマイมส์บูรณ์สามารถลดโครมาติกดิสเพอร์ชันบางส่วนของเส้นใยนำแสงโดยดีกว่ามาตรฐานลงได้ สังเกตได้จากค่าเวลาขาขึ้นและขาลงของระบบกลับมาใกล้เคียงกับกรณีที่ 1 แต่ยังคงมีโครมาติกดิสเพอร์ชันเหลือ (Residual Chromatic Dispersion) เมื่อเทียบกับกรณีไม่ส่งผ่านเส้นใยนำแสง

กรณีที่ 3) ชดเชยโครมาติกดิสเพอร์ชันสมบูรณ์

ทำการทดลองส่งผ่านเส้นใยนำแสงโดยดีกว่ามาตรฐานที่แทรกเส้นใยนำแสงชนิดชดเชยดิสเพอร์ชันแบบสมบูรณ์เป็นไปตามสมการที่ (2.28) โดยทำการวัดแผนภาพรูปตาและค่าเวลาขาขึ้นและเวลาขาลงด้วยเครื่อง DCA ผลการวัดแสดงใน

ตารางที่ 4.5

ตารางที่ 4.5 ผลการวัดแผนภาพรูปตาตัวตัวสั่งสัญญาณแสงแบบโอลอิโคเรนีที่ 3

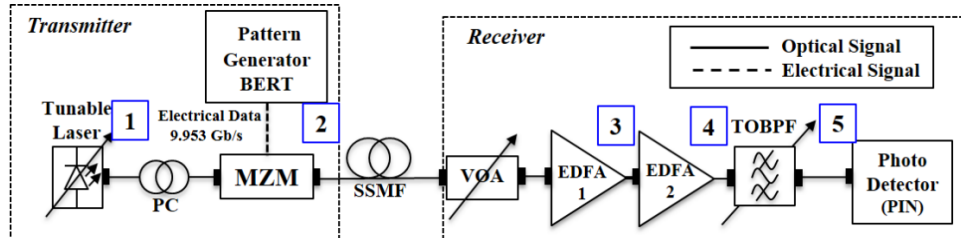
เงื่อนไข	แผนภาพรูปตา	ค่าพารามิเตอร์
1. 50-km SSMF + 7-km DCF		เวลาขาขึ้น = 33.8 ps เวลาขาลง = 34.7 ps
2. 80-km SSMF + 10-km DCF		เวลาขาขึ้น = 32.4 ps เวลาขาลง = 33.8 ps
3. 105-km SSMF + 12-km DCF		เวลาขาขึ้น = 33.8 ps เวลาขาลง = 34.2 ps

จากผลการทดลองวัดแผนภาพรูปตากรนีชดเชยโครมาติกดิสเพอร์ซันสมบูรณ์สังเกตได้ว่า ค่าพารามิเตอร์เวลาขาขึ้น-เวลาขาลงของระบบลดลง และใกล้เคียงกับเวลาขาขึ้น-เวลาขาลงกรณ์ไม่ส่งผ่านเส้นใยนำแสง (Back-to-Back) เนื่องมาจากเทอมเวลาขึ้นจากโครมาติกดิสเพอร์ซัน (t_{CD}) มีค่าเท่ากับ 0 ดังนั้นสามารถสรุปได้ว่าการชดเชยดิสเพอร์ร์แบบสมบูรณ์นั้นสามารถคงคุณภาพของสัญญาณที่ภาครับให้มีความใกล้เคียงกับสัญญาณที่ต้นทางและยังขจัดปัญหาจากโครมาติกดิสเพอร์ซัน สะสมได้

4.3.2 การวิเคราะห์สเปกตรัมแสง (Optical Spectrum Analysis)

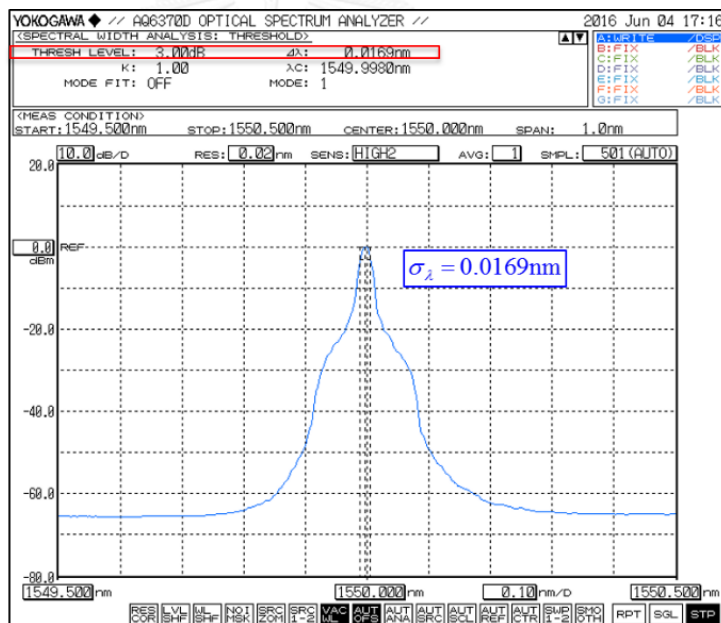
การวิเคราะห์สเปกตรัมแสงเพื่อดูผลการเปลี่ยนแปลงของสเปกตรัม ณ จุดต่างๆ ของโครงข่าย โดยเฉพาะอย่างยิ่งเมื่อแทรกตัวขยายอ็อกซิโอฟอโร และเมื่อแทรกตัวกรองสัญญาณเฉพาะย่านความถี่แสงแบบปรับค่าได้ (Tunable Optical Band Pass Filter, TOBPF) เพื่อลดสัญญาณรบกวนเออเอสี (Amplifier Spontaneous Emission Noise, ASE-Noise) ดังที่อธิบายไว้ในหัวข้อที่ 3.2.3 ทำการวัดโดยใช้เครื่องมือ Optical Spectrum Analyzer (OSA) ของบริษัท YOKOGAWA รุ่น AQ6370D

600-700 nm OPTICAL SPECTRUM ANALYZER [28] ชิ้นตัวແໜ່ງຕ່າງໆທີ່ทำการວັດແສດງດັ່ງຮູບທີ່ 4.11



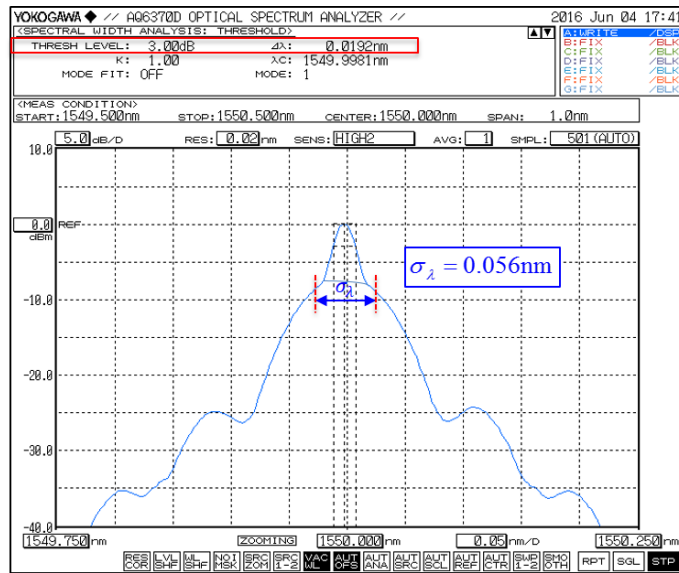
ຮູບທີ່ 4.11 ແຜນກາພບລຶກຕໍ່ແໜ່ງການວັດສະເປດຕົ້ນແສງຂອງຮະບບັນຊີ່ສັງຄູານແບບໂອໂໄເຄ ຕໍ່ແໜ່ງທີ່ 1

ວັດສະເປດຕົ້ນຂອງແສງຈາກແຫລ່ງກຳນີດແສງເລເຊອຣ໌ປັບປຸງໄດ້ ແລະ ທຳກຳວັດຄ່າຄວາມກວ່າງສະເປດຕົ້ນ (Spectral Width) ມີຄ່າທ່າກັນ 0.0169 nm ລູກຄ້າວັດແສດງດັ່ງຮູບທີ່ 4.12



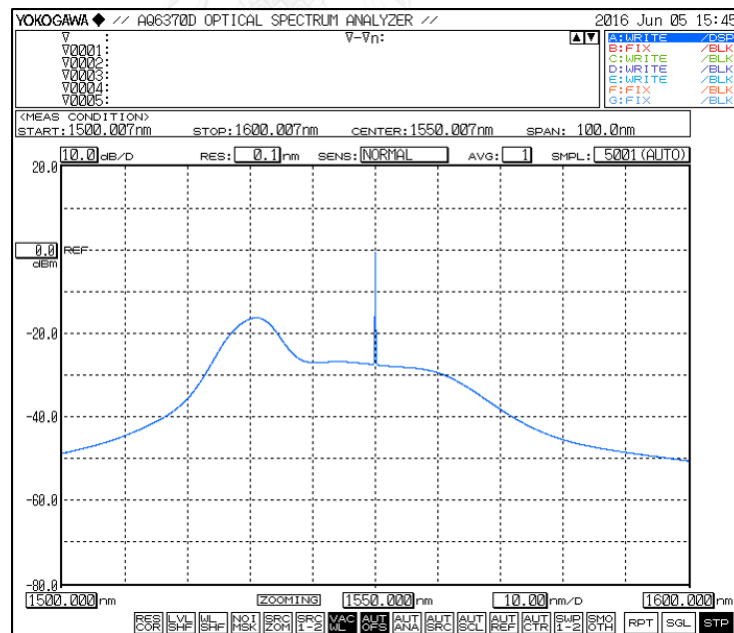
ຮູບທີ່ 4.12 ສະເປດຕົ້ນຂອງແຫລ່ງກຳນີດແສງເລເຊອຣ໌ປັບປຸງໄດ້ ຕໍ່ແໜ່ງທີ່ 2

ວັດສະເປດຕົ້ນແສງ ຮັບ ຕໍ່ແໜ່ງສັງຄູານຂາອົກຂອງຕົວກຳສັງຄູານແບບໂອໂໄເຄ ເນື່ອງດ້ວຍການກຳສັງຄູານໄມ່ສົມບູຮົນພອຍັງຄົງເລື່ອຍອດຂອງຄລິ່ນພາຫຼວງ ທຳໄທກາວັດຄ່າຄວາມກວ່າງສະເປດຕົ້ນທີ່ ຕໍ່ແໜ່ງ 3 dB ຈາກເຄື່ອງ OSA ເປັນກາວັດທີ່ຄລິ່ນພາຫຼວງແສງໄມ່ໃໝ່ຕໍ່ແໜ່ງຂອງສະເປດຕົ້ນທີ່ຜ່ານກຳສັງຄູານດັ່ງນັ້ນຈຶ່ງທຳການຄໍານວນຄວາມກວ່າງສະເປດຕົ້ນຂອງສັງຄູານໃໝ່ໂດຍຕ້ອງອົດຂອງຄລິ່ນພາຫຼວງອົກ ແລະ ພິຈາຣັດທີ່ຕໍ່ແໜ່ງຕໍ່ລົງມາ 3 dB ມີຄ່າຄວາມກວ່າງສະເປດຕົ້ນທ່າກັນ 0.056 nm ລູກຄ້າວັດແສດງດັ່ງຮູບທີ່ 4.13

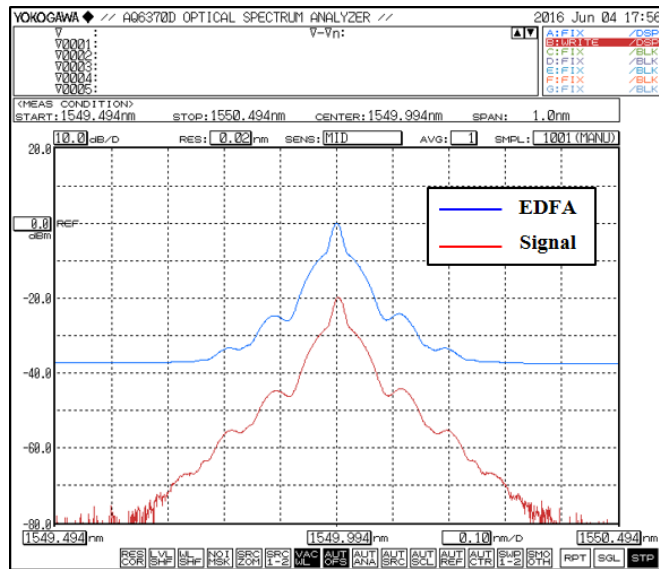


รูปที่ 4.13 สเปกตรัมแสงขาวของตัวกล้องสัญญาณแบบไอโอเค ณ ตำแหน่งที่ 2
ตำแหน่งที่ 3

วัดสเปกตรัมแสงเมื่อผ่านตัวขยายอีดีเอฟເວຕັກ໌ 1 ແລະ ດູຜລກາຮປ່ອມແປງສປັກຕົວອັນ
ເນື່ອງມາຈາກກາຮສ້າງສັງຄູນຮຽນເວເສອີ ຜົກກາຮວັດແສດງດັ່ງຮູບທີ 4.14 ແລະ ຮູບທີ 4.15



ຮູບທີ 4.14 ສປັກຕົວອັນທີ່ 1 ໃນ ຕຳແໜ່ງທີ 3

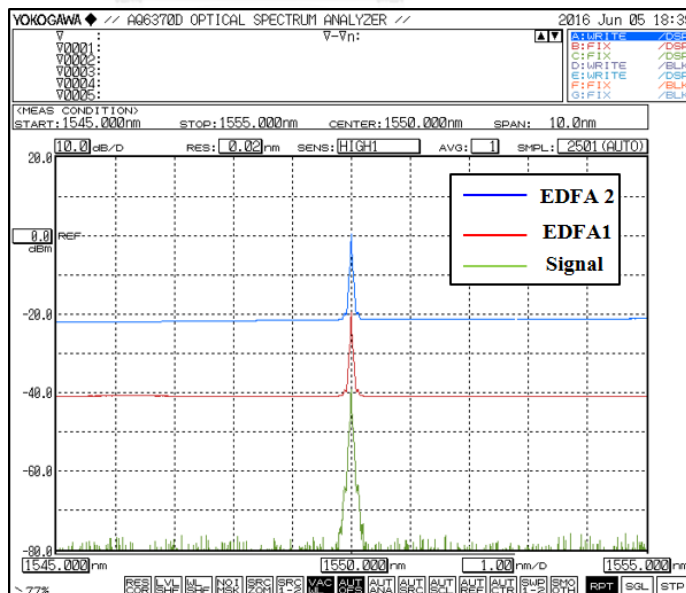


รูปที่ 4.15 สเปกตรัมของแสงก่อนและหลังผ่านตัวขยายอีดีเอฟเอ ณ ตำแหน่งที่ 3

จากรูปที่ 4.14 แสดงให้เห็นว่าสเปกตรัมของตัวขยายอีดีเอฟเอ มีลักษณะคล้ายรูปช้าง (Elephant Profile) [1] อยู่ในช่วงความยาวคลื่น 1530 ถึง 1565 nm และสัญญาณข้าวกจากตัวขยายอีดีเอฟเอจะมีระดับพื้นสัญญาณรบกวน (Noise Floor) สูงขึ้นดังแสดงในรูปที่ 4.15

ตำแหน่งที่ 4

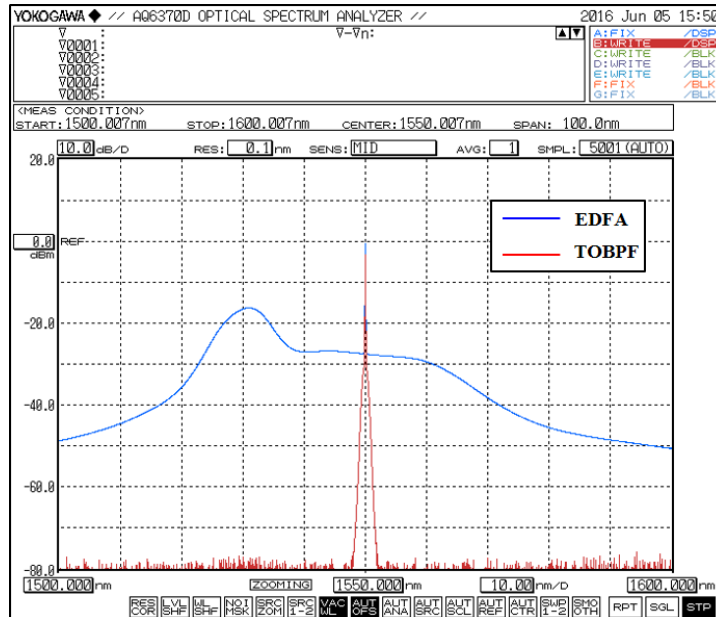
วัดสเปกตรัมแสงเมื่อเพิ่มตัวขยายอีดีเอฟเอ 2 ตัว และคุณภาพเพิ่มขึ้นของระดับพื้นสัญญาณ อันเนื่องมาจากการรบกวนเออเอสอี ผลการวัดแสดงดังรูปที่ 4.16



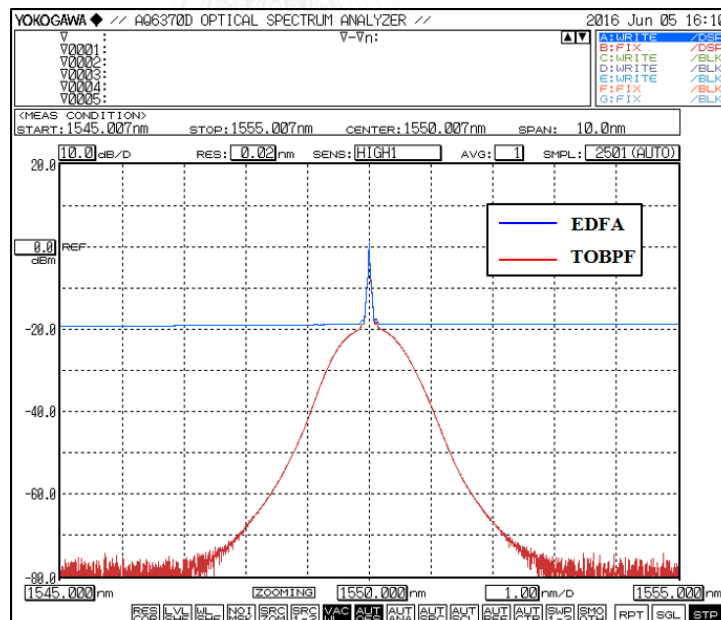
รูปที่ 4.16 สเปกตรัมแสงเมื่อผ่านตัวขยายอีดีเอฟเอทั้งสองตัว ณ ตำแหน่งที่ 4

ตำแหน่งที่ 5

วัดสเปกตรัมแสงเมื่อแทรกรังสีภายนอกตัวกรองสัญญาณเฉพาะย่านความถี่แสงแบบปรับค่าได้เข้าไปหลังตัวขยายอีดีเอฟเอ เพื่อลดระดับพื้นสัญญาณรบกวนลงผลการวัดแสดงดังรูปที่ 4.17 (ก) และ (ข)



(ก)



(ข)

รูปที่ 4.17 (ก) และ (ข) สเปกตรัมแสงเมื่อผ่านตัวกรองสัญญาณเฉพาะย่านความถี่แสงแบบปรับค่าได้

จากผลการทดลองวิเคราะห์สเปกตรัมแสงทั้งหมดในหัวข้อนี้ แสดงให้เห็นว่าสเปกตรัมของแสงเมื่อเพิ่มตัวขยายอีดีเอฟเอมีผลทำให้เพิ่มระดับพื้นสัญญาณรบกวนที่เพิ่มขึ้น อันเนื่องมาจาก

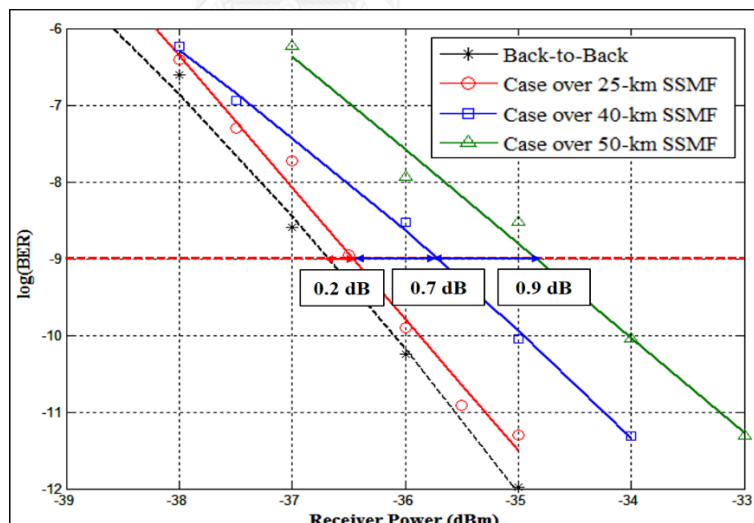
ผลกระทบจากสัญญาณรบกวนເອເສື້ອ ອຍ່າງໄຮກ້ຕາມເນື້ອແທຣກຕັວກອງສัญญาມເຂພະຍໍາຄວາມຄືສັງແບບປັບປຸງຄໍາໄດ້ສາມາຄລດຜລກຮບທົດກລ່າວລົງໄດ້

4.3.3 การวิเคราะห์อัตราบิตผิดพลาด (Bit Error Rate Analysis)

ໃນຫວ້າຂຶ້ນນີ້ອີຈິບາຍຄືການວິເຄາະທີ່ອັນດີກຳນົດວິເຄາະທີ່ອັນດີກຳນົດພລາດຂອງຮະບບສັງສົງສູງແສງແບບໂວໂເຄເມື່ອສັ່ງຜ່ານເສັ້ນຢືນນຳແສງແບ່ງເປັນ 3 ກຣັນດັ່ງນີ້ 1) ກາຮສັ່ງຜ່ານເສັ້ນຢືນນຳແສງໂດຍໄມ່ຊັດເຊຍໂຄຣມາຕິກິດສເພອຣ໌ຊັ້ນ (Uncompensated CD), 2) ຊັດເຊຍໂຄຣມາຕິກິດສເພອຣ໌ຊັ້ນໄມ່ສົມບູຮົນ (Under-Compensated CD) ແລະ 3) ຊັດເຊຍໂຄຣມາຕິກິດສເພອຣ໌ຊັ້ນສົມບູຮົນ (Perfect-Compensated CD) ເຊັ່ນເດີຍກັບການວິເຄາະທີ່ແພນກາພຽບປາ ໂດຍທຳການວັດຄໍາອັນດີກຳນົດພລາດດ້ວຍເຄື່ອງ BERT (Bit Error Rate Tester) ຂອງບຣິຈິ້ກໍ Agilent Technologies ຮູນ N4901B Serial-BERT 13.5 Gb/s [32] ແລະພິຈາຮນາ Power Penalty ທີ່ອັນດີກຳນົດພລາດ 10^{-9}

ກຣັນທີ 1) ກາຮສັ່ງຜ່ານເສັ້ນຢືນນຳແສງໂດຍໄມ່ຊັດເຊຍໂຄຣມາຕິກິດສເພອຣ໌ຊັ້ນ

ທຳການວັດຄໍາອັນດີກຳນົດພລາດເມື່ອໄມ່ສັ່ງຜ່ານເສັ້ນຢືນນຳແສງ (Back-to-Back) ແລະເນື້ອສັ່ງຜ່ານເສັ້ນຢືນນຳແສງໂທຸມດີເວມາຕຽບຖານທີ່ຮະຍະທາງ 25 km, 40 km, ແລະ 50 km ຕາມລຳດັບ ຜລກາວັດຄໍາອັນດີກຳນົດພລາດເທິຍກັບກຳລັງກາຄຮັບ (Receiver Power) ແສດດັ່ງຮູບທີ່ 4.18

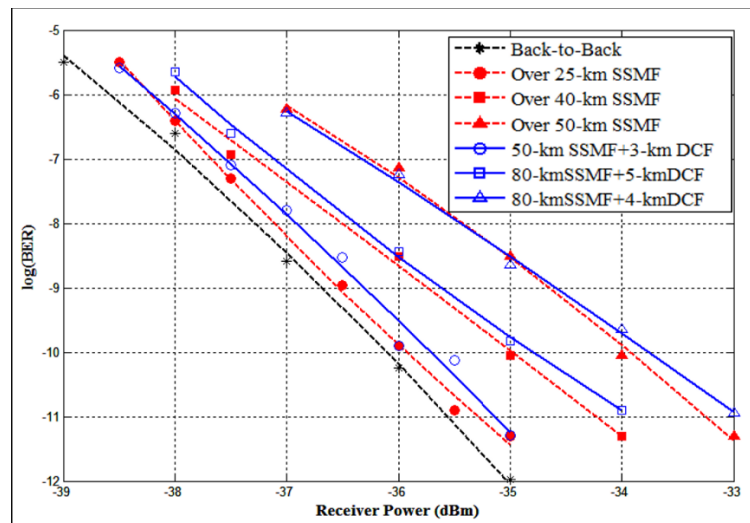


ຮູບທີ່ 4.18 ອັນດີກຳນົດພລາດຂອງສົງສູງແສງແບບໂວໂເຄກຣນີໄມ່ຊັດເຊຍໂຄຣມາຕິກິດສເພອຣ໌ຊັ້ນ

ຈາກຮູບທີ່ 4.18 ຈະສັງເກົດໄດ້ວ່າເນື້ອສັ່ງສົງສູງພ່ານເສັ້ນຢືນນຳແສງສັນກາພມືແນວໂນ້ມເລື່ອນໄປທາງຂວາ ແລະເນື້ອພິຈາຮນາຄໍາ Power Penalty ທີ່ອັນດີກຳນົດພລາດທີ່ 10^{-9} ເທິຍກັບກຣັນທີ່ໄມ່ສັ່ງຜ່ານເສັ້ນຢືນນຳແສງພບວ່າ ເນື້ອສັ່ງຜ່ານເສັ້ນຢືນນຳແສງໂທຸມດີເວມາຕຽບຖານທີ່ຮະຍະທາງ 25 km, 40 km ແລະ 50 km ມີຄໍາ Power Penalty ເທິຍກັບ 0.2 dB, 0.9 dB ແລະ 1.8 dB ຕາມລຳດັບ

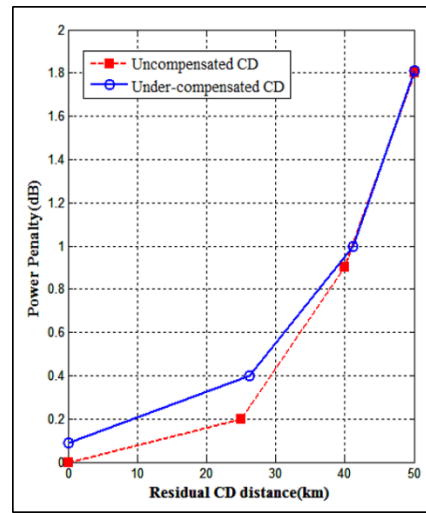
กรณีที่ 2) ชดเชยโครมาติกดิสเพอร์ซันไม่สมบูรณ์

ทำการวัดค่าอัตราบิตรพลาดเมื่อส่งผ่านเส้นใยนำแสงโหมดเดียวมาตรฐาน (SSMF) ร่วมกับเส้นใยนำแสงชนิดชดเชยดิสเพอร์ซัน (DCF) โดยชดเชยโครมาติกดิสเพอร์ซันสะสูนเพียงบางช่วงของระยะทางทั้งหมดแบ่งเป็น 3 เงื่อนไขดังนี้ 1) ส่งผ่าน 50-km SSMF + 3-km DCF, 2) ส่งผ่าน 80-km SSMF + 4-km DCF และ 3) ส่งผ่าน 80-km SSMF + 5-km DCF ผลการวัดอัตราบิตรพลาดแสดงดังรูปที่ 4.19



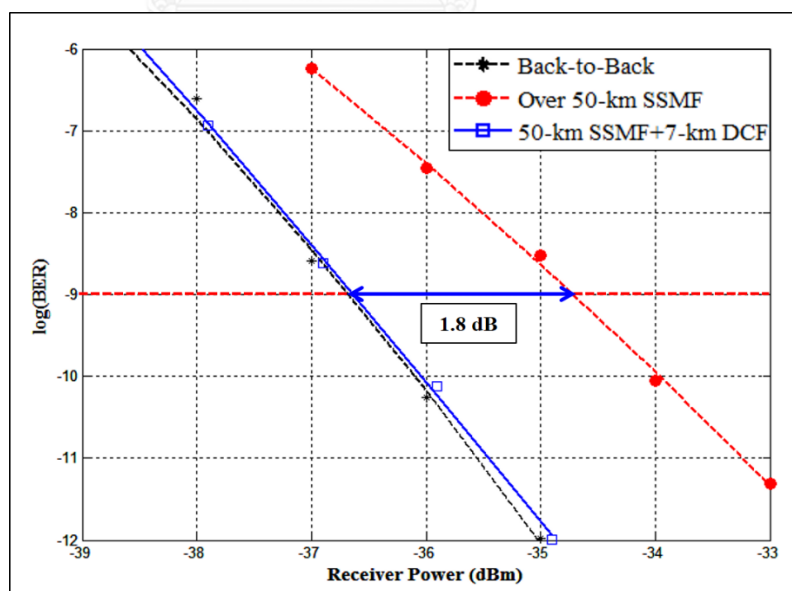
รูปที่ 4.19 อัตราบิตรพลาดของสัญญาณแสงแบบโอลิโวเครนีชดเชยโครมาติกดิสเพอร์ซันไม่สมบูรณ์

จากรูปที่ 4.19 เมื่อพิจารณาเส้นกราฟจากเงื่อนไขที่ 1) แสดงให้เห็นว่าเส้นกราฟเลื่อนกลับมาใกล้เคียงกับกรณีส่งผ่านเส้นใยนำแสงโหมดเดียวมาตรฐาน 25 km, เงื่อนไขที่ 2) เส้นกราฟกลับมาใกล้เคียงกับกรณีส่งผ่านเส้นใยนำแสงโmodesเดียวมาตรฐาน 40 km และเงื่อนไขที่ 3) เส้นกราฟเลื่อนกลับมาใกล้เคียงกับกรณีส่งผ่านเส้นใยนำแสงโหมดเดียวมาตรฐาน 50 km ดังนั้นแสดงให้เห็นว่าสามารถเลือกชดเชยโครมาติกดิสเพอร์ซันบางช่วงของระยะทางในการส่งสัญญาณทั้งหมดได้ แต่ยังคงมีระยะทางเหลือจากโครมาติกดิสเพอร์ซัน (Residual CD Distance) จากการชดเชยโครมาติกดิสเพอร์ซันไม่สมบูรณ์เมื่อนำมาplotกราฟเทียบกับค่า Power Penalty ที่ 10^{-9} ผลที่ได้แสดงรูปที่ 4.20



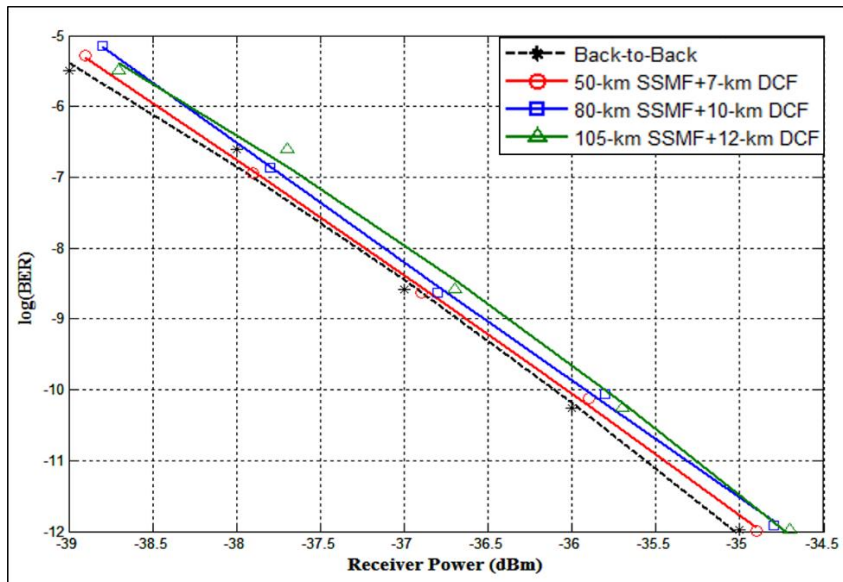
รูปที่ 4.20 Power Penalty ที่ 10^{-9} เทียบกับระยะทางเหลือจากโครมาติกดิสเพอร์ชัน
กรณีที่ 3) ชุดเชย์โครมาติกดิสเพอร์ชันสมบูรณ์

ทำการวัดค่าอัตราบิตริดพลาดเมื่อส่งผ่านเส้นใยนำแสงโหมดเดียวมาตรฐาน (SSMF) ร่วมกับเส้นใยนำแสงชนิดชุดเชย์ดิสเพอร์ชัน (DCF) ด้วยเงื่อนไขชุดเชย์โครมาติกดิสเพอร์ชันสมบูรณ์เป็นไปตามสมการที่ (2.28) และแสดงดังรูปที่ 4.21 และเมื่อชุดเชย์โครมาติกดิสเพอร์ชันทั้งหมด 3 กรณีคือ 1) ส่งผ่าน 50-km SSMF + 7-km DCF, 2) ส่งผ่าน 80-km SSMF + 10-km DCF และ 3) ส่งผ่าน 105-km SSMF + 12-km DCF ผลการวัดแสดงดังรูปที่ 4.22



รูปที่ 4.21 อัตราบิตริดพลาดของระบบล่ัญญาณแบบโวโวเเมื่อชุดเชย์โครมาติกดิสเพอร์ชันสมบูรณ์

จากรูปที่ 4.21 เมื่อแทรกเส้นใยนำแสงชนิดชดเชยดิสเพอร์ซันที่มีความยาวเท่ากับเส้นใยนำแสง荷模เดียวมาตรฐาน และพิจารณาค่า Power Penalty ที่อัตราบิตริดพลาดที่ 10^{-9} พบว่าสามารถลดค่า Power Penalty ที่เกิดจากโครงสร้างดิสเพอร์ซันได้เท่ากับ 1.8 dB และเส้นกราฟเลื่อนกลับมาใกล้เคียงกับกรณีไม่ส่งผ่านเส้นใยนำแสง (Back-to-Back)



รูปที่ 4.22 อัตราบิตริดพลาดของระบบล่วงสัญญาณแบบโอโซเครเนตติ่งฯ เมื่อชดเชยโครงสร้างดิสเพอร์ซันสมบูรณ์

จากรูปที่ 4.22 แสดงให้เห็นว่าเส้นอัตราบิตริดพลาดเมื่อชดเชยโครงสร้างดิสเพอร์ซันสมบูรณ์ แล้ว เส้นกราฟกลับมาใกล้เคียงกับเส้นอัตราบิตริดพลาดกรณีไม่ส่งผ่านเส้นใยนำแสง ดังนั้นสามารถสรุปได้ว่าการชดเชยโครงสร้างดิสเพอร์ซันสมบูรณ์ ด้วยเส้นใยนำแสงชนิดชดเชยดิสเพอร์ซันสามารถคงคุณภาพของสัญญาณที่ภาครับให้มีคุณภาพใกล้เคียงกับสัญญาณที่ต้นทางจากภาคส่งได้ และทำให้สามารถส่งสัญญาณได้ไกลขึ้น

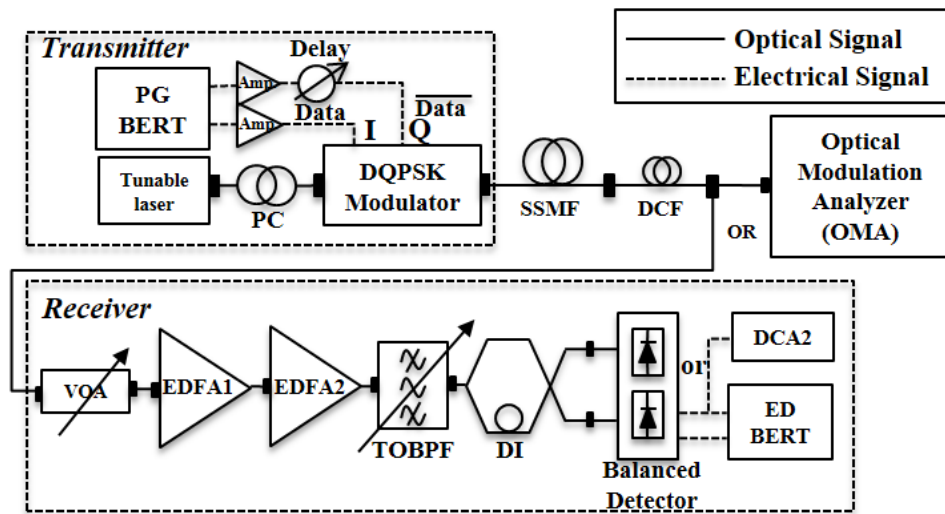
บทที่ 5

การทดลองสมรรถนะตัวรับส่งสัญญาณแสงแบบดิจิวพีเอสเค

ในบทนี้แสดงถึงการทดลองสมรรถนะของตัวรับส่งสัญญาณแสงแบบดิจิวพีเอสเค ซึ่งประกอบด้วย 3 หัวข้อคือ 5.1 การติดตั้งภาคส่งและภาครับระบบส่งสัญญาณแสงแบบดิจิวพีเอสเค, 5.2 การวิเคราะห์เกณฑ์กำหนดสมรรถนะ โดยทำการคำนวณค่าพารามิเตอร์ต่างๆที่เป็นตัวกำหนดสมรรถนะของระบบ และ 5.3 การส่งผ่านสัญญาณในเส้นใยนำแสง荷模เดี่ยวมาตรฐานที่ระยะทางต่างๆ ศึกษาผลกราฟที่มีต่อสัญญาณด้วยการวิเคราะห์แผนภาพกลุ่ม (Constellation Diagram), วิเคราะห์ขนาดเวกเตอร์ผิดพลาด (Error Vector Magnitude, EVM), วิเคราะห์スペกตรัมแสงเมื่อแทรกตัวขยายอีตีเอฟเอ และวัดค่าอัตราบิตริดพลาดในกรณีต่างๆ

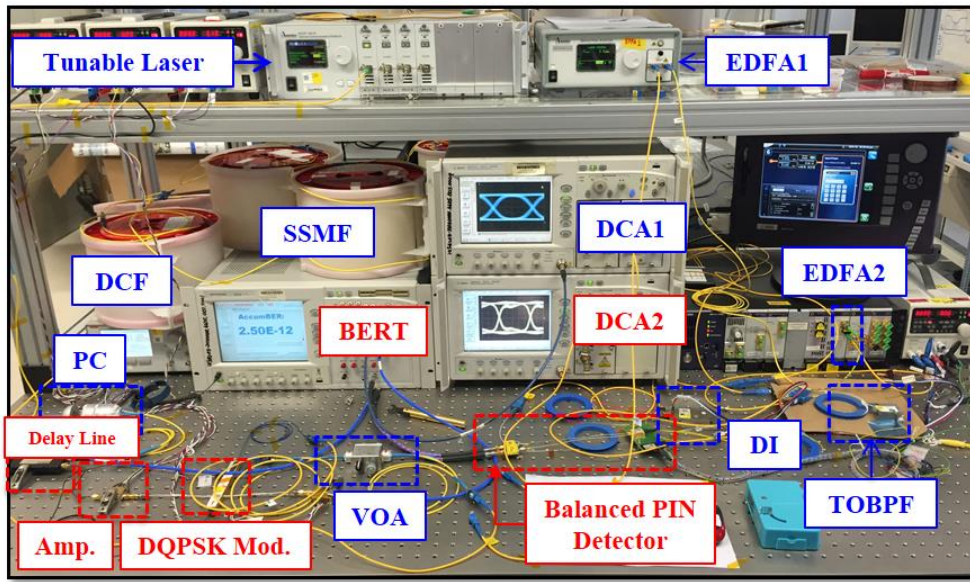
5.1 การติดตั้งภาคส่งและภาครับระบบส่งสัญญาณแสงแบบดิจิวพีเอสเค

การเข้มต่ออุปกรณ์ต่างๆเพื่อติดตั้งใช้งานภาคส่งและภาครับระบบส่งสัญญาณแสงแบบดิจิวพีเอสเคแสดงดังรูปที่ 5.1 ที่ภาคส่งประกอบด้วย 1) เลเซอร์ปรับค่าได้ (Tunable Laser) ทำหน้าที่สร้างคลื่นแสงต่อเนื่องที่ความยาวคลื่น 1550 nm และกำลังแสงสูงสุดเท่ากับ +16 dBm [17], 2) ตัวควบคุมโพลาไรเซชัน (Polarization Controller, PC) , 3) เครื่องกำเนิดสัญญาณแพทเทิน (Pattern Generator, PG) จากเครื่อง BERT (Bit Error Rate Tester) ทำหน้าที่สร้างสัญญาณข้อมูลไฟฟ้าที่อัตราบิตร 9.953 Gb/s รูปแบบ NRZ (Non-Return to Zero) PRBS (Pseudo-Random Binary Sequence) ความยาว 2^{23} บิต และมีขนาดแอมเพลจูดเท่ากับ 600 mV_{p-p} สำหรับสัญญาณ In-Phase (I) จากพอร์ต Data และ สัญญาณ Quadrature Phase (Q) จากพอร์ต Invert Data โดยผ่านตัวขับขยายสัญญาณ (Driver Amplifier) เพื่อขยายสัญญาณข้อมูลไฟฟ้าให้เพียงพอต่อการกลั่นสัญญาณ ถัดไป 4) ตัวหน่วงเวลาสาย (Delay Line) ใช้เพื่อหน่วงเวลาให้สัญญาณ | กับ Q มีความแตกต่างกันเนื่องจากเป็นสัญญาณจากเครื่องกำเนิดสัญญาณแพทเทินตัวเดียวกัน, และ 5) ตัวกลั่นสัญญาณแบบดิจิวพีเอสเค (DQPSK Modulator) ทำหน้าที่กลั่นสัญญาณข้อมูลไฟฟ้ากับแสงในรูปแบบดิจิวพีเอสเค



รูปที่ 5.1 แผนภาพบล็อกระบบรับส่งสัญญาณแสงแบบดิจิวพีโอเอสเค

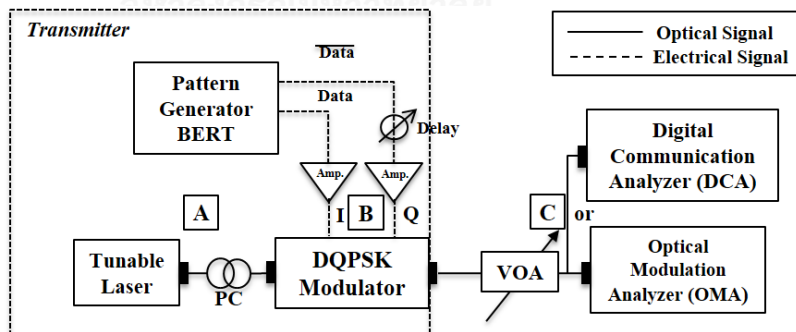
จากรูปที่ 5.1 ภาครับประกอบด้วย 1) ตัวลดthonกำลังแสงแบบปรับค่าได้ (Variable Optical Attenuator, VOA) ใช้เพื่อลดthonกำลังแสงก่อนเข้าเครื่องมือวัดต่างๆ เพื่อป้องกันไม่ให้กำลังแสงเกินค่าสูงสุดที่เครื่องมือวัดสามารถรับได้ อีกทั้งยังใช้ในการปรับค่ากำลังภาครับ (Receiver Power) ขณะวัดอัตราบิตริดพลาด, 2) ตัวขยายอีดีเอฟเอ 2 ตัว ตัวขยายอีดีเอฟเอ (Erbium Doped Fiber Amplifier, EDFA) ใช้เพื่อยายสัญญาณแสงจากต้นทางที่มีกำลังอ่อนลงเมื่อผ่านเส้นใยนำแสงให้มีกำลังแสงสูงขึ้นและเพียงพอต่อจุดทำงานที่เหมาะสมของตัวตรวจจับแสง โดยตัวขยายอีดีเอฟเอตัวที่ 1 ของบริษัท Amonics ใช้เป็นอัตราขยายตายตัว (Fixed Gain) และอีดีเอฟเอตัวที่ 2 ของบริษัท JDSU ใช้ปรับอัตราขยาย (Variable Gain) เช่นเดียวกันกับระบบบอโวโโค เพื่อให้ได้กำลังแสงก่อนเข้าตัวตรวจจับแสงพีโอเอ็นแบบบาลานซ์เท่ากับ +8 dBm ซึ่งเป็นค่าจุดทำงานที่เหมาะสมของตัวตรวจจับแสงดังกล่าว [25], 3) ตัวกรองสัญญาณเฉพาะย่านความถี่แสงแบบปรับค่าได้ (Tunable Optical Band Pass Filter, TOBPF) ใช้เพื่อลดผลกระทบจากสัญญาณรบกวนเออเอสอีที่เกิดจากตัวขยายอีดีเอฟเอ, 4) ดีเลย์อินเตอร์เฟอร์โรเมติเตอร์ (Delay Interferometer, DI) ใช้ในการแยกสัญญาณแสงที่ถูกกล้ำสัญญาณแบบดิจิวพีโอเอสเค ตามหลักการแยกสัญญาณแบบหน่วงเวลาดังที่ได้อธิบายไว้ในหัวข้อที่ 2.1.4.2 , 5) ตัวตรวจจับแสงชนิดพีโอเอ็นแบบบาลานซ์ (Balanced PIN Photo Detector) ใช้ในการตรวจจับแสงที่ผ่านการแยกสัญญาณจากดีเลย์อินเตอร์เฟอร์โรเมติเตอร์ และทำการแปลงเป็นสัญญาณไฟฟ้า, และ 6) Error Detector (ED) จากเครื่อง BERT ใช้ในการวัดอัตราบิตริดพลาด อุปกรณ์และเครื่องมือวัดทั้งหมดที่ใช้ในการทดลองแสดงดังรูปที่ 5.2



รูปที่ 5.2 อุปกรณ์และเครื่องมือวัดที่ใช้ในการทดลองภาครับส่งสัญญาณแสงแบบดิจิวพีเอสเค

5.1.1 การปรับตั้งภาคส่งสัญญาณแสงแบบดิจิวพีเอสเค

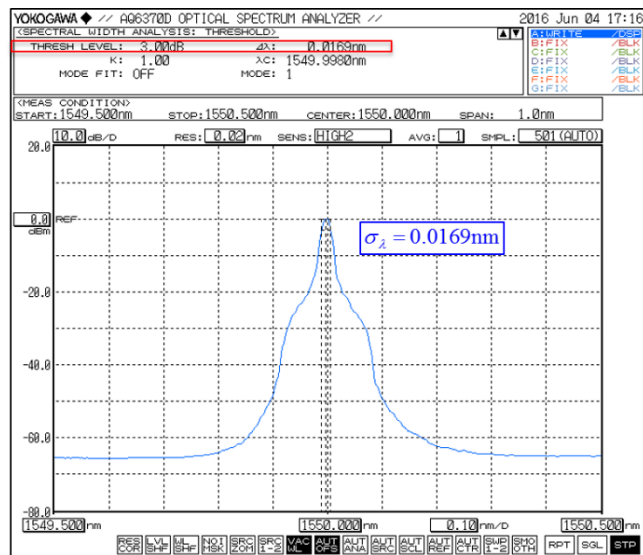
ในหัวข้อนี้แสดงถึงการปรับตั้งค่าอุปกรณ์ภาคส่งต่างๆ ทั้งสัญญาณแสงและสัญญาณข้อมูลไฟฟ้า โดยทำการวัดสัญญาณการปรับตั้งค่า ณ ตำแหน่งต่างๆ ดังแสดงในรูปที่ 5.3 แบ่งเป็น 3 ตำแหน่งคือ ตำแหน่ง A สเปกตรัมแสงจากแหล่งกำเนิดแสงเลเซอร์ปรับค่าได้ ตำแหน่ง B สัญญาณข้อมูลไฟฟ้าจากเครื่องกำเนิดสัญญาณแพทเทิน ตำแหน่ง C สัญญาณข้าวจากตัวกล้องสัญญาณแบบดิจิวพีเอสเค



รูปที่ 5.3 ตำแหน่งในการวัดสัญญาณภาคส่งสัญญาณแสงแบบดิจิวพีเอสเค

ตำแหน่ง A

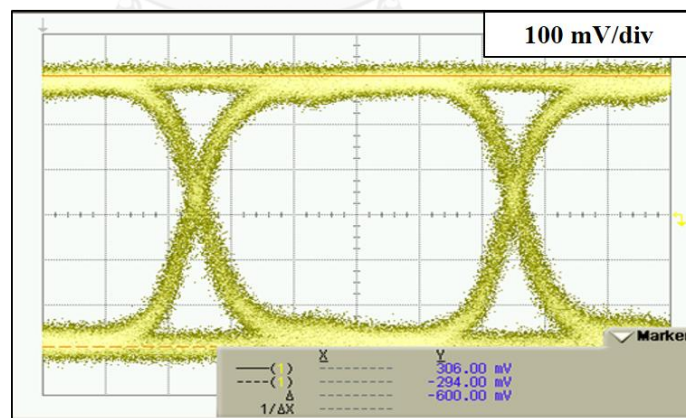
ทำการวัดค่าสเปกตรัมแสงของเลเซอร์ปรับค่าได้ ด้วยเครื่องมือวัด Optical Spectrum Analyzer (OSA) มีค่า Resolution Bandwidth ต่ำสุดเท่ากับ 0.02 nm [28] วัดค่าความกว้างสเปกตรัม (Spectral Width) ที่ตำแหน่ง 3 dB มีค่าเท่ากับ 0.0169 nm ผลการวัดแสดงดังรูปที่ 5.4



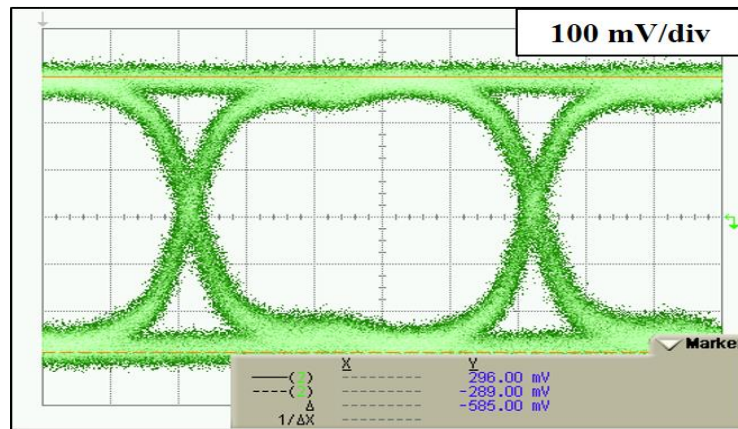
รูปที่ 5.4 สเปกตรัมของเลเซอร์ปรับค่าได้ ณ ตำแหน่ง A

ตำแหน่ง B

ทำการวัดค่าสัญญาณข้อมูลไฟฟ้าจากแหล่งกำเนิดสัญญาณแพทเทิน ซึ่งขนาดแอมเพลจูดของสัญญาณเท่ากับ $600 \text{ mV}_{\text{p-p}}$ ทั้งสองพอร์ทสัญญาณ Data และ Invert Data เพื่อสร้างสัญญาณ I และ Q ตามลำดับผลการวัดแสดงดังรูปที่ 5.5 และ รูปที่ 5.6 ตามลำดับ โดยที่สัญญาณของพอร์ท Invert Data ถูกส่งผ่านตัวหน่วงเวลาสาย (Delay Line) ทำให้ขนาดสัญญาณถูกลดthonลงเมื่อวัดค่าแอมเพลจูดสัญญาณจึงมีค่าเท่ากับ $585 \text{ mV}_{\text{p-p}}$



รูปที่ 5.5 สัญญาณข้าอกจากเครื่องกำเนิดสัญญาณแพทเทินพอร์ต Data



รูปที่ 5.6 สัญญาณข้อมูลขาออกจากเครื่องกำเนิดสัญญาณแพทเทินพอร์ต Invert Data

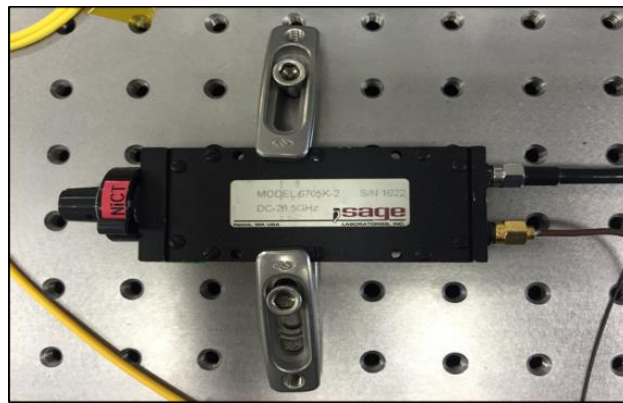
จากรูปที่ 5.3 ที่ตำแหน่ง B สัญญาณจากพอร์ต Invert Data ที่ใช้สร้างสัญญาณ Q ถูกส่งผ่านตัวหน่วงเวลาสาย เนื่องจากตามทฤษฎีแล้วการสร้างสัญญาณคิวพีอีสเค หรือ ดีคิวพีอีสเค ต้องสร้างสัญญาณ I และ Q จากแหล่งกำเนิดสัญญาณแพทเทิน 2 แหล่งกำเนิด แต่ในการทดลองของวิทยานิพนธ์นี้ใช้แหล่งกำเนิดสัญญาณแพทเทินเพียงแค่ตัวเดียวโดยใช้สองพอร์ตที่มีคือ Data และ Invert Data มาสร้างสัญญาณ I กับ Q ตามลำดับ ซึ่งสัญญาณทั้งสองมีรูปแบบเหมือนกันเพียงแต่ผกผัน (Invert) กัน ดังนั้นจึงต้องนำสัญญาณที่ขาข้างหนึ่งมาผ่านตัวหน่วงเวลาสาย เพื่อทำให้สัญญาณทั้งสองมีรูปแบบแตกต่างกันเปรียบเสมือนถูกสร้างจากเครื่องกำเนิดสัญญาณแพทเทินอิเกิลเครื่องหนึ่ง

ตัวหน่วงเวลาสายที่ใช้เป็นของบริษัท api technologies corp. โมเดล Coaxial Trough Line Phase Shifters รุ่น 6705K แสดงดังรูปที่ 5.7 [33]

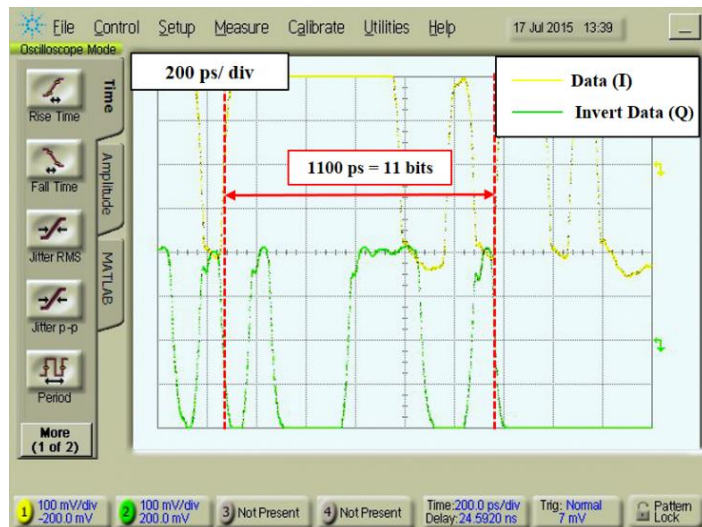
การหน่วงเวลาสัญญาณ 1 บิตสามารถคำนวณความยาวสายได้ดังสมการที่ (5.1) เมื่อ L คือความยาวสายของนำสัญญาณ v คือความเร็วในสายนำสัญญาณซึ่งมีค่าเท่ากับ 0.6 ของความเร็วแสง ($0.6c$) และ T_s คือcabbit

$$L = v \cdot T_s = (0.6c) \cdot (T_s) \quad (5.1)$$

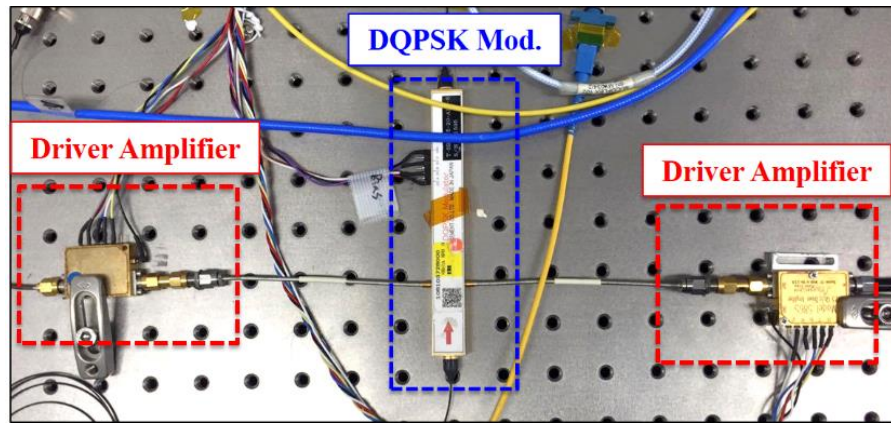
ดังนั้นจากสมการที่ (5.1) เมื่อสัญญาณ 1 บิตมีcabbitเท่ากับ 100 ps จะเท่ากับความยาวสาย 18 mm และสายที่นำสัญญาณที่ใช้ยาว 180 mm เท่ากับ 1000 ps จึงมีค่าเป็น 10 บิตเมื่อต่อร่วมกับตัวหน่วงสัญญาณไฟฟ้า 1 บิต ดังนั้นสัญญาณ Q ถูกหน่วงเวลาไปทั้งสิ้น 11 บิตดังแสดงในรูปที่ 5.8



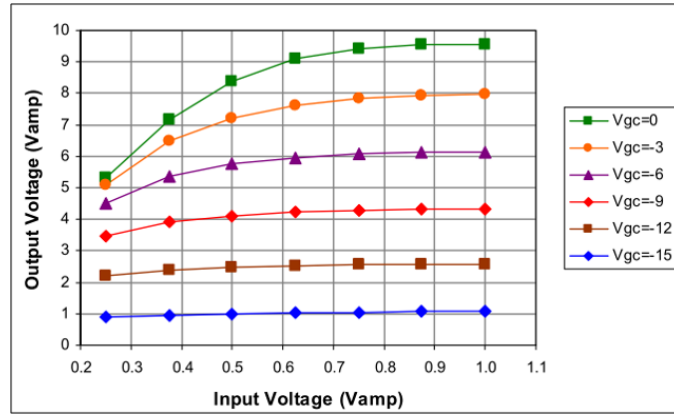
รูปที่ 5.7 ตัวหน่วงเวลาสายสัญญาณข้อมูลไฟฟ้า



รูปที่ 5.8 รูปแบบลัญญาณ I / เปรียบเทียบกับลัญญาณ Q เมื่อผ่านตัวหน่วงเวลาสาย อีกหนึ่งอุปกรณ์ที่สำคัญในภาคส่งสัญญาณแสงแบบดิจิตอลคือ ตัวขับขยายสัญญาณ (Driver Amplifier) ดังแสดงในรูปที่ 5.9 ทำหน้าที่ขยายสัญญาณไฟฟ้าจากแหล่งกำเนิดสัญญาณแพท เทินให้มีขนาดแอมเพลิจูดเพิ่มขึ้นก่อนนำไปกลั่นกับสัญญาณกับแสง ทำได้โดยการปรับตั้งแรงดันความคุณอัตราการขยาย (Voltage Gain Control, V_{GC}) ซึ่งการปรับค่า V_{GC} เป็นไปตามรูปที่ 5.10 [12] และยังเป็นพารามิเตอร์เพื่อใช้ในการเลือกช่วงกลั่นสัญญาณที่มีความสำคัญกับ V_{π} ดังที่ได้อธิบายไว้ในหัวข้อที่ 2.1.2.4



รูปที่ 5.9 ตัวขับขยายสัญญาณก่อนเข้าตัวกล้ำสัญญาณแบบดิจิวพีเอสเค

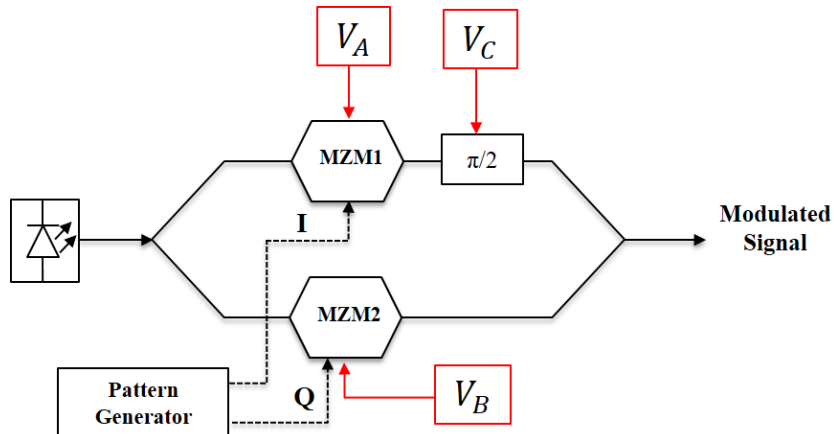


รูปที่ 5.10 การปรับค่าแรงดันควบคุมอัตราการขยายของตัวขับขยาย

จากรูปที่ 5.10 ในการส่งสัญญาณแบบดิจิวพีเอสเคเมื่อสัญญาณขาเข้าเท่ากับ 600 mV ตั้งค่า V_{GC} เท่ากับ 0 V เพื่อให้ได้สัญญาณที่ผ่านการขยายแล้วมีขนาดแอมเพลจูดสูงสุดเท่ากับ $8.8 \text{ V}_{\text{p-p}}$ และเป็นการปรับตั้งให้ได้ค่าแรงดันกล้ำสัญญาณเท่ากับ $2V_{\pi}$ เพื่อให้เฟสของข้อมูลบิต 0 และ 1 ต่างกัน 180 องศา เป็นไปตามหลักการกล้ำสัญญาณเฟสดังที่ได้อธิบายไว้ในหัวข้อที่ 2.1.2.1

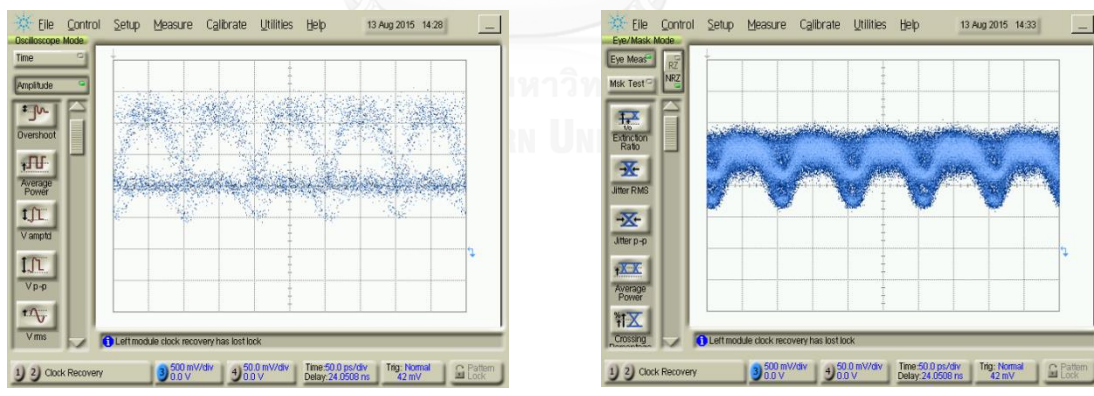
ตำแหน่ง C

ทำการวัดสัญญาณขากจากตัวกล้ำสัญญาณแบบดิจิวพีเอสเคเพื่อดูการปรับตั้งค่าการกล้ำสัญญาณว่ามีความเหมาะสมหรือไม่ทำได้โดยใช้เครื่องมือวัด 2 ชนิด คือ 1) Digital Communication Analyzer (DCA) และ 2) Optical Modulation Analyzer (OMA) ในการปรับตั้งค่าการกล้ำสัญญาณแบบดิจิวพีเอสเคนน์ สิ่งที่สำคัญที่สุดคือต้องปรับค่าให้สัญญาณ I และ Q ตั้งจากกัน ซึ่งขึ้นอยู่กับการป้อนแรงดันไฟเบอร์ออฟให้ตัวเลื่อนเฟส (Phase Shifter) ภายใต้ตัวกล้ำสัญญาณดังแสดงในรูปที่ 5.11



รูปที่ 5.11 การปรับตั้งค่าแรงดันไบแอสของตัวกล้ำลั้งสัญญาณแบบดิจิวพีเอสเค

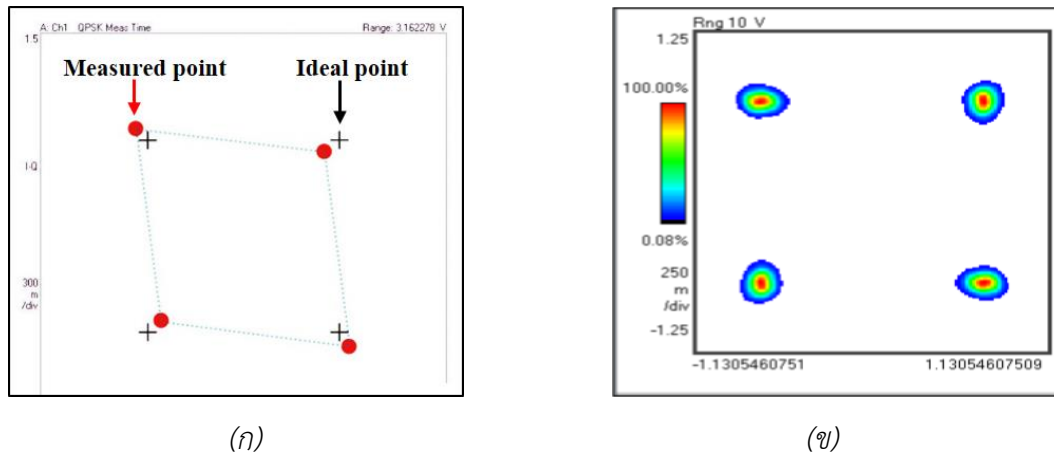
จากรูปที่ 5.11 การตั้งค่าแรงดันไบแอสให้ตัวกล้ำลั้งสัญญาณแบบดิจิวพีเอสเคนเมื่อยู่ด้วยกัน 3 ค่า ดังนี้ V_A คือแรงดันไบแอสที่ป้อนให้มัค-เซนเดอร์ตัวที่ 1 สำหรับสร้างสัญญาณ I , V_B คือแรงดันไบแอสที่ป้อนให้มัค-เซนเดอร์ตัวที่ 2 สำหรับสร้างสัญญาณ Q และ V_C คือแรงดันไบแอสสำหรับตัวเลื่อนเฟส (Phase Shifter) ที่อยู่ภายในตัวกล้ำลั้งสัญญาณเพื่อทำให้สัญญาณ I และ Q ตั้งฉากกัน [8] โดยสัญญาณข้าวกจากตัวกล้ำลั้งสัญญาณเมื่อปรับตั้ง V_C อย่างสมบูรณ์แสดงดังรูปที่ 5.12 (ข) เมื่อทำการวิเคราะห์สัญญาณด้วย DCA และเมื่อใช้เครื่อง OMA มาทำการวิเคราะห์แบบภาพกลุ่ม (Constellation Diagram) เพื่อยืนยันการปรับตั้งค่าแรงดันไบแอสต่างๆ มีความเหมาะสมสมสัญญาณ I และ Q ตั้งฉากกันแสดงดังรูปที่ 5.13 (ข) [16]



(g)

(h)

รูปที่ 5.12 สัญญาณข้าวกของตัวกล้ำลั้งสัญญาณดิจิวพีเอสเค (g) ป้อนแรงดันไบแอสให้ตัวเลื่อนเฟสไม่สมบูรณ์ และ (h) ป้อนแรงดันไบแอสให้ตัวเลื่อนเฟสสมบูรณ์



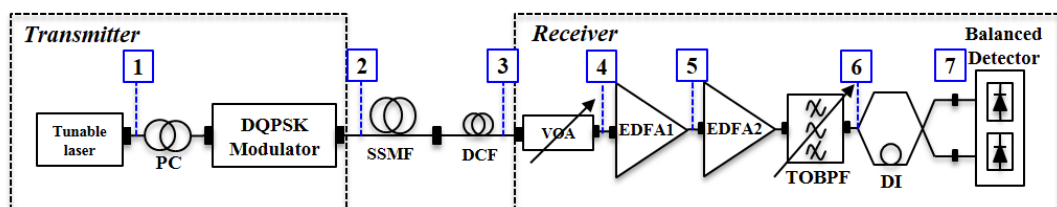
รูปที่ 5.13 ผลการวัดแผนภาพกลุ่มการตั้งค่าภาคส่งสัญญาณแสงแบบดิจิวพีโอสเค (g) ป้อนแรงดันไบแอลให้ตัวเลื่อนเฟลไม่สมบูรณ์ [16] และ (h) ป้อนแรงดันไบแอลให้ตัวเลื่อนเฟลสมบูรณ์

5.2 เกณฑ์กำหนดสมรรถนะ

ในหัวข้อนี้กล่าวถึงการวิเคราะห์เกณฑ์กำหนดสมรรถนะของระบบรับส่งสัญญาณแสงแบบดิจิวพีโอสเคเพื่อพิจารณาประสิทธิภาพ, คุณภาพ และสมรรถนะในการส่งสัญญาณ รวมถึงค่าขอบเขต ขีดจำกัดต่างๆ ดังที่อธิบายไว้ในหัวข้อที่ 2.3 โดยในการทดลองสมรรถนะของตัวรับส่งสัญญาณแสงแบบดิจิวพีโอสเค ได้ทำการวิเคราะห์พารามิเตอร์ที่เป็นเกณฑ์กำหนดสมรรถนะคือ การวิเคราะห์งบกำลัง (Power Budget Analysis) รายละเอียดดังหัวข้อที่ 5.2.1

5.2.1 การวิเคราะห์งบกำลัง (Power Budget Analysis)

การวิเคราะห์งบกำลังเพื่อเป็นการคำนวณกำลังสูญเสียระหว่างทาง (Link Power Loss) จากภาคส่งถึงภาครับเพื่อหาระยะทางสูงสุดที่สามารถส่งสัญญาณได้ ซึ่งถูกจำกัดด้วยการลดthonในเส้นใยนำแสง (Fiber Attenuation), การสูญแทรกในอุปกรณ์ (Insertion Loss, I_L), และการสูญเสียจากหัวต่อ (Connector Loss, I_c) ดังที่อธิบายไว้ในหัวข้อที่ 2.3.1 ตำแหน่งต่างๆ ที่ทำการวัดกำลังแสงเพื่อใช้ในการคำนวณงบกำลังแสดงดังรูปที่ 5.14



รูปที่ 5.14 แผนภาพบล็อกตำแหน่งต่างๆ ในการวัดกำลังแสงของระบบรับส่งสัญญาณแสงดิจิวพีโอสเค

โดยวัดค่ากำลังแสงแต่ละตำแหน่งด้วยมิเตอร์กำลังแสง (Optical Power Meter) ของบริษัท THORLABS รุ่น PM320E [30] เช่นเดียวกับระบบโอโวเค ผลการวัดกำลังแสง ณ ตำแหน่งต่างๆแสดงในตารางที่ 5.1

ตารางที่ 5.1 ผลการวัดค่ากำลังแสง ณ ตำแหน่งต่างๆ

กำลังแสง ณ ตำแหน่ง	ค่าที่วัดได้ (dBm)
1. กำลังแสงจากเลเซอร์ปรับค่าได้	+16 dBm
2. กำลังแสงส่ง (P_s)	+8 dBm
3. ค่าความไวภาครับ (P_R)	-38.1 dBm
4. กำลังแสงขาเข้าตัวขยายอีดีเอฟเอ 1	-37.4 dBm
5. กำลังแสงขาเข้าตัวขยายอีดีเอฟเอ 2	-17.4 dBm
6. กำลังแสงขาเข้าตัวดีเลอร์ อินเตอร์เฟอร์โรมิเตอร์	+8.3 dBm
7. กำลังแสงขาเข้าตัวตรวจจับแสงพีไอ เอ็นแบบบาลานซ์	+8 dBm

ค่าความไวภาครับ (P_R) ณ ตำแหน่งที่ 3 คำนวณจากค่ากำลังแสงที่เหมาะสมกับจุดทำงานของตัวตรวจจับแสงพีไอเอ็นแบบบาลานซ์ที่ +8 dBm [25] และเพิ่มอัตราขยายของอีดีเอฟเอทั้งสองตัว โดยคิดกำลังสูญเสียแทรกของอุปกรณ์ภาครับรวมถึงกำลังสูญเสียทั้งหมดที่หัวต่อดังสมการที่ (5.2)

$$P_R = P_{BD} - I_{L,DI} - I_{L,TOBPF} - G_{EDFA2} - G_{EDFA1} - I_{L,VOA} - \sum l_c \quad (5.2)$$

P_{BD} : กำลังแสงที่จุดทำงานของตัวตรวจจับแสงพีไอเอ็นแบบบาลานซ์ (+8 dBm)

$I_{L,DI}$: กำลังสูญเสียแทรกของตัวดีเลอร์อินเตอร์เฟอร์โรมิเตอร์ (0.7 dB)

$I_{L,TOBPF}$: กำลังสูญเสียแทรกตัวกรองความถี่เฉพาะย่านแสงแบบปรับค่าได้ (0.7 dB)

G_{EDFA1} : อัตราขยายสูงสุดของตัวขยายอีดีเอฟเอ 1 (20 dB)

G_{EDFA2} : อัตราขยายสูงสุดของตัวขยายอีดีเอฟเอ 2 (25 dB)

$I_{L,VOA}$: กำลังสูญเสียแทรกของตัวลดthonกำลังแสงแบบปรับค่าได้ (0.7 dB)

l_c : กำลังสูญเสียที่หัวต่อ (0.2 dB/ตัว)

ตารางที่ 5.2 กำลังสูญเสียแทรกในอุปกรณ์ต่างๆ

อุปกรณ์	กำลังสูญเสีย
1. ตัวความคุณภาพไฟเบอร์ออฟฟิเบอร์ [18]	0.7 dB
2. ตัวกล้าสัญญาณดิจิตอล [20]	7 dB
3. กำลังลดตอนในเส้นใยนำแสงใหม่เดี่ยว มาตรฐาน	0.184 dB/km
4. กำลังลดตอนในเส้นใยนำแสงชนิดชุดเดียวติดต่อ ไฟเบอร์ออฟฟิเบอร์	0.417 dB/km
5. ตัวลดตอนกำลังแสงแบบปรับค่าได้ [21]	0.7 dB
6. ตัวกรองเฉพาะยานความถี่แสงแบบปรับค่าได้	0.7 dB
7. ดีเลอร์อินเตอร์เฟอร์โรบิเตอร์ [24]	0.7 dB
8. หัวต่อ (Connector)	0.2 dB

ดังนั้นเมื่อนำค่ากำลังส่ง P_s และค่าความไวภาครับ P_r ที่ได้มาแทนลงในสมการงบกำลังจะสามารถคำนวณงบกำลังของระบบได้ดังสมการที่ (5.3)

$$P_t = P_s - P_r = +8 - (-38.1) = 46.1 \text{ dB} \quad (5.3)$$

ระยะทางสูงสุดเมื่อส่งผ่านเส้นใยนำแสงใหม่เดี่ยวมาตรฐานและเส้นใยนำแสงชนิดชุดเดียวติดต่อไฟเบอร์ออฟฟิเบอร์

จากสมการที่ (2.28) สามารถคำนวณอัตราส่วนระหว่างความยาวของเส้นใยนำแสงชนิดชุดเดียวติดต่อไฟเบอร์ออฟฟิเบอร์ต่อความยาวเส้นใยนำแสงใหม่เดี่ยวมาตรฐาน (L_{DCF} / L_{SSMF}) มีค่าประมาณ 1:8 เมื่อนำไปแทนค่าในสมการที่ (2.29) จะสามารถหาระยะทางสูงสุดที่สามารถส่งสัญญาณเป็นไปตามสมการที่ (5.4) ถึง (5.6)

$$P_t = \alpha_{SSMF} \cdot L_{SSMF} + \alpha_{DCF} \cdot \frac{L_{SSMF}}{8} + \sum l_c + SM \quad (5.4)$$

α_{SSMF} : ค่าสัมประสิทธิ์การลดตอนของ SSMF มีค่าเท่ากับ 0.184 dB/km

α_{DCF} : ค่าสัมประสิทธิ์การลดตอนของ DCF มีค่าเท่ากับ 0.417 dB/km

SM : System Margin มีค่าเท่ากับ 6 dB

จากสมการที่ (5.4) เมื่อแทนค่าพารามิเตอร์ต่างๆ ลงในสมการจะสามารถหาค่าระยะทางสูงสุดของเส้นใยนำแสง荷荷ดเดี่ยวมาตราฐานได้ดังนี้

$$P_T - \sum l_c - SM = (0.184 \text{dB/km})(L_{SSMF}) + \left(\frac{0.417 \text{dB/km}}{8} \right)(L_{SSMF}) \quad (5.5)$$

$$L_{SSMF} = \frac{P_T - \sum l_c - SM}{(0.236 \text{dB/km})} = \frac{(46.1 - 2(0.2) - 6) \text{dB}}{(0.236 \text{dB/km})} = 168.22 \text{km} \quad (5.6)$$

เมื่อแทนค่าลงในสมการที่ (2.28) สามารถหาระยะทางของเส้นใยนำแสงชนิดชุดเชย์ดิสเพอร์ชันได้ดังนี้

$$L_{DCF} = \frac{|D_{SSMF}| \cdot L_{SSMF}}{|D_{DCF}|} = \frac{(16.17 \text{ps/nm.km}) \cdot (168.22 \text{km})}{|-127.45(\text{ps/nm.km})|} = 21.34 \text{km} \quad (5.7)$$

ดังนั้นระยะทางสูงสุดที่สามารถส่งสัญญาณได้มีค่าเท่ากับ 189.56 km (168.22-km SSMF + 21.34-km DCF) จะเห็นได้ว่าเมื่อมีการเพิ่มตัวขยายอีดีเอฟเอถึง 2 ตัว ทำให้ระบบมีงบกำลังเพียงพอในการส่งสัญญาณได้ในระยะทางไกลและค่าที่ได้เป็นค่าประมาณที่มาจากการคำนวณ แต่ในการทดลองจริงต้องนำเส้นใยนำแสงจำนวนหลายม้วนมาต่อ กันจึงทำให้มีกำลังสัญญาณเสียทั้งจากหัวต่อและกำลังสัญญาณเสียระหว่างเส้นทางอื่นๆ ทำให้ระบบจริงสามารถส่งสัญญาณได้ไกลที่สุดเพียง 117 km (105-km SSMF+12-km DCF)

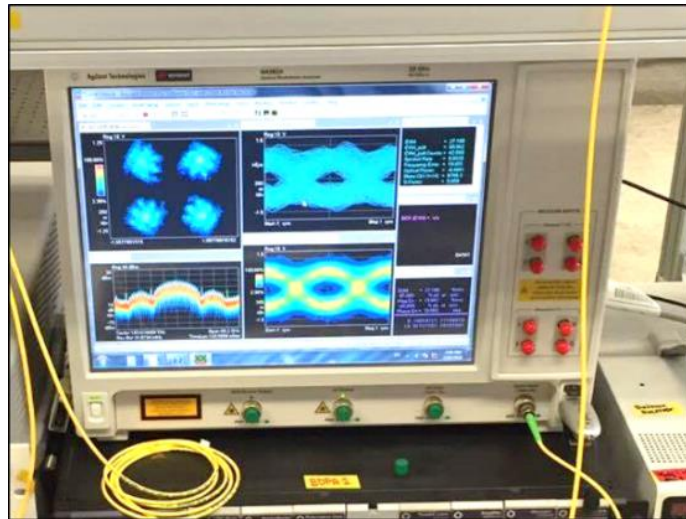
5.3 การทดลองส่งผ่านสัญญาณในเส้นใยนำแสง荷荷ดเดี่ยวมาตราฐานที่ระยะทางต่างๆ

หัวข้อนี้จะกล่าวถึงการทดลองส่งผ่านสัญญาณแสงที่กล้าสัญญาณแบบดีคิวพีเอสในเส้นใยนำแสง荷荷ดเดี่ยวมาตราฐานกรณีต่างๆ โดยทำการวิเคราะห์ขนาดเวกเตอร์ผิดพลาดและแผนภาพกลุ่ม (Constellation Diagram) ดังหัวข้อที่ 5.3.1, วิเคราะห์สเปกตรัมแสงดังหัวข้อที่ 5.3.2 และ วัดอัตราผิดพลาดดังหัวข้อที่ 5.3.3

5.3.1 การวิเคราะห์แผนภาพกลุ่มและขนาดเวกเตอร์ผิดพลาด (Constellation Diagram and Error Vector Magnitude Analysis)

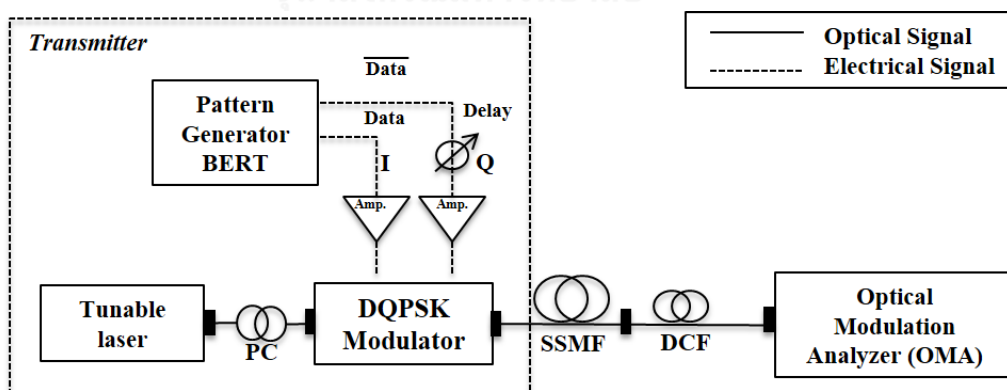
การพิจารณาสมรรถนะและประสิทธิภาพสัญญาณของระบบที่กล้าสัญญาณแบบดีคิวพีเอส เคต้องพิจารณาจากแผนภาพกลุ่ม (Constellation Diagram) และค่าพารามิเตอร์ขนาดเวกเตอร์ผิดพลาด (Error Vector Magnitude, EVM) ดังที่อธิบายไว้ในหัวข้อที่ 2.3.3 ซึ่งในการทดลองส่งสัญญาณดีคิวพีเอส เคผ่านเส้นใยนำแสงที่ระยะทางต่างๆ โดยทำการวิเคราะห์ค่าขนาดเวกเตอร์ผิดพลาดในการพิจารณาขอบเขตจำกัดในการส่งสัญญาณและการพิจารณาด้วยงบเวลาฯ ขึ้นดังเช่น

ระบบส่งสัญญาณแบบโอโวเด และศึกษาการเปลี่ยนแปลงแผนภาพกลุ่มและการเปลี่ยนสถานะของสัญญาณ I,Q สะสม (Accumulated I-Q Transition) เมื่อส่งสัญญาณผ่านเส้นใยนำแสงที่ระยะทางต่างๆ รวมไปถึงแผนภาพรูปตาด้วยเครื่องมือ Optical Modulation Analyzer (OMA) ของบริษัท Keysight รุ่น N4392A Optical Modulation Analyzer [34] ดังแสดงในรูปที่ 5.15



รูปที่ 5.15 เครื่องมือวัด Optical Modulation Analyzer

แผนภาพบล็อกการเชื่อมต่ออุปกรณ์เพื่อทำการวิเคราะห์สัญญาณด้วยเครื่อง OMA แสดงดังรูปที่ 5.16 ทำการพิจารณา 3 กรณีคือ 1) ไม่ชดเชยโครมาติกดิสเพอร์ซัน (Un-Compensated CD), 2) ชดเชยโครมาติกดิสเพอร์ซันไม่สมบูรณ์ (Under-Compensated CD) และ 3) ชดเชยโครมาติกดิสเพอร์ซันสมบูรณ์ (Perfect-Compensated CD)

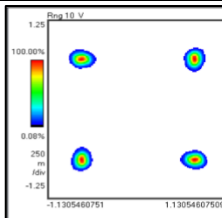
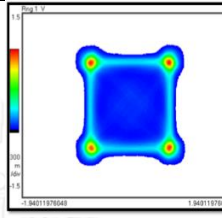
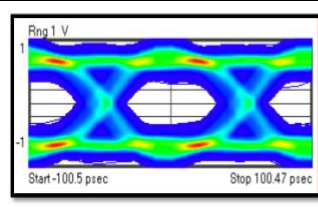
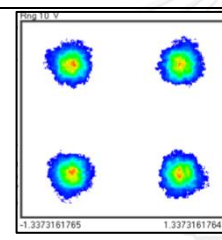
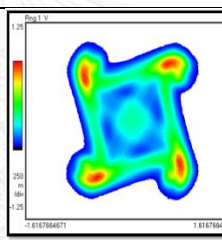
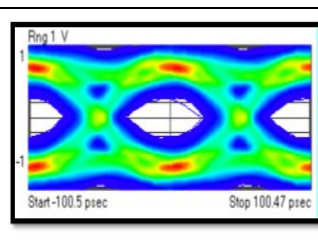
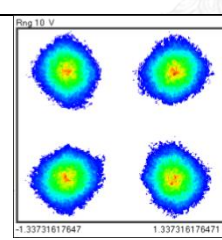
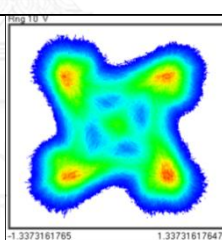
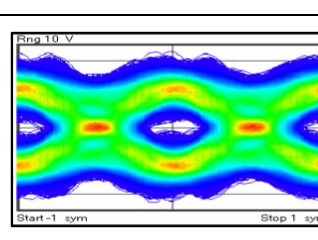
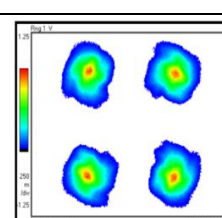
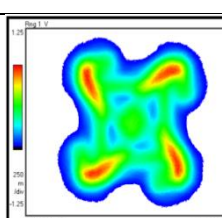
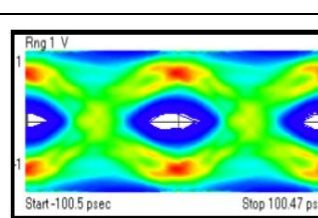


รูปที่ 5.16 แผนภาพบล็อกการเชื่อมต่ออุปกรณ์เพื่อวิเคราะห์สัญญาณด้วยเครื่อง OMA
กรณีที่ 1) ไม่ชดเชยโครมาติกดิสเพอร์ซัน

ทำการส่งสัญญาณจากภาคส่งถึงเครื่อง OMA โดยไม่ผ่านเส้นใยนำแสง และส่งผ่านเส้นใยนำแสง荷模เดี่ยวมาตรฐานที่ระยะทาง 25 km, 40 km และ 50 km ซึ่งทำการวัดค่าขนาด

เวกเตอร์ผิดพลาด, แผนภาพกลุ่ม, การเปลี่ยนสถานะของสัญญาณ I-Q และแผนภาพรูปตาของสัญญาณผลการวัดแสดงในตารางที่ 5.3

ตารางที่ 5.3 ผลการวัดจากเครื่อง OMA กรณีไม่ชดเชยคromaติกิสเพอร์ซัน

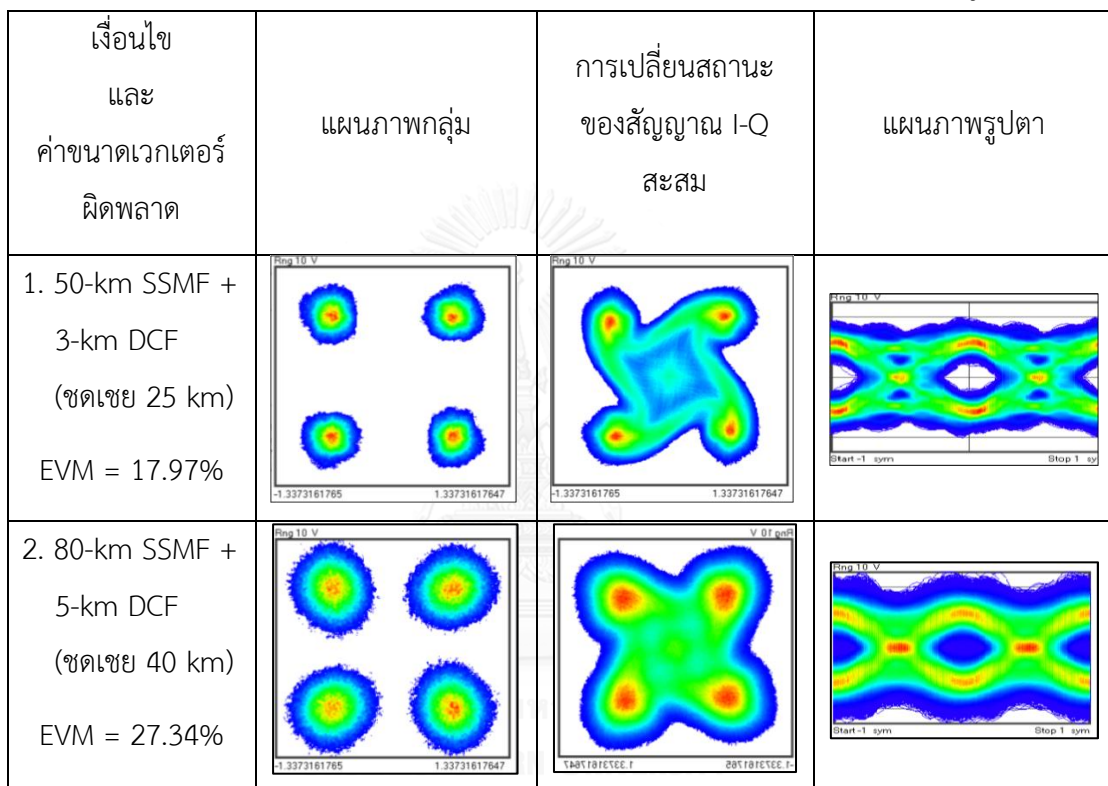
เงื่อนไข และ ค่าขนาดเวกเตอร์ ผิดพลาด	แผนภาพกลุ่ม	การเปลี่ยนสถานะ ของสัญญาณ I-Q สะสม	แผนภาพรูปตา
1. ไม่ส่งผ่าน เส้นใยนำแสง EVM = 7.66%	  		
2. ส่งผ่าน เส้นใยนำแสง 25 km EVM = 16.85%	  		
3. ส่งผ่าน เส้นใยนำแสง 40 km EVM = 22.04%	  		
4. ส่งผ่าน เส้นใยนำแสง 50 km EVM = 23.25%	  		

จากตารางที่ 5.3 แสดงให้เห็นว่าเมื่อระยะทางในการส่งสัญญาณเพิ่มขึ้นค่าขนาดเวกเตอร์ผิดพลาดจะเพิ่มขึ้น ยิ่งไปกว่านั้นแผนภาพกลุ่มมีลักษณะฟังกระจายออกจากจุดศูนย์กลาง [6] การเปลี่ยนสถานะของสัญญาณ I,Q สะสมมีการบิดทวนเข็มนาฬิกาอันเนื่องมาจากความเร็วของสัญญาณขณะเปลี่ยนแปลงสถานะไม่พร้อมกันซึ่งเป็นผลมาจากการคromaติกิสเพอร์ซัน และแผนภาพรูปตาเริ่มปิดลงอันเนื่องมาจากการผลของคromaติกิสเพอร์ซันสะสม

กรณีที่ 2) ชดเชยโครมาติกดิสเพอร์ซันไม่สมบูรณ์

ทดลองส่งสัญญาณผ่านเส้นใยนำแสงโหมดเดียวมาตรฐาน (SSMF) โดยแทรกเส้นใยนำแสงชนิดชดเชยดิสเพอร์ซัน (DCF) ด้วยเงื่อนไขชดเชยไม่สมบูรณ์ กล่าวคือชดเชยโครมาติกดิสเพอร์ซันเพียงบางช่วงของระยะทางเส้นใยนำแสงโหมดเดียวมาตรฐานทั้งหมด ซึ่งทำการวัดค่าพารามิเตอร์และสัญญาณเข่นเดียวกับกรณีที่ 1 ผลการวัดแสดงดังตารางที่ 5.4

ตารางที่ 5.4 ผลการวัดจากเครื่อง OMA กรณีชดเชยโครมาติกดิสเพอร์ซันไม่สมบูรณ์

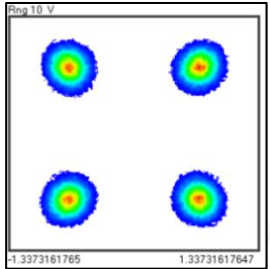
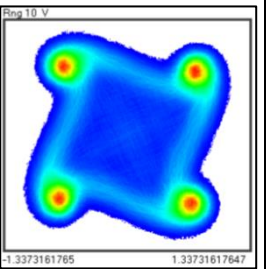
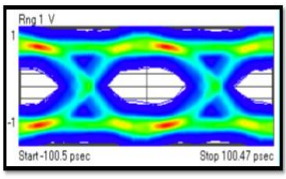


จากตารางที่ 5.4 แสดงให้เห็นว่าเมื่อแทรกเส้นใยนำแสงชนิดชดเชยดิสเพอร์ซันด้วยเงื่อนไขชดเชยไม่สมบูรณ์จะสามารถเพื่อลดผลกระทบของโครมาติกดิสเพอร์ซันสะสมลงได้ สังเกตได้จากค่าขนาดเวกเตอร์ผิดพลาดที่ลดลง และแผนภาพกลุ่มมีการฟุ้งกระจายลดลง การเปลี่ยนสถานะของสัญญาณ I-Q ยังคงมีการบิดอยู่อันเนื่องมาจากโครมาติกดิสเพอร์ซันเหลือ (Residual CD) แผนภาพรูปตาของสัญญาณเริ่มเปิดขึ้นในเงื่อนไขแรก ส่วนเงื่อนไขที่สองรูปตาของสัญญาณยังคงปิดอันเนื่องมาจากกำลังแสงที่ต่ำลงเมื่อแสงเดินทางผ่านเส้นใยนำแสงที่มีระยะทางไกล

กรณีที่ 3) การชดเชยโครมาติกดิสเพอร์ซันโดยสมบูรณ์

ทำการทดลองส่งสัญญาณผ่านเส้นใยนำแสงโหมดเดียวมาตรฐานโดยแทรกเส้นใยนำแสงชนิดชดเชยดิสเพอร์ซันด้วยเงื่อนไขชดเชยโครมาติกดิสเพอร์ซันสมบูรณ์ ซึ่งทำการวัดค่าพารามิเตอร์และวัดสัญญาณเข่นเดียวกับกรณีที่ 1 ผลการวัดแสดงดังตารางที่ 5.5

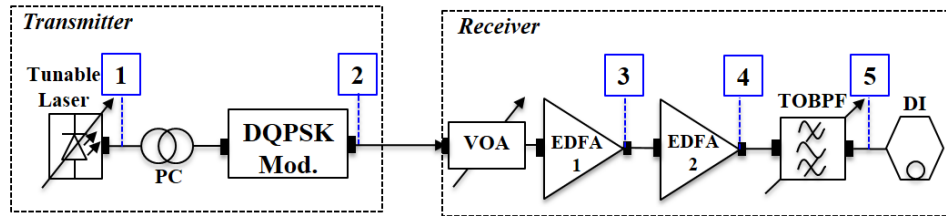
ตารางที่ 5.5 ผลการวัดจากเครื่อง OMA กรณีชดเชยโครมาติกดิสเพอร์ซันสมบูรณ์

เงื่อนไข และ ค่าขนาดเวกเตอร์ ผิดพลาด	แผนภาพกลุ่ม	การเปลี่ยนสถานะ ของสัญญาณ I-Q จะสม	แผนภาพรูปตา
1. 50-km SSMF + 7-km DCF EVM = 16.46%			

จากตารางที่ 5.5 แสดงให้เห็นว่าการชดเชยโครมาติกดิสเพอร์ซันสมบูรณ์สามารถลดค่าขนาดเวกเตอร์ผิดพลาดลงได้ ความพุ่งกระจายของแผนภาพกลุ่มลดลง การบิดของการเปลี่ยนสถานะสัญญาณ I-Q มีลักษณะบิดตามเข็มนาฬิกาเล็กน้อยเนื่องมาจาก DCF 7-km ที่ใช้รวมกับ SSMF 50-km มีการชดเชยโครมาติกดิสเพอร์ซันเกิน (Over-Compensated) ไปเล็กน้อยทำให้ยังคงมีโครมาติกดิสเพอร์ซันเหลือเป็นค่า (-) มีผลทำให้การเปลี่ยนสถานะของสัญญาณ I-Q เกิดการบิดตามเข็มนาฬิกาย้อนคืนจากศูนย์กลางและใกล้เคียงกับกรณีไม่ส่งผ่านเส้นใยนำแสง อีกทั้งแผนภาพรูปตาเปิดมากขึ้น ดังนั้นสรุปได้ว่าการชดเชยโครมาติกดิสเพอร์ซันสมบูรณ์กับสัญญาณแสงที่ใกล้สัญญาณแบบดีคิวพีเอสเค สามารถลดปัญหาของโครมาติกดิสเพอร์ซันสะสมลงได้ทำให้คุณภาพของสัญญาณที่ภาครับใกล้เคียงกับภาคส่งและสามารถส่งสัญญาณได้ไกลมากขึ้น

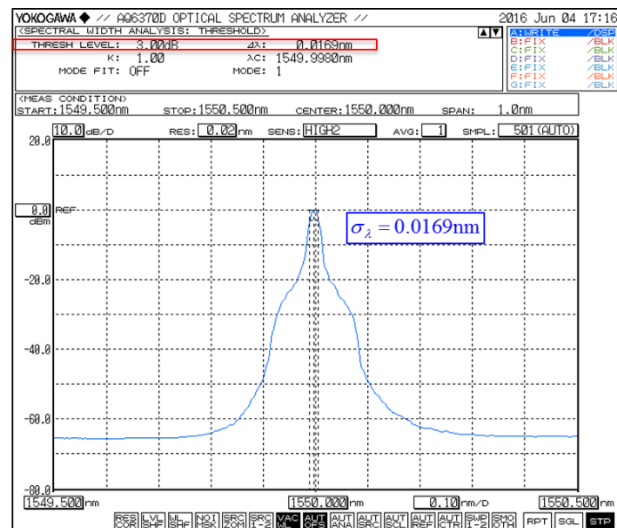
5.3.2 การวิเคราะห์สเปกตรัมแสง (Optical Spectrum Analysis)

การวิเคราะห์สเปกตรัมแสงเพื่อดูผลการเปลี่ยนแปลงของสเปกตรัม ณ จุดต่างๆของโครงข่ายโดยเฉพาะอย่างยิ่งเมื่อแทรกตัวขยายอ็อดิโอไฟเบอร์ และเมื่อแทรกตัวกรองสัญญาณเฉพาะย่านความถี่แสงแบบปรับค่าได้ (Tunable Optical Band Pass Filter, TOBPF) เพื่อลดสัญญาณรบกวนเออเอสี (Amplifier Spontaneous Emission Noise, ASE-Noise) ดังที่อธิบายไว้ในหัวข้อที่ 3.2.3 ทำการวัดโดยใช้เครื่องมือ Optical Spectrum Analyzer (OSA) ของบริษัท YOKOGAWA รุ่น AQ6370D 600-700 nm OPTICAL SPECTRUM ANALYZER [28] เช่นเดียวกับระบบโอโซเค ดำเนินการต่อที่ทำการวัดสเปกตรัมแสดงดังรูปที่ 5.17



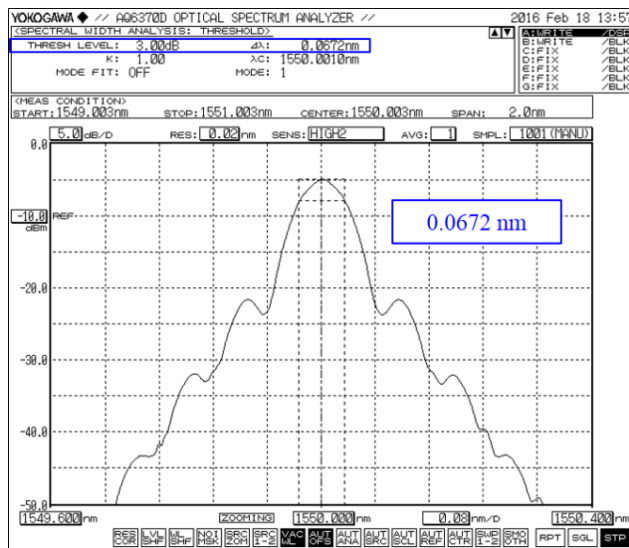
รูปที่ 5.17 แผนภาพบล็อกดำเนินการวัดสเปกตรัมแสงของระบบส่งสัญญาณแสงแบบดิจิวพีโอสเค ตำแหน่งที่ 1

วัดสเปกตรัมของแสงจากแหล่งกำเนิดแสงเลเซอร์ปรับค่าได้ และทำการวัดค่าความกว้างสเปกตรัม (Spectral Width) มีค่าเท่ากับ 0.0169 nm ผลการวัดแสดงดัง



รูปที่ 5.18 สเปกตรัมของแหล่งกำเนิดแสงเลเซอร์ปรับค่าได้
ตำแหน่งที่ 2

วัดสเปกตรัมแสง ณ ตำแหน่งสัญญาณขากอกของตัวกลั่นสัญญาณแบบดิจิวพีโอสเค และวัดความกว้างสเปกตรัมมีค่าเท่ากับ 0.0672 nm ผลการวัดแสดงรูปที่ 5.19

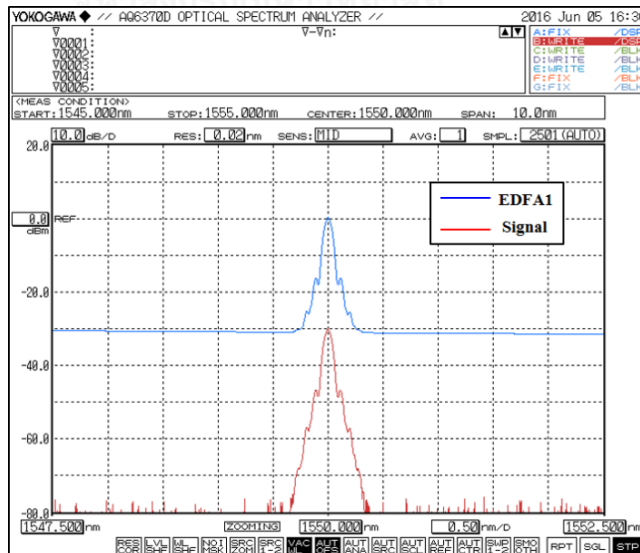


รูปที่ 5.19 สเปกตรัมแสงของตัวกล้าสัญญาณแบบดีคิวพีเอสเค
จากการวัดค่าความกว้างสเปกตรัมแสงจากตัวกล้าสัญญาณแสงแบบดีคิวพีเอสเค สามารถ
ประมาณค่าระยะทางสูงสุดที่สามารถส่งสัญญาณได้ดังสมการที่ (5.8)

$$L < \frac{0.7}{B \cdot |D| \cdot \sigma_{\lambda}} = \frac{0.7}{(10 \text{Gb/s}) \cdot (16.17 \text{ps/nm.km}) \cdot (0.0672 \text{nm})} = 64.4 \text{km} \quad (5.8)$$

ตำแหน่งที่ 3

วัดสเปกตรัมแสงเมื่อผ่านตัวขยายอีดีเอฟเอตัวที่ 1 อัตราขยายเท่ากับ 30 dB และสังเกตผล
การเปลี่ยนแปลงสเปกตรัมอันเนื่องมาจากการสัญญาณรบกวนเออเอสอี ผลการวัดแสดงดังรูปที่ 5.20

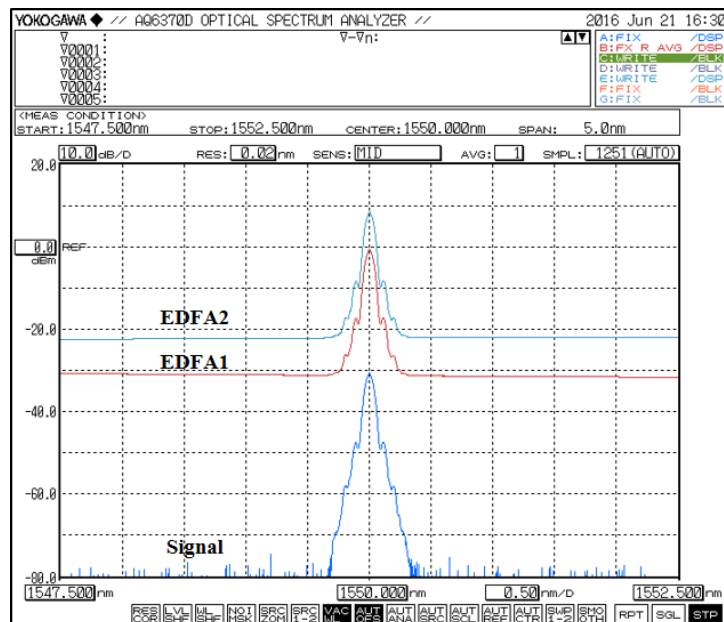


รูปที่ 5.20 สเปกตรัมของแสงก่อนและหลังผ่านตัวขยายอีดีเอฟเอ ณ ตำแหน่งที่ 3

จากรูปที่ 5.20 แสดงให้เห็นว่าสัญญาณจากตัวขยายอีดีเอฟเอ จะมีระดับพื้นสัญญาณรบกวน (Noise Floor) สูงขึ้น

ตำแหน่งที่ 4

วัดスペกตรัมแสงเมื่อเพิ่มตัวขยายอีดีเอฟเอ 2 ตัว ตัวขยายอีดีเอฟเอยังคงมีอัตราการขยาย 30 dB และตัวขยายอีดีเอฟเอยังคงอยู่ที่ 2 ด้วยอัตราขยาย 8 dB สังเกตผลการเพิ่มขึ้นของระดับพื้นสัญญาณอันเนื่องมาจากการติดต่อ EDFA ผลการวัดแสดงดังรูปที่ 5.21

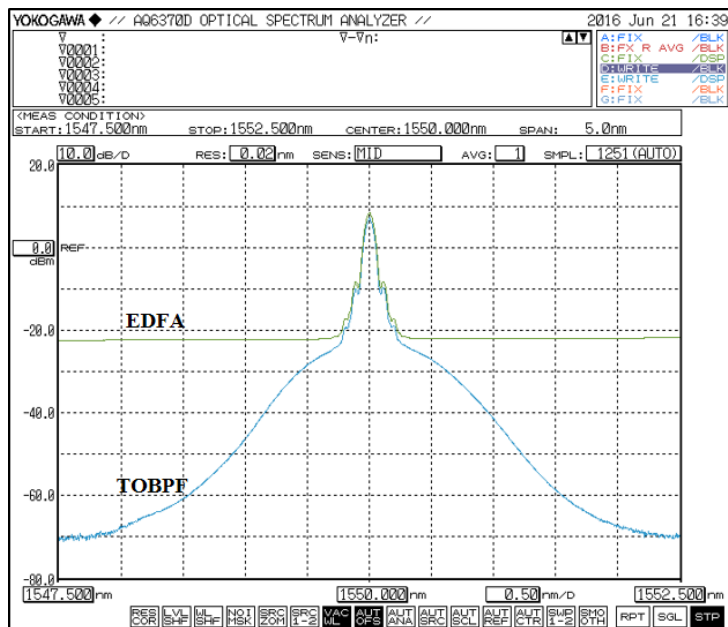


รูปที่ 5.21 สเปกตรัมแสงเมื่อผ่านตัวขยายอีดีเอฟเอยังคงตัวเดิม ณ ตำแหน่งที่ 4

ตำแหน่งที่ 5

CHULALONGKORN UNIVERSITY

วัดスペกตรัมแสงเมื่อแทรกตัวกรองสัญญาณเฉพาะย่านความถี่แสงแบบปรับค่าได้เข้าไปต่อจากตัวขยายอีดีเอฟเอ เพื่อลดระดับพื้นสัญญาณรบกวนลงผลการวัดแสดงดังรูปที่ 5.22



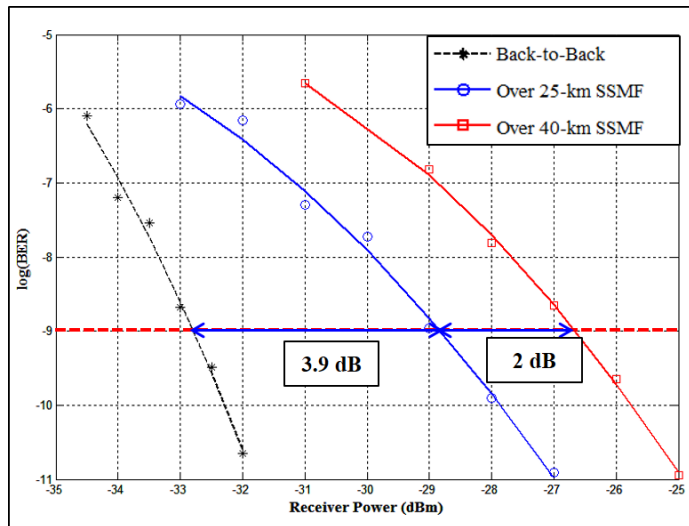
รูปที่ 5.22 สเปกตรัมแสงเมื่อผ่านตัวกรองสัญญาณเฉพาะย่างความถี่แสงแบบปรับค่าได้ จากผลการทดลองวิเคราะห์สเปกตรัมแสงทั้งหมดในหัวข้อนี้ แสดงให้เห็นว่าสเปกตรัมของแสงเมื่อเพิ่มตัวขยายอีดีเอฟเอทำให้ระดับพื้นสัญญาณรบกวนที่เพิ่มขึ้น อันเนื่องมาจากการลดระบทบของสัญญาณรบกวนเอเลสอี อย่างไรก็ตามเมื่อแทรกตัวกรองสัญญาณเฉพาะย่างความถี่แสงแบบปรับค่าได้สามารถลดผลกระทบดังกล่าวลงได้

5.3.3 การวิเคราะห์อัตราบิตผิดพลาด (Bit Error Rate Analysis)

ในหัวข้อนี้ทำการวิเคราะห์อัตราบิตผิดพลาดของระบบส่งสัญญาณแสงแบบโอโวโค เมื่อส่งผ่านเส้นใยนำแสงที่แบ่งเป็น 3 กรณีคือ 1) การส่งผ่านเส้นใยนำแสงโดยไม่ชดเชยโครมาติกดิสเพอร์ชัน (Uncompensated CD), 2) ชดเชยโครมาติกดิสเพอร์ชันไม่สมบูรณ์ (Under-Compensated CD) และ 3) ชดเชยโครมาติกดิสเพอร์ชันสมบูรณ์ (Perfect-Compensated CD) โดยทำการวัดค่าอัตราบิตผิดพลาดด้วยเครื่อง BERT (Bit Error Rate Tester) ของบริษัท Agilent Technologies รุ่น N4901B Serial-BERT 13.5 Gb/s [32] และพิจารณา Power Penalty ที่อัตราบิตผิดพลาด 10^{-9}

กรณีที่ 1) การส่งผ่านเส้นใยนำแสงโดยไม่ชดเชยโครมาติกดิสเพอร์ชัน

ทำการวัดค่าอัตราบิตผิดพลาดเมื่อไม่ส่งผ่านเส้นใยนำแสง (Back-to-Back) และเมื่อส่งผ่านเส้นใยนำแสงทดสอบด้วยมาตรฐานที่ระยะทาง 25 km และ 40 km, ตามลำดับ ผลการวัดค่าอัตราบิตผิดพลาดเทียบกับกำลังภาครับ (Receiver Power) แสดงดังรูปที่ 5.23

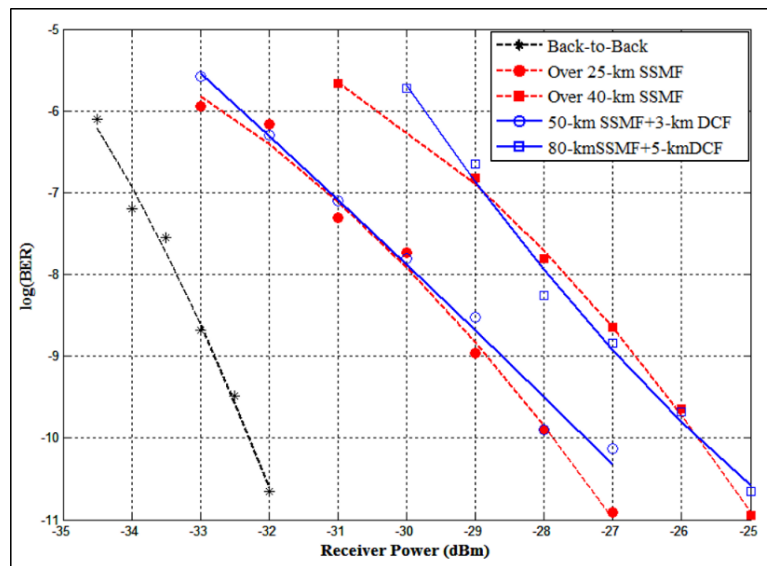


รูปที่ 5.23 อัตราบิตผิดพลาดสัญญาณแสงดีคิวพีเอลเคกรณีไม่ชดเชยโครมาติกดิสเพอร์ซัน

จากรูปที่ 5.23 จะเห็นได้ว่าเมื่อส่งสัญญาณผ่านเส้นใยนำแสงเส้นกราฟมีแนวโน้มเลื่อนไปทางขวา และเมื่อพิจารณาค่า Power Penalty ที่อัตราบิตผิดพลาดที่ 10^{-9} เทียบกับกรณีไม่ส่งผ่านเส้นใยนำแสงพบว่า เมื่อส่งผ่านเส้นใยนำแสงใหม่เดียวยาวترฐานที่ระยะทาง 25 km และ 40 km มีค่า Power Penalty เท่ากับ 3.9 dB และ 5.9 dB ตามลำดับ

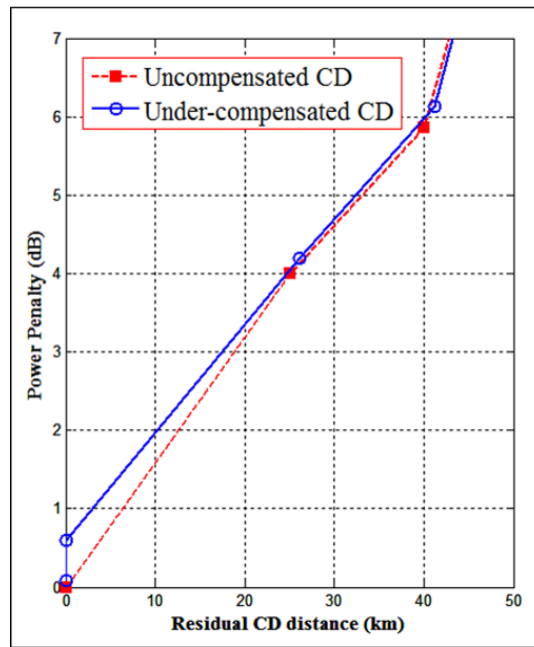
กรณีที่ 2) ชดเชยโครมาติกดิสเพอร์ซันไม่สมบูรณ์

ทำการวัดค่าอัตราบิตผิดพลาดเมื่อส่งผ่านเส้นใยนำแสงใหม่เดียวยาวตราชาน (SSMF) ร่วมกับเส้นใยนำแสงชนิดชดเชยดิสเพอร์ซัน (DCF) โดยชดเชยโครมาติกดิสเพอร์ซันจะสมเพียงบางช่วงของระยะทางทั้งหมดแบ่งเป็น 3 เงื่อนไขดังนี้ 1) ส่งผ่าน 50-km SSMF + 3-km DCF และ 2) ส่งผ่าน 80-km SSMF + 5-km DCF ผลการวัดอัตราบิตผิดพลาดแสดงดังรูปที่ 5.24



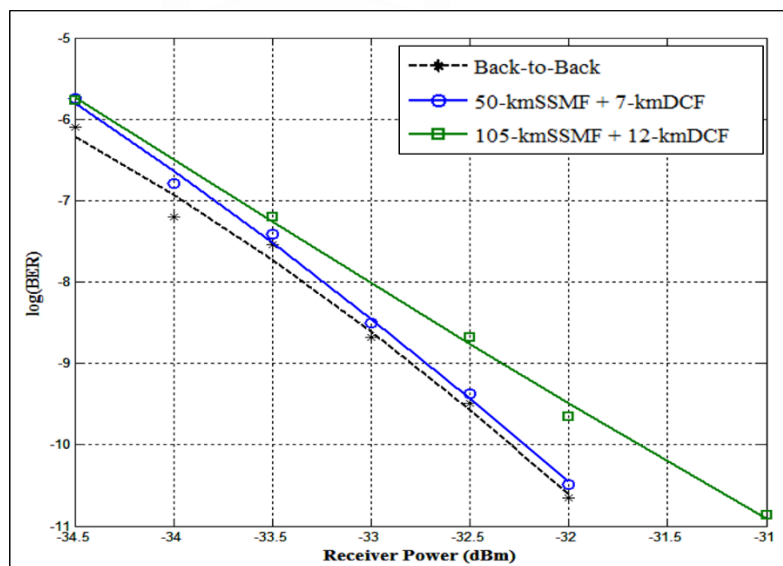
รูปที่ 5.24 อัตราบิตรผิดพลาดสัญญาณแบบดีคิวพีเอสเคرنีชดเชยโคมาราติกดิสเพอร์ชันไม่สมบูรณ์

จากรูปที่ 5.24 อัตราบิตรผิดพลาดสัญญาณแบบดีคิวพีเอสเคرنีชดเชยโคมาราติกดิสเพอร์ชันไม่สมบูรณ์เมื่อพิจารณาเส้นกราฟจากเงื่อนไขที่ 1) แสดงให้เห็นว่าเส้นกราฟเลื่อนกลับมาใกล้เคียงกับกรณีส่งผ่านเส้นใยนำแสงโดยมากเดียวมาระยะ 25 km และ เงื่อนไขที่ 2) เส้นกราฟกลับมาใกล้เคียงกับกรณีส่งผ่านเส้นใยนำแสงโดยมากเดียวมาระยะ 40 km ดังนั้นแสดงให้เห็นว่าสามารถเลือกชดเชยโคมาราติกดิสเพอร์ชันบางช่วงของระยะทางในการส่งสัญญาณทั้งหมดได้ แต่ยังคงมีระยะทางเหลือจากโคมาราติกดิสเพอร์ชัน (Residual CD Distance) จากการชดเชยโคอมาราติกดิสเพอร์ชันไม่สมบูรณ์เมื่อนำมาพลอตกราฟเทียบกับค่า Power Penalty ที่ 10^{-9} ผลที่ได้แสดงดังรูปที่ 5.25



รูปที่ 5.25 Power Penalty ที่ 10^{-9} เทียบกับระยะทางเหลือจากโครมาติกดิสเพอร์ซัน
กรณีที่ 3) ชดเชยโครมาติกดิสเพอร์ซันสมบูรณ์

ทำการวัดค่าอัตราบิดผิดพลาดเมื่อส่งผ่านเส้นใยนำแสงใหม่เดี่ยวมาตรฐาน (SSMF) ร่วมกับเส้นใยนำแสงชนิดชดเชยดิสเพอร์ซัน (DCF) ด้วยเงื่อนไขชดเชยโครมาติกดิสเพอร์ซันสมบูรณ์ ทั้ง 2 กรณีคือ 1) ส่งผ่าน 50-km SSMF + 7-km DCF และ 2) ส่งผ่าน 105-km SSMF + 12-km DCF ผลการวัดแสดงดังแสดงดังรูปที่ 5.26



รูปที่ 5.26 อัตราบิดผิดพลาดของระบบส่งสัญญาณแบบดีคิวพีเอลเคกรณีต่างๆ เมื่อชดเชยโครมาติกดิสเพอร์ซันสมบูรณ์

จากรูปที่ 5.26 แสดงให้เห็นว่าเส้นอัตราบิตริดพลาดเมื่อชดเชยโครมาติกดิสเพอร์ชันสมบูรณ์ แล้ว เส้นกราฟกลับมาใกล้เคียงกับเส้นอัตราบิตริดพลาดกรณีไม่ส่งผ่านเส้นไขน้ำแสง ดังนั้นสามารถสรุปได้ว่าการชดเชยโครมาติกดิสเพอร์ชันสมบูรณ์ ด้วยเส้นไขน้ำแสงชนิดชดเชยดิสเพอร์ชันสามารถคงคุณภาพของสัญญาณที่ภาครับให้มีคุณภาพใกล้เคียงกับสัญญาณที่ต้นทางจากภาคส่งได้ และทำให้สามารถส่งสัญญาณได้ไกลขึ้น



บทที่ 6

บทสรุปและข้อเสนอแนะ

6.1 สรุปผลการวิจัย

วิทยานิพนธ์ฉบับนี้ได้นำเสนอรายละเอียดการทดลองหาสมรรถนะในการส่งสัญญาณแสงที่กล้าสัญญาณแบบโอลิโอเคและดีคิวพีเอสเคที่อัตราบอต 10 Gbaud ความยาวคลื่นแสง 1550 nm และแทรกตัวขยายอีเดฟโอ (Erbium Doped Fiber Amplifier, EDFA) เพื่อเพิ่มงบกำลังของระบบโดยอิงจากรายละเอียดการติดตั้งใช้งานอุปกรณ์ทั้งภาคส่งและรับสัญญาณในโครงข่ายเชื่อมโยงกับทฤษฎีต่างๆ ได้ ซึ่งจุดประสงค์หลักของการวิจัยคือทำการศึกษาผลกระทบที่มีต่อสัญญาณทั้ง 2 แบบเมื่อทดลองส่งสัญญาณผ่านเส้นใยนำแสงโหมดเดียวมาตรฐาน (Standard Single Mode Fiber, SSMF) ที่ระยะทางต่างๆ โดยเฉพาะอย่างยิ่งผลกระทบของโครมาติกดิสเพอร์ชันสะสมเมื่อส่งผ่านเส้นใยนำแสงที่ระยะทางใกล้มีผลทำให้สมรรถนะในการส่งสัญญาณลดลงจากการคำนวณระยะทางสูงสุดที่ถูกจำกัดด้วยโครมาติกดิสเพอร์ชันพบว่าสามารถส่งสัญญาณได้สูงสุดประมาณ 64.4 km ดังนั้นแล้วการจัดการกับโครมาติกดิสเพอร์ชันสะสมจึงมีความจำเป็นอย่างยิ่งในโครงข่ายและวิทยานิพนธ์ฉบับนี้เลือกใช้เส้นใยนำแสงชนิดชดเชยดิสเพอร์ชัน (Dispersion Compensating Fiber, DCF) มาใช้งานร่วมกับเส้นใยนำแสงโหมดเดียวมาตรฐาน (SSMF) ที่มีต่อสัญญาณดีคิวพีเอสเคยังมีผลทำให้สัญญาณรบกวนในระบบเพิ่มขึ้น พิจารณาได้จากค่าขนาดเวกเตอร์ผิดพลาดเพิ่มขึ้น เกิดการฟุ้งกระจายของแผนภาพกลุ่มออกจากจุดศูนย์กลาง และการเปลี่ยนสถานะของสัญญาณ I,Q สะสม (Accumulated I,Q Transition) เกิดการบิดทวนเข็มนาฬิกาอันเนื่องมากจากความเร็วของการเปลี่ยนสถานะสัญญาณไม่เท่ากัน อีกทั้งยังมีผลทำให้อัตราบิตริดพลาดเพิ่มสูงขึ้น และในระบบที่กล้าสัญญาณแบบโอลิโอเค เมื่อทำการวัดแผนภาพรูปตาและวิเคราะห์เวลาขาขึ้น ผลกระทบของโครมาติกดิสเพอร์ชันสะสมมีผลทำให้รูปตาของสัญญาณยึดออกทางเวลาสังเกตได้จากเวลาขาขึ้นที่เพิ่มมากขึ้น อัตราบิตริดพลาดเพิ่มสูงขึ้น อย่างไรก็ตามเมื่อแทรกเส้นใยนำแสงชนิดชดเชยดิสเพอร์ชันแล้วสามารถลดผลกระทบดังกล่าวลงได้และยังสามารถเพิ่มระยะทางในการส่งสัญญาณได้อีกด้วย

เมื่อแทรกเส้นใยนำแสงชนิดชดเชยดิสเพอร์ชันด้วยเงื่อนไขด้วยสมบูรณ์ร่วมกับตัวขยายอีเดฟโอทั้งสองตัว พบว่าสามารถส่งสัญญาณได้ไกลสุดเท่ากับ 117 km (105-km SSMF+12-km DCF) ซึ่งเส้นกราฟอัตราบิตริดพลาดใกล้เคียงกับกรณีไม่ส่งผ่านเส้นใยนำแสง (Back-to-Back) และในกรณีชดเชยโครมาติกดิสเพอร์ชันสะสม (50-km SSMF+ 7 km DCF) สามารถลดการฟุ้งกระจายของแผนภาพกลุ่มและค่าขนาดเวกเตอร์ผิดพลาดลงได้ อีกทั้งยังสามารถลดการบิดของการเปลี่ยนสถานะ

ของสัญญาณ I,Q ลงได้กลับมาใกล้เคียงกับกรณีไม่ส่งผ่านเส้นใยนำแสง อีกทั้งเส้นกราฟอัตราบิตริดยังใกล้เคียงกับกรณีไม่ส่งผ่านเส้นใยนำแสงอีกด้วย

จากการทดลองชุดเดียวก្នرامาติกดิสเพอร์ซันไม่สมบูรณ์ (Under-Compensated) และวัดอัตราบิตริดพลาดเพื่อพลอตกราฟ Power Penalty ที่ 10^{-9} เทียบกับระยะทางเหลือจากโครมามติกดิสเพอร์ซัน (Residual Chromatic Dispersion Distance) พบว่าสามารถลดค่าโครมามติกดิสเพอร์ซันลงได้จากการพิจารณาค่า Power Penalty ที่อัตราบิตริดพลาด 10^{-9} กล่าวคือเมื่อส่งผ่านเส้นใยนำแสง荷模เดี่ยวมาตรฐานที่ระยะทาง 25 km และ 40 km ซึ่งมีค่า Power Penalty ที่อัตราบิตริดพลาด 10^{-9} เท่ากับ 3.9 dB และ 5.9 dB ตามลำดับ เมื่อชุดเดียวก្នรามาติกดิสเพอร์ซันด้วยเงื่อนไขชุดเดียไม่สมบูรณ์กรณีที่ 1) 50-km SSMF + 3-km DCF (ชุดเดียวยะทางโครมามติกดิสเพอร์ซันเหลือเท่ากับ 25 km) และกรณีที่ 2) 80-km SSMF + 5-km DCF (ชุดเดียวยะทางโครมามติกดิสเพอร์ซันเหลือเท่ากับ 40 km) มีค่า Power Penalty ที่ 10^{-9} เท่ากับ 4.1 dB และ 6.1 dB ตามลำดับซึ่งใกล้กับเคียงค่า Power Penalty ของการส่งผ่านเฉพาะเส้นใยนำแสง荷模เดี่ยวมาตรฐาน จากการทดลองนี้สามารถนำมาประยุกต์ใช้กับระบบ WDM (Wavelength Division Multiplexing) เพื่อเลือกชุดเดียโครมามติกดิสเพอร์ซันที่ความยาวคลื่นแสงแตกต่างกันได้

จากที่กล่าวมาทั้งหมดข้างต้นแสดงให้เห็นว่าผลกระทบของโครมามติกดิสเพอร์ซันเป็นปัญหาสำคัญของการสื่อสารผ่านเส้นใยนำแสง荷模เดี่ยวมาตรฐานที่ระยะทางใกล้ในการลดประสิทธิภาพของสัญญาณที่ภาครับลง ดังนั้นการใช้เส้นใยนำแสงชนิดชุดเดียดิสเพอร์ซันนั้นมีความจำเป็นอย่างยิ่งสำหรับการใช้งานร่วมกับเส้นใยนำแสง荷模เดี่ยวมาตรฐานเพื่อจัดปัญหาของผลกระทบดังกล่าวและเพื่อให้ประสิทธิภาพของสัญญาณที่ภาครับมีคุณภาพเช่นเดียวกับภาคส่ง ยิ่งไปกว่านั้นในอนาคตระบบสื่อสารผ่านเส้นใยนำแสงที่มีอัตราบิตริดในการส่งสัญญาณเพิ่มสูงขึ้นมากกว่า 10 Gb/s จำเป็นต้องอาศัยการกล้าสัญญาณเฟสเพื่อเพิ่มความจุในการส่งสัญญาณและเพิ่มประสิทธิภาพของสเปกตรัม อีกทั้งการกล้าสัญญาณเฟส เช่น ดีคิวพีเอสยังทนต่อผลกระทบของโครมามติกดิสเพอร์ซันได้ดีกว่าโอโอิโคที่อัตราบิตริดเท่ากัน ดังนั้นวิทยานิพนธ์ฉบับนี้จึงเป็นต้นแบบการศึกษาที่เป็นประโยชน์อย่างยิ่งสำหรับการพัฒนาสู่ระบบสื่อสารผ่านเส้นใยนำแสงที่ใช้การกล้าสัญญาณแสงขั้นสูง (Advanced Optical Modulation) ในอนาคตและต่อไป

6.2 ข้อเสนอแนะ

- 1) ในการพิจารณาเปรียบเทียบสมรรถนะของระบบที่กล้าสัญญาณแบบโอโอิโคและดีคิวพีเอสเค ควรส่งสัญญาณที่อัตราบิตริดเท่ากันเพื่อให้ค่าพารามิเตอร์ต่างๆ ที่นำมาคำนวณเพื่อเปรียบเทียบมีความสัมพันธ์เหมือนกัน ในวิทยานิพนธ์นี้ระบบที่กล้าสัญญาณแบบโอโอิ-

เค ที่อัตราบิต 10 Gb/s แต่ระบบที่กล้าสัญญาณแบบดีคิวพีเอสเคที่อัตราบิต 20 Gb/s (2×10 Gb/s) ดังนั้นการเปรียบเทียบค่าพารามิเตอร์ต่างๆ จึงมีเงื่อนไขแตกต่างกัน

- 2) ระบบที่กล้าสัญญาณแบบโอลูโคด้วยตัวกล้าสัญญาณมัค-เซนเดอร์ ควรจะกล้าสัญญาณให้ได้อัตราส่วนເອົກທີ່ງໜັນ (Extinction Ratio) มากกว่า 15 dB ขึ้นไปเพื่อให้ได้สัญญาณโอลูโคที่มีคุณภาพดีที่สุด
- 3) ตัวดีเลอร์ອินເຕອຣີໂໂຣມີເຕອຣີມีຄວາມເປີ່ຍນແປລງຕາມອຸນຫຼວມ ຂະນຳນັ້ນ ทำໃຫ້ຕົ້ນ ປັບຄ່າແຮງດັນຕລອດເວລາ ດັ່ງນັ້ນຈຶ່ງຄວາມຈົງຈວາງຈະມີວິເລີກທຽບນິກສີເພື່ອຄວບຄຸມການເປີ່ຍນແປລງອຸນຫຼວມໃຫ້ຄົງທີ່ເພື່ອໃຫ້ຜລກາຣທດລອງຂນະວັດອັຕຣາບີຕິພິດພາດຄົງທີ່
- 4) ການໃຊ້ເຄື່ອງ Optical Modulation Analyzer (OMA) ຄວາມກຳໜັດກຳລັງແສງຂາເຂົ້າໃຫ້ຄົງທີ່ ເພື່ອລັດປັບປຸງຫາກຳລັງແສງທີ່ອາຈະມີຄ່ານ້ອຍເກີນໄປທຳໃຫ້ຜລກາຣວັດຄລາດເຄລື່ອນ
- 5) ຄວາມໃໝ່ຈະ Pre-Coder ມາທາການເຂົ້າຮ້າສ້າງສັງຄູນຂໍ້ມູນໄຟຟ້າ ເພື່ອໃຫ້ເປັນຮບກຳລັ້າສ້າງສັງຄູນແສງແບບດີคົວພື້ເສເຄທີ່ສົມບູຮົນ ທີ່ຈຶ່ງຈ່າຍຕ່ອງການເຂົ້າຮ້າສ້າງສັງຄູນ
- 6) ການເຂົ້າຫວັດຕ່ອມມ້ວນເສັ້ນໃຢ່ນຳແສງໜິດໜົດເຫັນດີສເພໂຮ່ງໜັນ (DCF) ຄວາມໃໝ່ເສັ້ນໃຢ່ນຳແສງໜິດ ເດີຍກັນມາເຂົ້າຫວັດຕ່ອມມ້ວນເສັ້ນໃຢ່ນຳແສງໜິດຕ່ອງການໃຫ້ຈົງຈວາງໃຫ້ມີຄວາມສົມບູຮົນ ທີ່ຈຶ່ງຈ່າຍຕ່ອງການເຂົ້າຮ້າສ້າງສັງຄູນ

รายการอ้างอิง

- [1] G. Keiser, *Optical fiber communication*, 2010.
- [2] G. P. Agrawal, *Fiber-Optic Communication Systems* 2010.
- [3] P. J. Winzer and R.-J. Essiambre, "Advanced optical modulation formats," *Proceedings of the IEEE*, vol. 94, pp. 952-985, 2006.
- [4] R. Griffin, R. Johnstone, R. Walker, J. Hall, S. Wadsworth, K. Berry, *et al.*, "10 Gb/s optical differential quadrature phase shift key (DQPSK) transmission using GaAs/AlGaAs integration," in *Optical Fiber Communication Conference*, 2002, p. FD6.
- [5] H. Furukawa, S. Shinada, and N. Wada, "Tolerance of DQPSK optical packet for power fluctuation in optical packet switching," in *OECC 2010 Technical Digest*, 2010, pp. 406-407.
- [6] V. R. Arbab, X. Wu, L. C. Christen, J.-Y. Yang, T. Dennis, P. Williams, *et al.*, "Analysis of fiber dispersion effects on phase modulated signals using constellation diagram," in *Optical Fiber Communication Conference*, 2009, p. JThA45.
- [7] A. B. Carlson and P. B. Crilly, *Communication Systems*, 5 ed., 2010.
- [8] Application Note DQPSK Bit Error Test Solution. Available: www.shf.de
- [9] C. Behrens, "Mitigation of nonlinear impairments for advanced optical modulation formats," UCL (University College London), 2012.
- [10] B. J. Puttnam, R. S. Luís, J. M. Delgado Mendieta, J. Sakaguchi, W. Klaus, Y. Kamio, *et al.*, "Self-homodyne detection in optical communication systems," in *Photonics*, 2014, pp. 110-130.
- [11] A. E. L. Zhao, P. E. H. Shankar, and V. T. E. A. Nachum, "40G QPSK and DQPSK modulation," *Inphi Corporation, Sunnyvale, CA, USA, Tech. Rep*, 2007.

- [12] "ITU-T G. 652, Telecommunication Standardization Sector of ITU, Series G: Transmission Systems and Media, Digital Systems and Networks, Transmission Media and Optical Systems Characteristics—Optical Fibre Cables, Characteristics of a Single-Mode Optical Fiber and Cable," in *ITU-T Recommendation G* vol. 652, ed.
- [13] G. P. Agrawal, *Lightwave technology: telecommunication systems*: John Wiley & Sons, 2005.
- [14] H. Packard, "Using Error Vector Magnitude Measurements to Analyze and Troubleshoot Vector Modulated Signals," *Product Note HP*, pp. 89400-8.
- [15] W. Freude, R. Schmogrow, B. Nebendahl, M. Winter, A. Josten, D. Hillerkuss, *et al.*, "Quality metrics for optical signals: eye diagram, Q-factor, OSNR, EVM and BER," in *Transparent Optical Networks (ICTON), 2012 14th International Conference on*, 2012, pp. 1-4.
- [16] L. Meyer. Agilent Technologies : Advanced Digital Signal Troubleshooting [Online]. Available: www.agilent.com/find/89600
- [17] Amonics Company "C-Band Tunable Laser Module (ATL-C-16-AOCP-FA)" [Online].
- [18] OPTOQUEST Company Polarization Controller Datasheet [Online]. Available: <http://www.iwaveco.com>
- [19] Picosecond Product Specification 12.5 Gb/s DRIVER AMPLIFIER model 5865 [Online]. Available: www.picosecond.com
- [20] Sumitomo Corporation DQPSK Modulator model T.SBX1.5-20-ADC-S-FK Test Report [Online].
- [21] OPTOQUEST Variable Optical Attenuator Model No: VOAA15-40-S/F Inspection Report [Online]. Available: www.optoquest.co.jp
- [22] Amonics Company DWDM EDFA Model: AEDFA-PKT-DWDM-15-B-SC [Online].

- [23] JDSU MAP Erbium-Doped Fiber Amplifier (mEDFA-A1) [Online]. Available: www.JDSU.com/test
- [24] Avensys Product Data Report Product series : DPSK0995S40 [Online].
- [25] u2t Photonics 43 Gb/s DPSK Balanced Photoreceiver Datasheet Product code : BPRV2123(A) [Online]. Available: www.u2t.com
- [26] ผศ.ดร. ดวงฤทธิ์ วรสุขีพ ระบบสื่อสารผ่านเส้นใยนำแสง:หลักการและองค์ประกอบ, 2012.
- [27] JDSU MTS 8000 T-BERD /MTS Platforms Optical Characteristic Test module [Online]. Available: www.jdsu.com/test
- [28] YOKOGAWA AQ6370D 600-700 nm OPTICAL SPECTRUM ANALYZER [Online]. Available: <http://tmi.yokogawa.com/products/optical-measuring-instruments/optical-spectrum-analyzer/aq6370d-optical-spectrum-analyzer/>
- [29] "ITU-T G.691 : Optical interfaces for single channel STM-64 and other SDH systems with optical amplifiers," ed.
- [30] THORLABS Optical Power Meter Model: PM320E - Dual-Channel Benchtop Power and Energy Meter Console [Online]. Available: <https://www.thorlabs.com/thorproduct.cfm?partnumber=PM320E>
- [31] Infiniium DCA-J Agilent 86100C Wide-Bandwidth Oscilloscope Technical Specifications [Online]. Available: <http://www.keysight.com/main/home.jspx?cc=TH&lc=eng>
- [32] Agilent Technologies N4901B SerialBERT 13.5 Gb/s Data Sheet [Online]. Available: <http://www.keysight.com/en/pc-1000000193%3Aepsg%3Apgr/bit-error-ratio-test-bert-solutions?nid=-536902433.0&cc=TH&lc=eng>
- [33] api technologies corp : Coaxial Trough Line Phase Shifters DC to 18 GHz and DC-26.5 GHz model 6705K [Online].
- [34] KEYSIGHT Technologies : Keysight N4392A Optical Modulation Analyzer, Datasheet [Online]. Available: <http://literature.cdn.keysight.com/litweb/pdf/5990-9863EN.pdf?id=2149147>





ภาควิชานวัตกรรม

จุฬาลงกรณ์มหาวิทยาลัย
CHULALONGKORN UNIVERSITY

```
%When using Q pattern as the inverted and delayed I pattern
%Read the BERT pattern file (*.ptrn) and used as the I input of QPSK
%The delayed version will be used as Q input of QPSK
%But the receiver will demodulate the received signal as DQPSK
%This program decode DQPSK and create the output I and Q file
%Support only binary 2^n bits length or full byte pattern

clear;

%Delay must be > 0, adjust value according to the actual delay
Delay=11;

***** Get pattern file name *****
[filename pathname]=uigetfile('.ptrn','Select the BERT pattern file
for I data');
if isequal(filename,0)|isequal(pathname,0)
    disp('File not found')
else
    disp(['Open I data pattern file ',pathname,filename])
end

***** Read pattern file name *****
fidr=fopen([pathname,filename],'r');
H1=fgets(fidr); %Version=
H2=fgets(fidr); %Format=
H3=fgets(fidr); %Description=
H4=fgets(fidr); %Count=
H5=fgets(fidr); %Length=
H6=fgets(fidr); %Data=
disp(H5); %Display pattern length in bits
[Pat,cnt]=fread(fidr,inf,'uchar'); %Read binary pattern
fprintf('Total read pattern for I data: %d bytes = %d
bits\n',cnt,cnt*8);
fprintf('Q data is I data delayed by %d bits\n',Delay);

if exist('DQPSK_Byte_Decoder_Table.mat')==0 %Byte decoder lookup
table does not exist
    %Create 512x512 lookup table IDiffTable(I,Q) and QDiffTable(I,Q)
    %For decoding DQPSK byte by byte of I and Q input and output
    %I and Q are current data byte input with 9th bit from LSB of
previous byte
    %I+1 and Q+1 will be index 1-512 of the table with integer output
0-255

    Itable=['0' '0' '1' '1' '1' '0' '1' '0' '0' '1' '0' '1' '1' '1'
'0' '0'];
    Qtable=['0' '1' '0' '1' '0' '0' '1' '1' '1' '1' '0' '0' '1' '0'
'1' '0'];
    IDiffTable=zeros(512,512); %Table memory pre-allocation
    QDiffTable=zeros(512,512); %Table memory pre-allocation
    DecBinI='00000000';
    DecBinQ='00000000';
    for I=0:511
        Ibin=dec2bin(I,9);
        for Q=0:511
            Qbin=dec2bin(Q,9);
            for n=1:8

```

```

        index=bin2dec([Ibin(n),Qbin(n),Ibin(n+1),Qbin(n+1)])+1;
        DecBinI(n)=Itable(index);           %Table lookup for I
binary output
        DecBinQ(n)=Qtable(index);           %Table lookup for Q
binary output
end
IDiffTable(I+1,Q+1)=bin2dec(DecBinI);
QDiffTable(I+1,Q+1)=bin2dec(DecBinQ);
end
end
save DQPSK_Byte_Decoder_Table.mat IDiffTable QDiffTable;
fprintf('Lookup table for byte decoding created\n');
else
    load DQPSK_Byte_Decoder_Table.mat;           %Load existing byte
decoder lookup table
end

%***** Start decoding DQPSK byte by byte *****
%All Q pattern byte will be inverted with bitcmp(Pat,8) command
D=fix((Delay-1)/8);                         %Integral bytes delay
d=mod((Delay-1),8)+1;                        %Fractional byte delay from 1
to 8 bits
w=2^d;                                         %LSB Weight
W=2^(8-d);                                     %MSB Weight
DecPatI=zeros(1,cnt);                         %I-output memory pre-
allocation
DecPatQ=zeros(1,cnt);                         %Q-output memory pre-
allocation
LastI=mod(Pat(end),2);                       %9th bit for I
LastQ=mod(fix(bitcmp(Pat(end-D),8)/w),2);   %9th bit for Q
for n=1:D                                       %Q data bytes have negative
index (wrapped around)
    I=Pat(n)+256*LastI;                      %Pattern data byte
    Q=W*mod(bitcmp(Pat(end+n-D-1),8),w)+fix(bitcmp(Pat(end+n-
D),8)/w)+256*LastQ;%Fractional delay data byte
    LastI=mod(I,2);                           %Last I bit of next decoding
byte
    LastQ=mod(Q,2);                           %Last Q bit of next decoding
byte
    DecPatI(n)=IDiffTable(I+1,Q+1);
    DecPatQ(n)=QDiffTable(I+1,Q+1);
end
%Case n=D+1, first half of Q data byte has negative index (wrapped
around)
n=D+1;
I=Pat(n)+256*LastI;                          %Pattern data byte
Q=W*mod(bitcmp(Pat(end),8),w)+fix(bitcmp(Pat(1),8)/w)+256*LastQ;
%Fractional delay data byte
LastI=mod(I,2);                             %Last I bit of next decoding byte
LastQ=mod(Q,2);                           %Last Q bit of next decoding byte
DecPatI(n)=IDiffTable(I+1,Q+1);
DecPatQ(n)=QDiffTable(I+1,Q+1);
for n=D+2:cnt                                 %Q data bytes have positive
index
    I=Pat(n)+256*LastI;                      %Pattern data byte
    Q=W*mod(bitcmp(Pat(n-D-1),8),w)+fix(bitcmp(Pat(n-
D),8)/w)+256*LastQ;          %Fractional delay data byte

```

```

        LastI=mod(I,2);           %Last I bit of next decoding
byte
        LastQ=mod(Q,2);           %Last Q bit of next decoding
byte
        DecPatI(n)=IDiffTable(I+1,Q+1);
        DecPatQ(n)=QDiffTable(I+1,Q+1);
        if mod(n,10000)==0          %Print out every 10,000 bytes
processed
        if mod(n,100000)==0         %Print on new line every
100,000 bytes
            fprintf('%8d\n',n);
        else
            fprintf('%8d',n);
        end
    end
end
fprintf('%8d\n',n);           %Print the total number of
bytes processed

prefixI=['DelayInv',int2str(Delay),'_Iout_'];   %Saving file name
modification for I
prefixQ=['DelayInv',int2str(Delay),'_Qout_'];   %Saving file name
modification for Q

%***** Save I output file *****
fidI=fopen([pathname,prefixI,filename],'w');
fprintf(fidI,'%s%s%s%s%s',H1,H2,H3,H4,H5,H6);
fwrite(fidI,DecPatI,'uchar');
fprintf('Save pattern file %s for I output\n',[prefixI,filename]);

%***** Save Q output file *****
fidQ=fopen([pathname,prefixQ,filename],'w');
fprintf(fidQ,'%s%s%s%s%s',H1,H2,H3,H4,H5,H6);
fwrite(fidQ,DecPatQ,'uchar');
fprintf('Save pattern file %s for Q output\n',[prefixQ,filename]);
fclose('all');

```

検査成績書

Type: T.SBX1.5-20-ADC-S-FK

S/N: 211595

項目番号	項目	単位	仕様値	Port	測定値
1	挿入損失	dB	≤ 7.0	—	4.1
2	駆動電圧 @ 1kHz	V	≤ 4.0	DC	2.8
			≤ 4.0		2.9
			≤ 7.0		5.6
3	駆動電圧 @ 20Gbps	V _{pp}	≤ 5.5	RF	4.4
			≤ 5.5		4.4
4	光帯域 *1	GHz	≥ 16	RF	19.6
			≥ 16		22.8
6	光反射減衰量	dB	≥ 30.0	Input	52.2
				Output	44.6

*1: 3dB down (1GHz reference)



- 12.5 Gpbs Lithium Niobate modulator driver (8 V_{amp} output)
- Linear amplifier with 26 dB small signal gain and 12 GHz of bandwidth
- High gain with low power dissipation (2.3 watts at 8 V_{amp})
- Temperature compensated design for output stability
- Includes bias network, crossing point control & adjustable output voltage

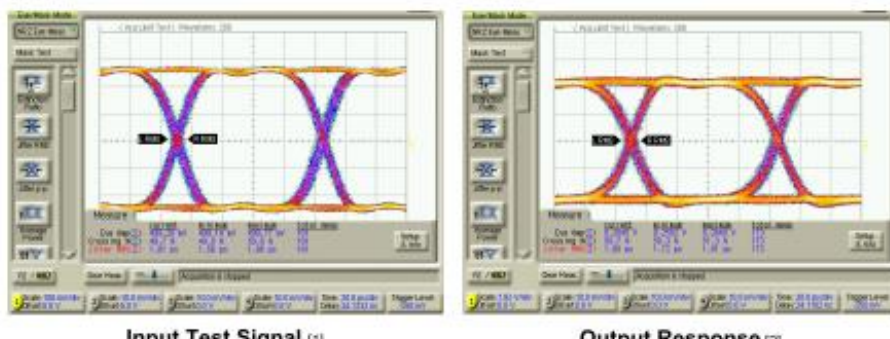
MODEL 5865 12.5 GB/S DRIVER AMPLIFIER



The Picosecond Pulse Labs Model 5865 driver amplifier is intended for use driving Lithium Niobate modulators or as a linear amplifier.

The 5865 includes internal temperature compensation for excellent output stability over temperature, and exhibits both high output and low power dissipation. It also incorporates internal sequencing circuitry, making it insensitive to power supply application sequence.

Typical 10.66 Gb/s Eye Measurements



[1] Input test signal generated by Agilent Pattern Generator model 70843B.
 [2] Output response measured using Agilent oscilloscope model 86100A with model 83484A 50 GHz plug-in module.

www.picosecond.com

PICOSECOND PULSE LABS, P.O. BOX 44, BOULDER, CO 80306, USA, TEL: 1.303.443.1249, FAX: 1.303.447.2236
 SPEC-4040085, REVISION 8, APRIL 2004, APPLIES TO MODEL 5865 REV 2

PAGE 1 OF 7



PRODUCT SPECIFICATION MODEL 5865 12.5Gb/s DRIVER AMPLIFIER

5865 Electrical Specifications

PARAMETER	SYMBOL	UNITS	MIN	TYPICAL	MAX	COMMENTS
Polarity						Non-inverting
Output Eye Voltage with $V_{gc} = 0$ V	V_{out}	V_{amp}	7.5	8.0		$V_{in} = 0.5 V_{amp}$, 12.5 Gb/s PRBS
Output Eye Voltage with $V_{gc} = +15$ V	V_{out}	V_{amp}		1.0	2.0	$V_{in} = 0.5 V_{amp}$
Upper Frequency 3 dB Point	$f_{3dB,upper}$	GHz		12		Small signal, relative to gain at 2 GHz
Lower Frequency 3 dB Point	$f_{3dB,lower}$	kHz		30		Small signal, relative to gain at 2 GHz
Small signal gain	S_{21}	dB		26.5		Measured at 2 GHz
Output Power at 1dB Gain Compression	P_{1dB}	dBm		23.5		Measured at 2 GHz
Deconvolved Rise / Fall Time [1]	t_{rise}	ps		14 / 23	20 / 28	10% to 90%, $V_{in} = 0.5 V_{amp}$, 12.5 Gb/s PRBS
Additive Jitter [1] RMS Peak-to-Peak		$\frac{ps}{ps_{pp}}$		0.7 4	1.5 8	$V_{in} = 0.5 V_{amp}$, 12.5 Gb/s PRBS, measured at crossing point
Output Eye Voltage Variation Over Operating Temperature Range	ΔV_{out}	%		± 3	± 5	$V_{gc} = 0$ V, $V_{in} = 0.5 V_{amp}$, $T_{case} = -5$ to $75^\circ C$, 12.5 Gb/s PRBS
Crossing Point Adjust		%	± 15	± 20		± 5 V input at V_{gc} , $V_{in} = 0.5 V_{amp}$
Crossing Point Variation Over Operating Temperature Range		%		± 1.0	± 2.0	0.5 V_{amp} input, 12.5 Gb/s PRBS, $T_{case} = -5$ to $75^\circ C$, V_{gc} constant
Overshoot / Undershoot		%		5		12.5 Gb/s PRBS
Input / Output Return Loss 50 MHz $\leq f \leq$ 5 GHz 5 GHz $\leq f \leq$ 12 GHz	S_{11}, S_{22}	dB		-14 -11	-12 -9	
Noise Figure	NF	dB		5.75	6.5	$f = 1$ GHz

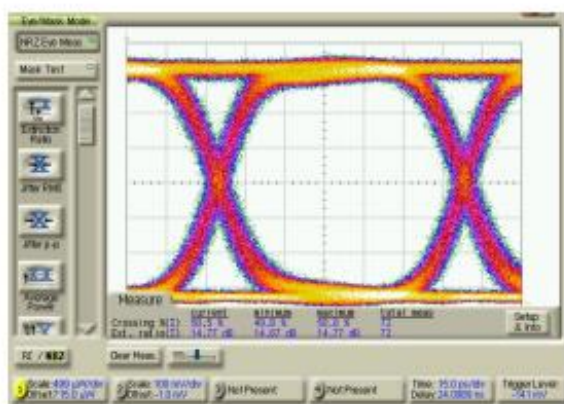
[1] Deconvolution is done by root sum of squares. Input rise/fall times were 27 ps. Input jitter was 2.3 ps RMS / 9.8 ps pk-pk.

5865 Operating Specifications

PARAMETER	SYMBOL	UNITS	MIN	TYPICAL	MAX	COMMENTS
Maximum allowed Input		V_{amp}			1.5	Damage threshold for input
DC Voltage Supply (pos)	$+V_{dc}$	V_{dc}	8	8	8.25	275 mA typical with $V_{out} = 8 V_{amp}$
DC Voltage Supply (neg)	$-V_{dc}$	V_{dc}	-5.25	-5	-4.75	20 mA typical
Power Dissipation	P_{diss}	W		2.3	2.6	$V_{out} = 8 V_{amp}$, V_{gc} may be utilized to lower the output level and lower the power dissipated
Output Voltage Bias	V_{bias}	V_{dc}	-17		+33	2.5 k Ω resistor (DC current ≤ 3.5 mA)
Operating Temperature	T_{case}	$^\circ C$	-5		75	Case Temperature
Storage Temperature	T_{case}	$^\circ C$	-40		125	Case Temperature

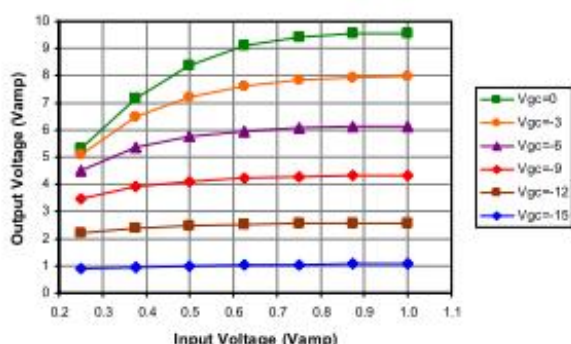
Static sensitive device, limited 30 day warranty.

www.picosecond.com



Typical Measured 10.66 Gb/s Optical Eye
(PSPL model 5865 driver, modulator controller, and OTI 12.5Gb/s LiNbO₃ modulator)

Input test signal generated by Advantest Pattern Generator model D3186. Output response measured using Agilent oscilloscope model 86100A with model 86109A optical plug-in module.



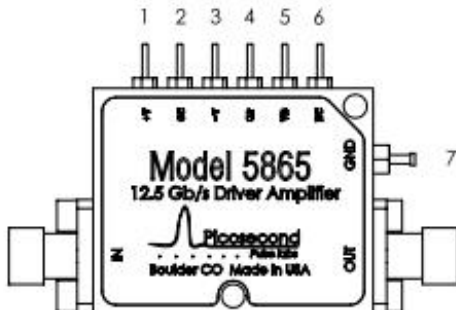
Typical Output Voltage versus Input Voltage
(Gain Control Bias = V_{GC} , $T_{CASE} = 35C$)



PRODUCT SPECIFICATION MODEL 5865 12.5Gb/s DRIVER AMPLIFIER

Instructions for Use

The Picosecond Pulse Labs 5865 12.5 Gb/s modulator driver may be operated using only three of the available 7 pins. The DC pins required for operation are 1, 3, and 7. The RF connectors and DC pins are diagrammed and defined below.



Pin Descriptions

Pin #	Pin Label	Description
	IN	SMA, signal input, $V_{IN} \leq 1.5$ V (damage threshold)
1	+V	Positive DC voltage supply, 8 V (see Note 1 and Note 2)
2	GC	V_{GC} : Variable output control, $-15 \leq V_{GC} \leq 0$ V (see Note 3)
3	-V	Negative DC voltage supply, $-5.25 \leq V_{-V} \leq -4.75$ V (see Note 2)
4	CP	Crossing point adjust, $-5 \leq V_{CP} \leq 5$ V (see Note 4)
5	VB	DC Voltage bias, $-17 \leq V_B \leq +33$ (see Note 5)
6	NC	No connection / Not used
7	GND	Ground connection
	OUT	SMA, signal output

Warning: The 5865 requires a ground connection at pin #7 prior to voltage application to prevent damage.

NOTES:

Note 1: At 8V, approximately 2.3W is dissipated.

Note 2: No power sequencing is necessary. Voltages may be applied in any order **after** ground is applied.

Note 3: Output Control: With V_{GC} at 0V, or left floating (disconnected), the driver will provide maximum gain and maximum output voltage. The user may decrease V_{GC} to decrease the RF signal gain when the driver is operating in the linear regime, or to reduce the output voltage level when the driver is operated in saturation (this will also reduce the power dissipated).

Note 4: The crossing point may vary until unit achieves thermal equilibrium.

Note 5: Voltage Bias: The VB pin allows the user to apply a low current (less than 3.5 mA) DC offset to the Signal Output for biasing electro-optic modulators through a $2\text{ k}\Omega$ resistor.

www.picosecond.com

PICOSECOND PULSE LABS, P.O. BOX 44, BOULDER, CO 80306, USA, TEL: 1.303.443.1249, FAX: 1.303.447.2236

SPEC-4040085, REVISION 8, APRIL 2004. APPLIES TO MODEL 5865 REV 2

PAGE 7 OF 7



Product Data Report

ITF S/N :

2090974



Date : December 20, 2006

Product serie:

DPSK0995S40

Optical Parameters ²	Value ³		Units
	Measured	Target Spec.	
Operating wavelength	1530-1570		nm
Insertion Loss at peak	0.49	≤ 0.6	dB
Port imbalance	0.17	≤ 0.25	dB
Isolation	29.8	≥ 25	dB
PDL (Peak)	0.03	≤ 0.1	dB
PDF	0.10	≤ 0.32	GHz
Differential Delay	100.53	99.5 - 101.5	ps
FSR	9.95	9.85 - 10.05	GHz

Note 1: Unless otherwise specified, these measurements are taken at room temperature.

Note 2: These measurements do not include connectors

Note 3: Worst case over band and port

1.5dB 42

Fiber Heater Parameters	Value		Units
	Measured	Target Spec.	
Resistance R_0 ⁴	369	---	Ω
Thermistor Resistance ⁵	10 ⁻¹⁰	---	kΩ
Rise Time τ_r	242.9	---	ms
Fall Time τ_f	267.4	---	ms
Tuning Coefficient A	1.82	---	GHz/V ²
Tuning range 0-12V	261.9	---	GHz
Tuning range @ Vmax 0°C	180.4	---	GHz
Resistance Coefficient B	0.782	---	Ω/V ²
Temperature Rise Coefficient C ⁶	1.059	---	°C/V ²
Vmax operating, @ 0°C ⁷	9.96	---	V
Vmax operating, @ 22°C ⁷	8.85	---	V
Vmax operating, @ 65°C ⁷	6.15	---	V

Note 4: Unbiased at 22°C

Note 5: Nominal value at 25°C, 1% tolerance from piecepart supplier

Note 6: Based on RTD constant of resistive film such that $R=R_0(1+\alpha\cdot\Delta T)$, where $\alpha = 2.0E-3 (\Omega/\Omega)/^{\circ}C$

Note 7: Maximum voltage for reliable operation long term, corresponding to a heater temperature of 105°C

42x82

X7

Pin identification	
Pin number	function
1	None
2	fiber heater
3	thermistor
4	thermistor
5	fiber heater
6	None

INSPECTED
DEC 2 2006
JSA
QC 101

This Product is

ROHS

Compliant

EU Directive 2002/95/EC

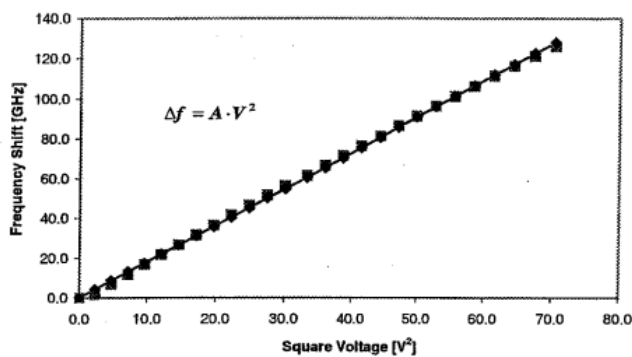
Maximum Mounting Torque: 50 cN·m

For more information, please call our Customer Service Department at
1-888-922-1044 (US and Canada) or 514-744-1044

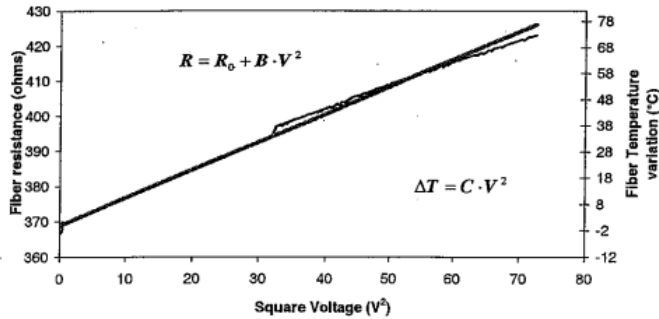


ITF S/N : 2090974

Frequency Shift vs Applied Voltage



Fiber temperature and heater resistance vs applied voltage



— Fiber resistance — FIT fiber resistance — Fiber temperature variation

1-888-922-1044 (US and Canada) or 514-744-1044

Datasheet

u²t photonics

43 Gbit/s DPSK Balanced Photoreceiver

Product Code: BPRV2123(A)



Product Description

The balanced photoreceiver module BPRV2123(A) is a differential front-end for 43 Gbit/s DPSK-applications featuring high differential gain of typically 2400 V/W and is available as AC- or DC-coupled version. The photoreceiver contains two waveguide-integrated pin-photodiodes (PD) on a single chip and a limiting amplifier (LA) within one small form factor SMD-package. The limiting amplifier provides a differential output voltage swing of typ. 600 mV. The receiver is therefore well suited for OC-768/STM-256 system operation up to 43 Gbit/s.

The DC output voltage can be monitored for OUTN and OUTP independently. For each amplifier path a threshold control at a linear amplification stage should be applied to ensure an optimized differential output signal.

An excellent electrical and optical phase propagation is achieved by a total skew of lower than 5 ps between the balanced signal paths.

Features

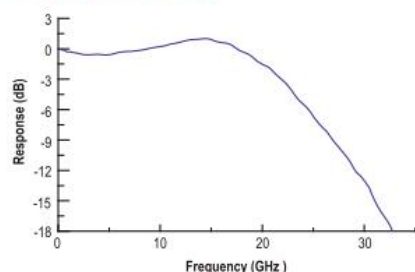
- Balanced PIN / LA photoreceiver module
- Very low skew
- Hermetically sealed SMD package with two GPPO™ connectors
- Dual optical input - differential rf output
- AC-coupled with threshold control option

Applications

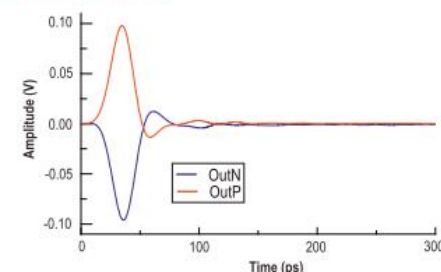
- 43 Gbit/s DPSK communication systems
- Transponder and line card designs

Typical Performance

Frequency Response



Pulse Response



Datasheet
43 Gbit/s DPSK Balanced Photoreceiver
BPRV2123(A)



Absolute Maximum Ratings

Parameter	Symbol	Condition	Min.	Typ.	Max.	Unit
Storage temperature range	T_{stg}	Non condensing	-40		+85	°C
Photo diode bias voltage	$V_{PD1,2}$		0		+3.5	V
Amplifier supply voltage	V_{EE}		-5.5		+0.3	V
Amplifier adjustment voltage	V_{ADJ}		-5.5		+0.3	V
Amplifier threshold control voltage	V_{THCPN}		-7.0		+7.0	V
Maximum average optical input power	P_{opt}	NRZ, per input port			9	dBm
Electro static discharge	V_{ESD}	$C=100\text{ pF}, R=1.5\text{ k}\Omega \text{ HBM}$	-250		250	V
Fiber bend radius			16			mm

Operation Conditions

Parameter	Symbol	Condition	Min.	Typ.	Max.	Unit
Operating case temperature range	T_{case}		0		+75	°C
Relative humidity range	RH	non condensing	5		85	%
Operating wavelength range	λ		1530		1620	nm
Average optical input power range	P_{avg}	NRZ, per input port	-10		4	dBm
Photodiode bias voltage	V_{PD}		2.0	2.25	2.75	V
Amplifier supply voltage	V_{EE}		-5.3	-5.2	-4.8	V

Optical and Electrical Specifications ¹⁾

Parameter	Symbol	Condition	Min.	Typ.	Max.	Unit
Differential conversion gain	G_D	2), 3)	1500	2400		V/W
Photodiode DC responsivity	R	optimum polarization	0.5	0.6	0.75	A/W
Polarization dependent loss	PDL			0.4	0.6	dB
Optical return loss	ORL		27	30		dB
Bit rate		NRZ, DPSK			43	Gbit/s
3dB cut-off frequency BPRV2123A, BPRV2123	f_{3dB}	5)	19 20	22 22		GHz
Lower frequency cut off	f_{3dB_L}				100	kHz
Electrical output reflexion coefficient	S_{22}	$f = 0.5 \text{ to } 25 \text{ GHz}$ $f = 25 \text{ to } 43 \text{ GHz}$ 3)			-10 -4	dB
Differential output voltage swing BPRV2123A, BPRV2123	$V_{out,diff}$	$P_{opt} \geq 0 \text{ dBm}$ 2), 3) negative CML		600 500		mV
Pulse width BPRV2123A, BPRV2123		5)		23 22	26 25	pS
Skew BPRV2123A, BPRV2123				1 1	2 5	pS
Equivalent input noise density	I_{noise}				100	pA/ $\sqrt{\text{Hz}}$
Sensitivity	Sens	2), 4)			-8	dBm
Amplifier supply current	I_{EE}			100	120	mA
Photodiode dark current	I_{dark}	per PD		5	200	nA
Power consumption	P_{con}			0.53	0.7	W

Notes: 1) $V_{IN1} = V_{IN2} = +2.25\text{V}$, $V_{EE} = -5.3\text{V}$, $V_{PD} = -2.4\text{V}$, $\lambda = 1550\text{nm}$, $T = 25^\circ\text{C}$

2) Measurements performed in single ended conditions

3) Measured using Agilent 86338A 50 GHz Lightwave component analyzer

4) Evaluated from NRZ eye diagram and BER measurement at 43 Gbit/s

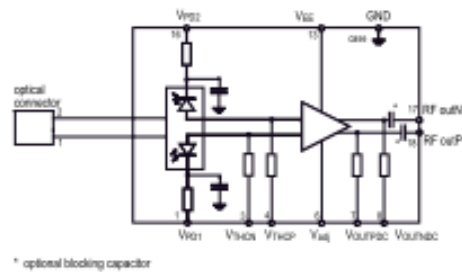
(BER $\leq 10^{-12}$, PRBS $2^{23}-1$, back to back)

5) Input pulse 1ps, 50Hz, optical power set below saturation level of TIA, test in linear range of receiver

Datasheet
43 Gbit/s DPSK Balanced Photoreceiver
BPRV2123(A)

u²t photonics

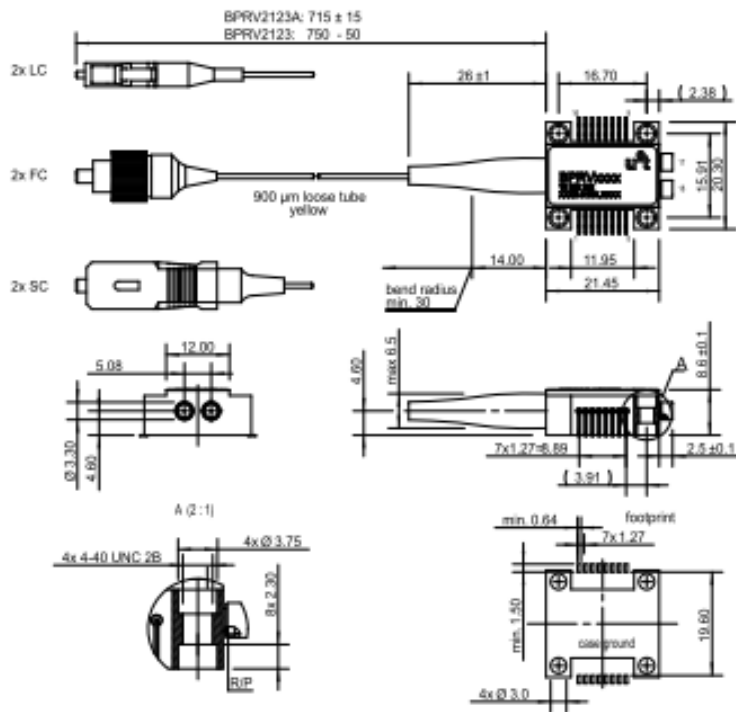
Block Diagram



Pin Description

Pin #	Symbol	Description
1	V _{PD1}	Photodiode 1 supply
3	V _{THCN}	Amplifier threshold control negativ
4	V _{THCP}	Amplifier threshold control positiv
6	V _{adj}	Amplifier adjustment control
7	V _{OUTPOC}	DC voltage monitor on OUTP
8	V _{OUTND}	DC voltage monitor on OUTN
16	V _{PD2}	Photodiode 2 supply
17	outN	RF-output: negativ – GPPO connector
18	outP	RF-output: positive – GPPO connector
9, 10, 11, 12	N/C	Not connected
13	V _{EE}	Amplifier supply voltage
2, 5, 14, 15	GND	Ground

Mechanical Dimensions



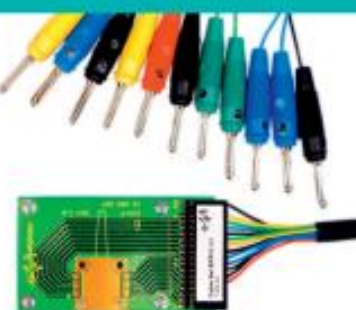
GPPO™ Connector is a registered trademark of Corning Gilbert Inc.

Datasheet
43 Gbit/s DPSK Balanced Photoreceiver
BPRV2123(A)

u²t photonics

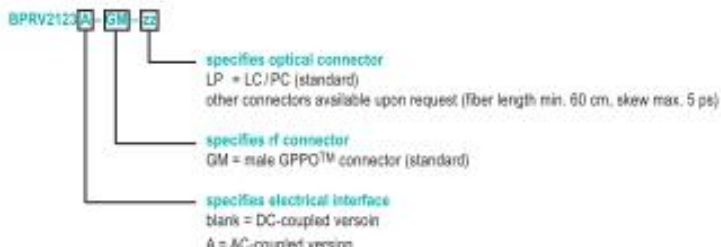
Accessories

The u²t Evaluation Kit EVA-BPRV serves as easy-to-use utility to characterize the u²t photoreceiver BPRV2123(A) under laboratory conditions. The kit consists of a PCB (printed circuit board), a DC cable set and 4 socket head screws 4-40 UNC (see picture).



Ordering Information

Please use the following table to select your required configuration of the photoreceiver.



For the Evaluation kit please use the following code:



GPPOTM is a registered trademark of Corning Gilbert Inc.



Amonics

C-Band and Extended C-Band DWDM EDFA

Applications

- DWDM Applications
- SONET/SDH Systems
- Optical Communication
- Fiber Optic Sensing

AMONICS LTD.



ISO 9001 : 2008
Certificate No.: CC 5346



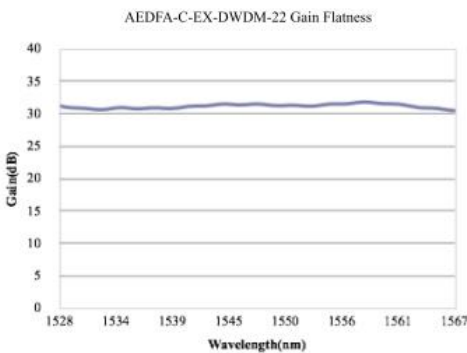
Description

C-band and Extended C-band DWDM Erbium-doped Fiber Amplifiers (EDFA) are among the Amonics' specialist products. They are designed with high-power pump laser and high-stability pump combiners, renowned for robustness in high power boosting. The EDFA feature high output power, high gain with very low noise, and they can be customized to accommodate a wide range of input signal levels. They are thus ideal for various demanding applications.

The turnkey microprocessor-controlled EDFA provide illustrative alarms and status indicators. An integrated RS232 computer interface enables easy control, diagnostic functions and data acquisition. The EDFA are available in both benchtop and rackmount casings.

Key Features

- Turnkey device
- RS232/Ethernet computer interface
- High output power
- High gain
- Low noise figure
- Highly reliable and durable



The product is manufactured under an ISO 9001:2008 certified quality management system.
The ISO 9001:2008 certification applies to the Hong Kong production site only.



AMONICS LTD.

C-Band and Extended C-Band DWDM EDFA

Specifications

	AEDFA-C-DWDM			AEDFA-C-EX-DWDM			Remark
Saturation Output Power	+22dBm			+22dBm			-
Wavelength	1529 - 1563nm			1528 - 1567nm			-
Gain (dB)	21	25	30	21	25	30	Input Power (dBm) +1 -3 -8
Noise Figure (typ.)	5.5dB			5.5dB			-
Gain Flatness (peak to peak)	Typ. 1.0dB, Max. 2.0dB			Typ. 1.0dB, Max. 2.0dB			-
Input & Output Isolation	>30dB						-
Polarization Dependent Gain	Typ. 0.3dB, Max. 0.5dB						-
Control Mode	ACC, APC, AGC(optional)						-

* Other output power models are available upon request

General Parameters

Parameters	Unit	Specifications
Operation Temperature	°C	0 to +40
Storage Temperature	°C	-10 to +70
Power Supply	VAC	90 – 240, 47 – 63Hz
Dimensions	mm	Benchtop: 260(W) x 330(D) x 120(H) 1U Rackmount: 485(W) x 360(D) x 45(H) Other standard rackmount sizes are also available
Mechanical Safety Control	-	Key-lock switch, BNC interlock key
Optical Power Monitoring	-	Output power, Input power (optional)
Remote Control Port	-	DB-9 female (RS232), LabView control software included RJ-45 (TCP/IP Ethernet) (optional)
Protection	-	Pump laser (TEC) overheat
Optical Connector	-	FC/APC, FC/UPC, SC/APC, SC/UPC
Optical Fiber	-	SMF-28

Option

- Gain flattening filtering



Ordering Information

Product Code	AEDFA-C-DWDM-aa-b-cc	aa: Saturated output power in dBm
	AEDFA-C-EX-DWDM-aa-b-cc	b: B for Benchtop, R for 19" Rackmount
		cc: FA for FC/APC, FC for FC/UPC SA for SC/APC, SC for SC/UPC

Amomics undertakes continuous and intensive product development to ensure its product performance at the highest technical standards. As a result, the specifications in this document are subject to change without notice.

Amomics Limited, 14/F, Lee King Industrial Building, 12 Ng Fong Street, San Po Kong, Kowloon, Hong Kong
Beijing Amomics Co. Ltd. Room 902, Unit 1, No.99 Chaoyang North Road, Beijing China 100025

Email: contact@amomics.com Website: www.amomics.com
HK Tel: +852 2428 9723 HK Fax: +852 2428 9704 Beijing Tel: +86 10 84783386 Beijing Fax: +86 10 84783396





ประวัติผู้เขียนวิทยานิพนธ์

นายพชรพล ชูโลก เกิดวันที่ 21 กุมภาพันธ์ พ.ศ. 2534 ที่จังหวัดอุตรดิตถ์ เข้าศึกษา หลักสูตรวิศวกรรมศาสตรบัณฑิต ภาควิชาวิศวกรรมอิเล็กทรอนิกส์และโทรคมนาคม คณะ วิศวกรรมศาสตร์ มหาวิทยาลัยเทคโนโลยีพระจอมเกล้าธนบุรี ในปีการศึกษา 2552 และสำเร็จ การศึกษาระดับปริญญาวิศวกรรมศาสตรบัณฑิต สาขาวิศวกรรมไฟฟ้าสื่อสารและอิเล็กทรอนิกส์ ในปีการศึกษา 2555 จากนั้นเข้าศึกษาต่อในระดับบัณฑิตศึกษา หลักสูตรวิศวกรรมศาสตรมหาบัณฑิต สาขาวิศวกรรมไฟฟ้า คณะวิศวกรรมศาสตร์ จุฬาลงกรณ์มหาวิทยาลัย ในภาคการศึกษา ปลายปีการศึกษา 2556 และสำเร็จการศึกษาวิศวกรรมศาสตรมหาบัณฑิต สาขาวิศวกรรมไฟฟ้า จุฬาลงกรณ์มหาวิทยาลัย ในปีการศึกษา 2558

เนื่องจากส่วนหนึ่งของงานวิจัยในวิทยานิพนธ์ฉบับนี้ได้รับการตีพิมพ์และเผยแพร่ในงาน ประชุมวิชาการจำนวน 1 ฉบับ

บทความวิชาการในงานประชุม 21st Optoelectronics and Communications Conference / International Conference on Photonics in Switching (OECC/PS) ปี 2016 จัดขึ้นที่ศูนย์ประชุม TOKI MESSE Convention Center จังหวัดนิงاتะ ประเทศญี่ปุ่น ระหว่าง วันที่ 3-7 กรกฎาคม 2559 ในหัวข้อความเรื่อง “20 Gb/s Optical Switched DQPSK transmission over 50 km SSMF and 7 km DCF”